ORDINE DEGLI INGEGNERI DI FORLI' - CESENA

Forlimpopoli - 28/10/2016

Meccanica dei Terreni Richiami e Casi Studio

Ing. Maurizio Lenzi

滋ACMAR

maurizio.lenzi@acmar.it

Richiami di Geotecnica



ARGOMENTI



- Proprietà dei terreni
- Granulometria, Assortimento, Porosità, Indice dei vuoti, Classificazione
- Parametri di Resistenza e Rigidezza
 - Principio di Terzaghi delle tensioni efficaci
 - Resistenza a taglio drenata e non drenata
- Consolidazione e Decorso Cedimenti
 - Processo di sovrappressione e dissipazione
- Condizioni di stabilità
 - Sicurezza a breve termine ed a lungo termine

La Geotecnica è la disciplina che si occupa della Meccanica delle Terre e della sua applicazione alle Opere di Ingegneria nell'ambito dello studio della Interazione tra Terreno e Struttura.

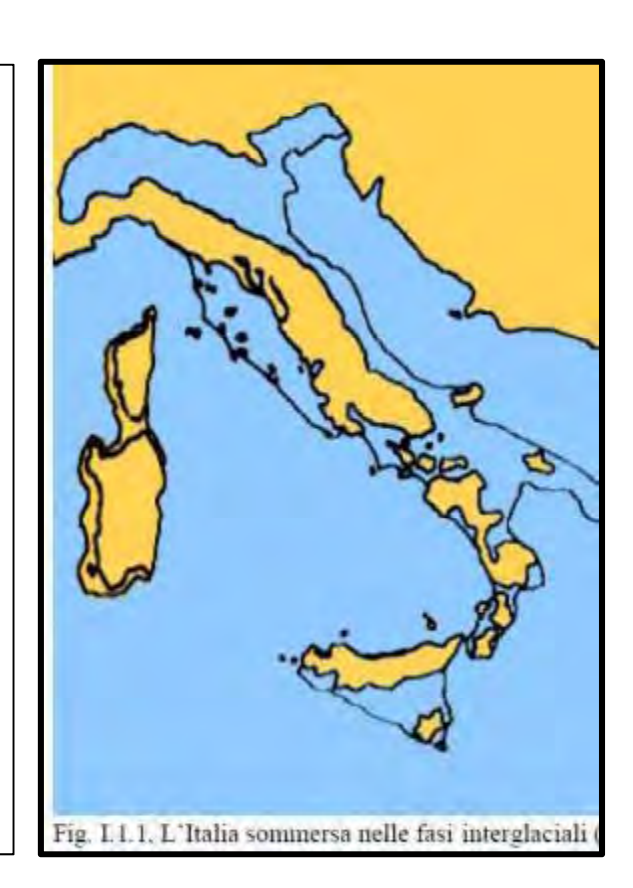
La Geologia studia natura, genesi, evoluzione, costituzione e stratigrafia delle rocce e dei terreni.

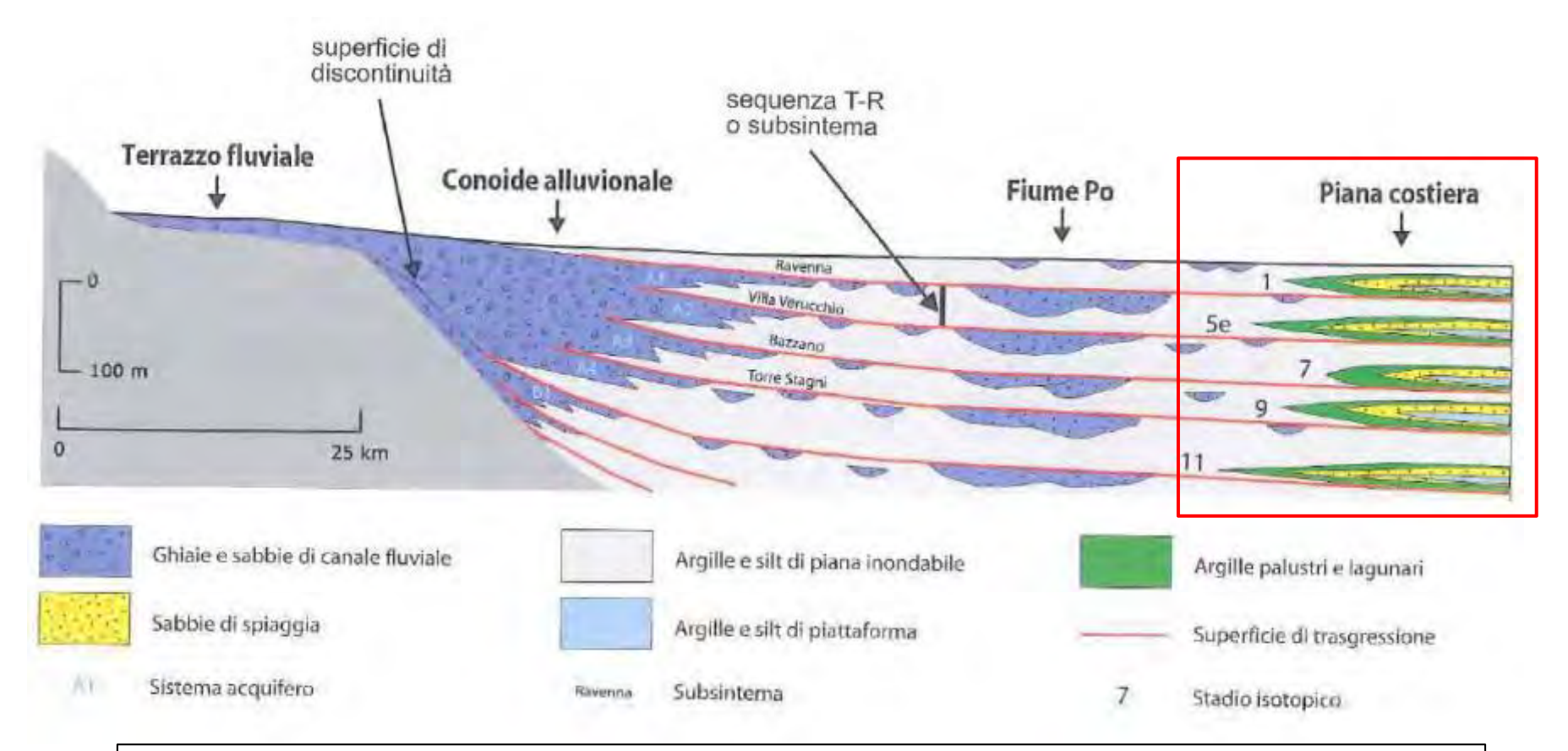
Condizione necessaria per effettuare un'accurata analisi geotecnica è una chiara comprensione dei fenomeni geologici che hanno determinato la genesi e l'evoluzione del terreno in sito.

Richiami di Geologia

Area Romagnola

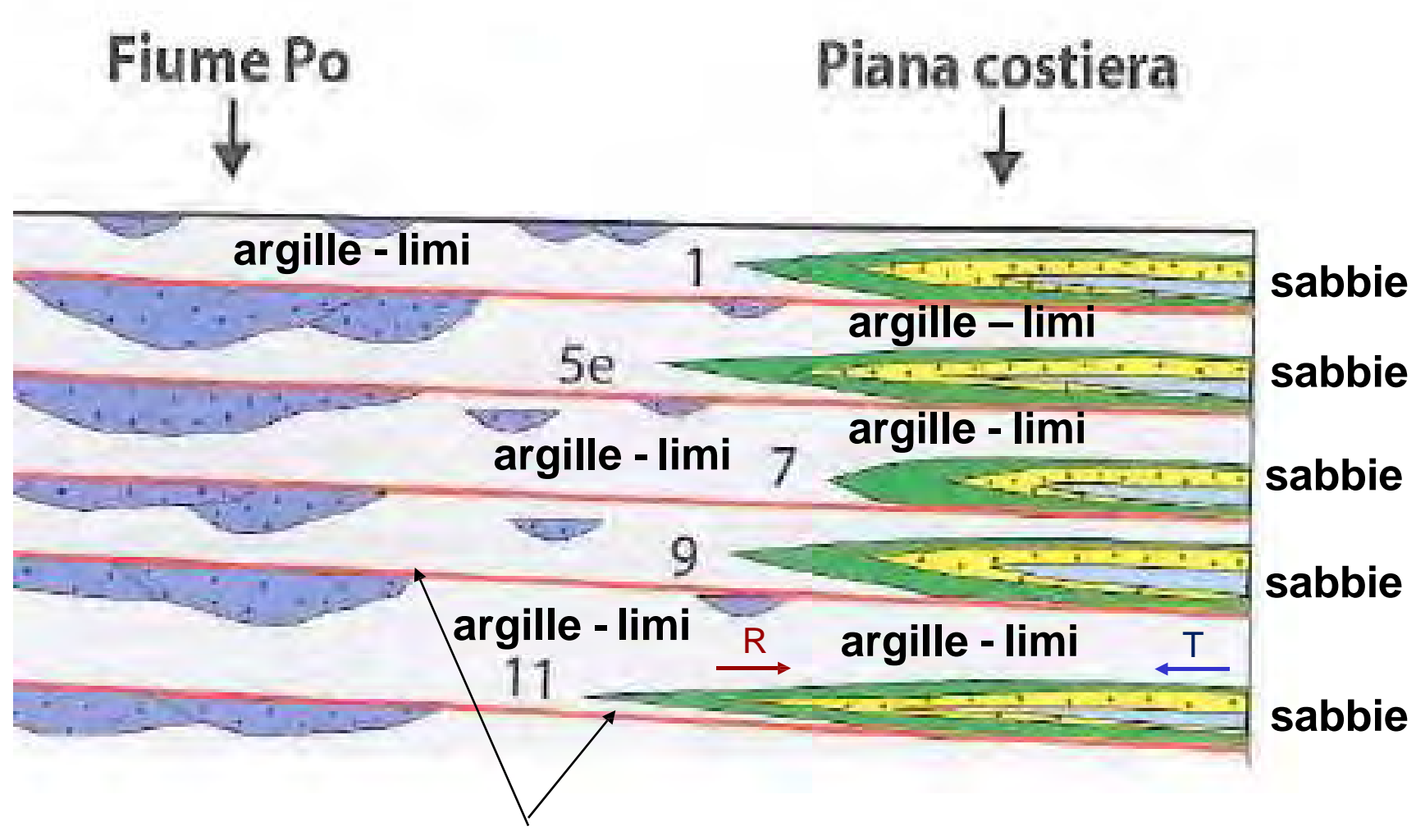
Genesi e formazione dei terreni superficiali





La pianura Padana costituisce un grande bacino che ha origine nel deposito millenario dei sedimenti fluviali. Nell'area romagnola si sono alternati gli effetti di epoche interglaciali, con trasgressione del mare verso l'interno (ingressione marina) e di epoche glaciali (di regressione marina) nelle quali la linea di costa é nuovamente avanzata verso zone precedentemente sommerse.

FORMAZIONE DELLA ZONA COSTIERA E DI BASSA PIANURA



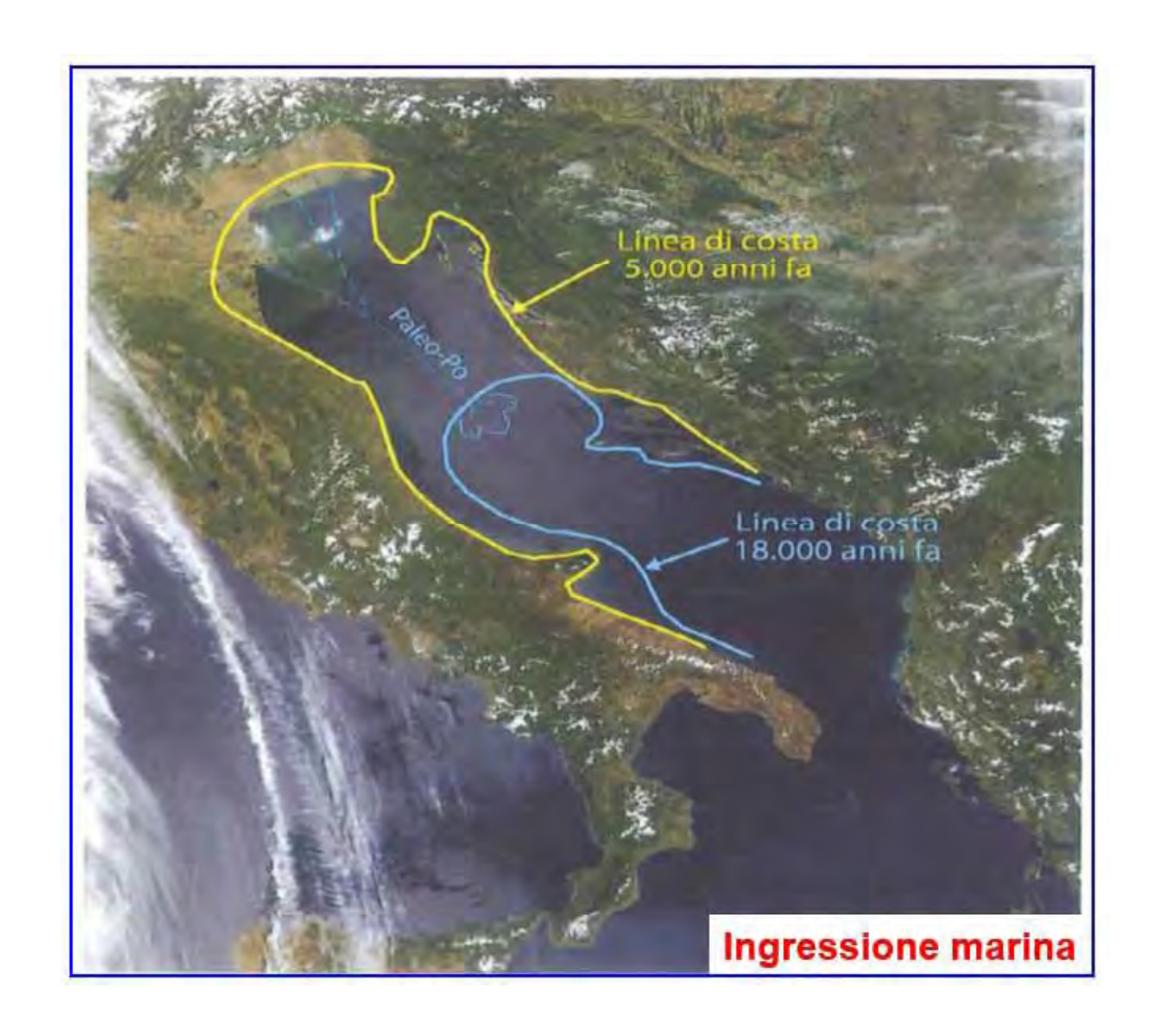
Ciclo TR – Trasgressione (ingressione marina) e Regressione



Le caratteristiche degli strati di terreno interessati dalla interazione con le costruzioni hanno origine a partire dalla glaciazione Wurmiana (18-10 ka B.P.)

All'epoca il Po sfociava tra Ancona e Pescara. Il piano campagna era posizionato ad una profondità di circa 20-25 m rispetto alla quota odierna (Forli'>Croazia).

Con lo scioglimento dei ghiacciai il livello marino si è rialzato di molti metri portando la linea di costa a retrocedere sino verso Conselice (Laguna di Lugo)







Linea della costa

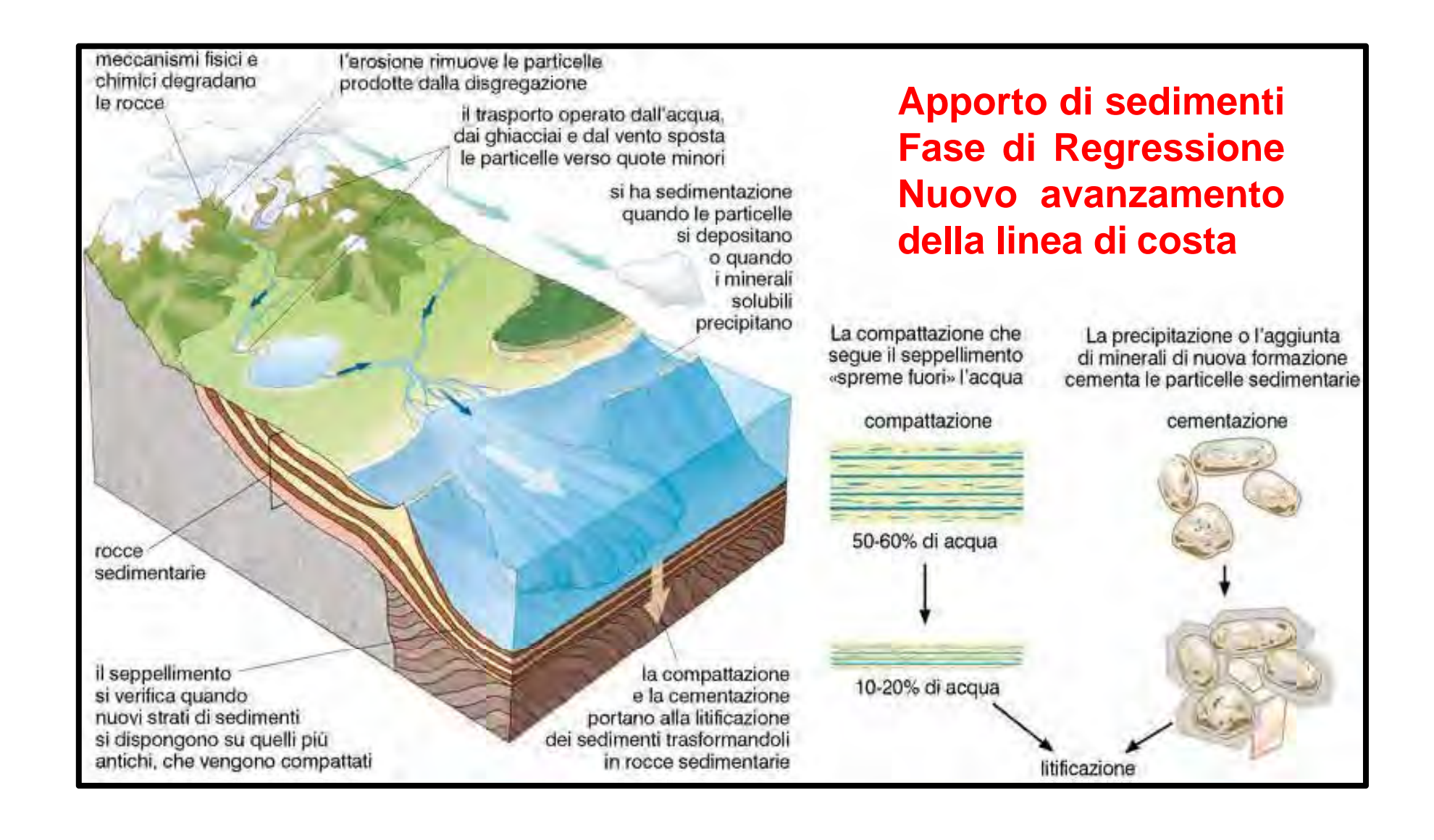
Epoca Post Glaciale

5500 anni B.P.

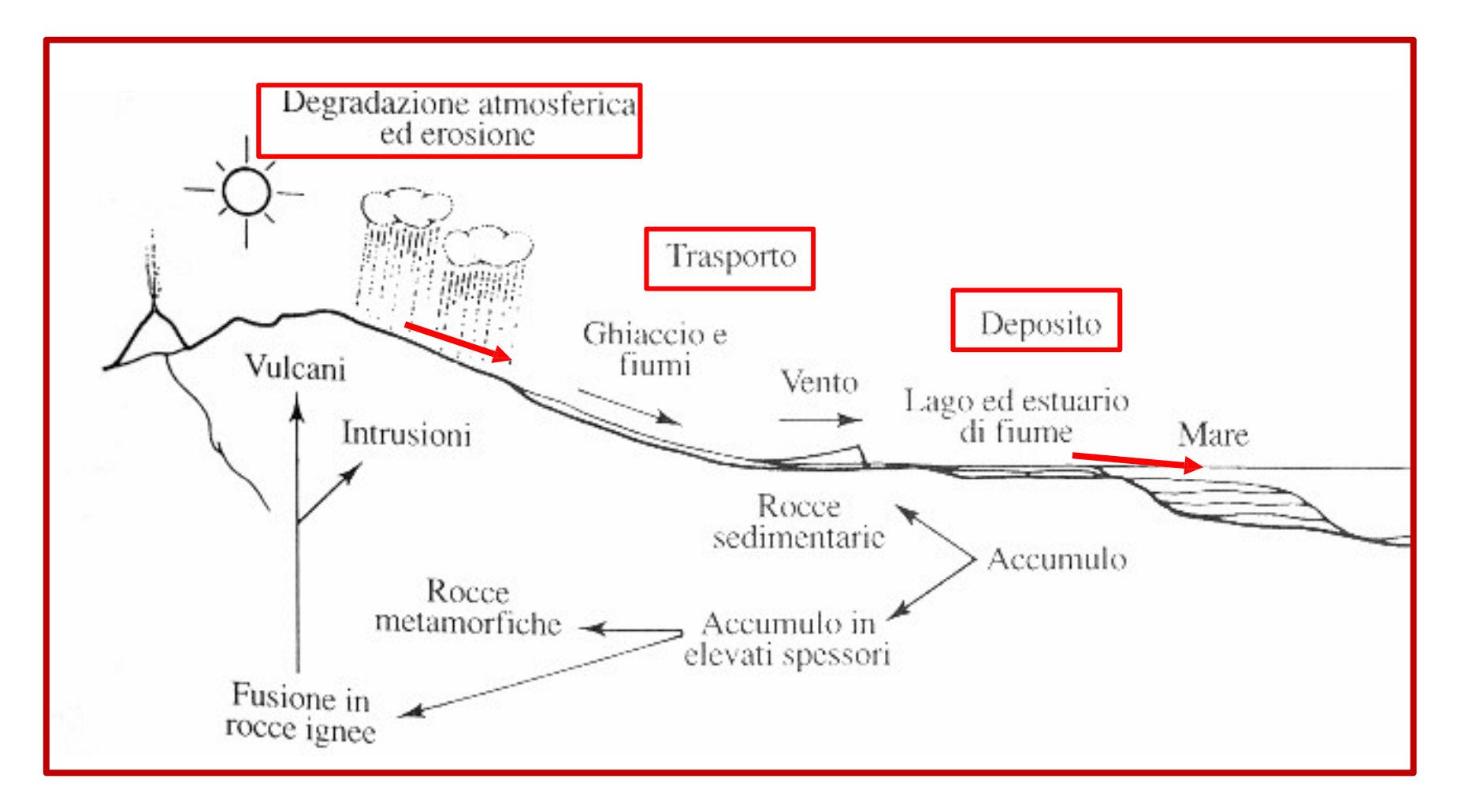
Trasgressione Flandriana Olocenica

(ingressione marina)

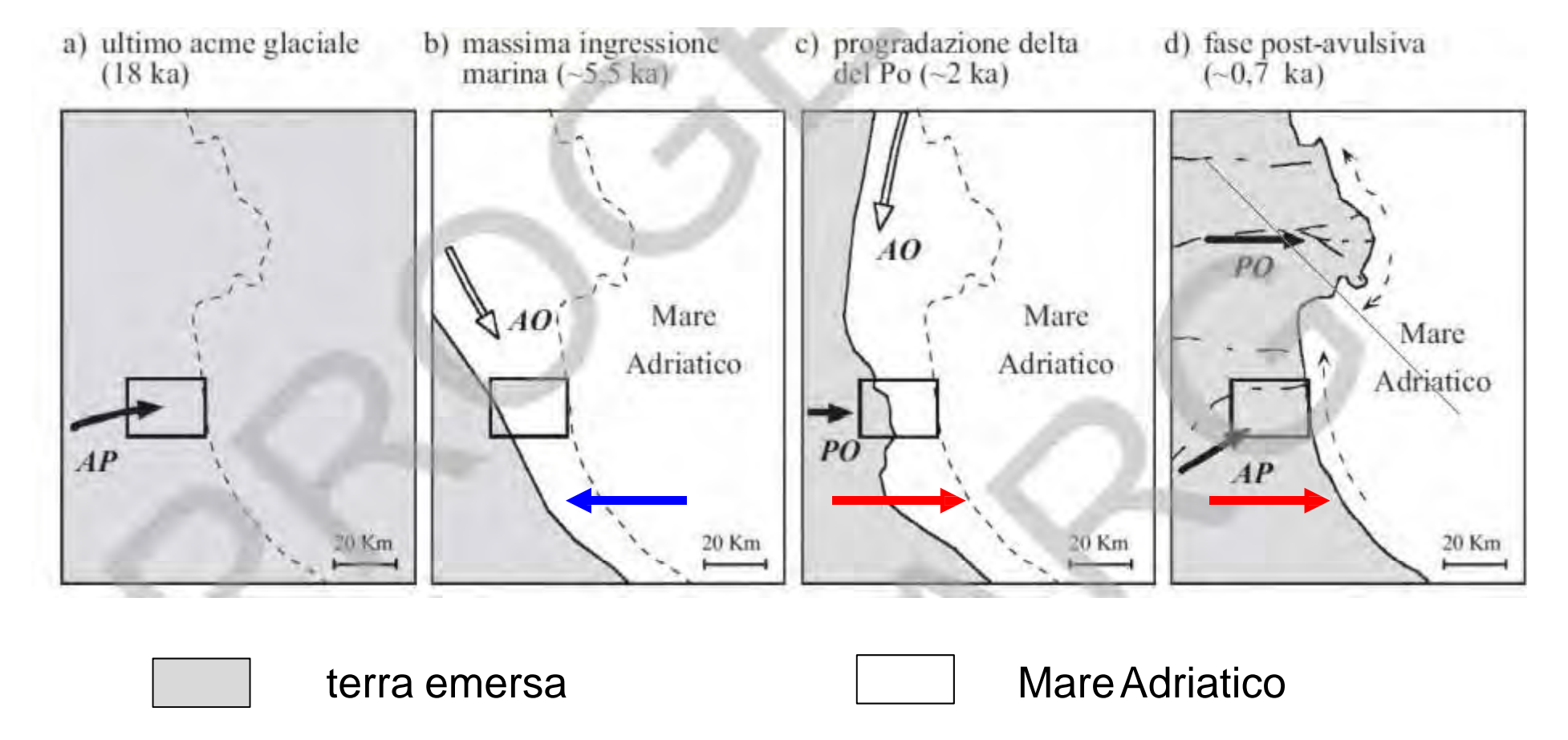
Ciclo di formazione, trasporto e deposito dei sedimenti



Ciclo di formazione, trasporto e deposito dei sedimenti

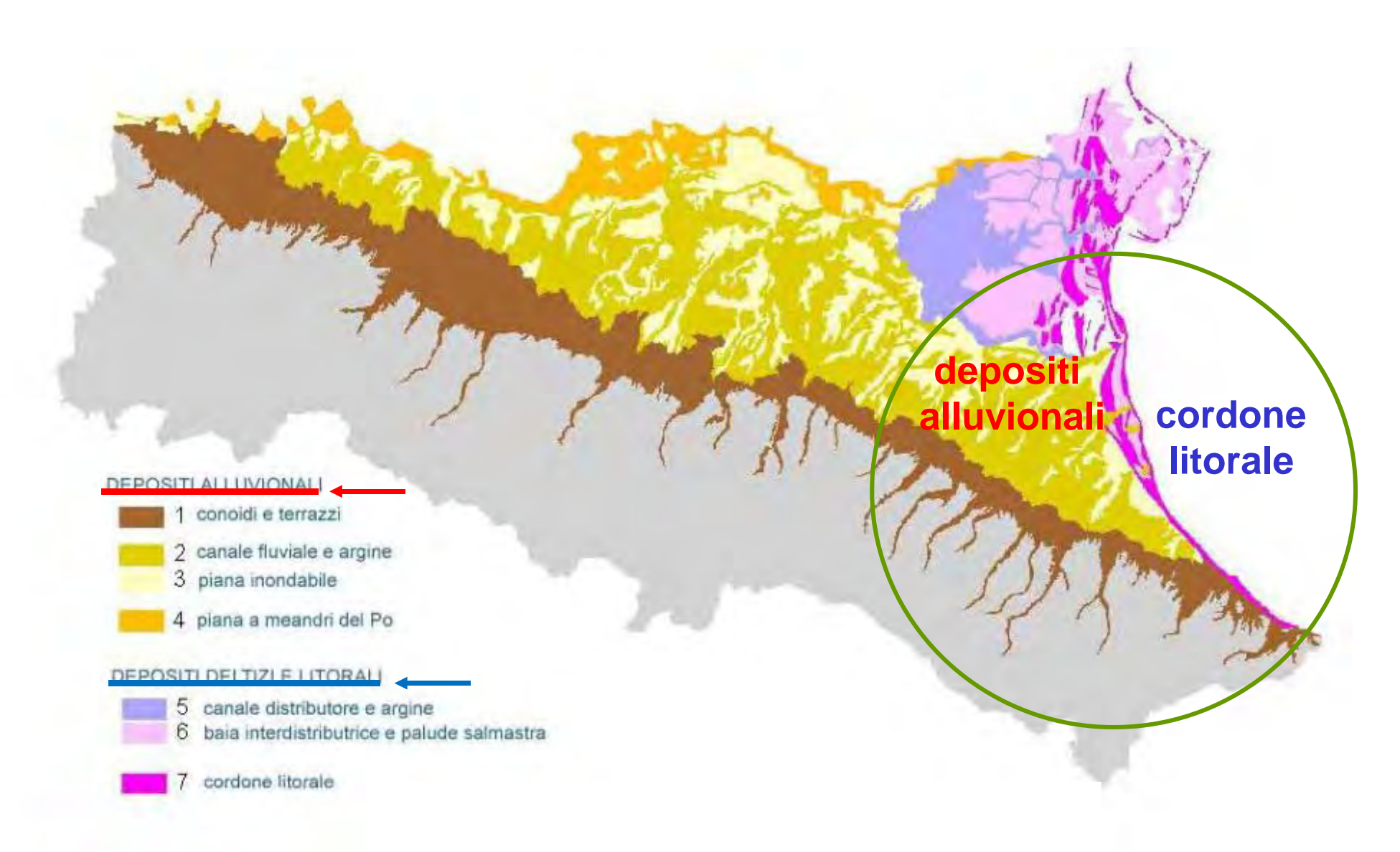


Sabbie = erosione, trasporto e deposizione di arenarie
Limi = erosione, trasporto e deposizione di calcari
Argille = erosione, trasporto e deposizione di marne



Dopo l'ultima fase glaciale (fig. a, 18000 anni fa), con lo scioglimento dei ghiacciai la linea di costa ha raggiunto la massima ingressione marina (fig. b, 5500 anni fa). Il successivo apporto al mare dei sedimenti del Po e dei fiumi che scendevano dall'Appennino Romagnolo ha portato al nuovo avanzamento della linea di costa (fig.c,d, progradazione del delta del Po) sino alla configurazione attuale.

Carta Geologica dell'Emilia Romagna



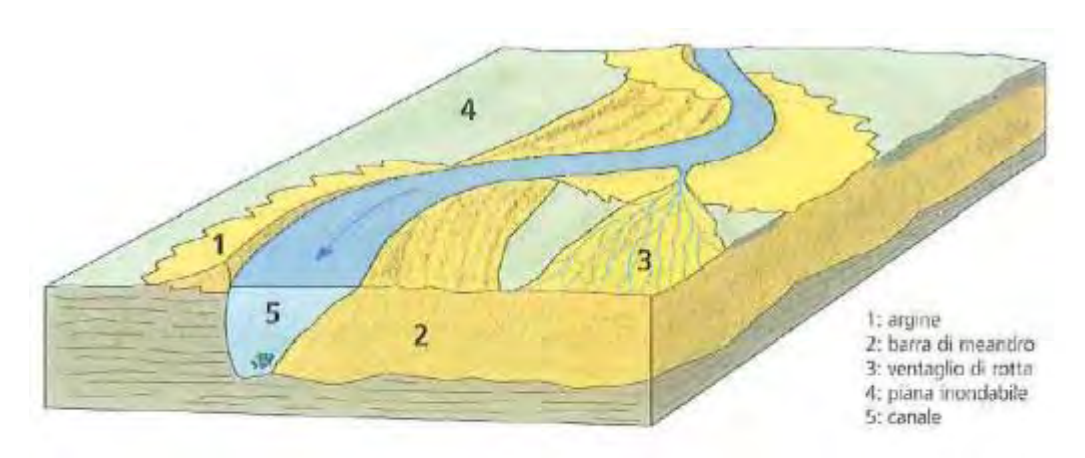
Terreni di origine alluvionale

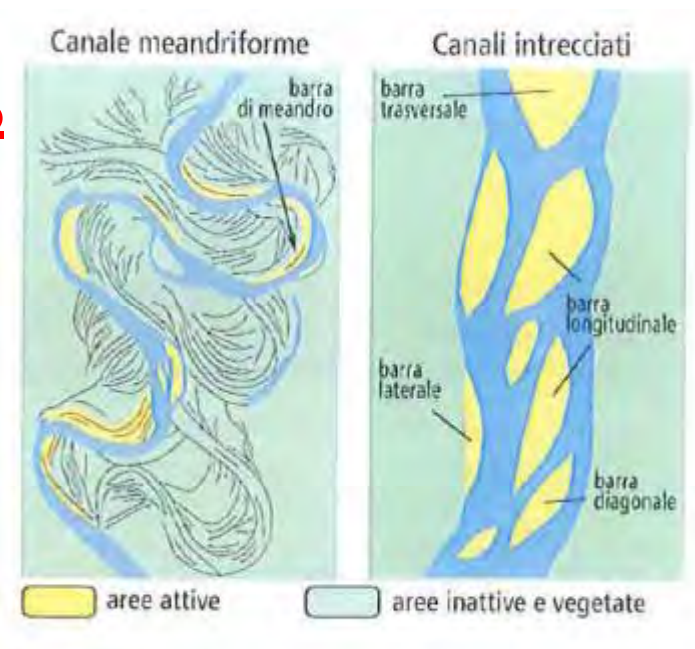






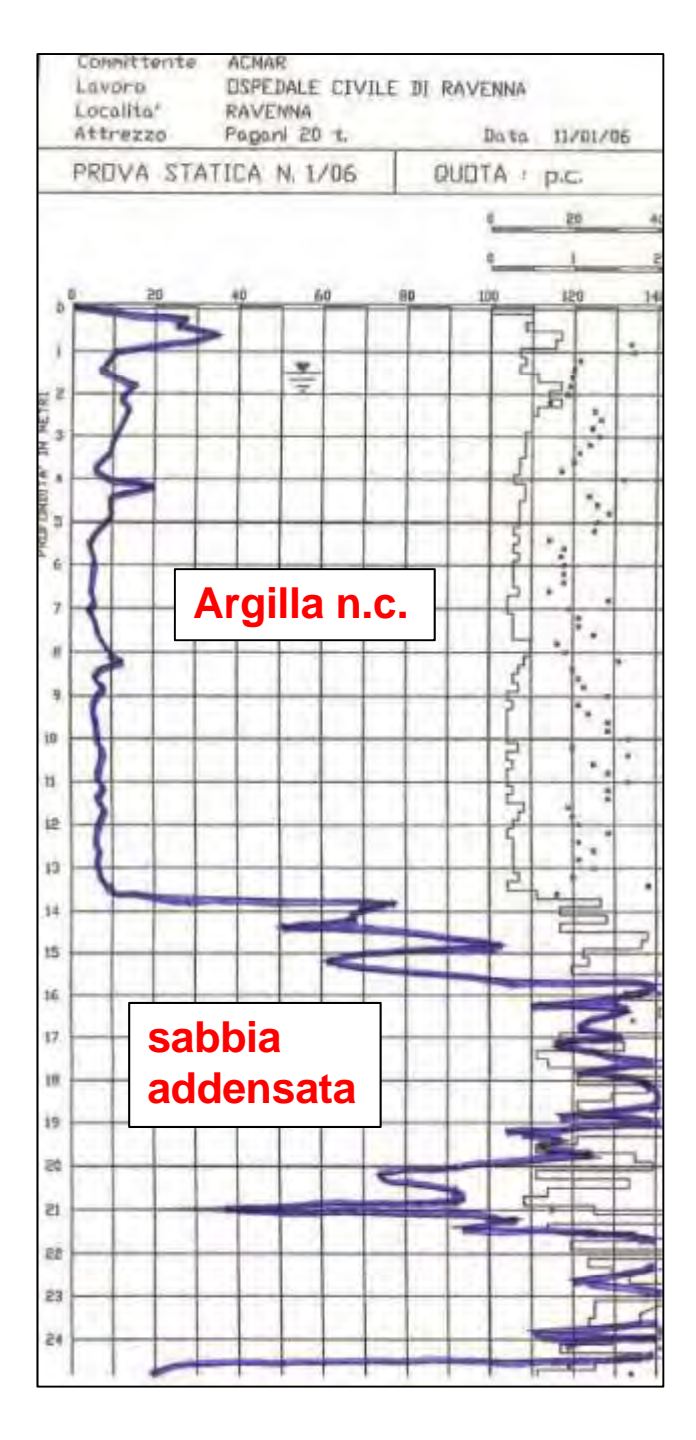
La sedimentazione è avvenuta per effetto della gravità contrastata dalla spinta di galleggiamento



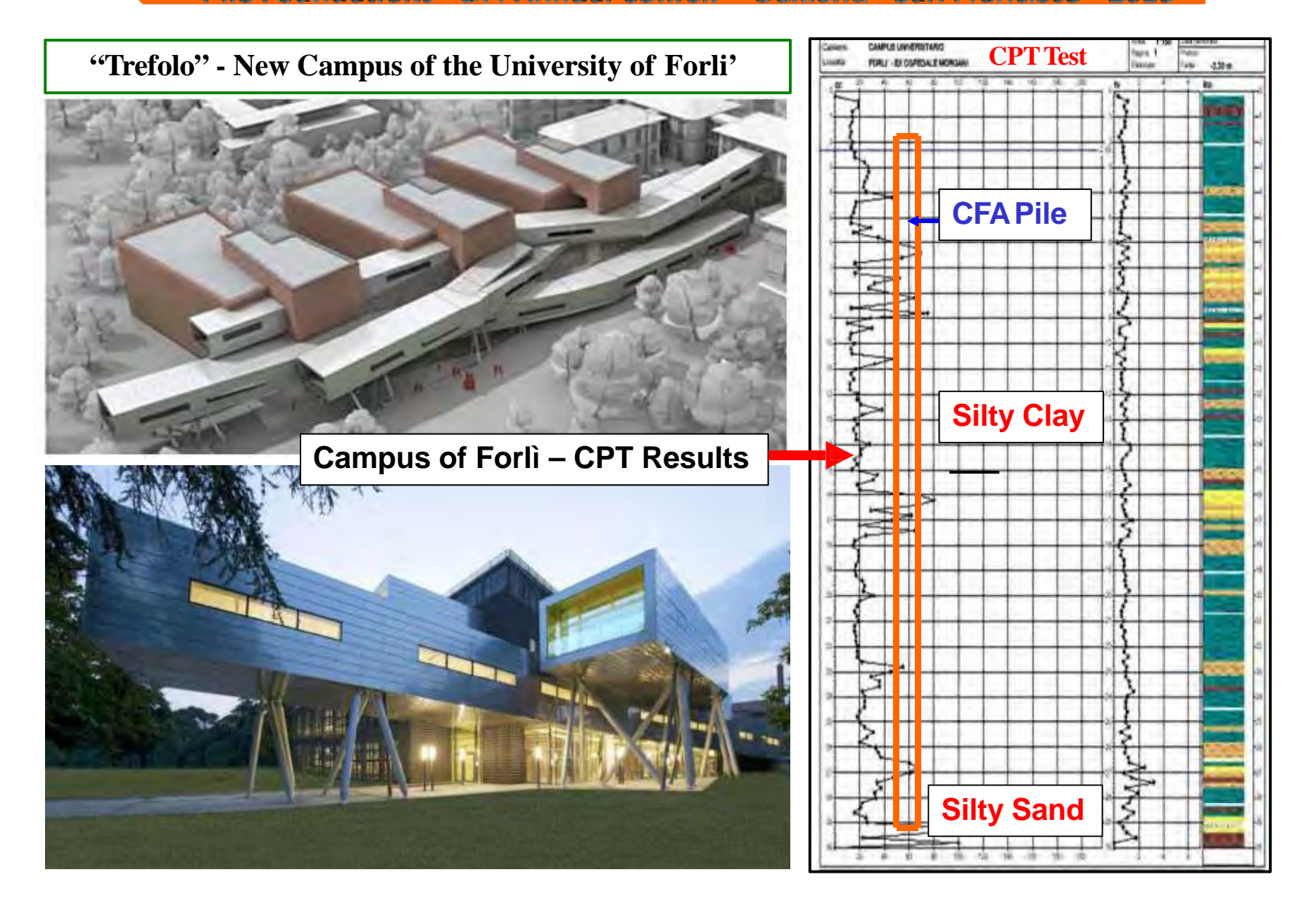


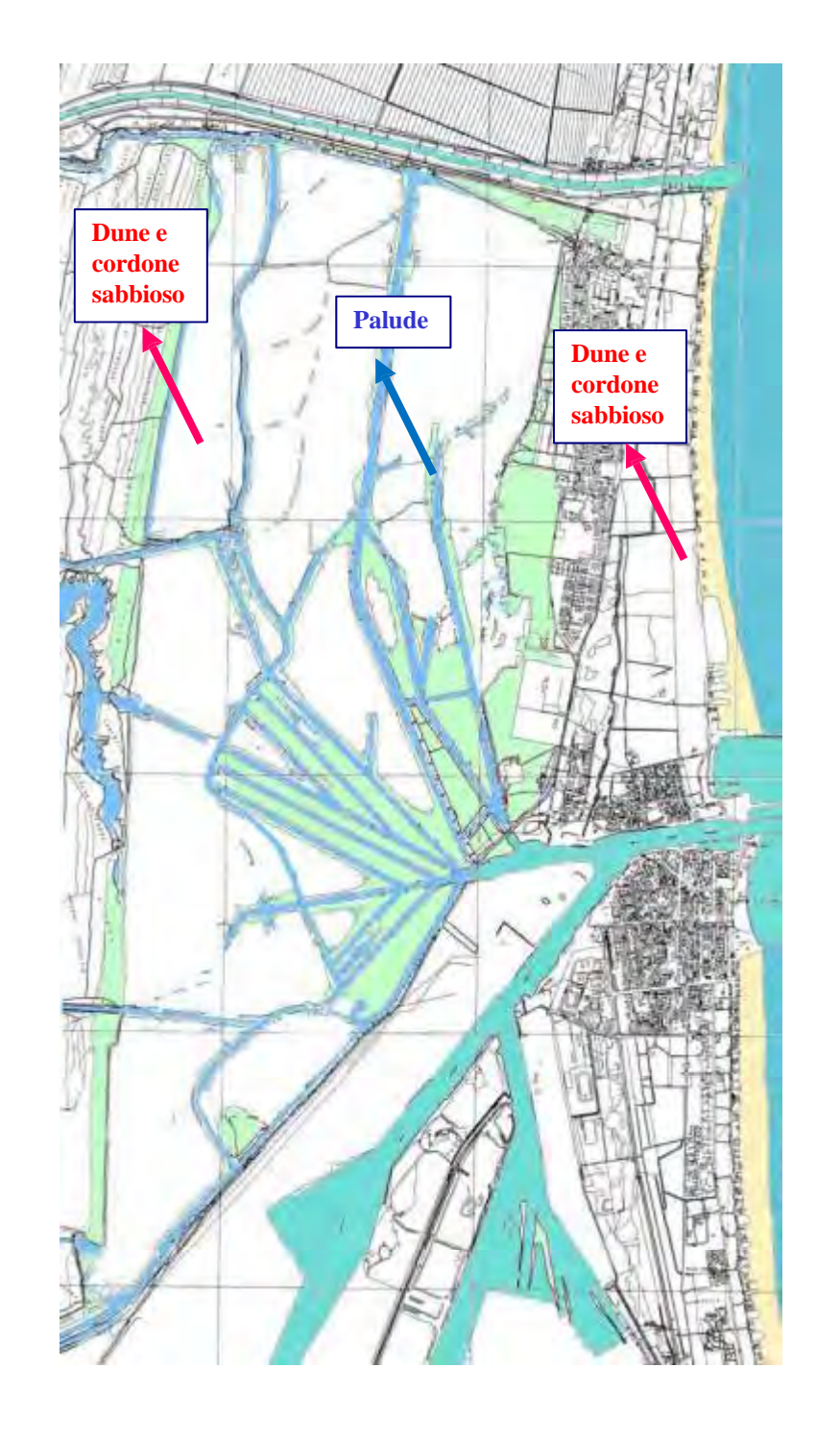






M.Lenzi, P.Campana – A Non Linear Fractal Model For the Analysis of Pile Foundations - DFI Annual Confer. – Oakland - San Francisco - 2015

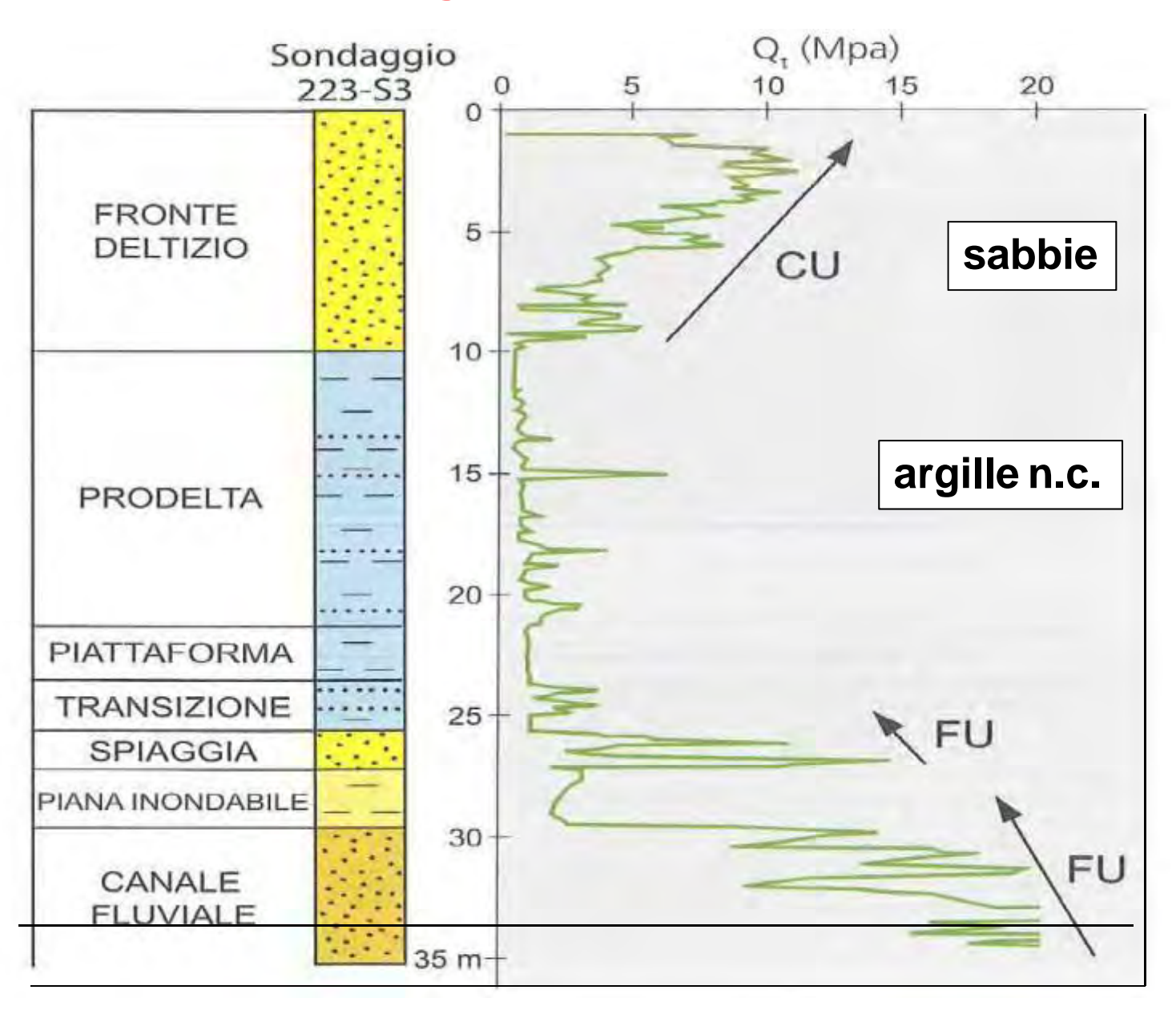




Valli, Pinete e Zone Costiere



Stratigrafia Zona Costiera





Classificazione del terreni e Permeabilità

Terreni a grana fine (argille e limi)

bassa permeabilità, materiali plastici, forme lamellari

Terreni a grana grossa (sabbie e ghiaie)

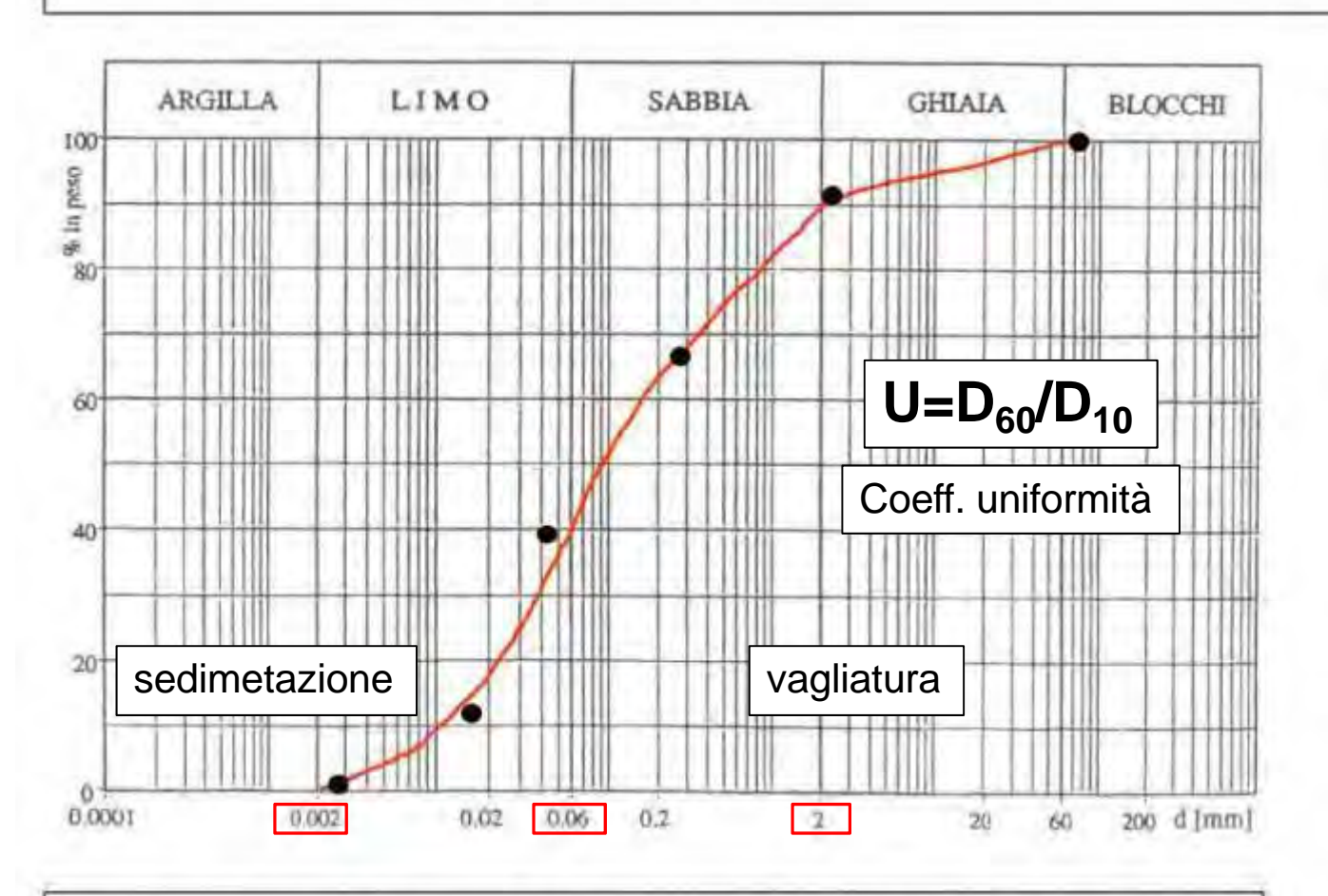
alta permeabilità, materiali non plastici, forme angolari

TABELLA I		
Tipo di terreno		Diametro (mm)
argilla		0.002
limo	·	0.002 - 0.074
sabbia	fine	0.074 - 0.42
	media	0.42 -2.0
	grossa	2.0 - 4.76
ghiaia	fine	4.76 - 19.1
	grossa	19.1 - 76.2

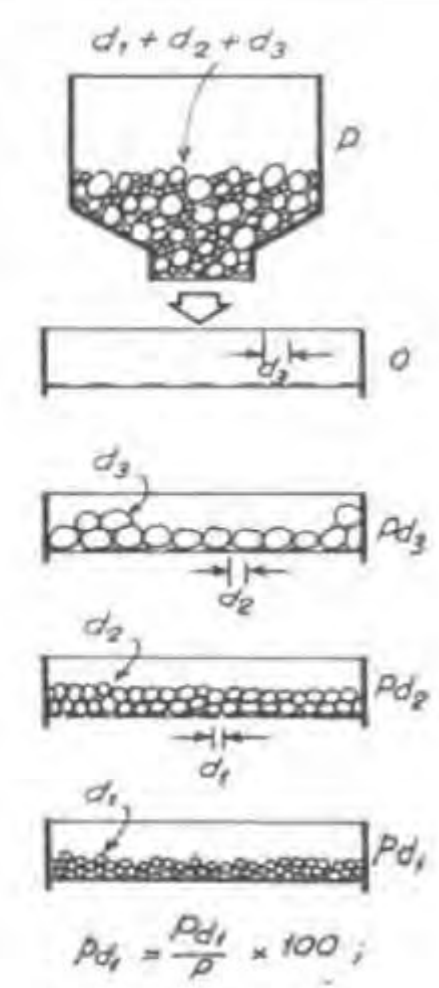
Dimensioni relative dei grani

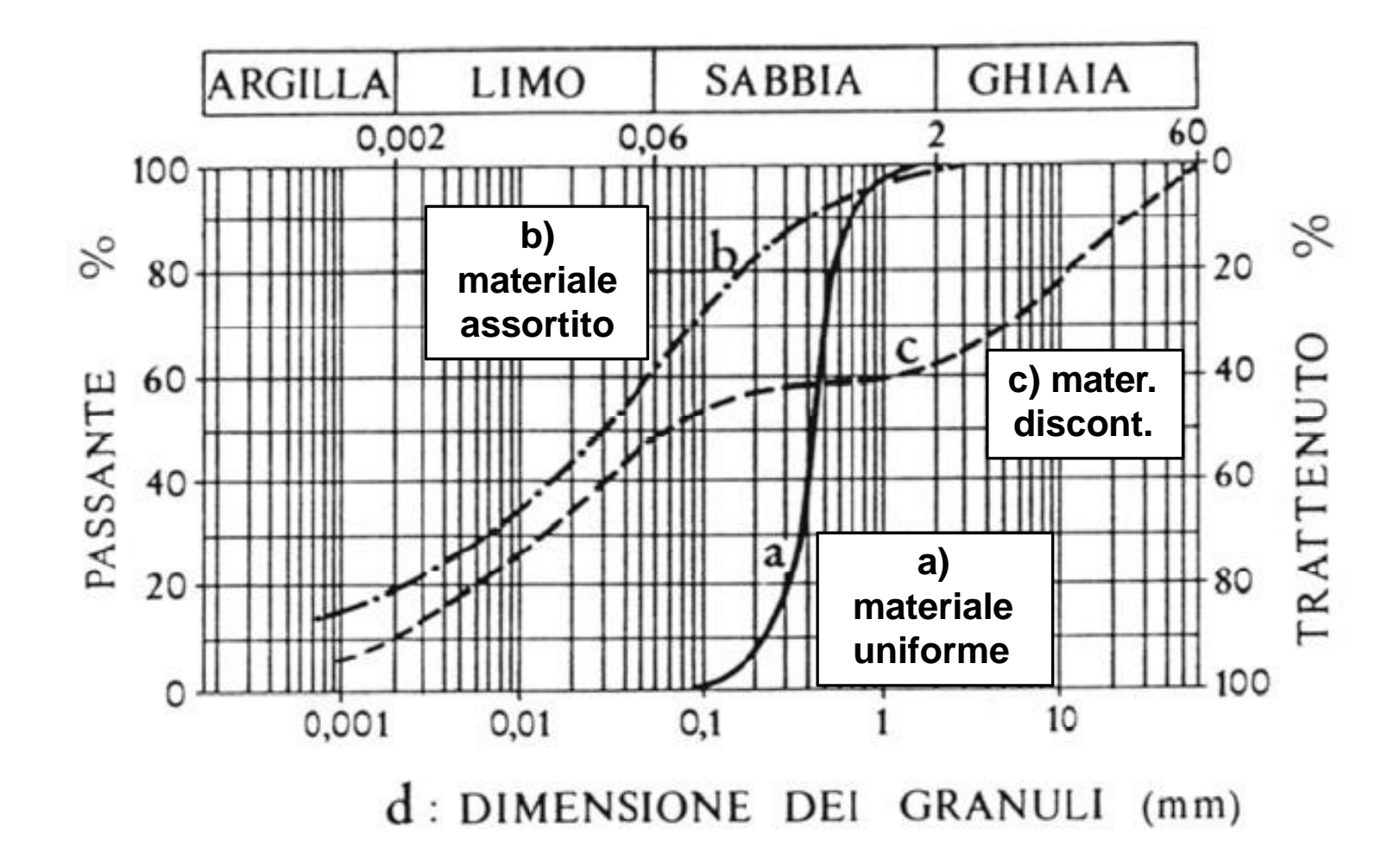


• Analisi Granulometrica: operazione di scomposizione di un campione di terreno in una serie di classi, in ciascuna delle quali ricadono grani con dimensioni comprese in determinati intervalli. Serve a determinare la distribuzione delle dimensioni delle particelle che compongono un dato terreno. Si rappresentata a scala semilogaritmica per consentire una rappresentazione sufficientemente accurata anche per piccoli valori di d.



Ogni punto della curva ha come ascissa il generico diametro d_i e come ordinata p_i la percentuale in peso del materiale costituito dal sottoinsieme di particelle aventi diametro minore di d_i. P_i è la percentuale di passante in peso.



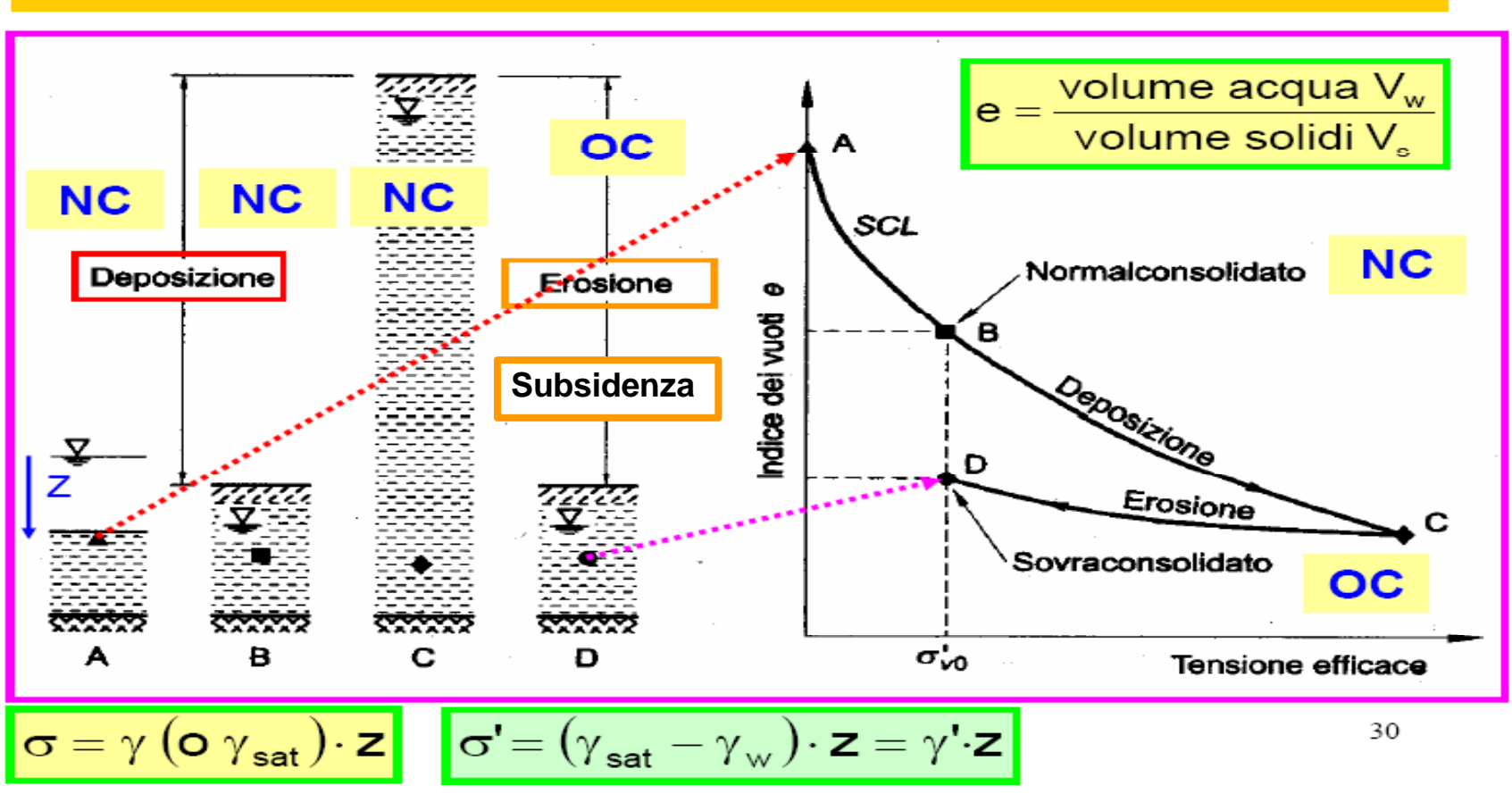


Curve granulometriche: a) granulometria uniforme (sabbia monogranulare); b) granulometria assortita (limo argilloso con sabbia); c) granulometria discontinua (limo con ghiaia debolmente argilloso)



Fasi di deposizione dei terreni alluvionali

Terreno NC:normalconsolidato - OC: sovraconsolidato



tensione totale

tensione efficace



PROBLEMATICHE DEI TERRENI ALLUVONALI

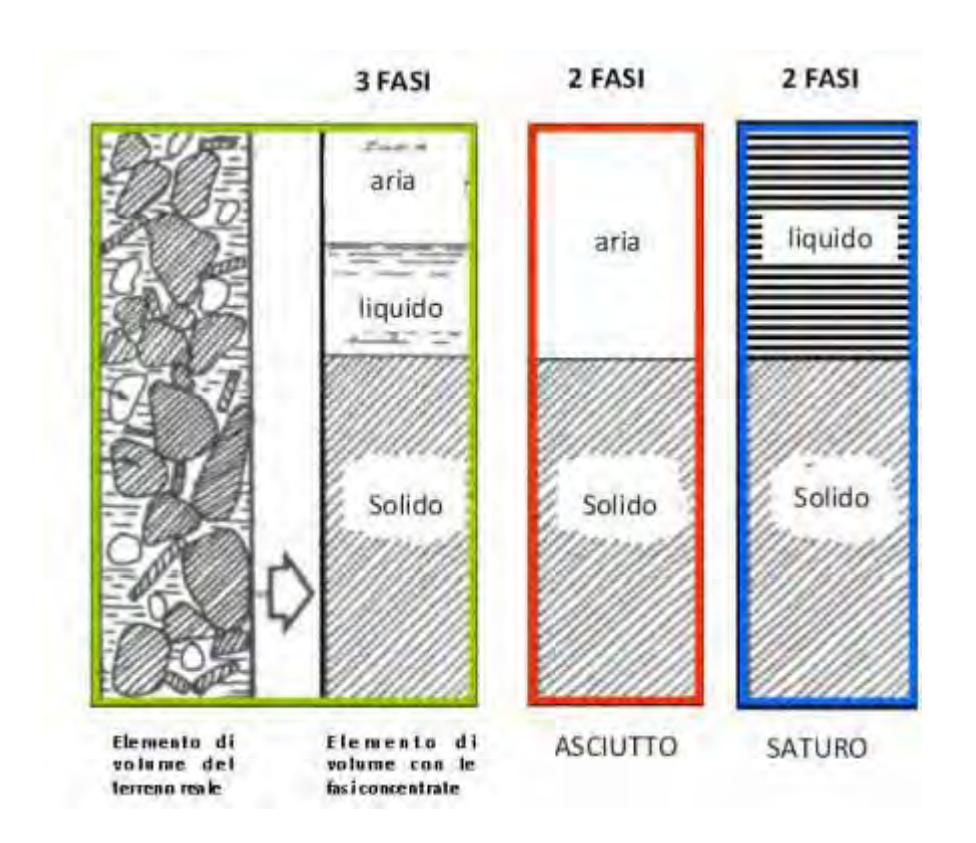
- I terreni di origine alluvionale sono terreni consolidati sotto il proprio peso (n.c.) contraddistinti da elevate porosità
- terreni poco consistenti, aventi bassa resistenza, bassa permeabilità ed elevata compressibilità
- Condizioni di sicurezza

Criticità delle condizioni a breve termine nei rilevati Criticità delle condizioni a lungo termine negli scavi

- Elevati Cedimenti
 - Rilevanti deformazioni plastiche irreversibili



PROPRIETA' DEL TERRENO



• Il terreno è un mezzo costituito da un sistema a più fasi all'interno del quale coesistono lo scheletro solido, l'acqua interstiziale allo stato liquido e nei terreni non completamente saturi, l'aria nei pori liberi.



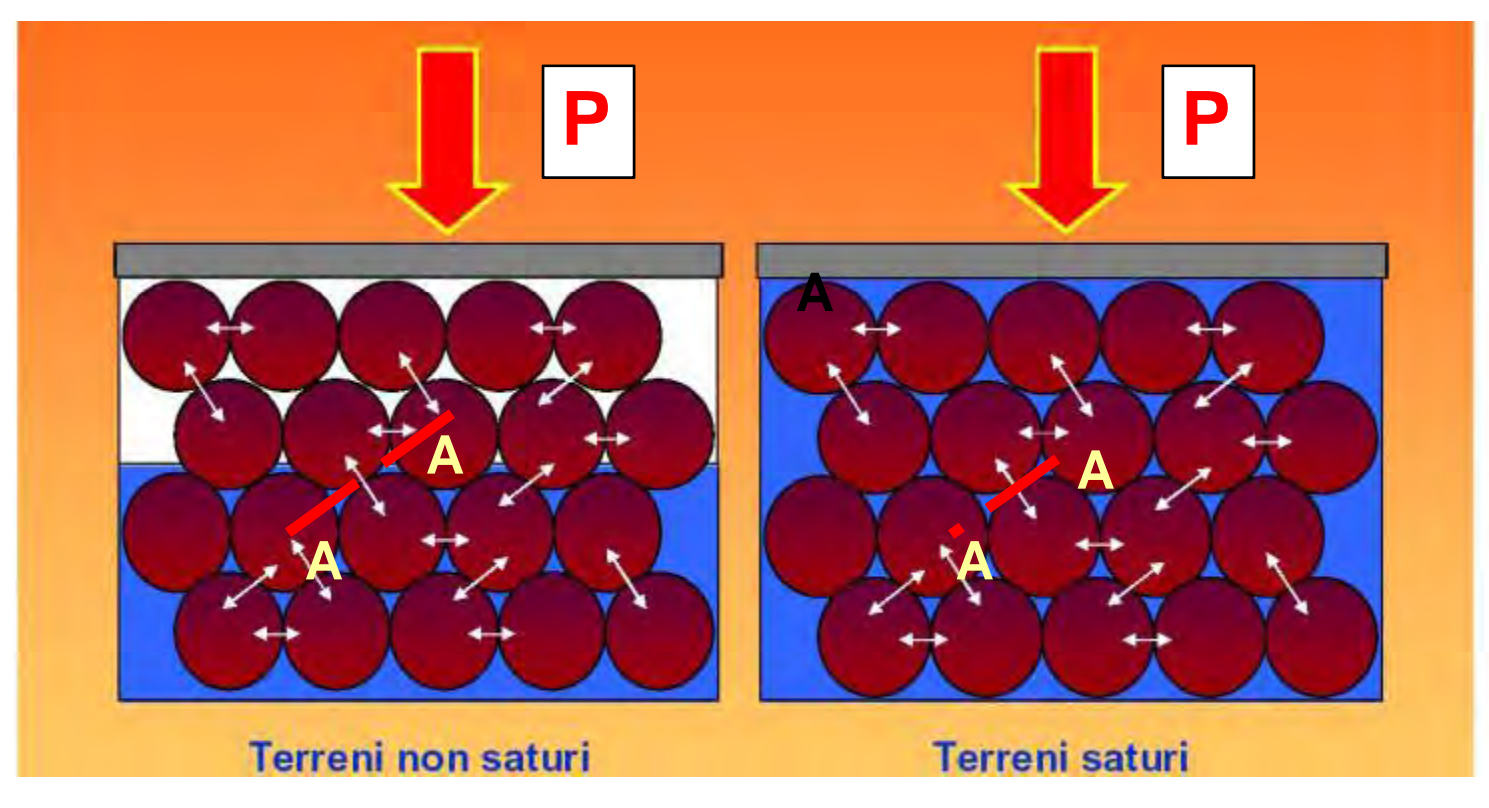
PROPRIETA' DEL TERRENO

- Lo scheletro solido fornisce resistenza e rigidezza e crea i vuoti interstiziali. I grani si scambiano tensioni tangenziali, che tendono a fare scorrere le particelle, e tensioni normali, denominate pressioni efficaci, da cui dipende la resistenza del terreno allo scorrimento che viene attivata tramite un meccanismo di attrito
- L'acqua e l'aria riempiono i vuoti interstiziali residui, intervenendo sulle resistenze iniziali, sui processi di consolidazione dei terreni saturi e di suzione nei terreni parzialmente saturi



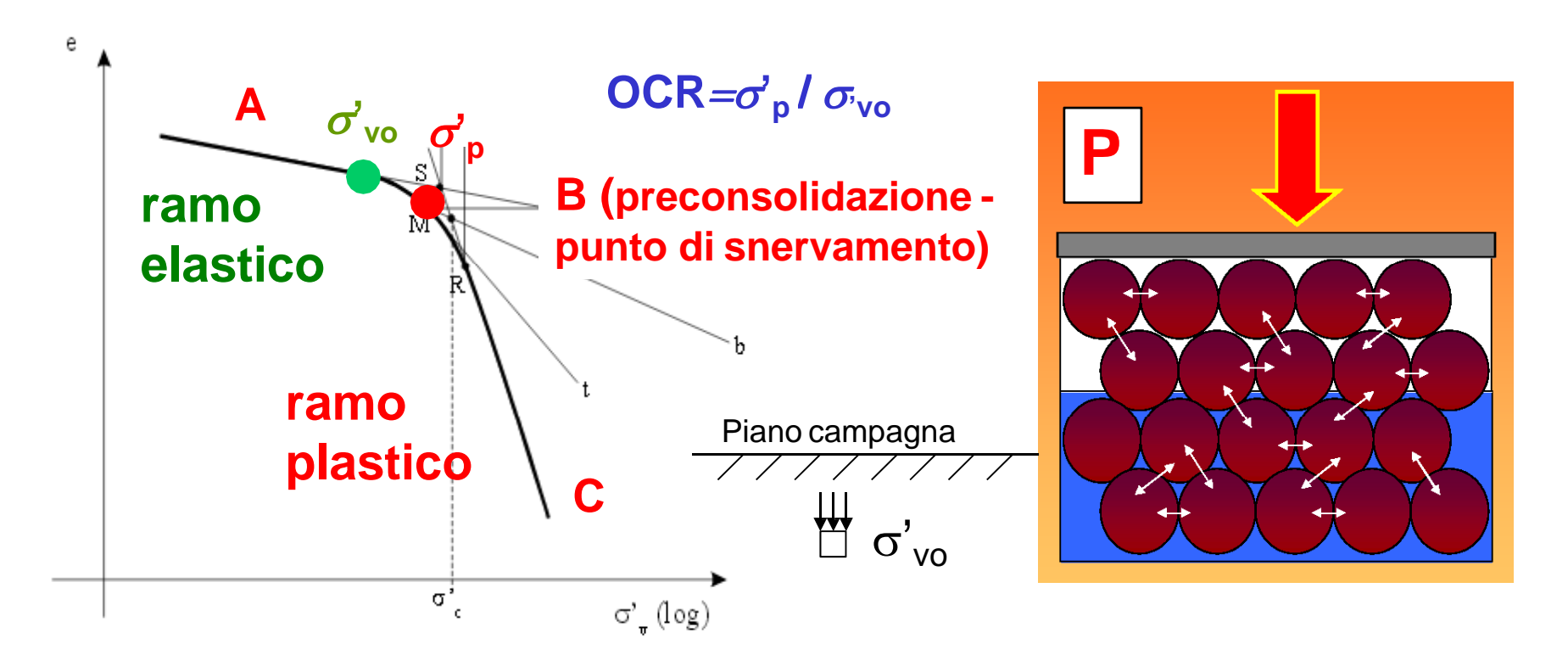
Tensioni efficaci tra i grani

Se si assimila il terreno ad un insieme di sfere rigide, gli unici spostamenti possibili tra i grani sono gli scorrimenti lungo il piano tangente A-A perpendicolare alla direzione di contatto



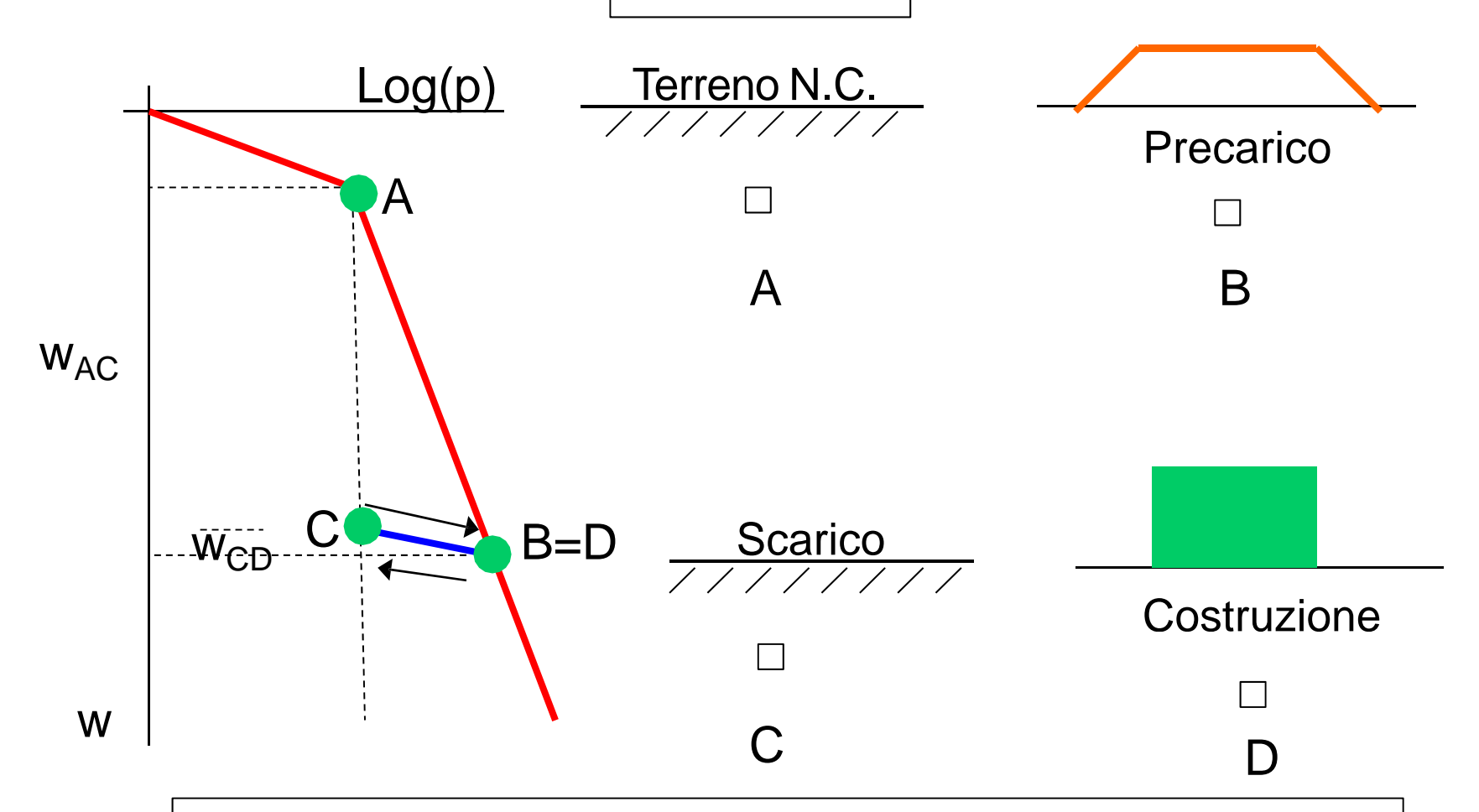
---- Piano di scorrimento

← Pressione efficace



In termini di pressioni applicate la risposta del terreno si distingue in a) un comportamento elastico (ramo A-B) (deformazioni reversibili) sino a quando le pressioni applicate sono inferiori a quelle massime già registrate in sito (punto B – pressione di preconsolidazione) che rappresenta il punto di snervamento e b) in un comportamento plastico (ramo B-C) durante il quale si vericano variazioni di volume irreversibili con riduzione vuoti che comporta l'insorgere di deformazioni permanenti.

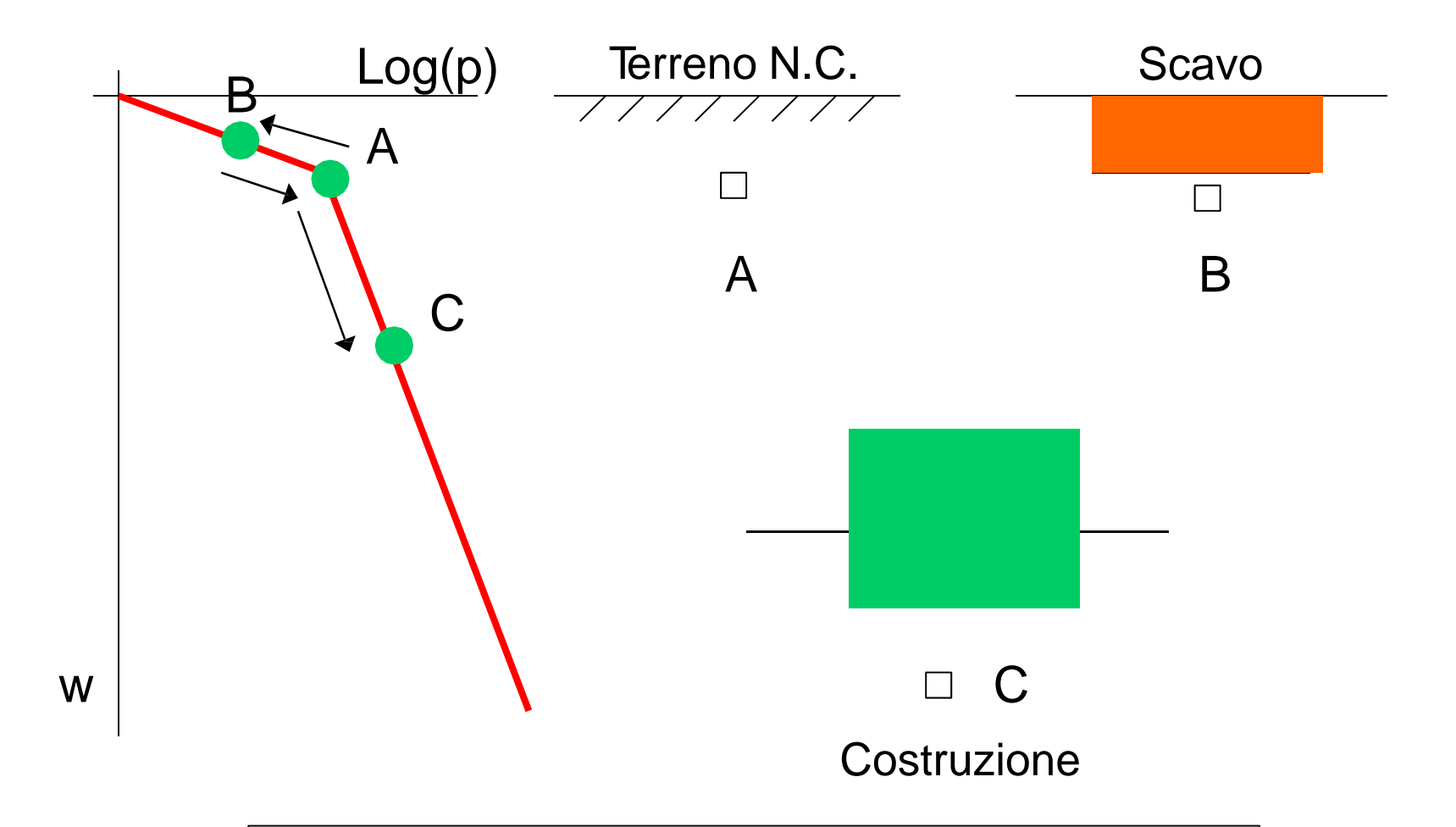
Precarico



Cedimento (plastico) per effetto del precarico w_{AC}

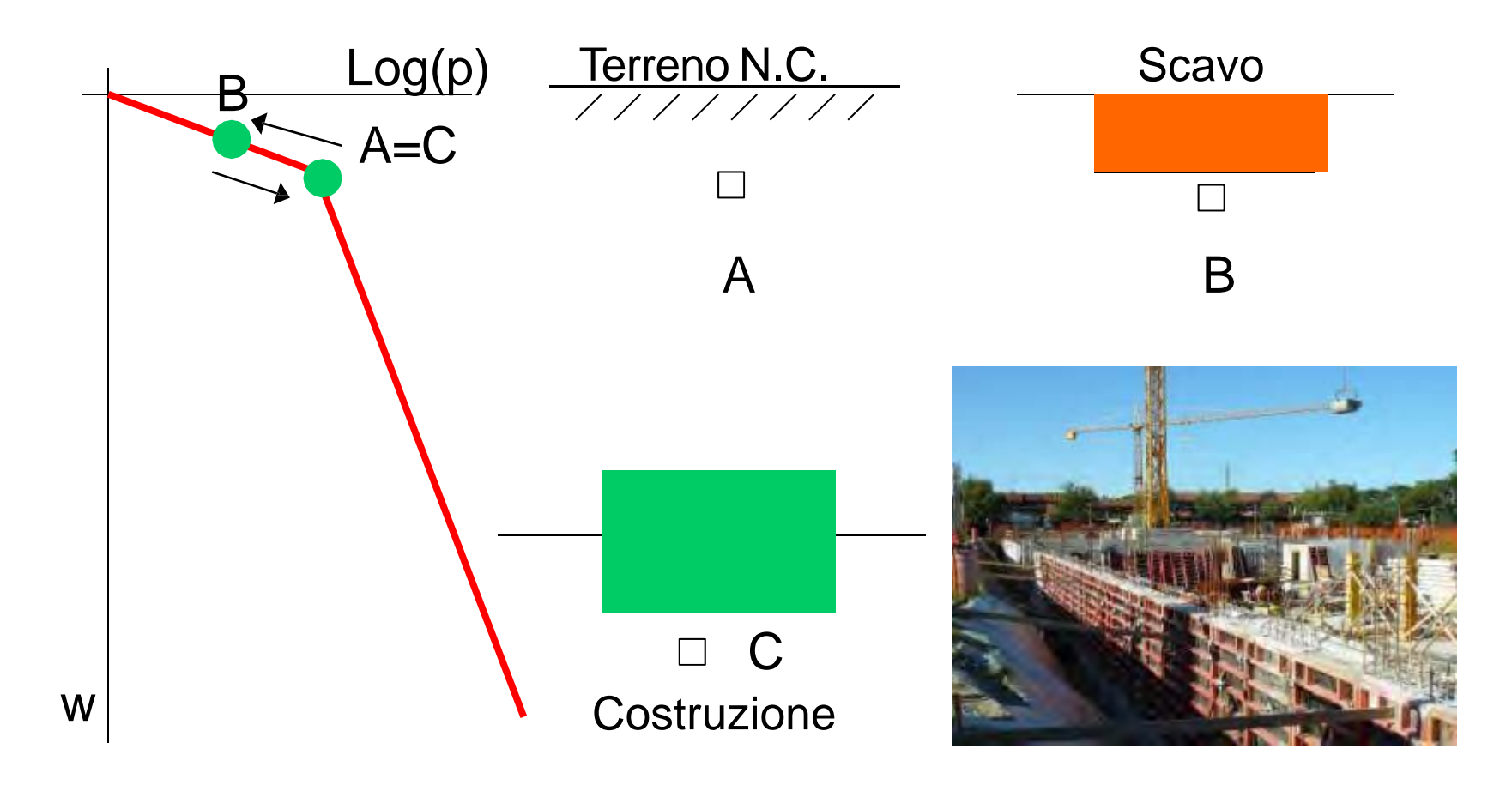
Cedimento (elastico) per effetto della costruzione w_{CD}

Fondazione parzialmente compensata



Cedimento per effetto della costruzione w_{BC} Cedimenti elastici (w_{BA}) e plastici (w_{AC})

Fondazione compensata



Fondazione compensata p_C≤p_A Deformazioni elastiche



PROPRIETA' DEL TERRENO

Modello del terreno

- Meccanica dei sistemi discreti, che tiene conto della natura particellare del terreno
- Meccanica dei fluidi, che tiene conto del comportamento dell'acqua interstiziale
- Meccanica del continuo, per la valutazione dello stato tensionale nel terreno indotto dai carichi esterni



Proprietà dei terreni

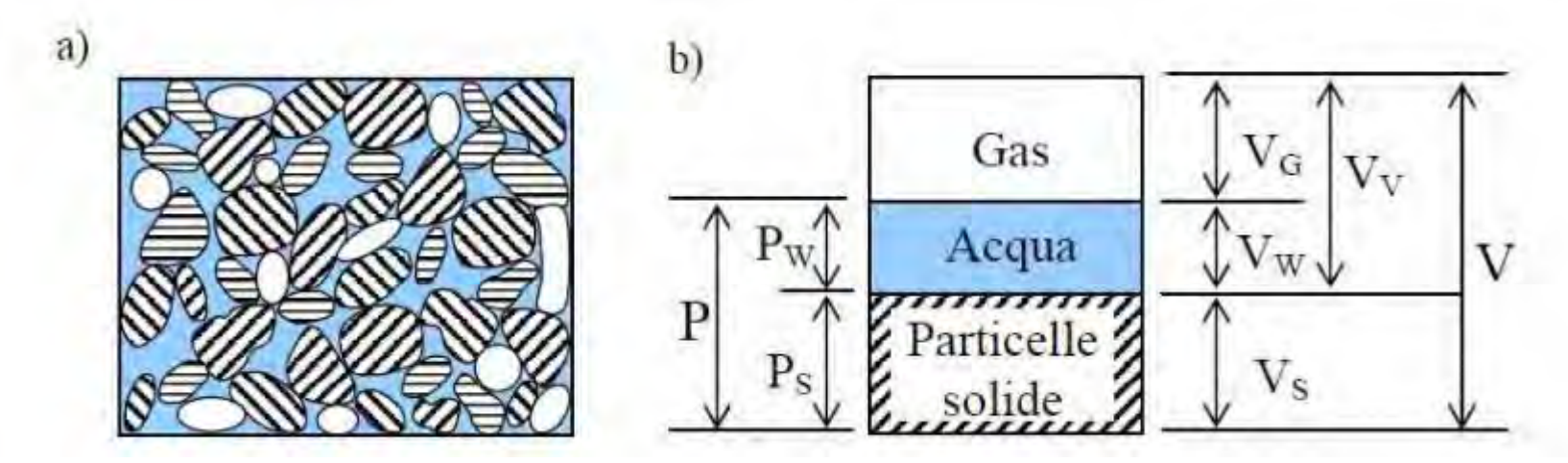
Porosità

Indice dei Vuoti

Grado di Saturazione



Proprietà del terreno - Porosità



Porosità (volume vuoti / volume totale)

$$\mathbf{n} = \mathbf{V_v} / \mathbf{V_{tot}}$$

Indice dei vuoti (volume vuoti / volume pieni)

$$e = V_v / V_p$$

Grado di Saturazione (volume acqua/volume vuoti)

$$S_r = V_w/Vv$$



Proprietà del terreno - Porosità

Figura 1.9 – Reticolo cubico (a) e tetraedrico (b)

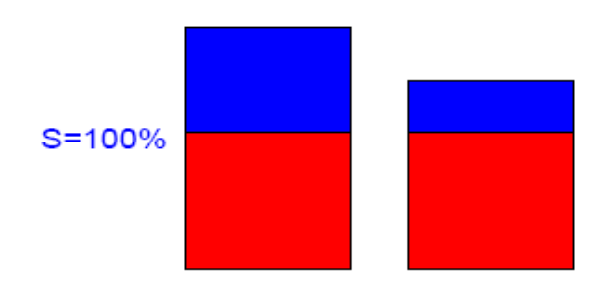
Tabella 1.2. Valori tipici di alcuni parametri del terreno

	n (%)	e	$\gamma_d (kN/m^3)$	$\gamma (kN/m^3)$
GHIAIA	25-40	0.3-0.7	14-21	18-23
SABBIA	25-50	0.3-1.0	13-18	16-21
LIMO	35-50	0.5-1.0	13-19	16-21
ARGILLA	30-70	0.4-2.3	7-18	14-21
TORBA	75-95	3.0-19.0	1-5	10-13



Proprietà del terreno – Peso specifico

Peso di volume γ



$$\gamma = \frac{P_s + P_w}{V_{totale}}$$

- fase solida (P_s; V_s)
- fase liquida (P_w; V_w)

$$\gamma_{sat} = \frac{P_s + P_w}{V_s}$$

Peso di volume saturo

$$\gamma_{dry} = \frac{P_s}{V_{totale}}$$

Peso di volume secco

$$\gamma' = \gamma_{sat} - \gamma_{w}$$

Peso di volume immerso



Proprietà del terreno

Peso specifico secco ($S_r = 0$)

$$\gamma_d = (1-n) \cdot \gamma_g$$

Peso specifico naturale $(S_r \neq 0)$

$$\gamma_n = (1 - n) \cdot \gamma_g + n \cdot S_r \cdot \gamma_w$$

Peso specifico saturo $(S_r = 1)$

$$\gamma_s = (1-n) \cdot \gamma_g + n \cdot \gamma_w$$

Peso specifico immerso

$$\gamma_i = (1-n) \cdot (\gamma_g - \gamma_w)$$

Esempio numerico

n=0.45
$$\gamma_q$$
=27 KN/m³

$$\gamma_d$$
=(1-0.45)x27 = 14.85 KN/m³

$$n=0.45$$
 S_r=0.50 $\gamma_w=10$ KN/m³

$$\gamma_0$$
=14.85+0.45x0.5x10 = 17.10 KN/m³

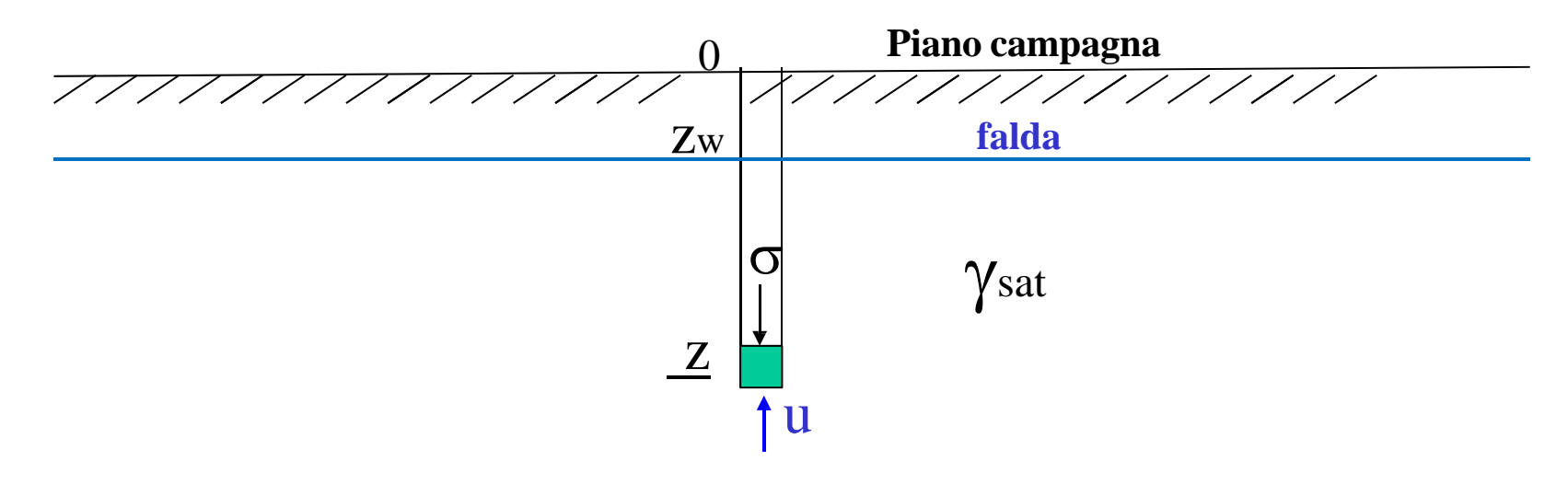
$$n=0.45$$
 S_r=1.00 $\gamma_w=10$ KN/m³

$$\gamma_s$$
=14.85+0.45x10 = 19.35 KN/m³

n=0.45 S_r=1.0
$$\gamma_w$$
=10 KN/m³

$$\gamma_i$$
=(1-0.45)x(27-10) = 9.35 KN/m³

Tensioni totali ed efficaci



 σ = tensione totale

u – pressione neutra H₂₀

 σ '= tensione efficace

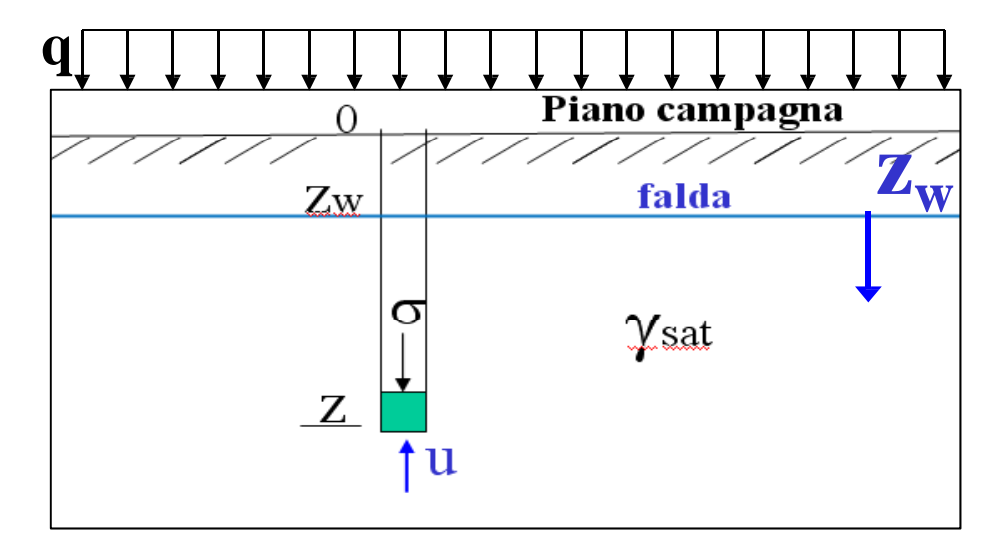
$$\sigma = \gamma_{\text{sat}} z$$
 $\sigma' = \sigma - u = \gamma_{\text{sat}} z - \gamma_{\text{w}} (z - z_{\text{w}})$

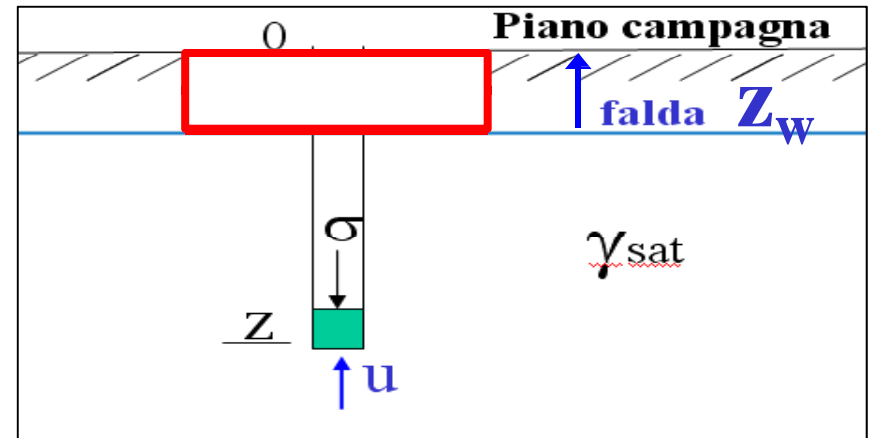


Principio delle tensioni efficaci (Karl Terzaghi)

La resistenza a taglio e la rigidezza meccanica di un terreno dipendono solo dalle tensioni che si scambiano i grani, dette per questo tensioni efficaci.

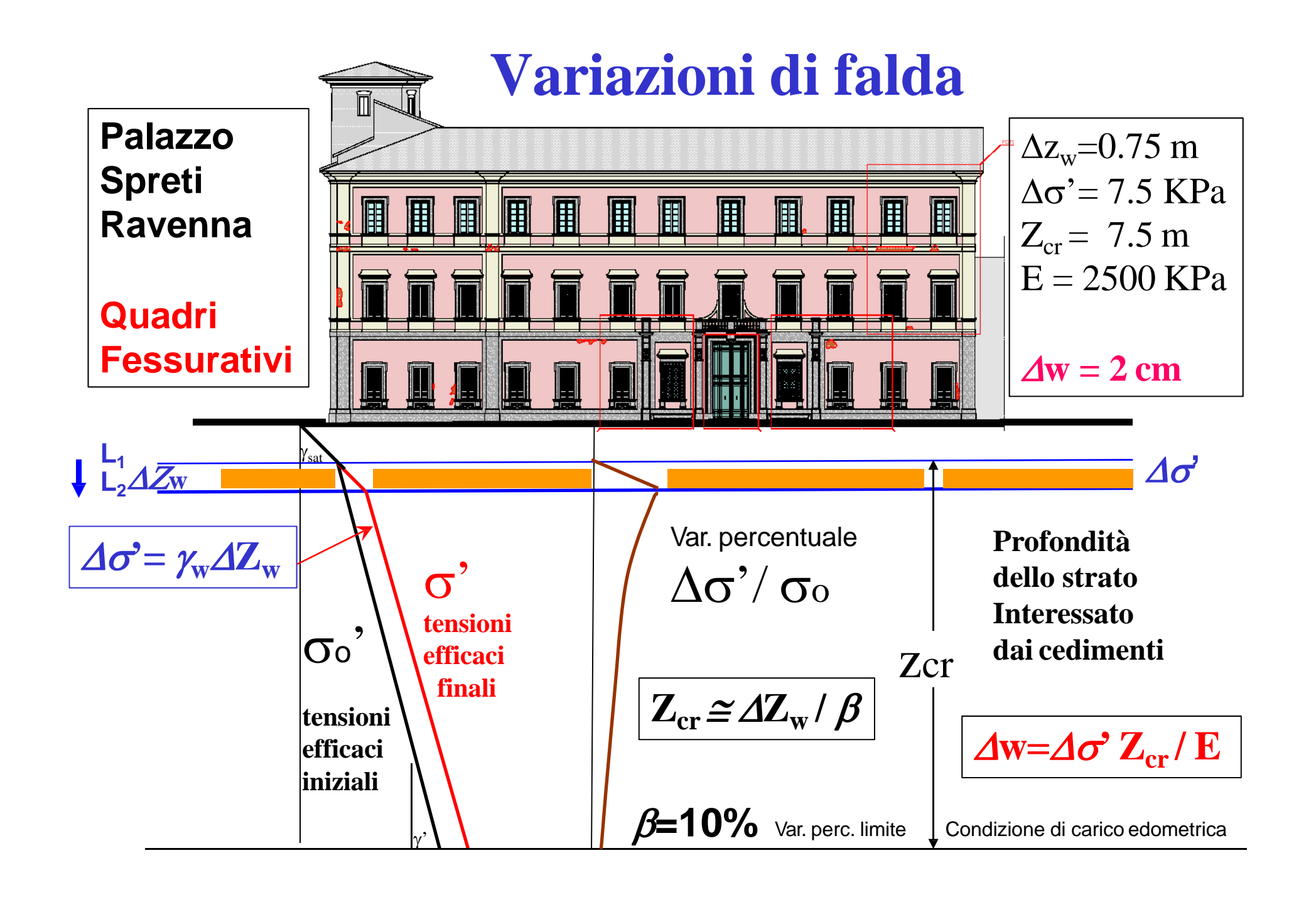
In un terreno saturo le tensioni efficaci sono pari alla differenza tra la tensione totale e la pressione neutra nell'acqua interstiziale.

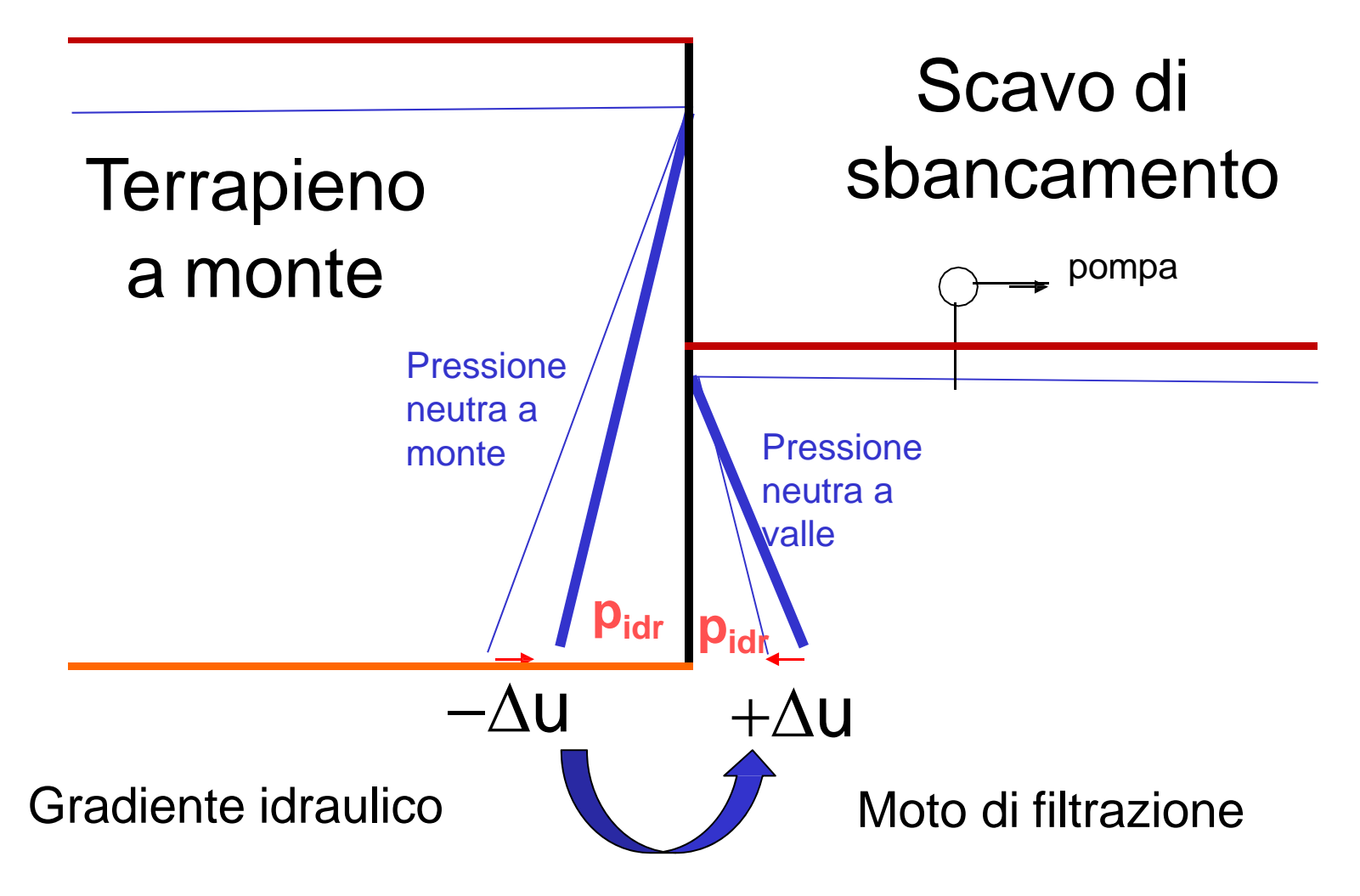












Incremento di pressione efficace per riduzione della pressione interstiziale a seguito del moto di filtrazione

Sollevamento del fondo scavo

a seguito del moto di filtrazione

Riduzione di pressione efficace per

Incremento della pressione interstiziale

Cedimento a monte del piano campagna

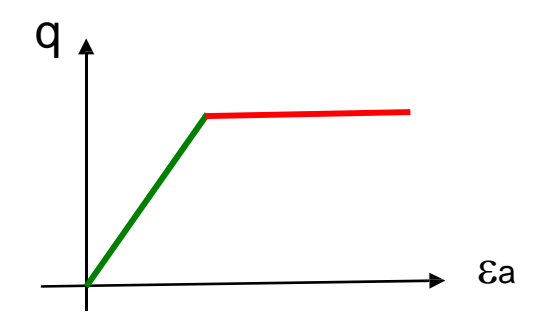
Leggi Costitutive dei Terreni

Leggi costitutive

Elasto plastica (Modello di Mohr-Coulomb)
Le deformazioni si mantengono elastiche sino a
rottura che coincide con lo snervamentoe poi si
manifestano deformazioni plastiche a tensione
costante di natura irreversibile

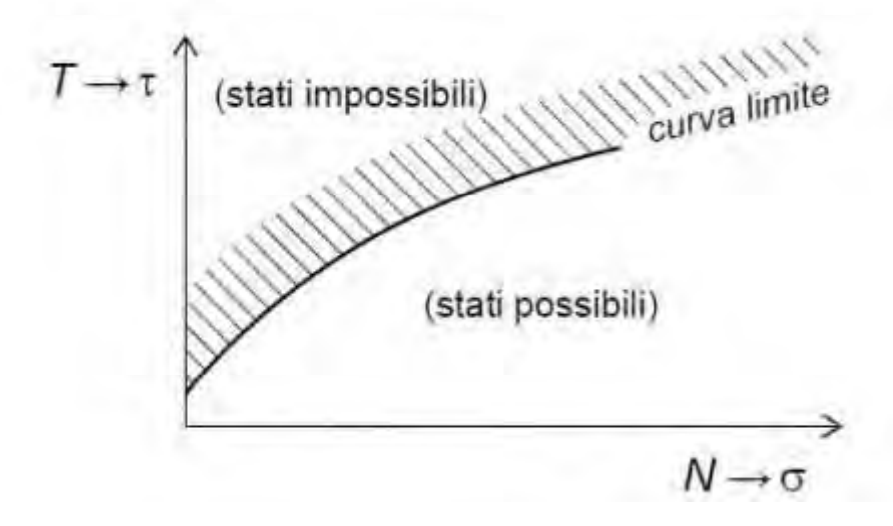
Non Lineare (Elasto Plastiche Incrudenti)
Si manifestano deformazioni elastiche
lontano dalla rottura, con superficie di
snervamento che si amplia continuamente
(Modello Cam – Clay)

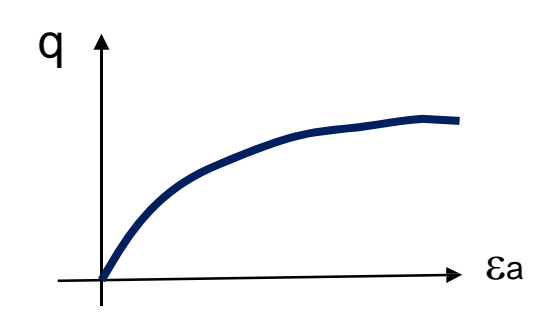
Leggi Costitutive del terreno



Modello elasto plastico (Mohr-Coulomb)

Comportamento elastico sino a rottura per plasticizzazione





Modello non lineare (Cam - Clay)

Comportamento incrudente con deformazioni plastiche anche lontano dalla rottura

$$\sigma = N/A$$

$$\tau = T/A$$

STATI TENSIONALI NEL TERRENO

EFFETTI SULLE VARIAZIONI DI VOLUME E DI FORMA

Compressione sferica $\sigma'_1 = \sigma'_2 = \sigma'_3$ (compressibilità) Compressione edometrica $\sigma_2' = \sigma_3' \neq 0$; $\varepsilon_2 = \varepsilon_3 = 0$ (compressibilità) Piastra di acciaio Compressione triassiale drenata $\sigma'_2 = \sigma'_3 = \cos t$. (deformabilità e resistenza)

Prove di compressione

Variazione di volume ma non di forma

$$(\sigma_1=\sigma_2=\sigma_3)$$

(accorciamento isotropo nelle 3 dir.)

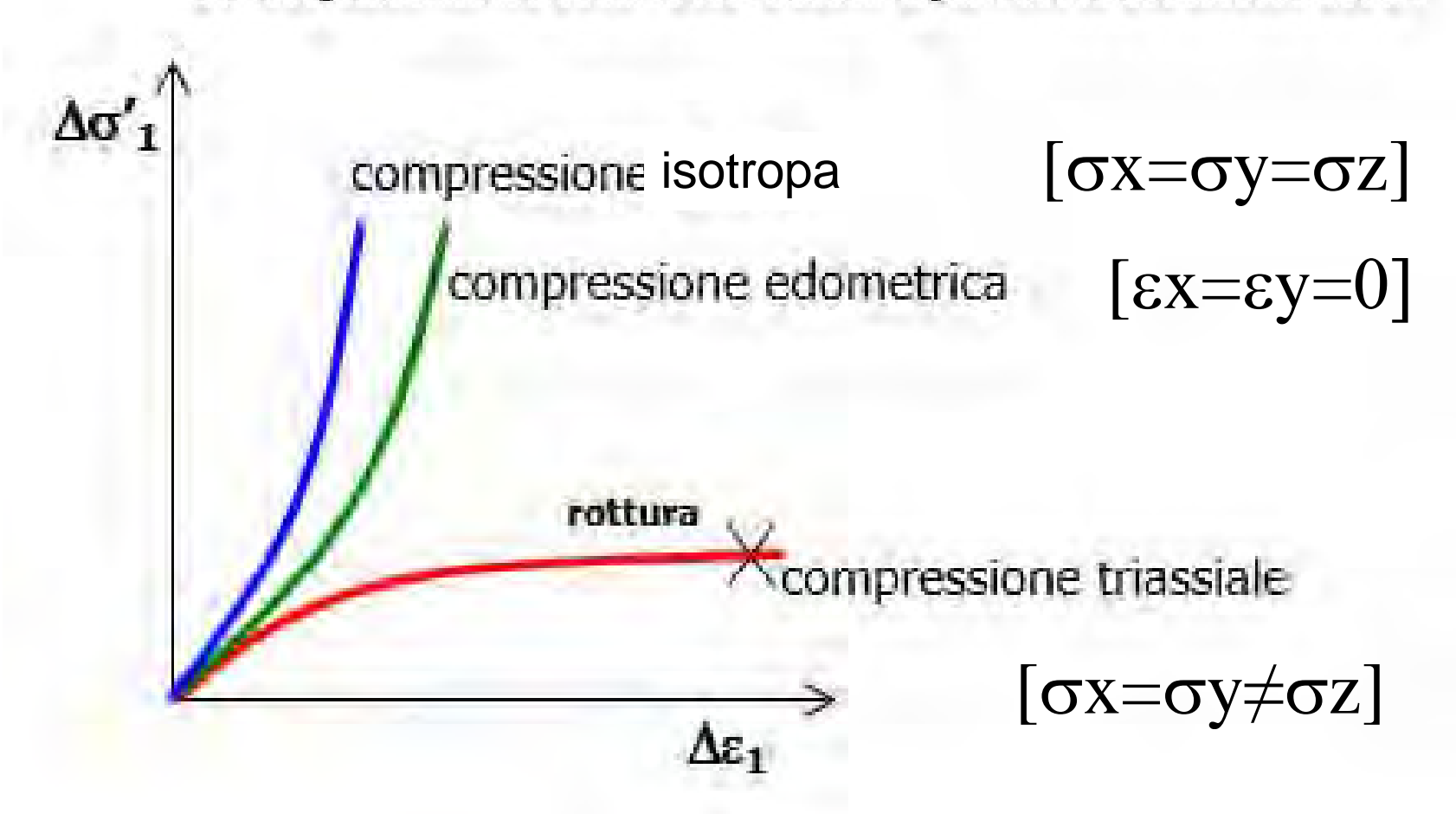
Variazione di volume con espansione laterale impedita (prova edometrica)

(accorciamento dir. verticale)

Variazione di volume e di forma ($\sigma_1 > \sigma_2 = \sigma_3$) (prova triassiale, e.l.l)

(dilatazione orizzontale che produce la rottura del provino – sforzo dev.)

Comportamento rilevato sperimentalmente

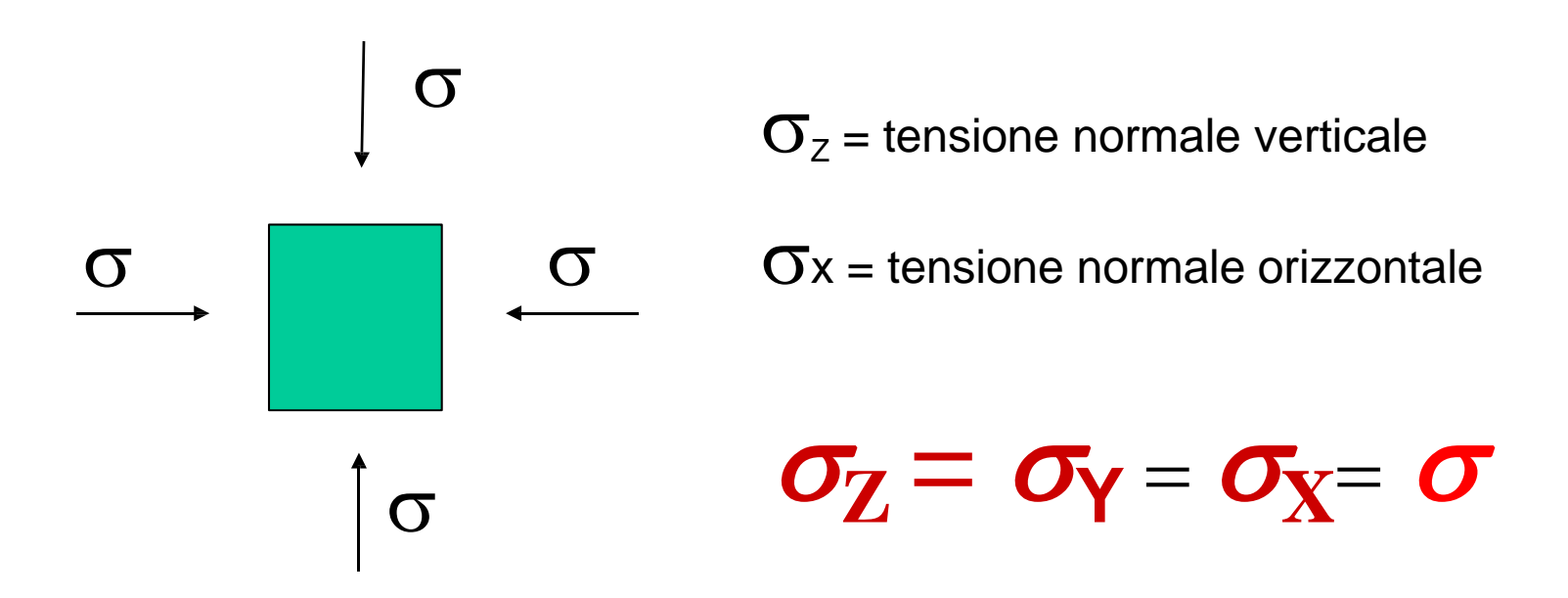


PRESSIONI ISOTROPE

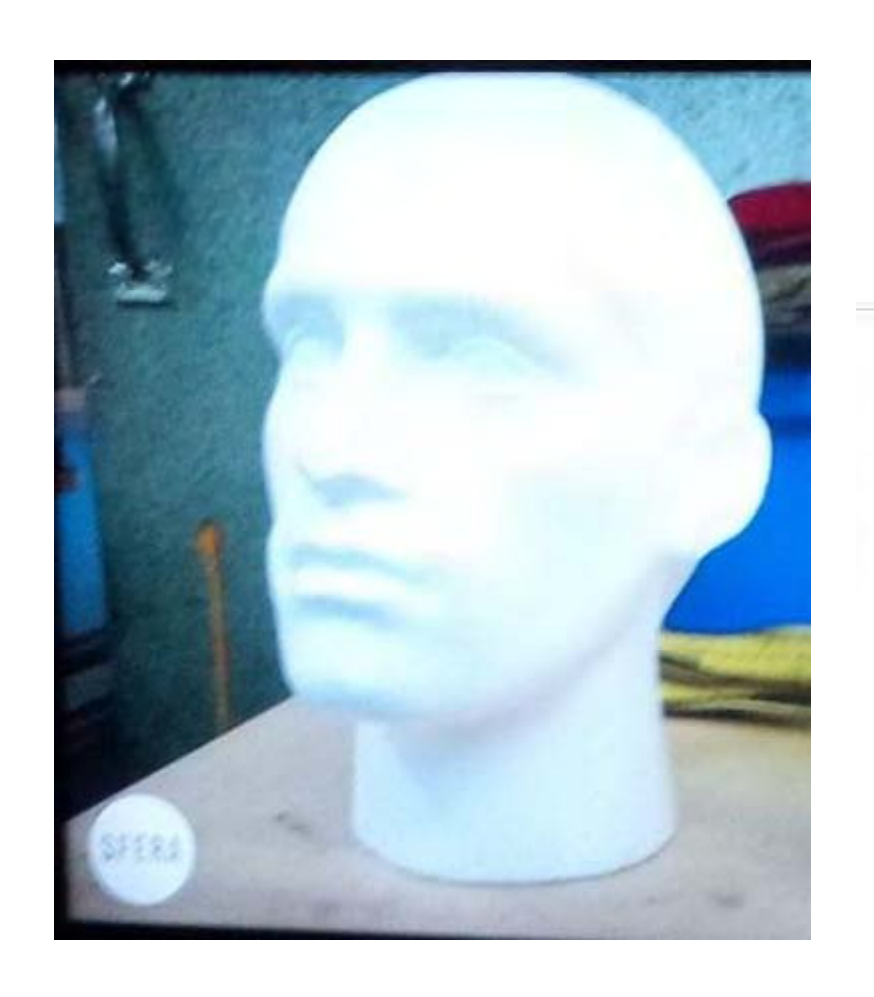
e

SFORZI DEVIATORICI

Stato tensionale isotropo nel terreno

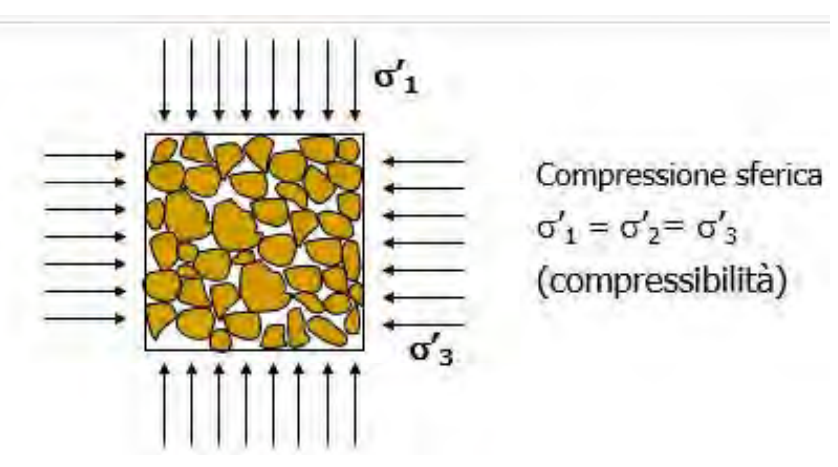


Variazione di volume



P=100 bar

Testa di polistirolo



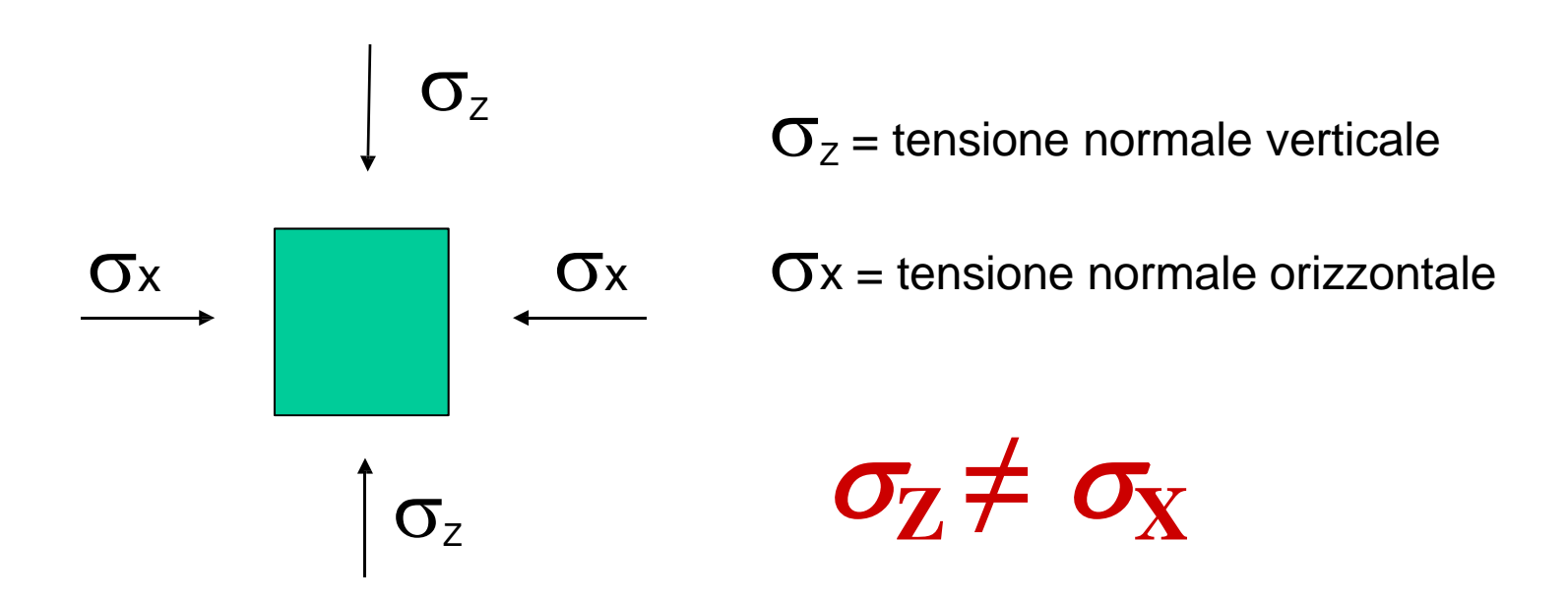
$$\sigma_Z = \sigma_Y = \sigma_X$$

Effetti della pressione isotropa Riduzione omotetica di volume



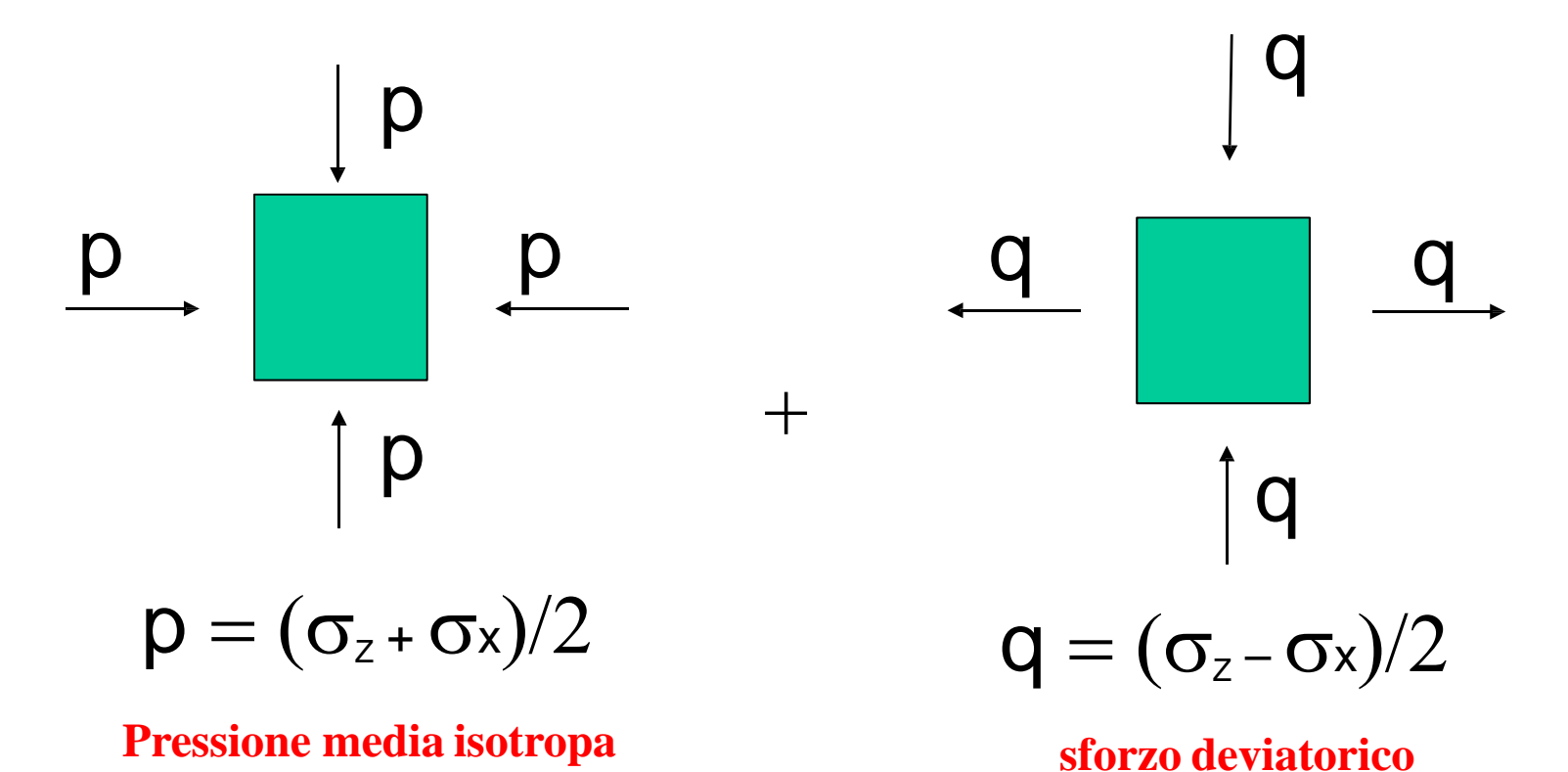
Effetti della pressione isotropa Riduzione omotetica di volume

Stato tensionale anisotropo nel terreno



Variazione di volume e di forma

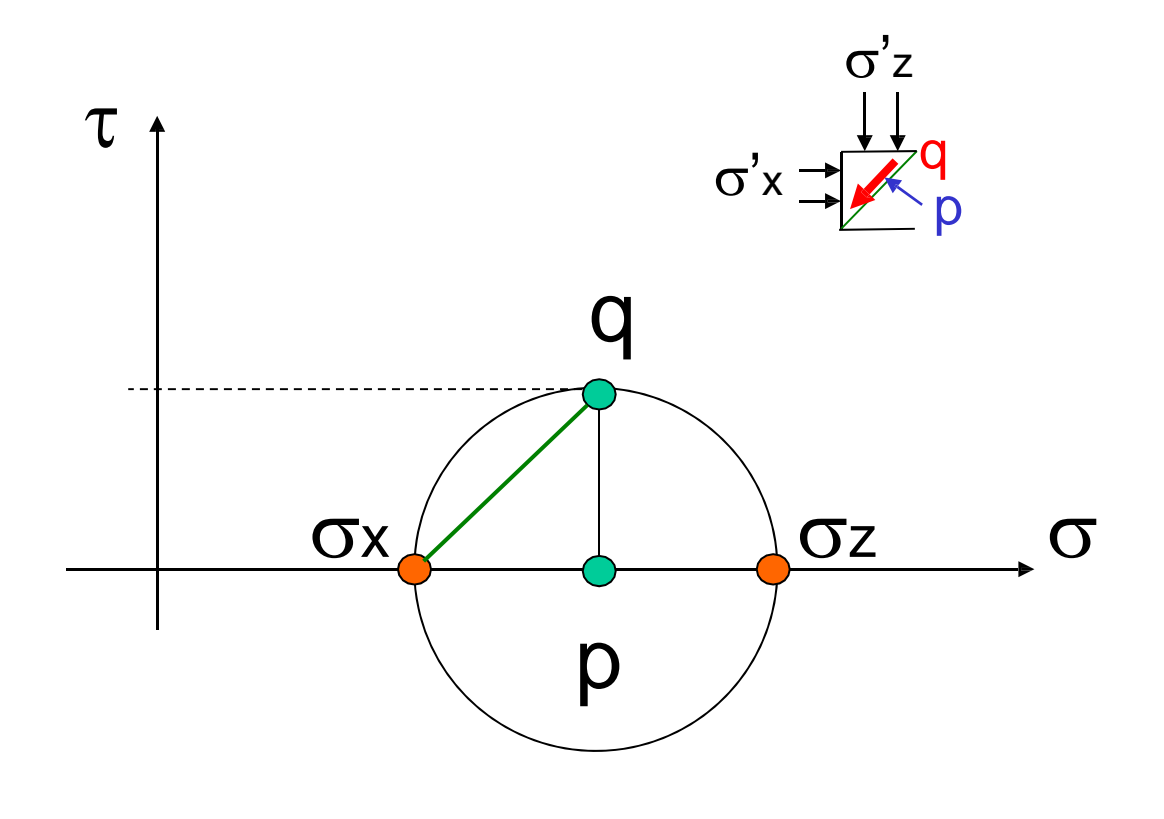
Stato tensionale nel terreno



Variazione di volume

Variazione di forma

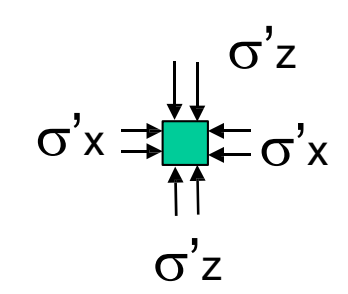
Stato tensionale isotropo e deviatorico



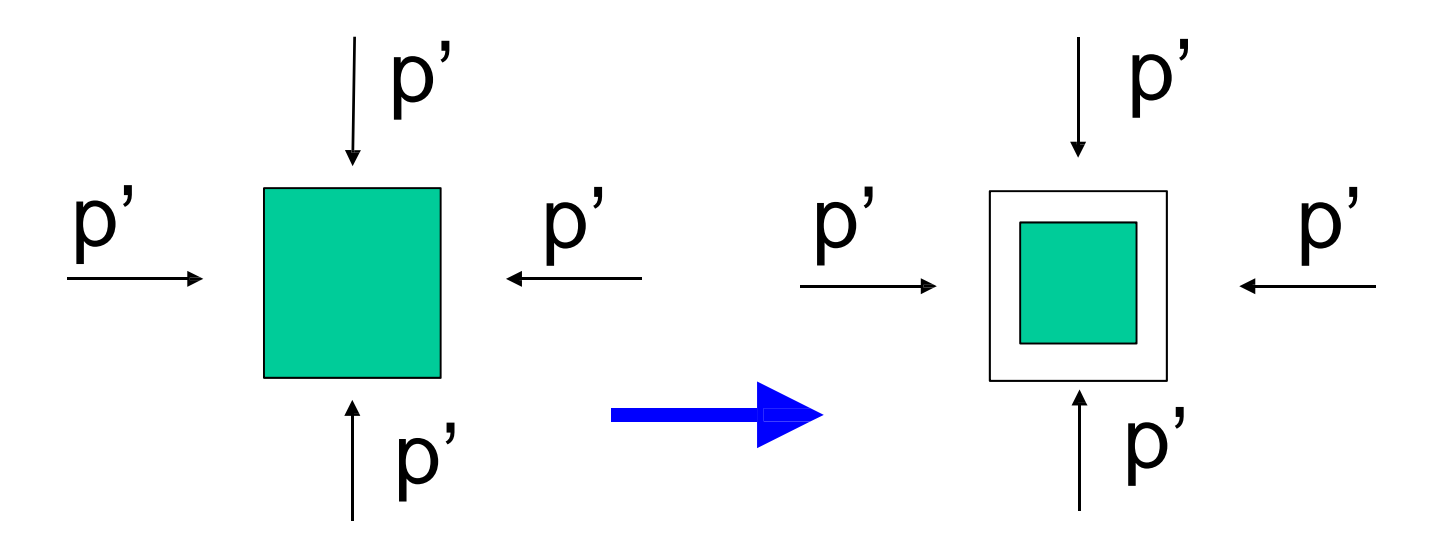
p, q = sforzi isotropi e deviatorici

$$p = (\sigma_z + \sigma_x)/2$$
Pressione media isotropa

$$q = (\sigma_z - \sigma_x)/2$$
sforzo deviatorico



Stato di compressione isotropa



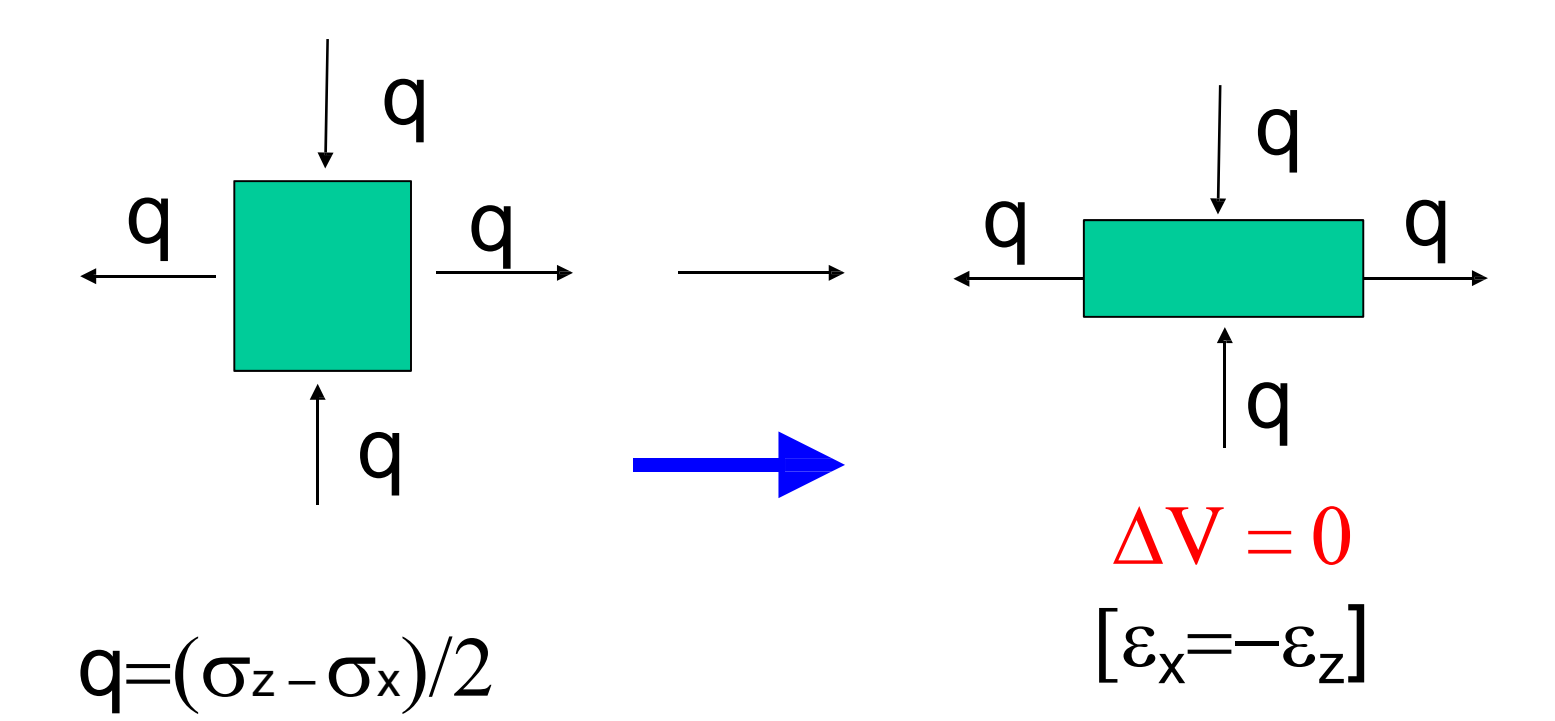
p= pressione media isotropa

Variazione di volume senza distorsione di forma

$$\Delta V = p'/K_s$$

$$p' = K_s \Delta V$$

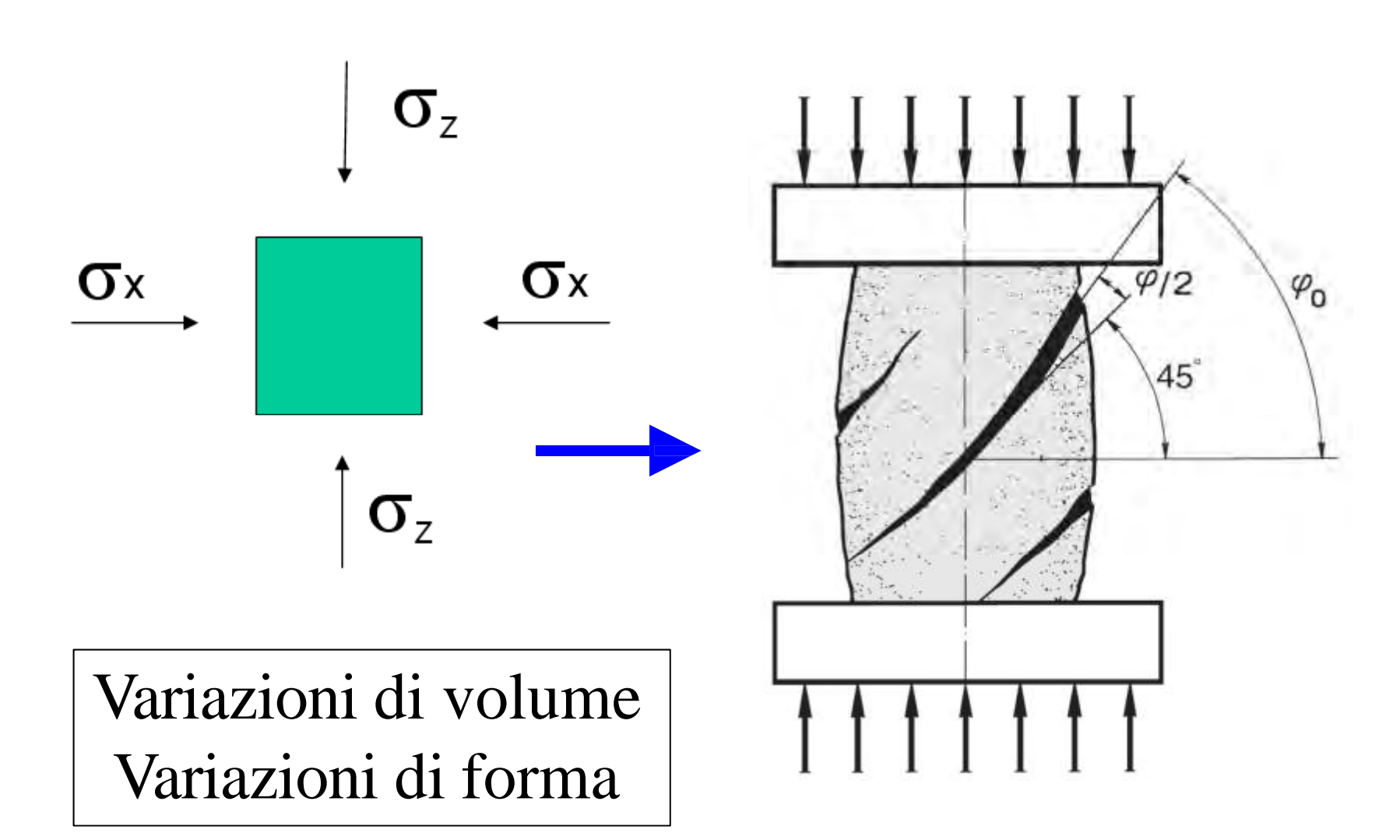
Stato di sforzo deviatorico



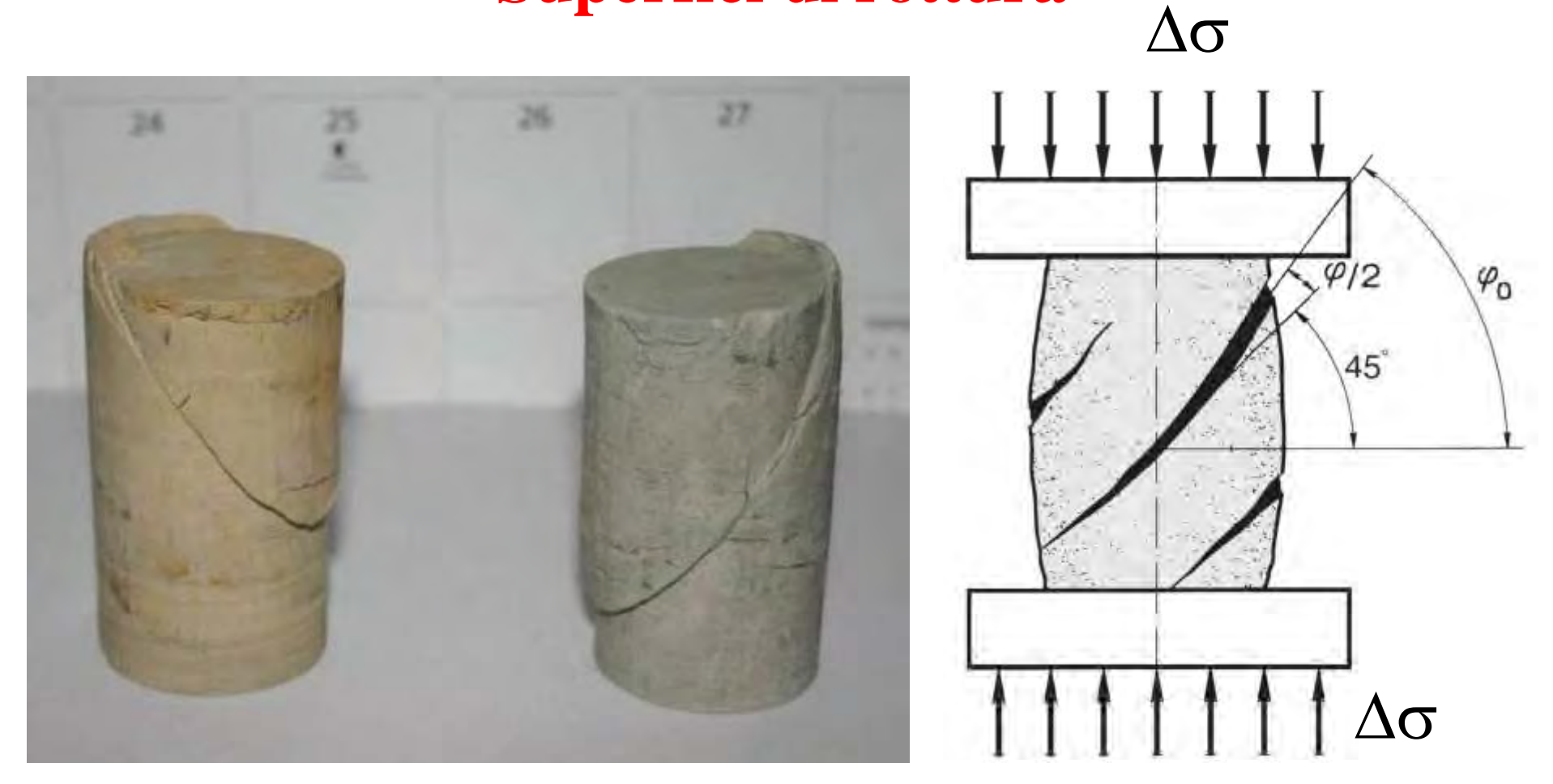
sforzo deviatorico

Variazione di forma ma non di volume (modello elastico)

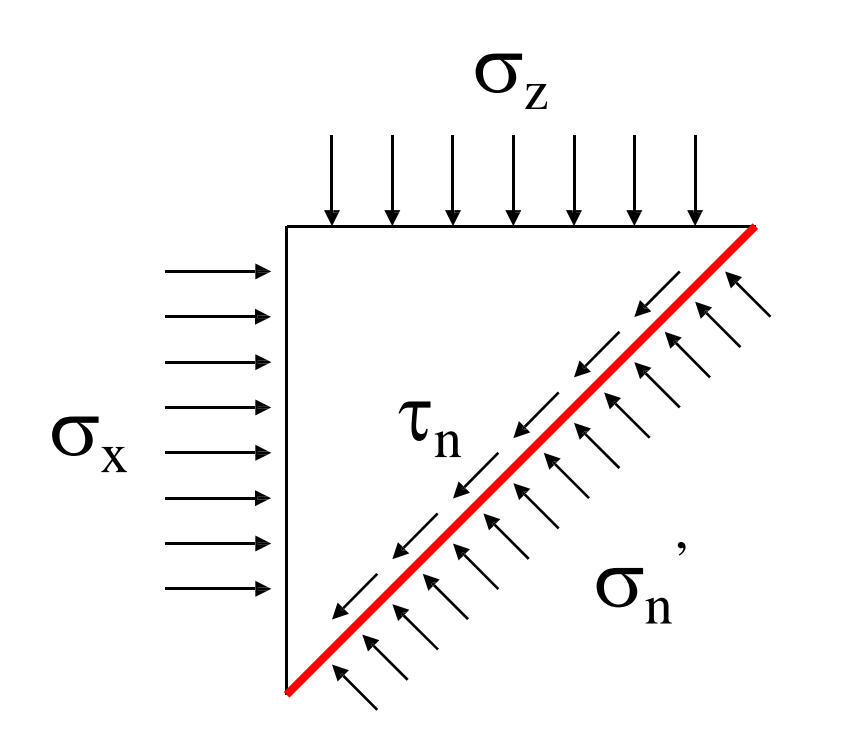
Stato di sforzo anisotropo nel terreno



Superfici di rottura



Inclinazione del piano di scorrimento $\theta=45^{\circ}+\phi/2$



Criterio di Rottura Mohr - Coulomb

$$\tau_n = \sigma_n$$
' tan ϕ

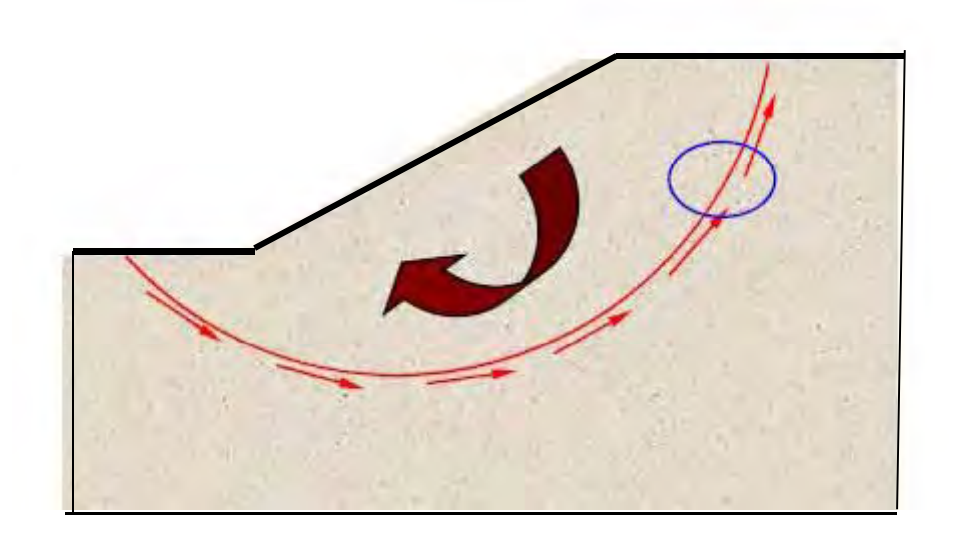
Resistenza a taglio del terreno

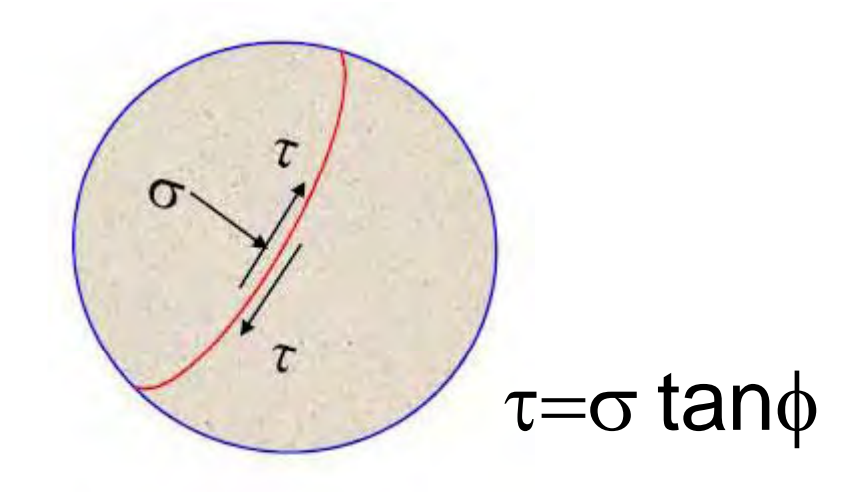
piano di scorrimento

$$\tau_n = \frac{\sigma_z - \sigma_x}{2} \cdot \sin 2\theta$$
$$\sigma_n = \sigma_z \cos^2 \theta + \sigma_x \sin^2 \theta$$

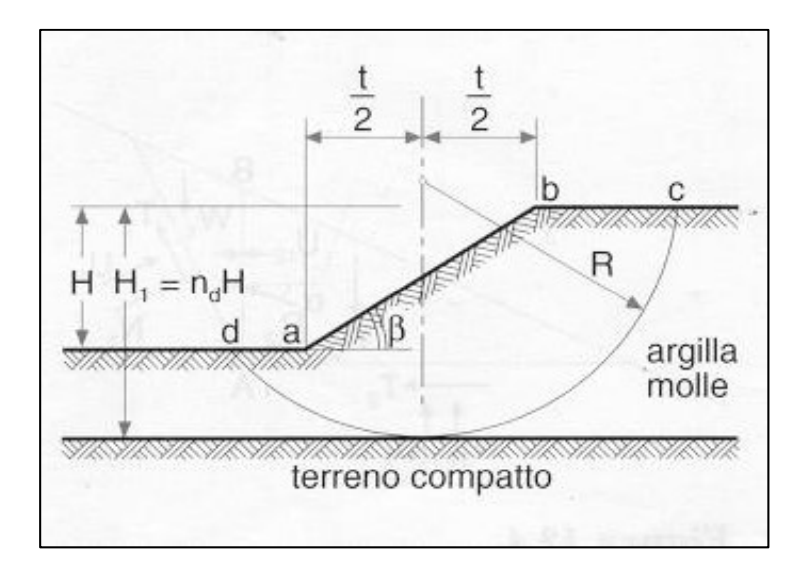
La **rottura** si manifesta lungo un piano di **scorrimento** nel quale il rapporto tra la **tensione tangenziale** τ_n e la **tensione efficace** σ_n , e guaglia **coefficiente di attrito** $f=\tan\phi$.

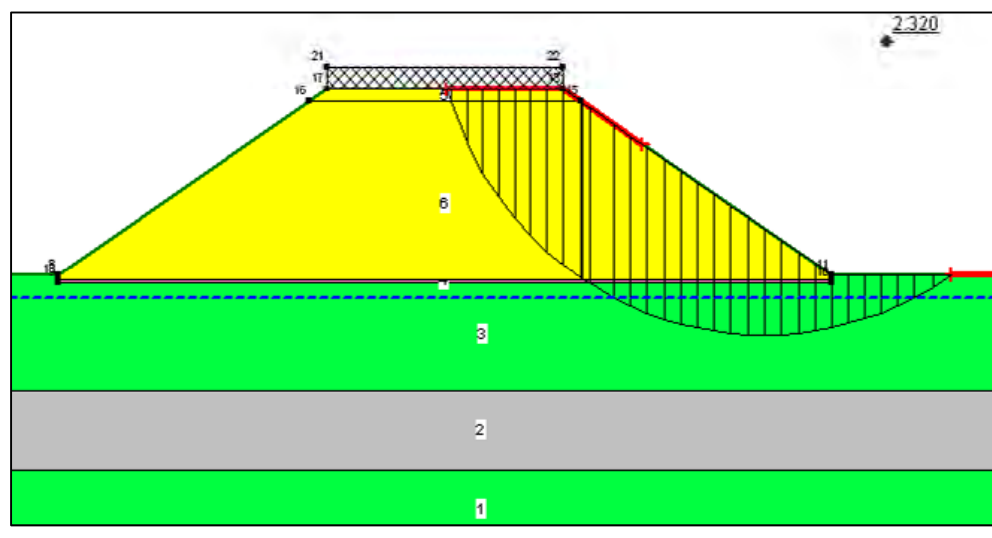
Superfici di scorrimento nel terreno



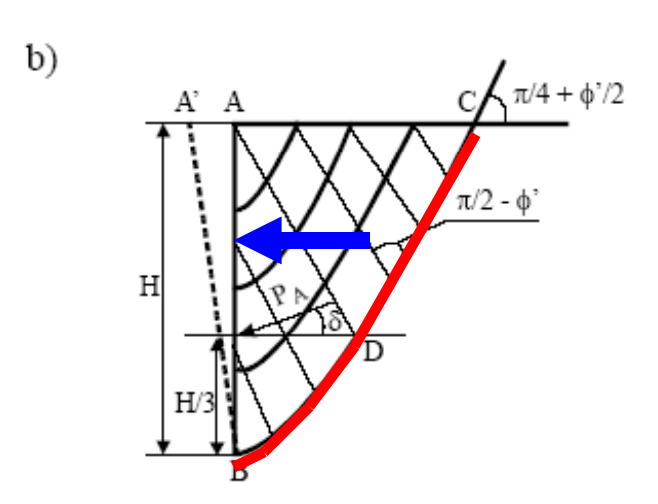


stabilità pendii, scavi e rilevati





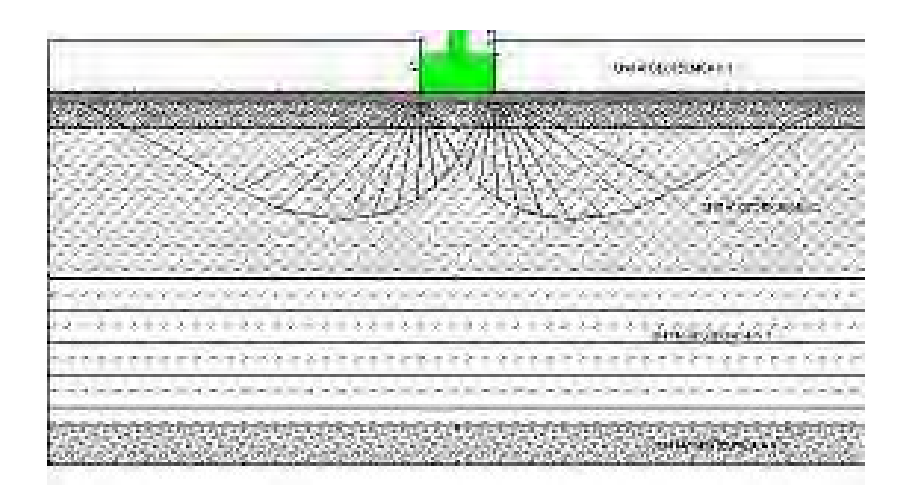
Superfici di scorrimento nel terreno

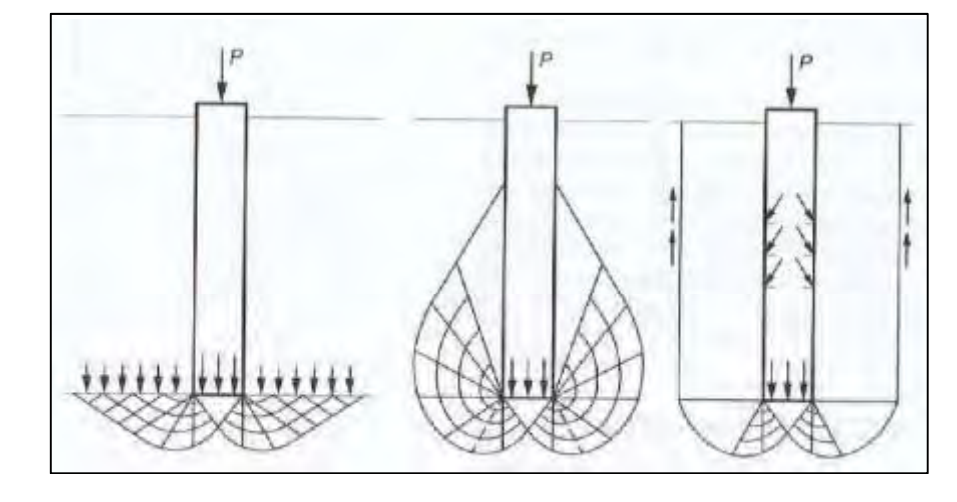


A A' $C \frac{\pi/4 - \phi^2/2}{\pi/2 + \phi^2}$ H
H/3
B
D

Opere di sostegno – spinta attiva

Opere di sostegno – spinta passiva





Fondazioni dirette

Pali di fondazioni

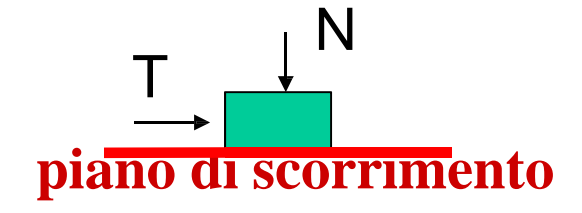
SFORZI

TANGENZIALI



Resistenza taglio del terreno

La resistenza dei terreni dipende dall'attrito attivitato lungo le superfici di scorrimento.



Una analogia efficace è rappresentata da un mattone appoggiato su un tavolo soggetto ad un carico N ed ad una forza orizzontale T.

E' esperienza comune constatare che si mantiene l'equilibrio (ossia vi è assenza di movimento) sino a quando la forza T non supera un valore limite.



piano di scorrimento

Resistenza a taglio del terreno

Quando la forza raggiunge un valore limite, definita *resistenza di primo distacco*, si verifica il movimento, ossia lo slittamento o scorrimento, per mantenere il quale occorre applicare un forza leggermente minore (forza di *attrito cinematico*)

 $T \le N f$ $f = coeffic. di attrito <math>f = tan(\phi)$ $\phi = angolo di attrito$

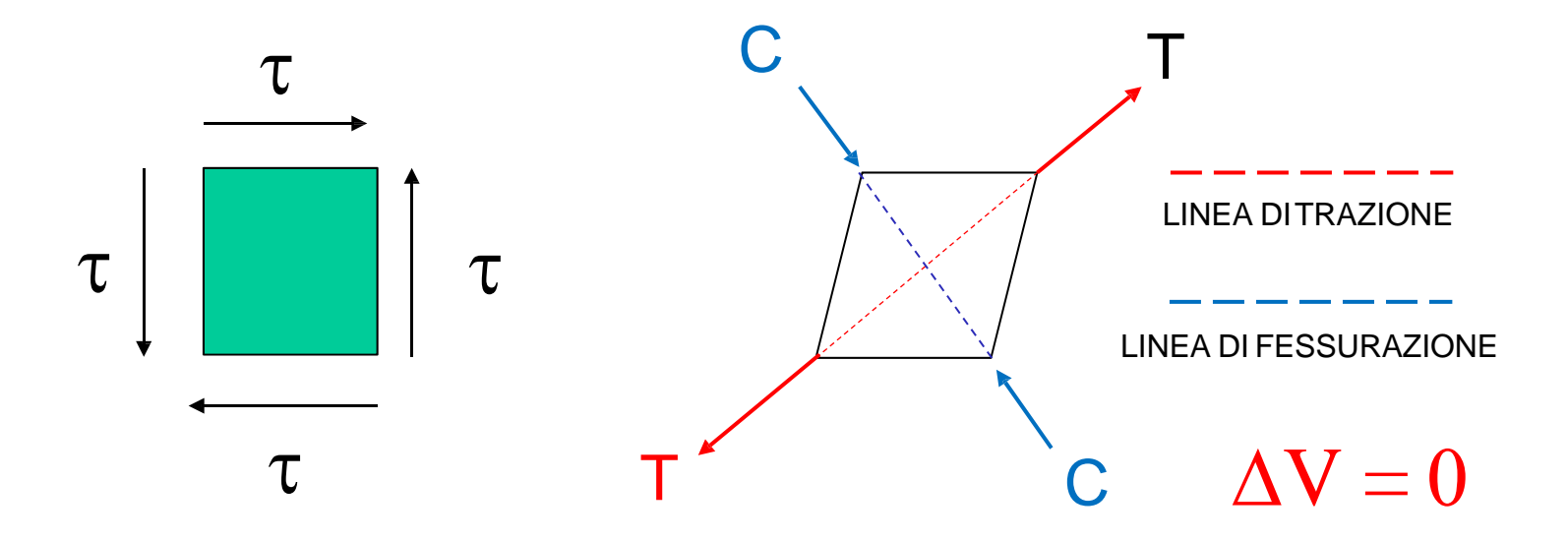
Effetti delle sollecitazioni – deformazioni elastiche

$$\tau_s < \sigma' \cdot \tan \phi' + c'$$

$$\tau_s < (\sigma - u) \cdot \tan \phi' + c'$$

Sin tanto che le tensioni tangenziali sollecitanti l'interfaccia tra i grani si mantiene inferiore alla resistenza a taglio, ossia alla resistenza che si oppone allo scorrimento, i grani del terreno mantengono fissa la posizione relativa reciproca e si manifestano pertanto solamente deformazioni elastiche (le variazioni di volume del terreno sono conseguenti alla sola compressione dei grani).

Stato di tensione tangenziale puro



Distorsione di forma senza variazione di volume (modello elastico – assenza di scorrimento)

Effetti delle sollecitazioni – deformazioni plastiche

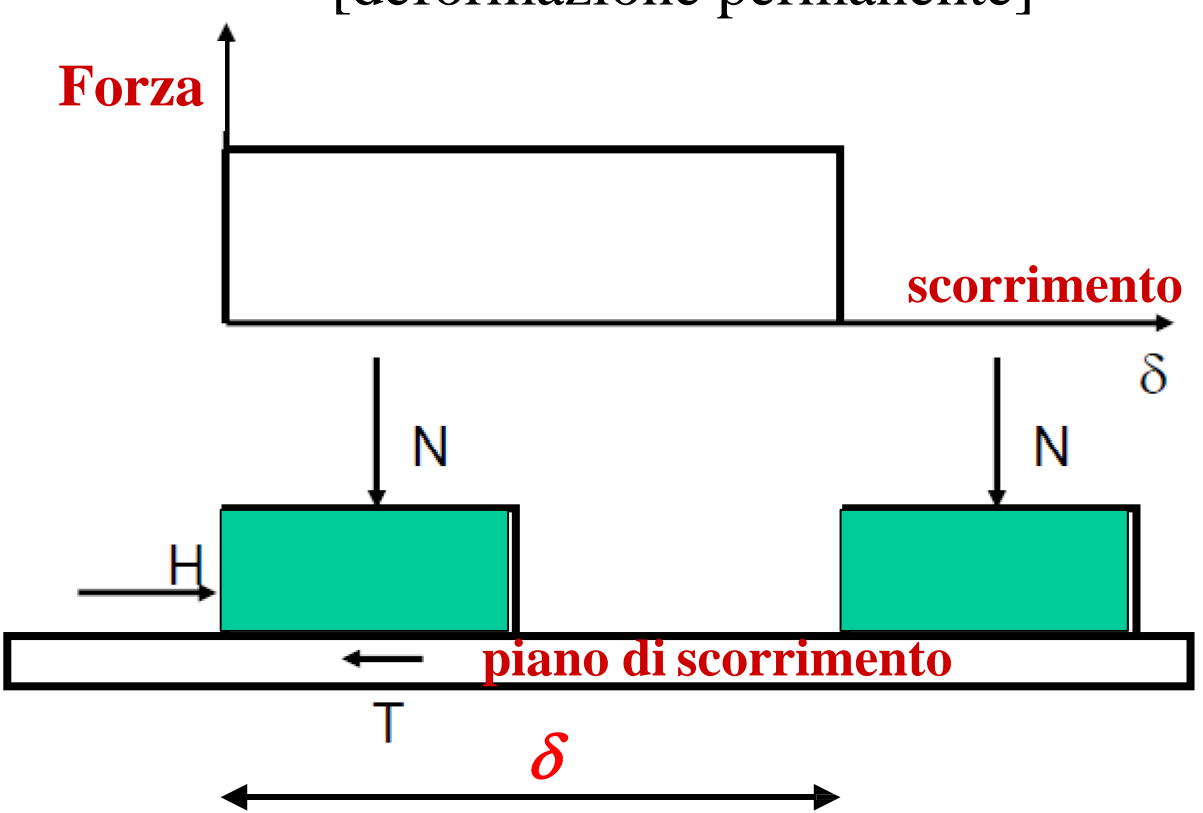
$$\tau_s = \boldsymbol{\sigma}' \cdot \tan \boldsymbol{\phi}' + c'$$

$$\tau_s = (\sigma - u) \cdot \tan \phi' + c'$$

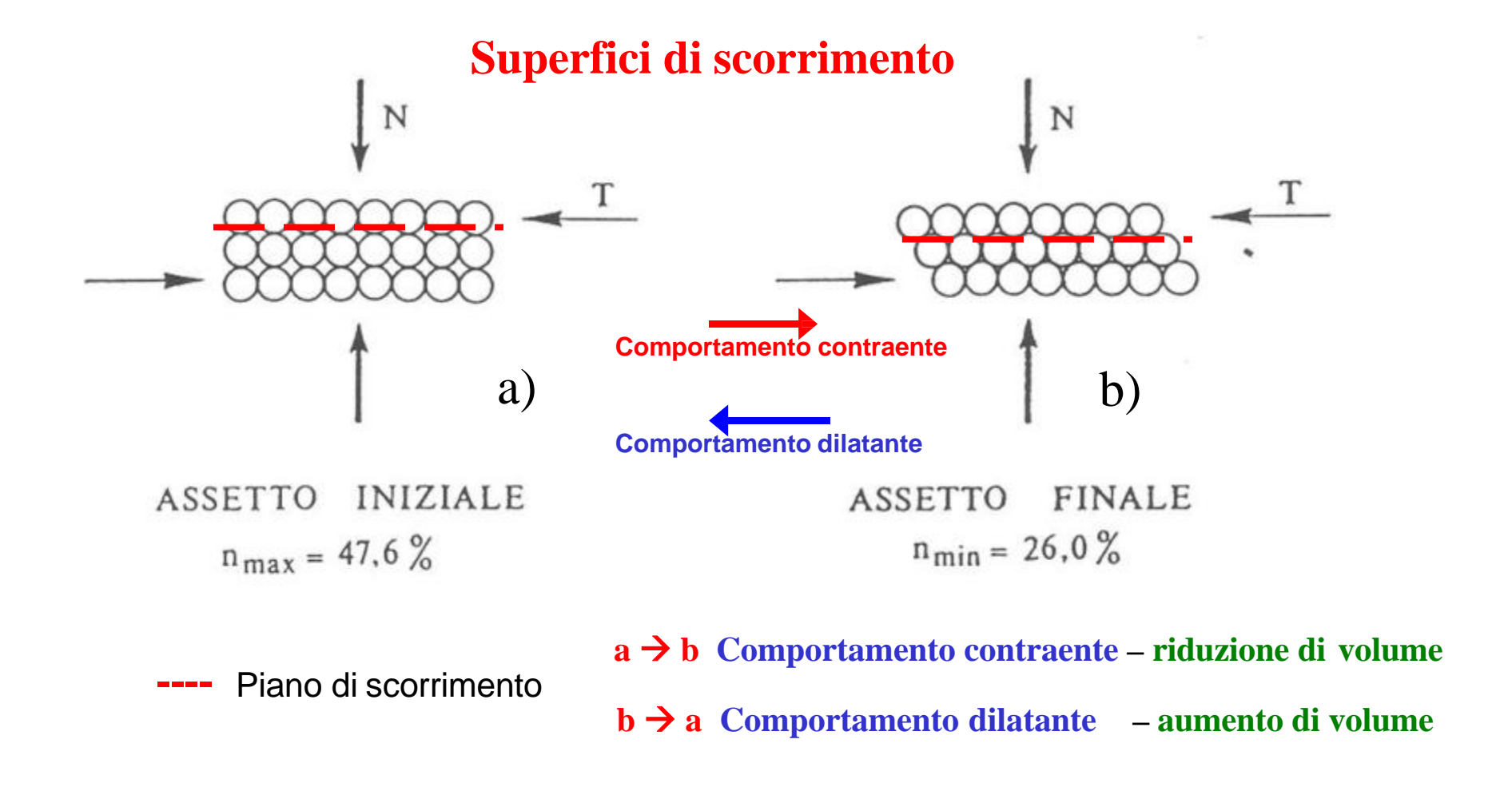
Quando invece le tensioni tangenziali sollecitanti l'interfaccia tra i grani eguagliano la resistenza che si oppone allo scorrimento, i grani del terreno iniziano a muoversi verso uno stato di maggior addensamento, sino a quando l'incremento delle tensioni efficaci di contatto tra i grani aumenta la resistenza a taglio sino ad un livello in grado di ripristinare l'equilibrio. L'indice dei vuoti si riduce in conseguenza della variazione di assetto raggiunta dai grani nella nuova configurazione di equilibrio. Le deformazioni associate alle variazioni volumetriche sono plastiche ossia irreversibili poiché non scompaiono rimuovendo la sollecitazione esterna

Comportamento plastico

[deformazione permanente]



Quando l'azione tangenziale che ha determinato lo scorrimento del blocco viene rimossa, lo spostamento orizzontale non viene recuperato, ed è quindi totalmente irreversibile



Deformazione plastiche di un sistema di sfere dallo stato di minimo addensamento a quello di massimo addensamento

Deformazioni permanenti per taglio



a) Un terreno inizialmente molto addensato tende a dilatare se sottoposto a sforzi di taglio (aumento di volume)



b) Un terreno inizialmente poco addensato tende a contrarre se sottoposto a sforzi di taglio (riduzione di volume)

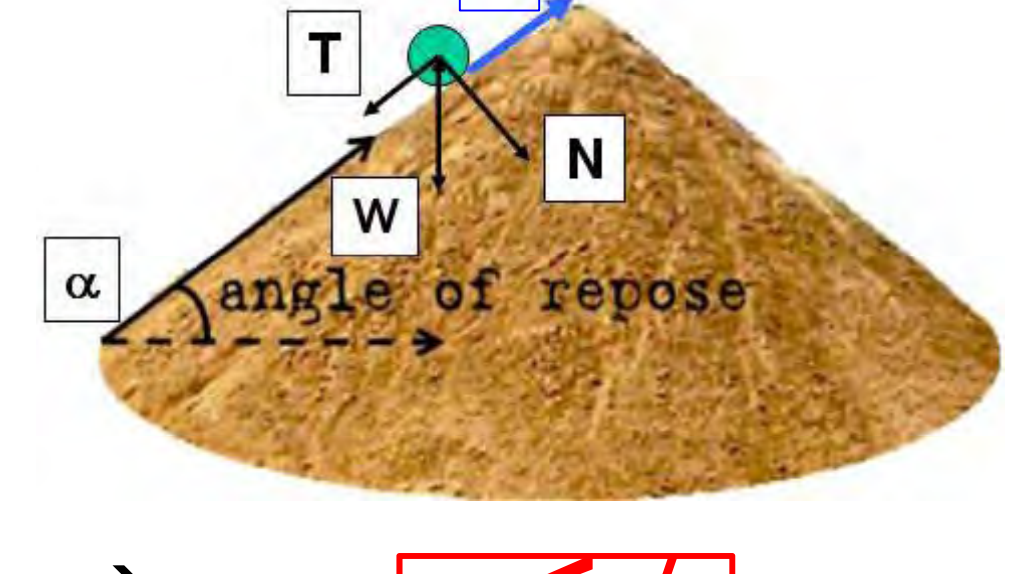
Parametri di Resistenza a Taglio



Angolo di attrito del terreno

L'angolo di attrito ϕ è definito anche *angolo* di natural declivio rappresentando l'angolo di massima inclinazione che un terreno può può assumere.

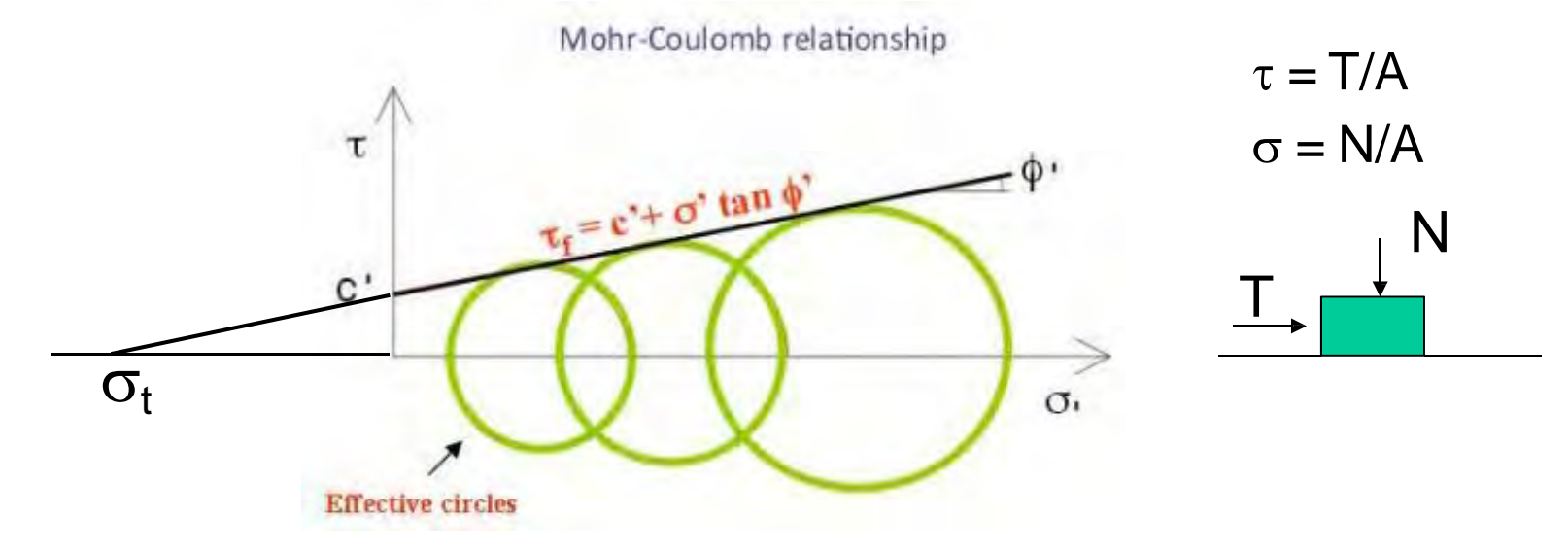
T = W $\sin \alpha N = W$ $\cos \alpha$ $T \le R = N \tan(\phi)$ $\tan(\alpha) \le \tan(\phi)$





$$\alpha \leq \phi$$

Resistenza a taglio (scorrimento) del terreno



$$\tau_R = \sigma' \cdot \tan \phi' + c'$$
 $\sigma' = \sigma - u$

$$\sigma' = \sigma - u$$

 σ = tensione efficace (addensamento)

 ϕ = angolo di attrito (angolo di natural declivio)

C' = coesione efficace (adesione in assenza di pressione)

U = pressione neutra nell'acqua σ = tensione totale

Parametri di Resistenza a Taglio

Valori dell'angolo di attrito

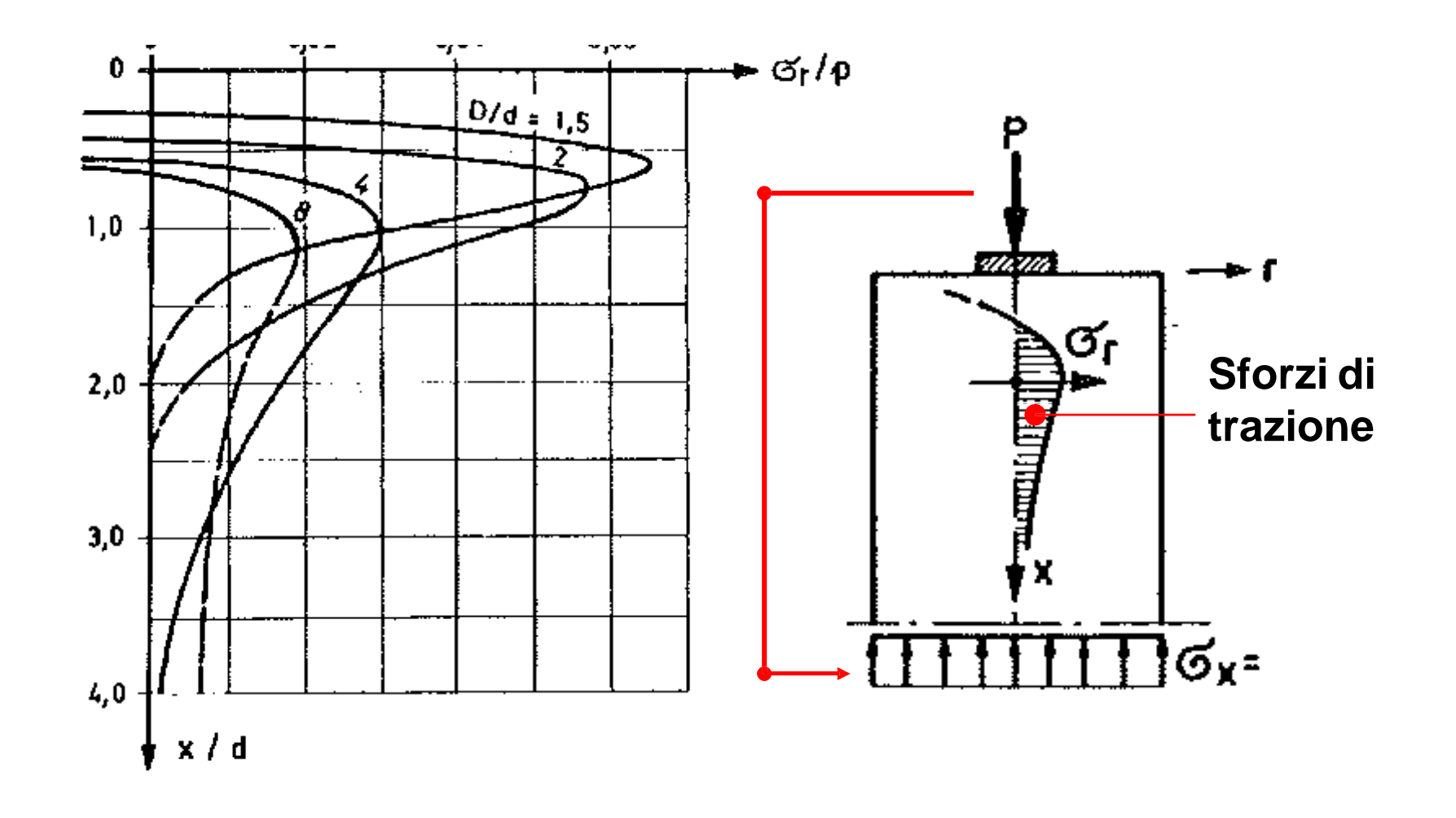
Terreno	Valore minimo	Valore massimo
Ghiaia compatta	35	35
Ghiaia sciolta	34	35
Sabbia compatta	35	45
Sabbia sciolta	25	35
Marna sabbiosa	22	29
Marna grassa	16	22
Argilla grassa	0	30
Argilla sabbiosa	16	28
Limo	20	27

Coesione efficace $c' = 0 \div 20 \text{ KPa (N.C.)}/40 \div 80 \text{ KPa (OC)}$

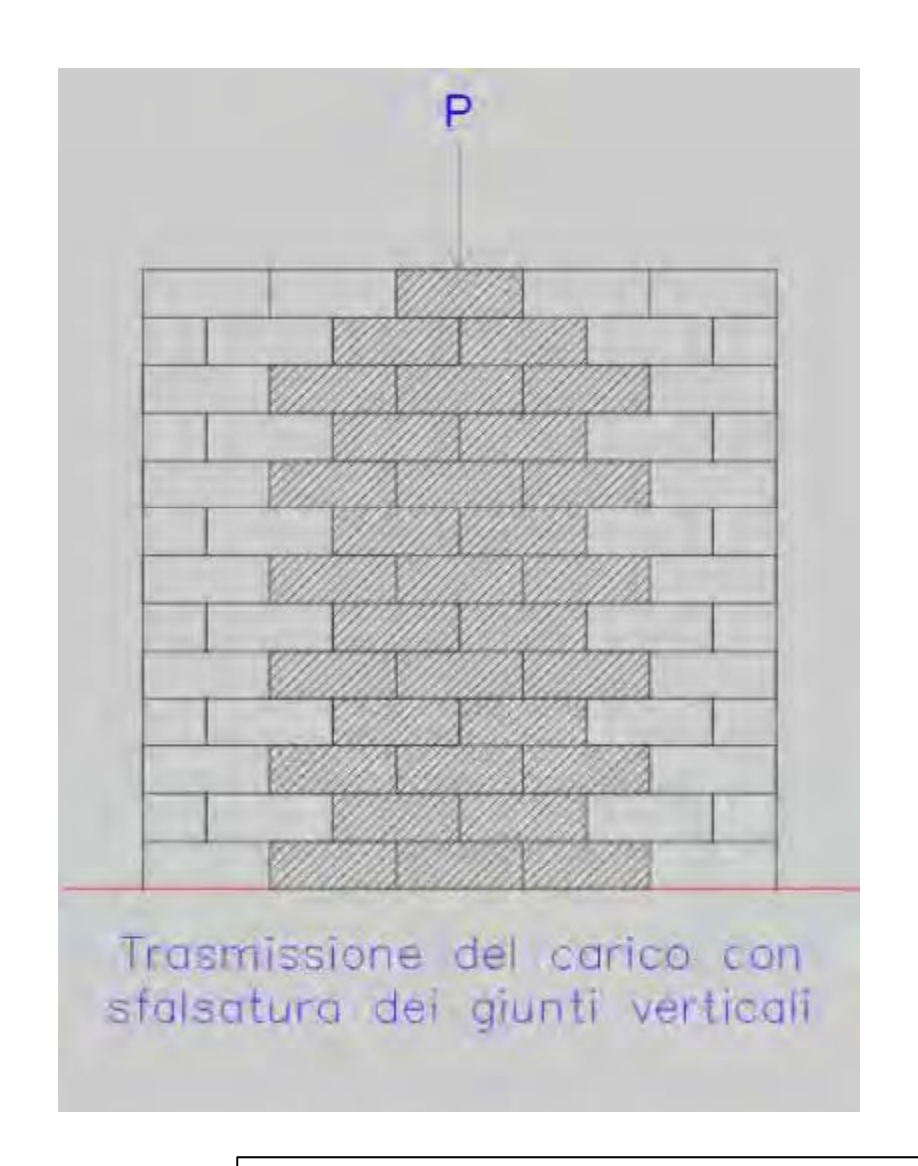
Ruolo della coesione

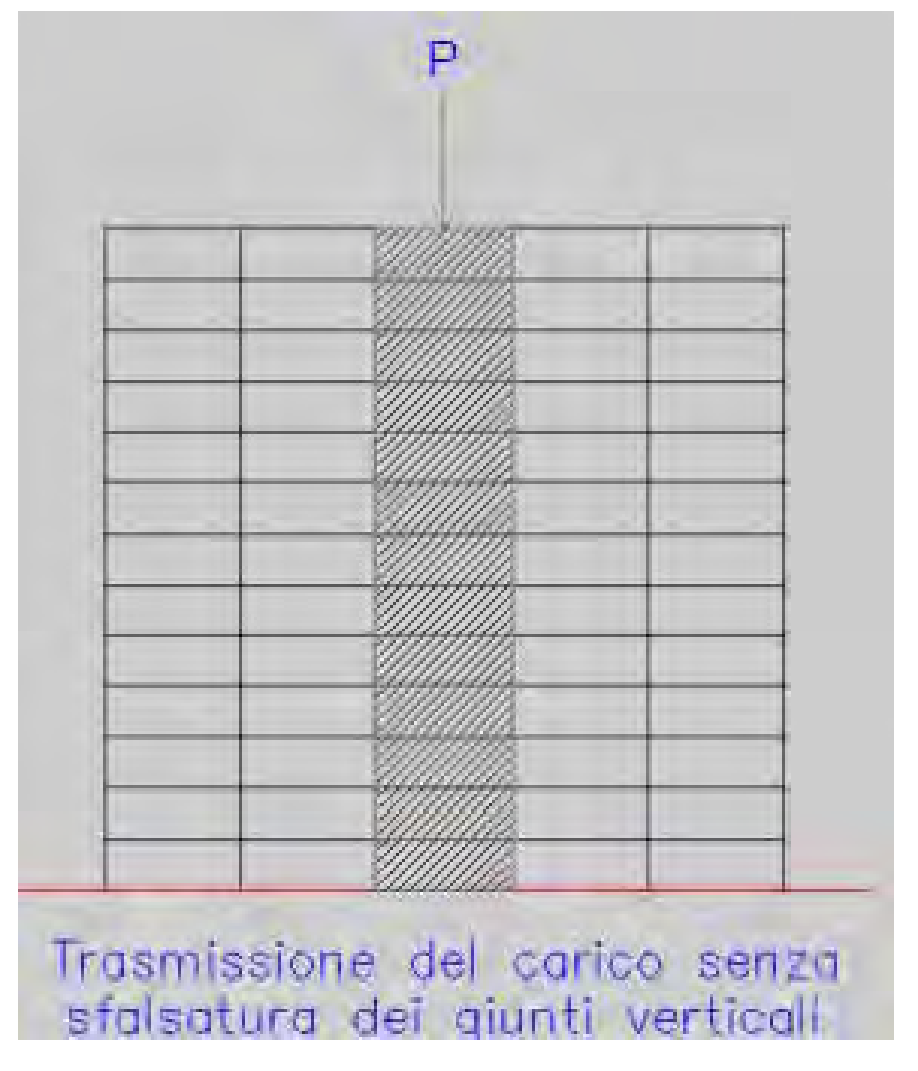
I terreni dotati di coesione efficace presentano una resistenza a trazione $|\sigma_t|$ =c'/tan ϕ che:

- a) consente di mantenere in equilibrio pendii inclinati con pendenze superiori all'angolo di natural declivio e di ridurre le spinte;
- b) Consente di diffondere i carichi applicati su aree limitate



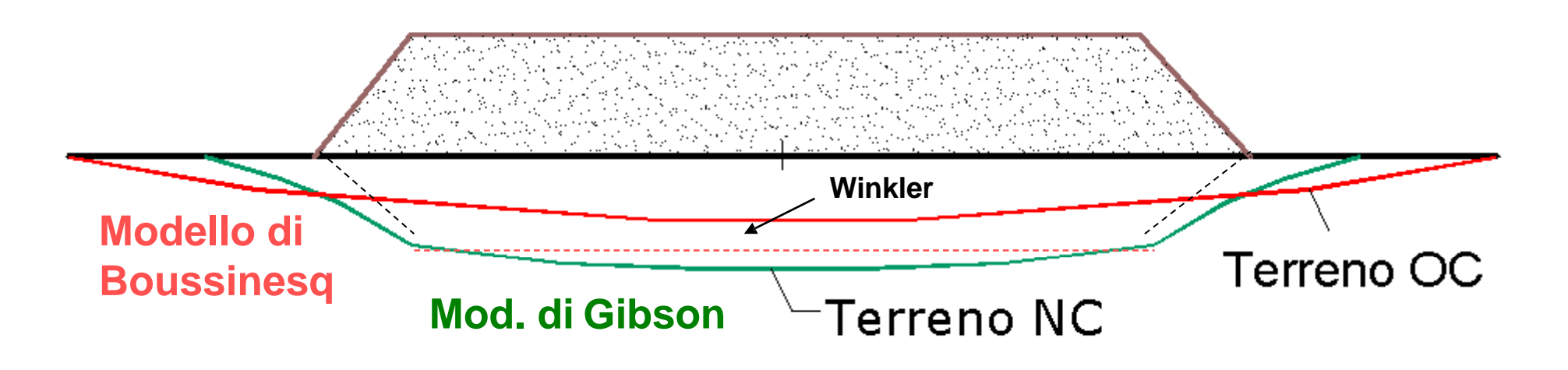
La diffusione del carico concentrato P nelle tensioni distribuite σ_{x} implica che il materiale resista a sforzi di trazione σ_{r} orizzontali





Diffusione di un carico concentrato in sommità all'interno di un materiale non resistente a trazione

Diffusione di carichi Cedimenti nelle aree limitrofe



Terreni sovraconsolidati con matrice coesiva con buona resistenza a trazione → diffusione del carico

Terreni normalconsolidati, modesta coesione e ridotta resistenza a trazione → scarsa diffusione del carico

Resistenza a taglio del terreno in presenza di acqua

Condizioni drenate a breve termine terreni molto permeabili

Condizioni non drenate a breve termine terreni poco permeabili

PERMEABILITA' del terreno

Condizioni di Drenaggio L'acqua presente nei vuoti interstiziali di un terreno saturo si comporta come un mezzo continuo che in presenza di un gradiente idraulico fluisce da zone a pressione idraulica maggiore verso le zone a pressione idraulica minore.

La velocità di filtrazione con la quale l'acqua fluisce dipende dalla natura del terreno e dalle dimensioni dei pori ed è maggiore nei terreni a grana grossa e minore nei terreni a grana fine.

Coefficiente di permeabilità

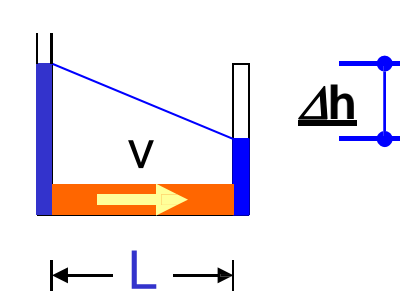
TIPO DI TERRENO	k (m/s)
Ghiaia pulita	10 ⁻² - 1
Sabbia pulita, sabbia e ghiaia	$10^{-5} - 10^{-2}$
Sabbia molto fine	10 ⁻⁶ - 10 ⁻⁴
Limo e sabbia argillosa	10 ⁻⁹ - 10 ⁻⁵
Limo	$10^{-8} - 10^{-6}$
Argilla omogenea sotto falda	< 10 ⁻⁹
Argilla sovraconsolidata fessurata	$10^{-8} - 10^{-4}$
Roccia non fessurata	$10^{-12} - 10^{-10}$

v = k i (velocità di filtrazione -Legge di Darcy)

v = velocità di filtrazione

k = coefficiente di permeabilità del terreno (m/s)

 $i = gradente idraulico (i=\Delta h/L)$



ANALOGIA DELLA SPUGNA

mattone (carico sul terreno)

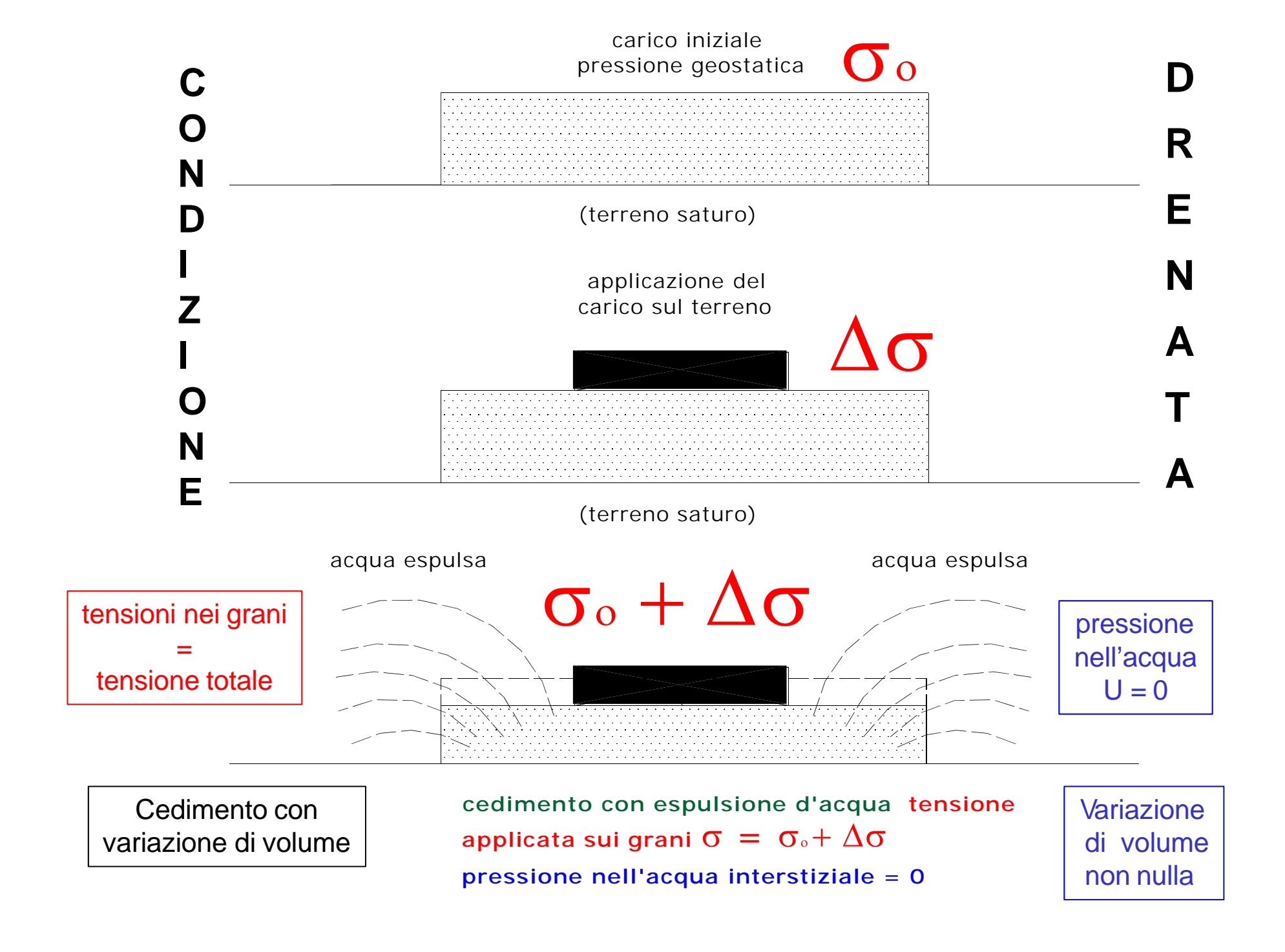
spugna bagnata (terreno saturo)

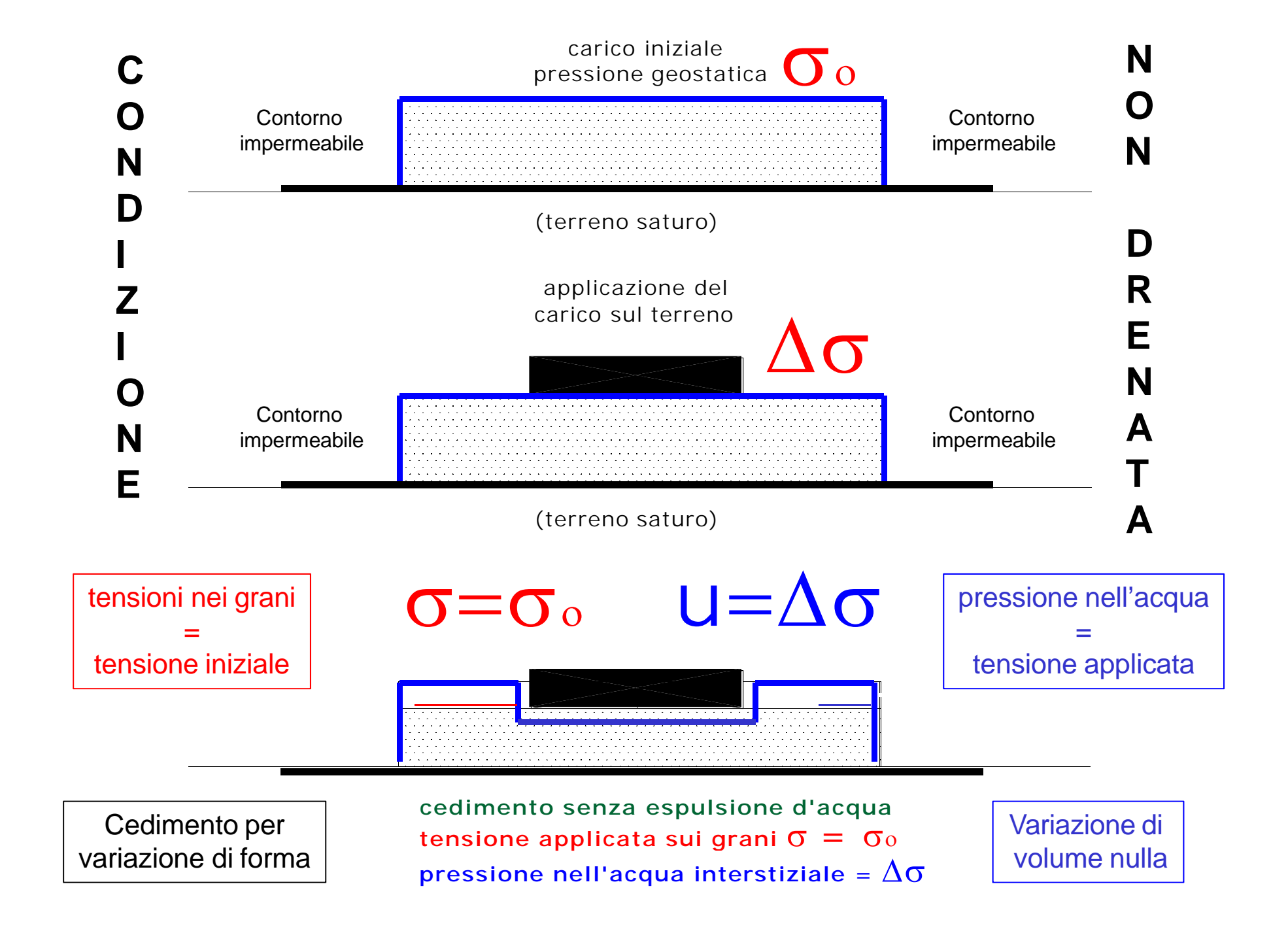
acqua espulsa

acqua espulsa

ossa) fine)

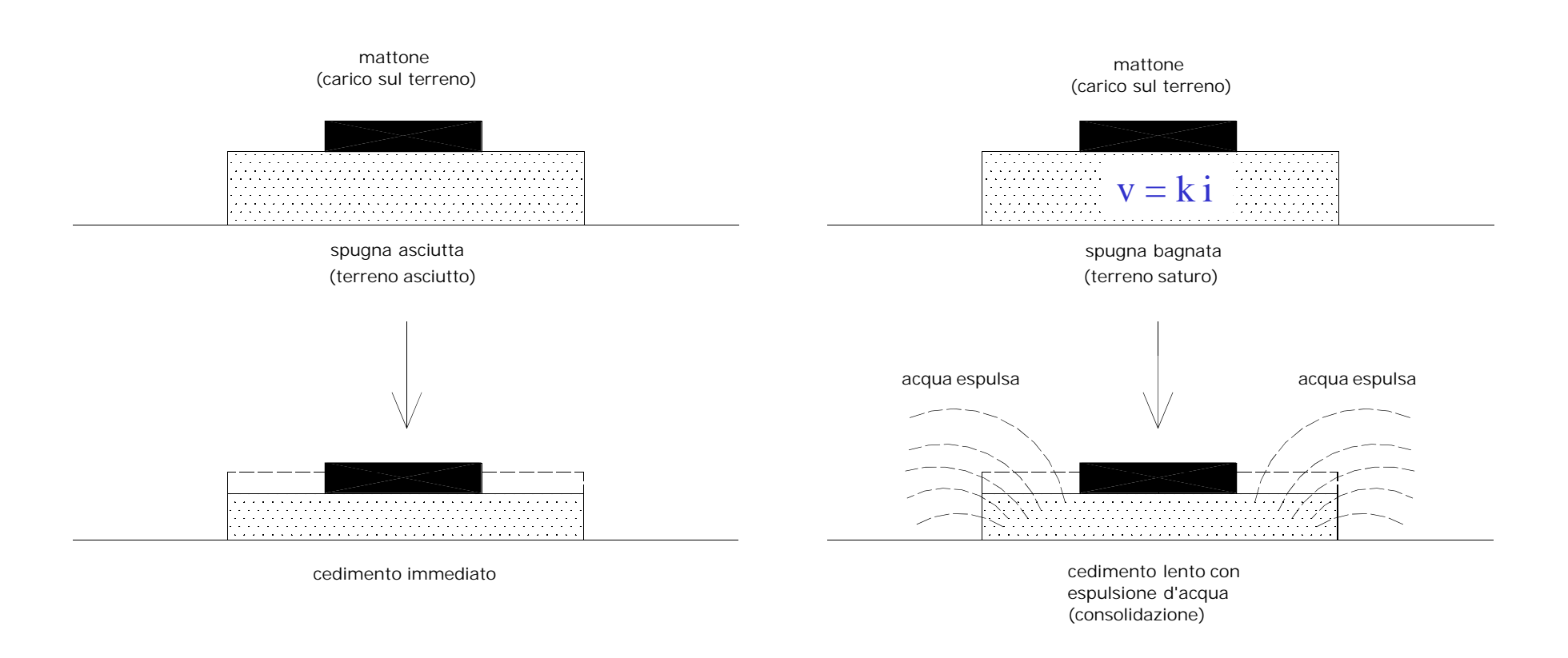
cedimento lento con espulsione d'acqua (consolidazione)



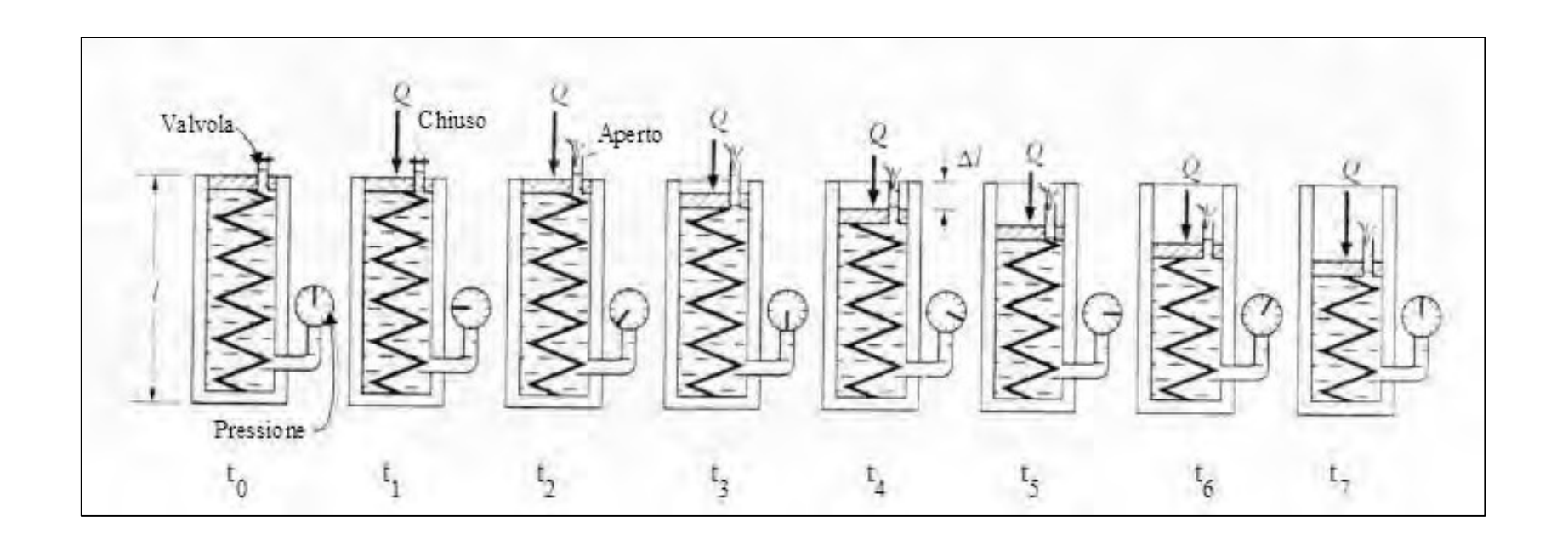


CONSOLIDAZIONE

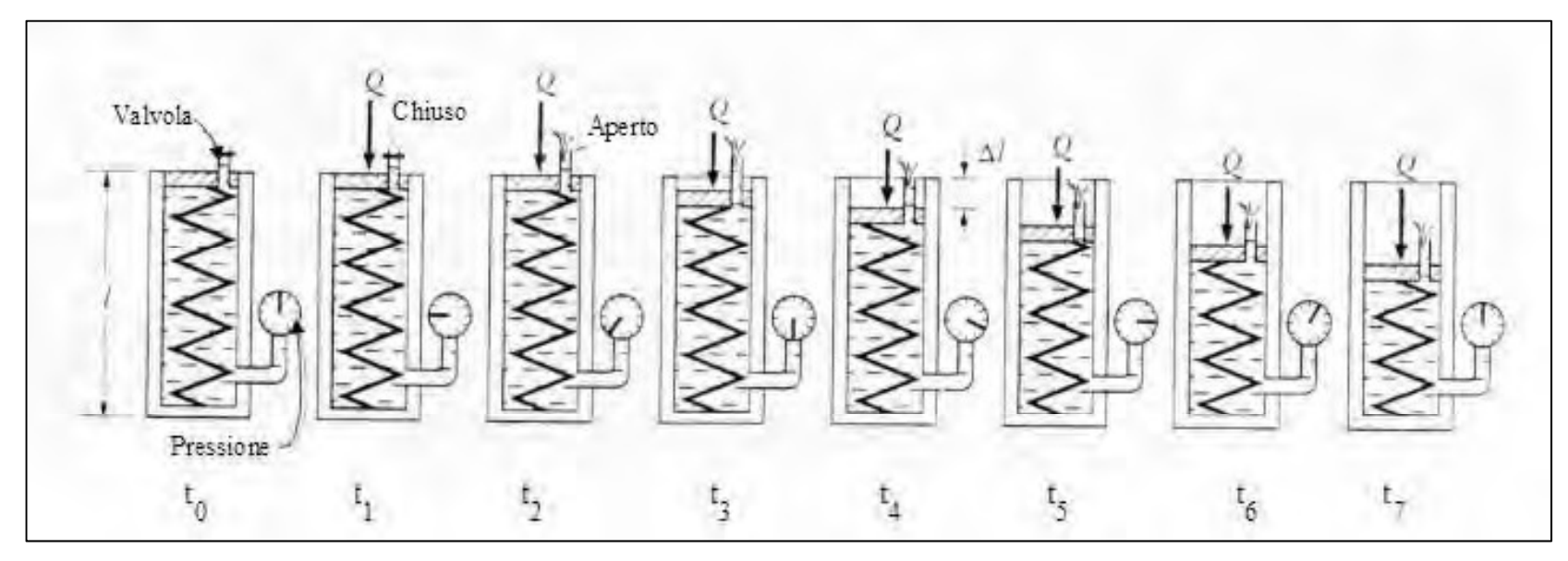
ANALOGIA DELLA SPUGNA



Il cedimento finale è il medesimo nei due casi, cambia invece la velocità con cui si manifesta



All'atto dell'applicazione del carico la pressione isotropa viene equilibrata dalla sovrapressione nell'acqua interstiziale se il drenaggio è impedito o ridotto come nei terreni a grana fine. In seguito si instaura poi un moto di filtrazione e la pressione nell'acqua si riduce al crescere della portata, mentre i grani cominciano a sopportare un aliquota sempre maggiore del carico esterno essendo questo costante [p=p'(t)+u(t)=cost]



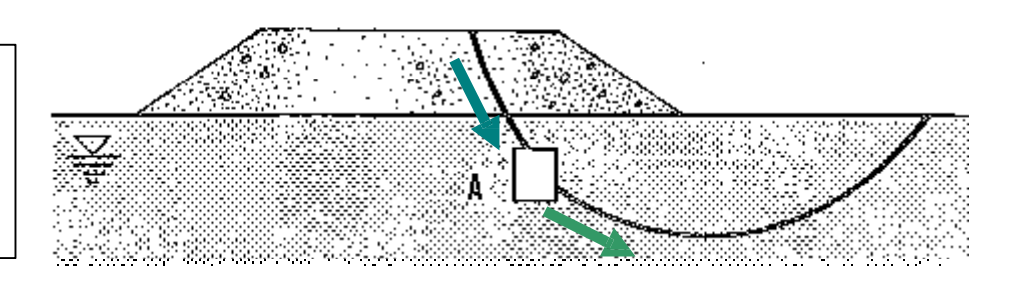
La presenza dell'acqua crea un ritardo idraulico nella nella risposta del terreno, che influenza la velocità di trasferimento della pressione esterna sullo scheletro solido. Cio' comporta:

- Modifica della resistenza a taglio iniziale del terreno
- Modifica della velocità dei cedimenti

Ritardo Idraulico

Il ritardo idraulico comporta che il cedimento del terreno si manifesti nei nei terreni a grana fine lentamente nel tempo, mano a mano che il carico viene trasferito ai grani del terreno a seguito di dissipazione della sovrappressione nell'acqua interstiziale che fluisce verso zone in equilibrio a pressione idrostatica.

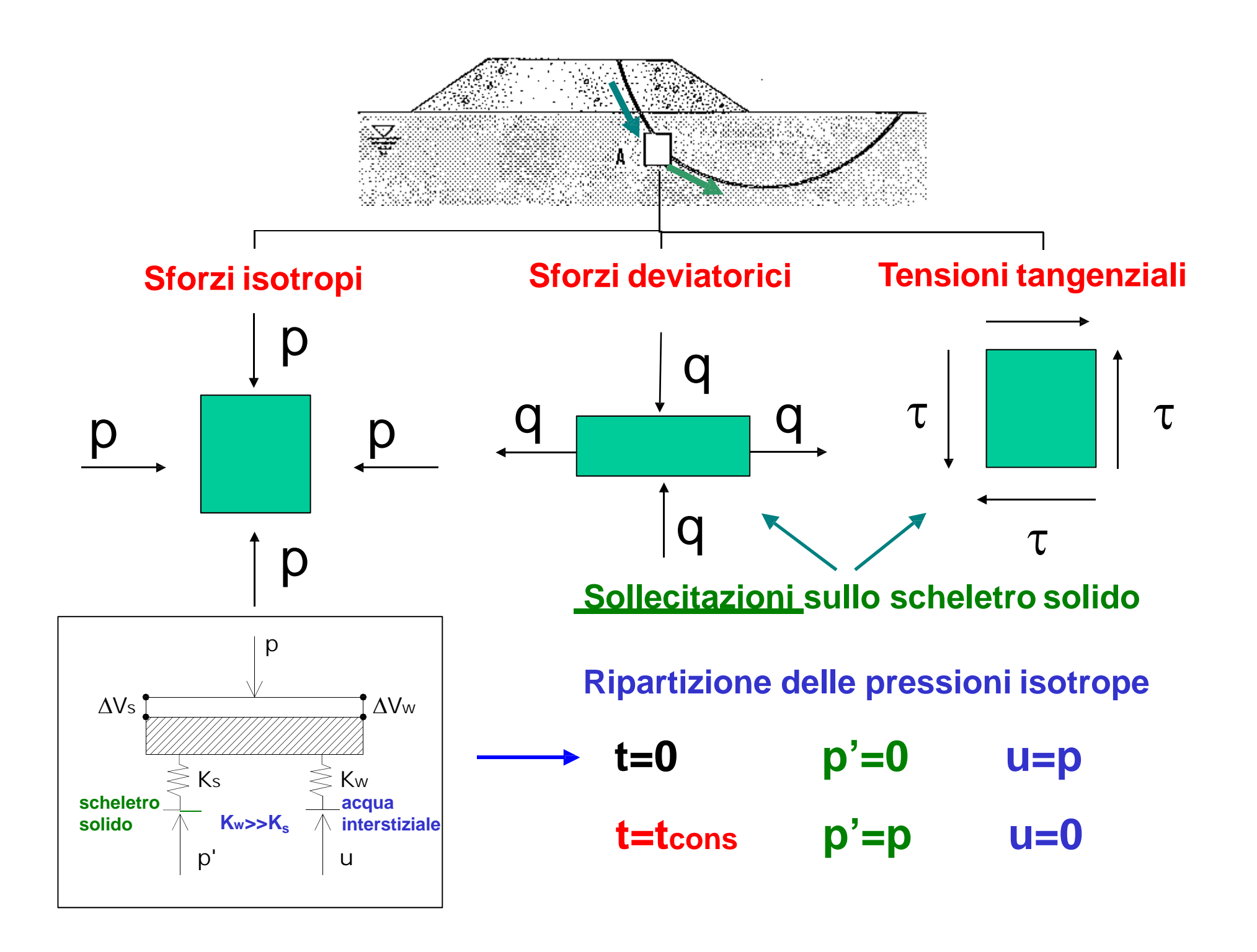
Ripartizione delle azioni esterne



(ipotesi di regime elastico)

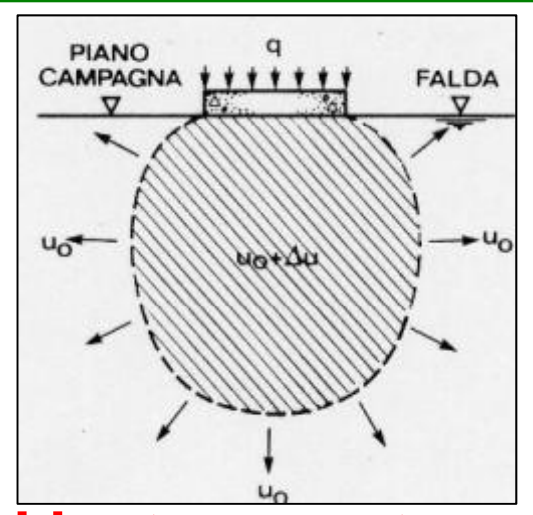
Il carico esterno induce nell'elemento di terreno:

- a)sforzi deviatorici, che vengono assorbiti dallo scheletro solido non avendo l'acqua interstiziale rigidezza a taglio
- b) pressioni isotrope che si ripartiscono tra lo scheletro solido e l'acqua interstiziale, che hanno entrambe una rigidezza volumetrica.



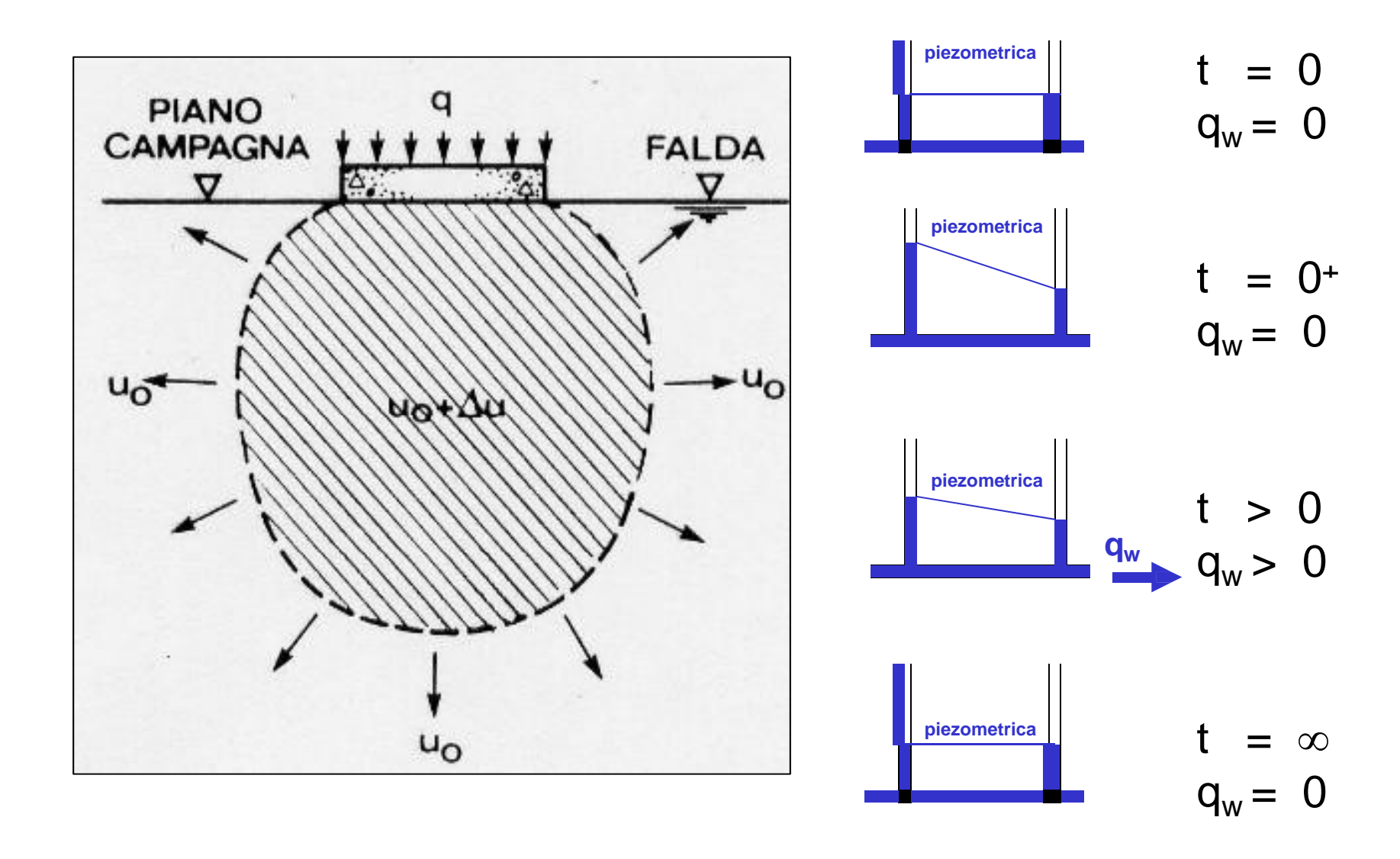
SOVRAPPRESSIONI nell'acqua interstiziale

Assenza di portata (t=0)
Permeabilità finita del terreno
Sovrappressioni indotte nell'acqua



Durante il processo di carico le **pressioni isotrope esterne** vengono assorbite dall'acqua interstiziale. La variazione di volume dello scheletro solido è infatti impedita a causa della presenza dell'acqua interstiziale, che non può defluire istantaneamente in assenza di un gradiente idraulico. La risposta iniziale è quindi quella di un sistema chiuso che non scambia massa con l'esterno. Essendo l'acqua di fatto incompressibile, e quindi più rigida dello scheletro solido, essa assorbe interamente la pressione isotropa esterna. Si genera così sovrappressione nell'acqua interstiziale che genera il gradiente idraulico che innesca la portata in uscita.

SOVRAPPRESSIONE NELL'ACQUA INTERSTIZIALE

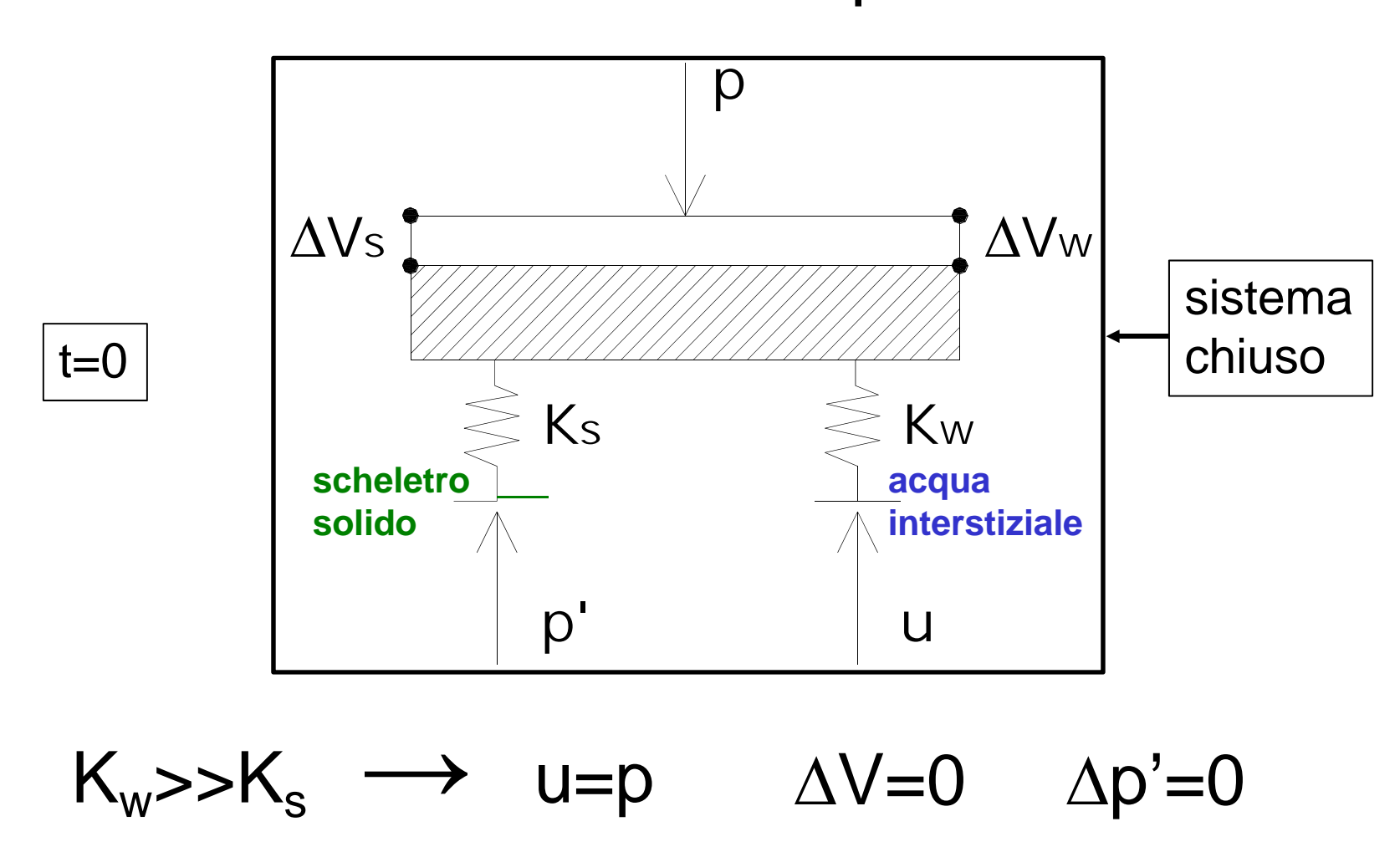


Sovrapressione nell'acqua interstiziale

Per effetto della pressione efficace p'=p-u lo scheletro solido subirebbe una riduzione di volume pari a \(\Delta V = p'/Ks \) che può avvenire solo a seguito dell'espulsione di un egual volume di acqua. Se il drenaggio è impedito nasce una pressione u nell'acqua interstiziale di intensità tale da azzerare questa riduzione volumetrica \(\Delta V = u/Kw \). Per la congruenza:

$$(p-u)/K_s=u/K_w$$
 $u=p K_w/(K_s+K_w)$ $u=p$

Ripartizione pressione isotropa esterna tra scheletro solido e acqua interstizale



a) Valutazione in termini di tensioni totali

$$\varepsilon_{v} = \frac{1}{E} \left[(\sigma_{z} + \sigma_{y} + \sigma_{z}) \cdot (1 - 2\nu_{u}) \right]$$

$$\varepsilon_v = 0$$
 $\upsilon_u = 0.50$

Coeff.di Poisson pari a quello di un mezzo incomprimibile

b) Valutazione in termini di tensioni efficaci (σ'=σ-u)

$$\varepsilon_{v} = \frac{1}{E} \left[(\sigma_{x}^{'} + \sigma_{y}^{'} + \sigma_{z}^{'}) \cdot (1 - 2\upsilon') \right] = \frac{1}{E} \left[(\sigma_{x} + \sigma_{y} + \sigma_{z} - 3u) \cdot (1 - 2\upsilon') \right]$$

$$\varepsilon_{v} = 0 \qquad u = \frac{\sigma_{x} + \sigma_{y} + \sigma_{z}}{3} = p$$

Sovrappressione nell'acqua interstiziale pari alla pressione media totale

CONSOLIDAZIONE Incremento di Resistenza a Taglio

Essendo il terreno permeabile si innesca poi un flusso verso zone in equilibrio idraulico. Si avvia così il processo di consolidazione nel quale la pressione nell'acqua interstiziale viene dissipata fluendo verso zone a pressione neutra minore.

Al termine della consolidazione tutta la pressione isotropa esterna è trasferita sui grani. La pressione efficace si è incrementata e con essa anche la resistenza a taglio del terreno. La riduzione di volume dello scheletro dà luogo ai cedimenti

Risposta del terreno saturo a breve termine

Gli sforzi deviatorici esterni sono assorbiti dallo scheletro solido

Le pressioni isotrope sono assorbite dalla acqua interstiziale

Si manifestano cedimenti immediati per variazione di forma

Si manifestano nel tempo cedimenti per consolid. per variazione di volume

La resistenza a taglio in assenza di drenaggio rimane quella antecedente all'applicazione del carico

La resistenza a taglio si incrementa con il trasferimento del carico sullo scheletro solido

FS min (t=0)

FS max (t=∞)

Pressione nell'acqua interstiziale
u (0+) = valore massimo
Assenza di portata
Condizione non drenata

Pressione nell'acqua interstiziale u (t) = valore variabile nel tempo (Fase di dissipazione e di consol.) Condizione parzialm. drenata

Pressione nell'acqua interstiziale u (t) = valore stazionario costante Condizione drenata

Tempi di dissipazione delle sovrapressione neutre

T_{cons} = decine di secondi o minuti per le ghiaie e le sabbie (terreni a grana grossa ad alta permeabilità) Condizione iniziale drenata

T_{cons} = mesi per limi ed argille (terreni a grana fine a bassa permeabilità) Condizione iniziale non drenata

CONDIZIONE NON DRENATA

Terreni saturi a bassa permeabilità (grana fine)

Si considera non drenata quella condizione nella quale la velocità di filtrazione connessa con la permeabilità del terreno è molto minore della velocità di applicazione dei carichi.

All'atto dell'applicazione di un carico lo schiacciamento dello scheletro solido può avvenire con riduzione di volume inizialmente occupato, nei terreni saturi, dall'acqua interstiziale che deve essere pertanto espulsa.

Non essendo questo possibile istantaneamente a causa della ridotta permeabilità del terreno nasce una **sovrapressione nell'acqua** che assorbe inizialmente il carico esterno essendo essa incomprimibile e quindi più rigida dello scheletro solido.

Comportamento dei terreni saturi a grana fine

Condizioni non drenate (condizioni a breve termine)

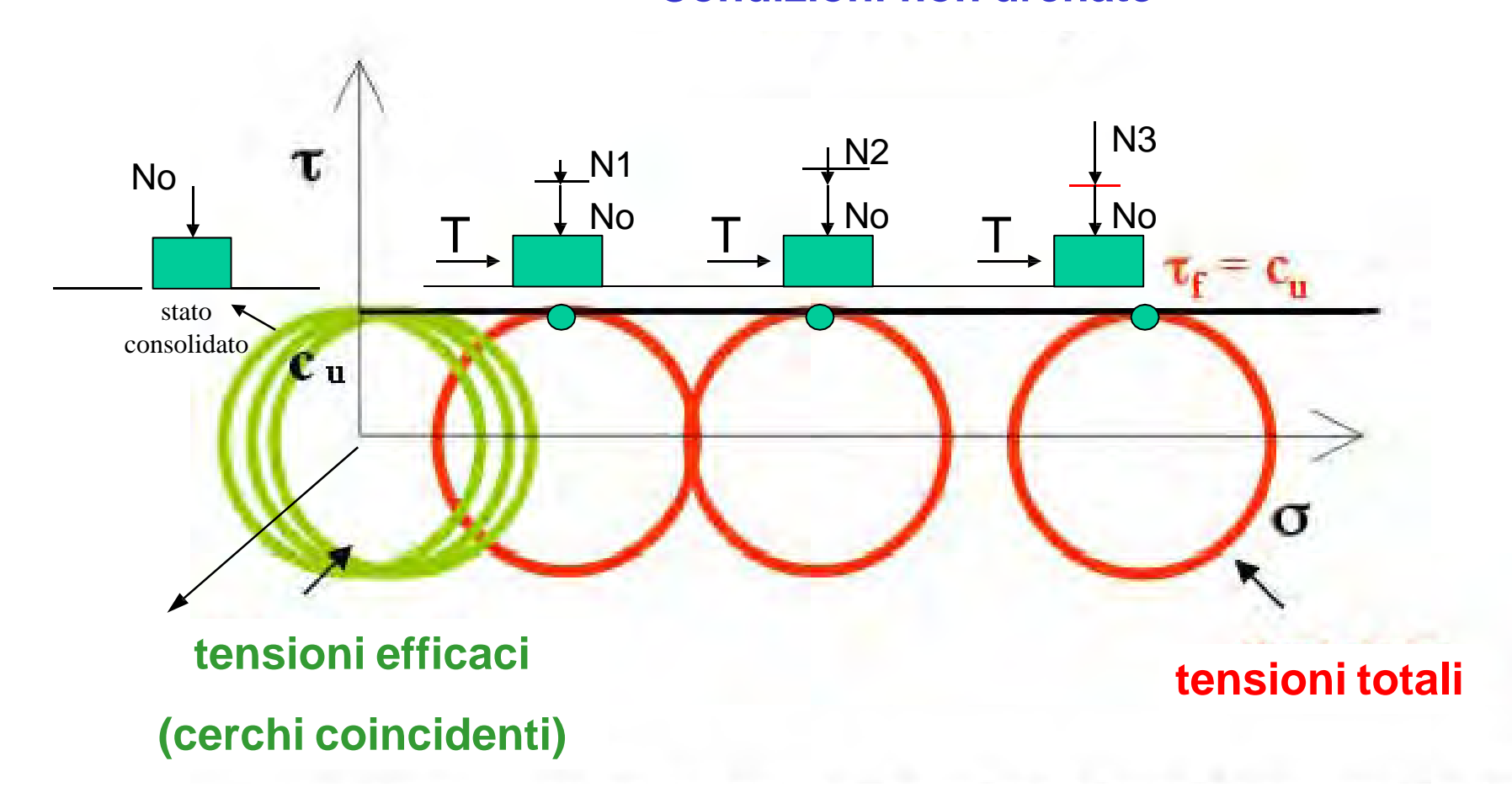
La pressione associata al carico esterno agisce sull'acqua interstiziale essendo il drenaggio impedito o ridotto (terreni a grana fine a bassa permeabilità).

La **pressione efficace** p'(pre) agente sui grani non può cambiare nel breve termine e quindi nemmeno la resistenza del terreno inizialmente può mutare.

$$\tau_{res} = C_{u (p'pre)}$$

$$[c_u = 0.25 \sigma'_{v(pre)} OCR^{0.8}]$$

Criterio di Mohr-Coulomb Condizioni non drenate



Cu (coesione non drenata) è il parametro di resistenza a taglio in condizioni non drenate espressa in termini di tensioni totali

CONDIZIONE DRENATA

Terreni saturi ad alta permeabilità (grana grossa)

Si considera drenata quella condizione nella quale la velocità di filtrazione dei gradienti idrici connessa con la permeabilità del terreno è maggiore della velocità di applicazione dei carichi.

All'atto dell'applicazione di un carico lo schiacciamento dello scheletro solido avviene con riduzione di volume inizialmente occupato nei terreni saturi dall'acqua interstiziale, che deve essere espulsa affinché questa riduzione possa avvenire.

Data l'elevata permeabilità del terreno l'acqua fluisce rapidamente verso zone a pressione minore. Nasce una portata di acqua verso tali zone mentre il carico estreno viene trasferito direttamente sullo scheletro solido.

Comportamento dei terreni saturi a grana grossa

Condizioni drenate

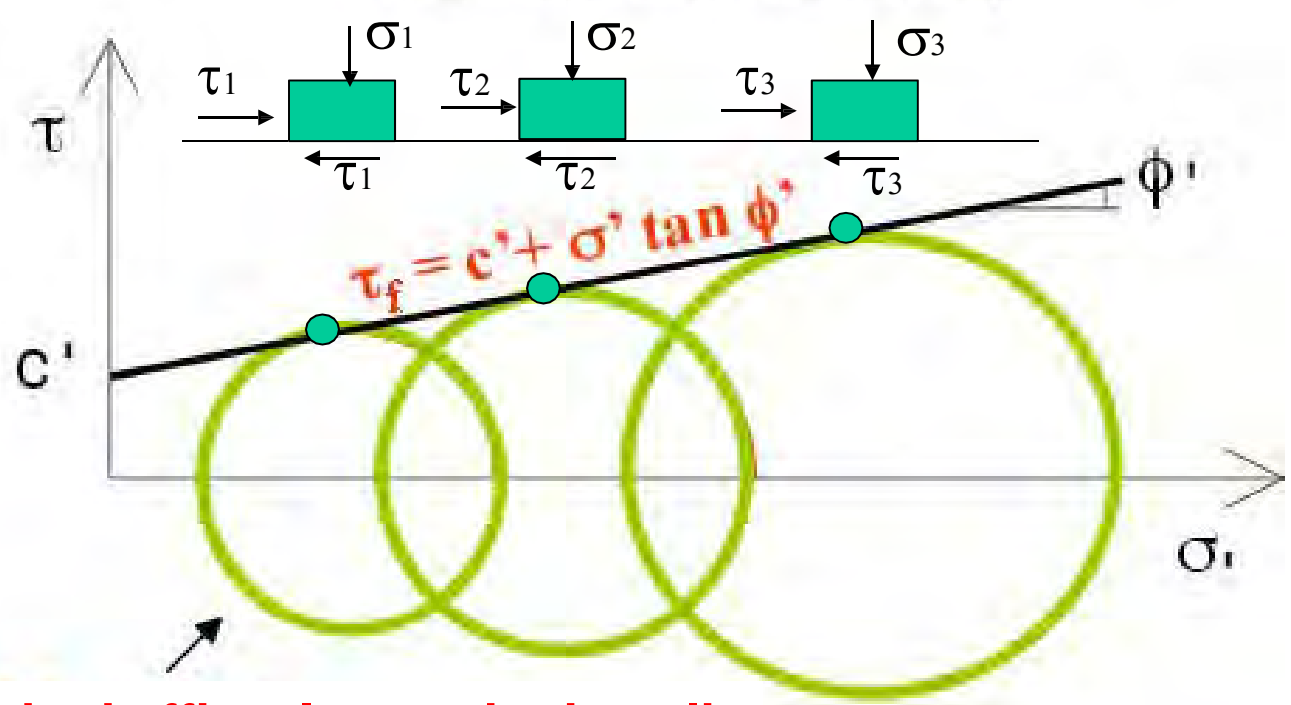
La pressione indotta dal carico esterno è applicata sui grani essendo il drenaggio libero (terreno ad alta permeabilità).

La tensione efficace $\sigma'_{(post)}$ è pari alla somma della pressione iniziale più quella indotta dal carico esterno. La resistenza del terreno è incrementata alla fine del processo di carico

$$\tau_{res} = \sigma'_{(post)} tan \phi' + c'$$

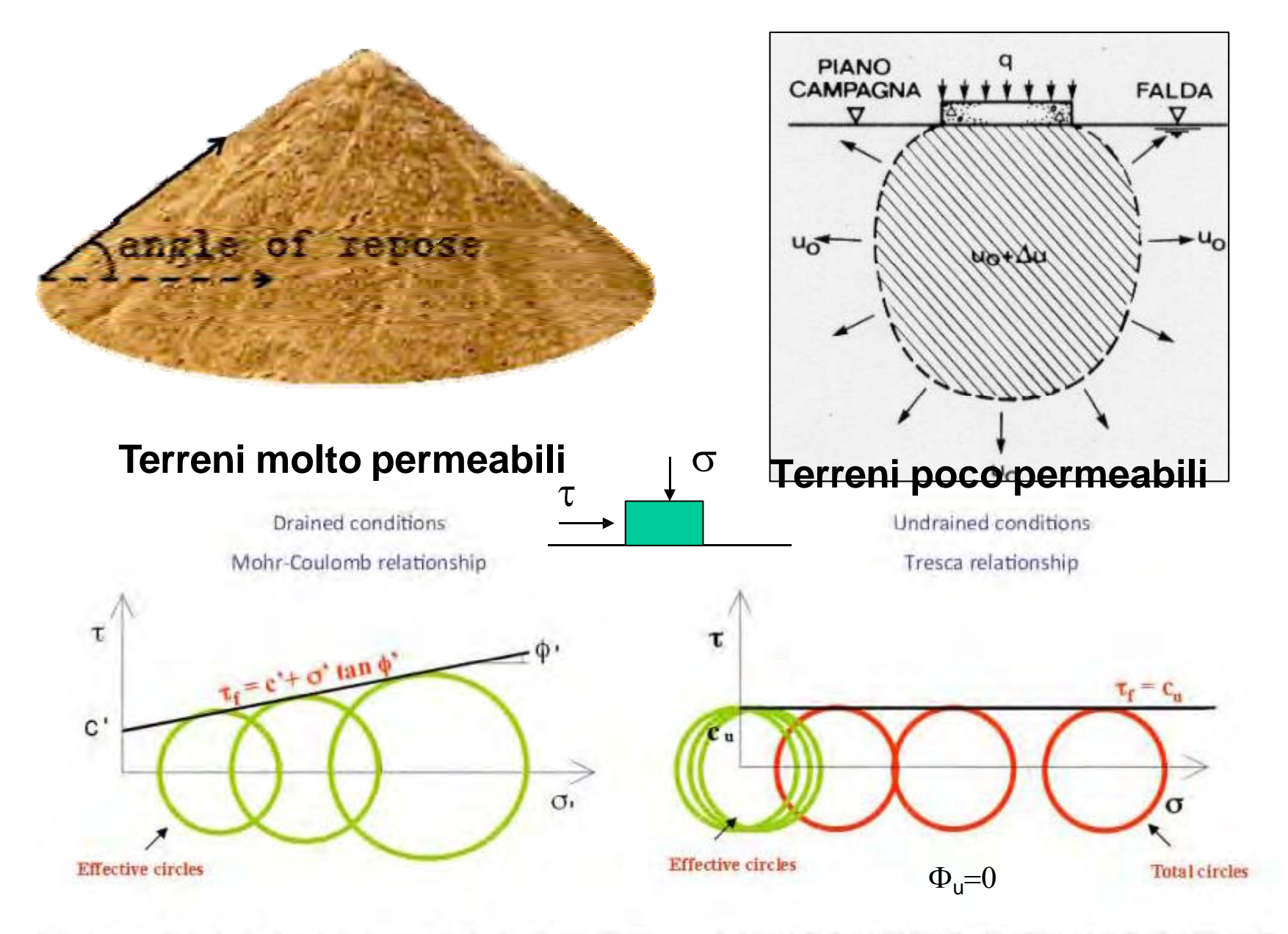
Criterio di Mohr-Coulomb

Condizioni drenate



tensioni efficacI = tensioni totali

c'e ϕ ' sono i parametri di resistenza a taglio del terreno espressa in termini di tensioni efficaci



and of are the shear strenght parameters in terms of effective tress.

 $c_{\rm u}$ (undrained cohesion) is the shear strenght parameter in terms of total stress.

Parametri di resistenza a taglio

Condizioni drenate (tensioni efficaci)

 ϕ' = angolo di attrito

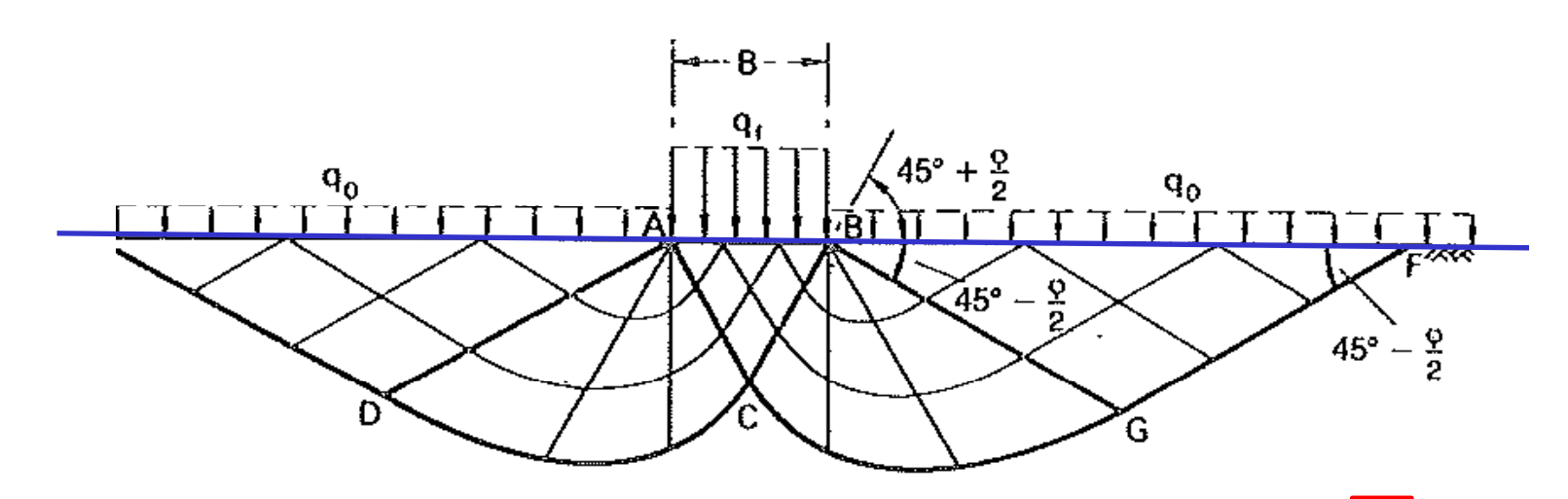
c' = coesione efficace

• Condizioni non drenate (tensioni totali)

$$\phi_{\mathsf{u}} = 0$$

 c_{ij} = coesione non drenata

Fondazioni Superficiali

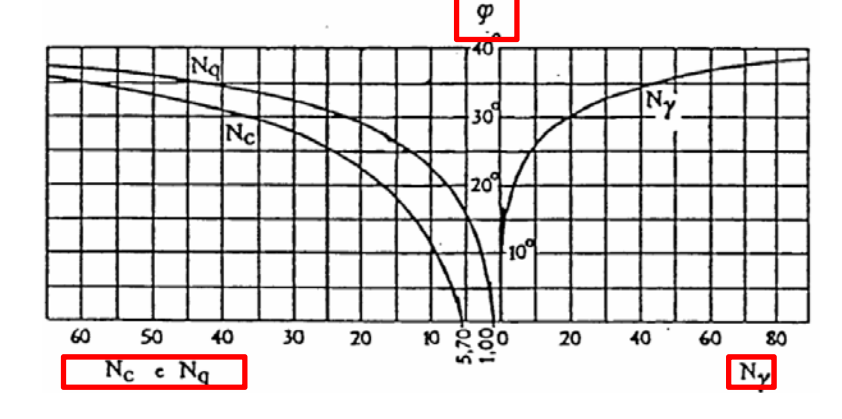


Dati

B=1.0 m q_0 = 20 Kpa γ '= 9 KN/mc

 $\phi = 24^{\circ}$ c' = 10 KPa cu = 48 Kpa

 $N_c=19$ $N_q=9.5$ $N_{\gamma}=7.6$



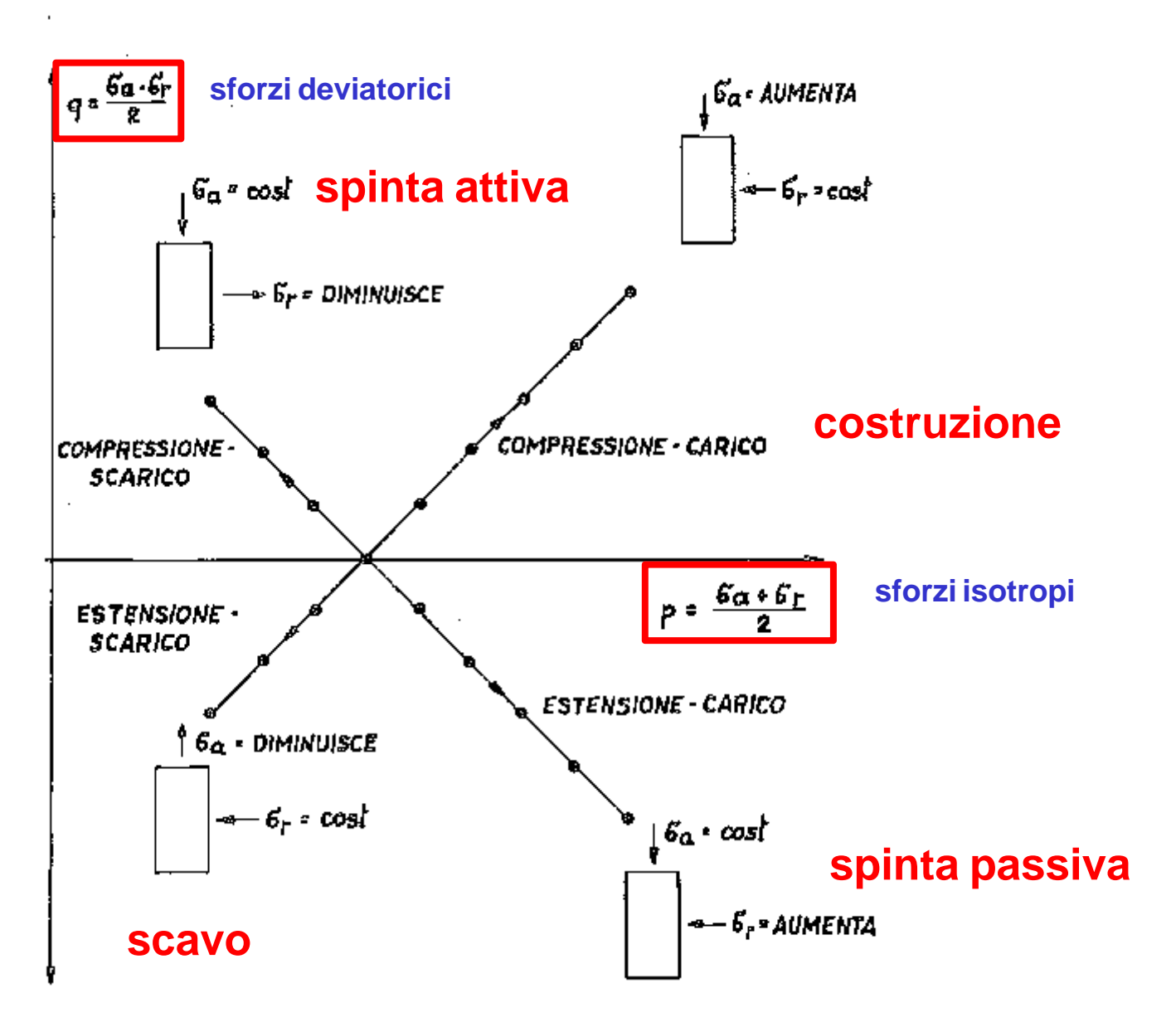
Capacità Portante

 $q_{lim} = (2+\pi) C_u + q_0 = 266 \text{ Kpa}$ [Condizione non drenate $(\phi_u=0)$]

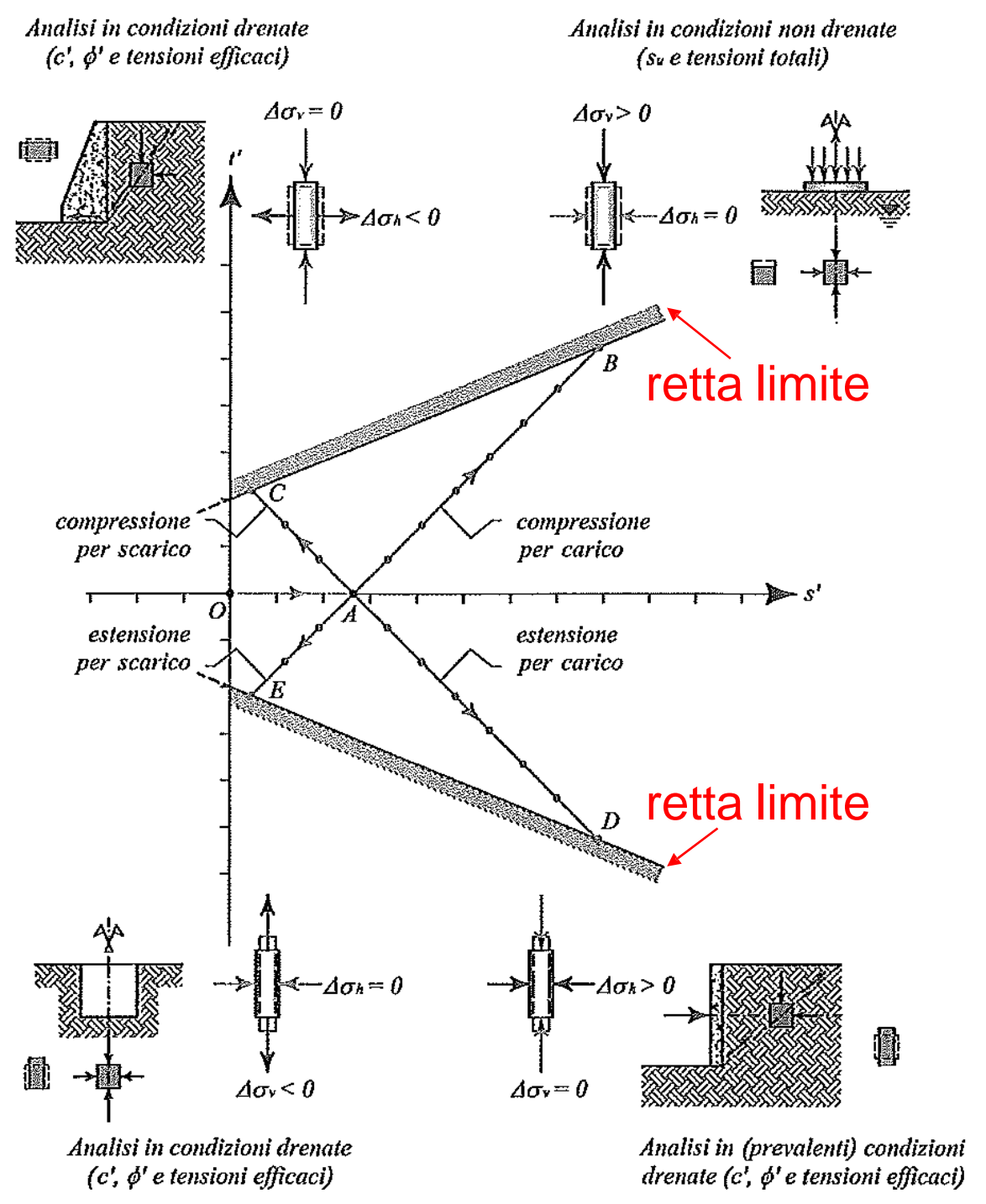
 $q_{lim} = c'N_c + q_0 N_q + \frac{1}{2} \gamma'B N_{\gamma} = 414 \text{ Kpa}$ [Condizione drenata]

Percorsi di carico

Stress Path



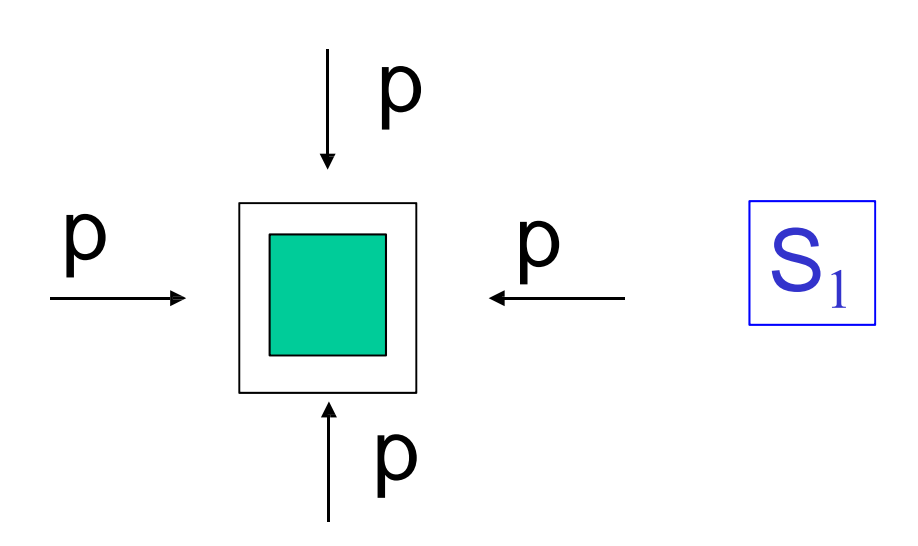
Piano degli sforzi deviatorici ed isotropi



Confronto tra la resistenza a taglio di un terreno saturo

in condizioni drenate e in condizioni non drenate

Origine delle Sovrapressioni



Variazione di volume indotta dalle pressioni isotrope, impedita in condizioni non drenate

$$\Delta V (p) \rightarrow u (p)$$

regime di deformazioni elastiche



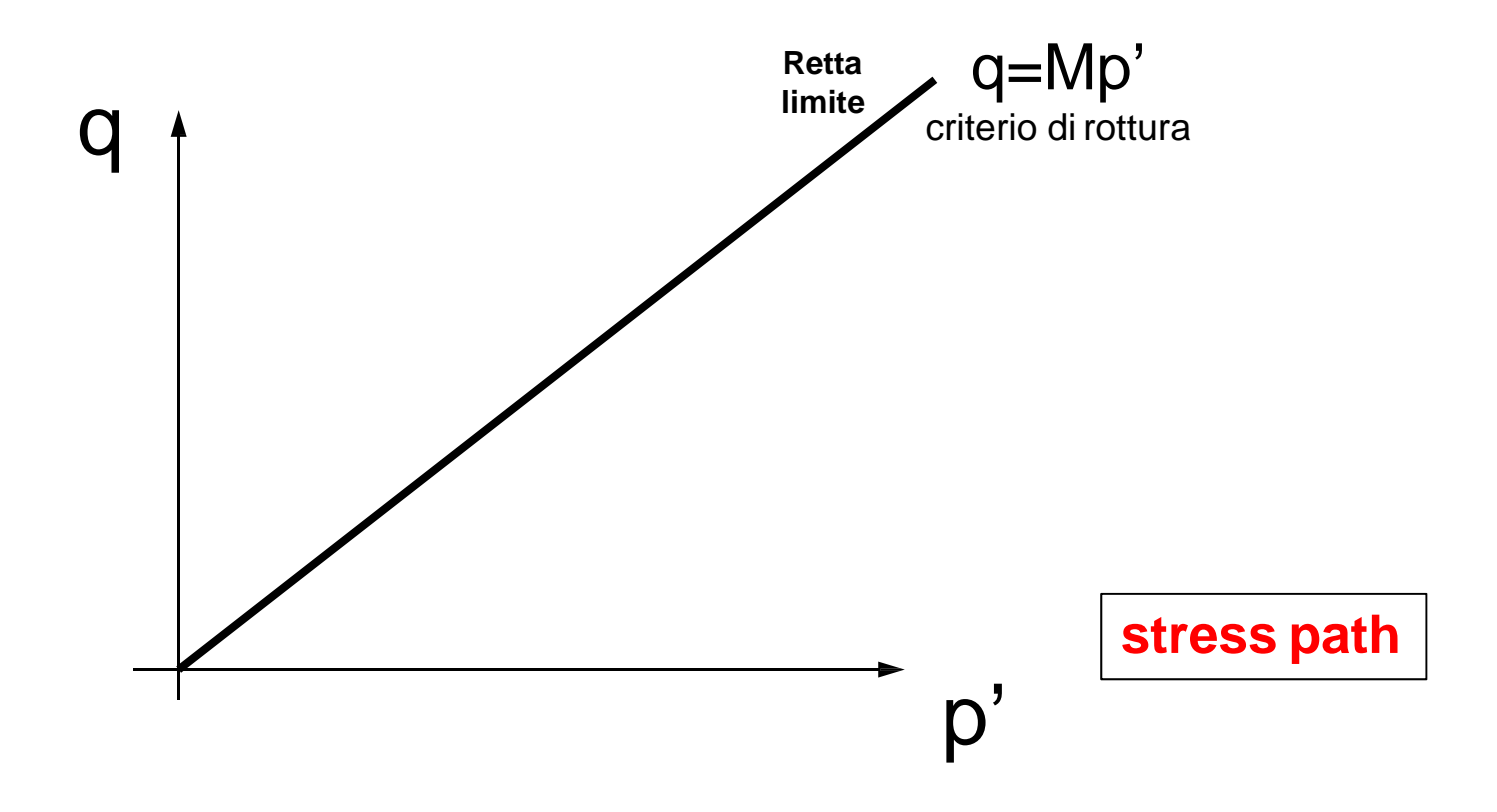
Variazione di volume indotta dalle tensioni deviatoriche ed impedita in condiz.non drenate

$$\Delta V (\tau,q) \rightarrow u (\tau,q)$$

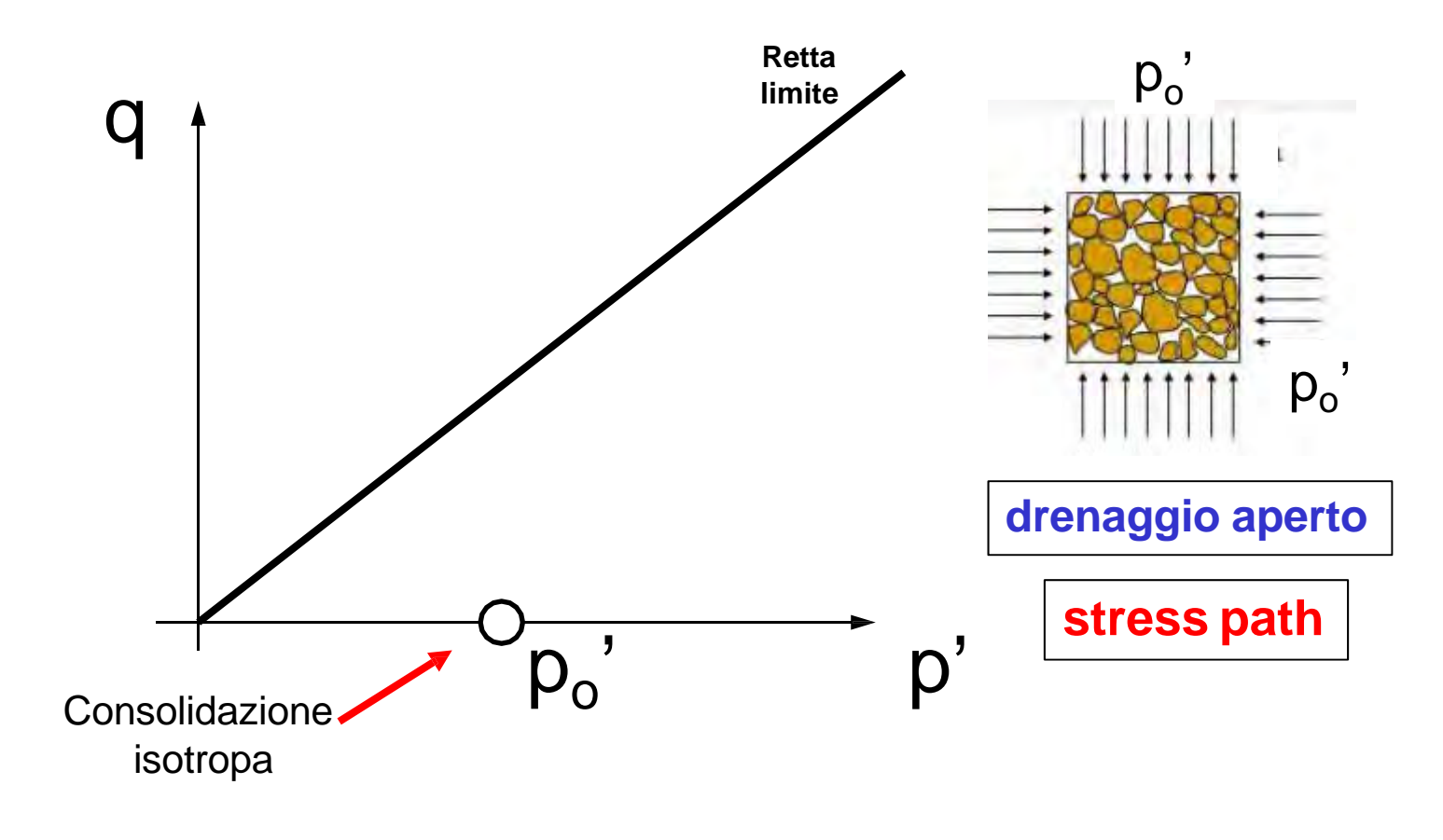
regime di deformazioi plastiche



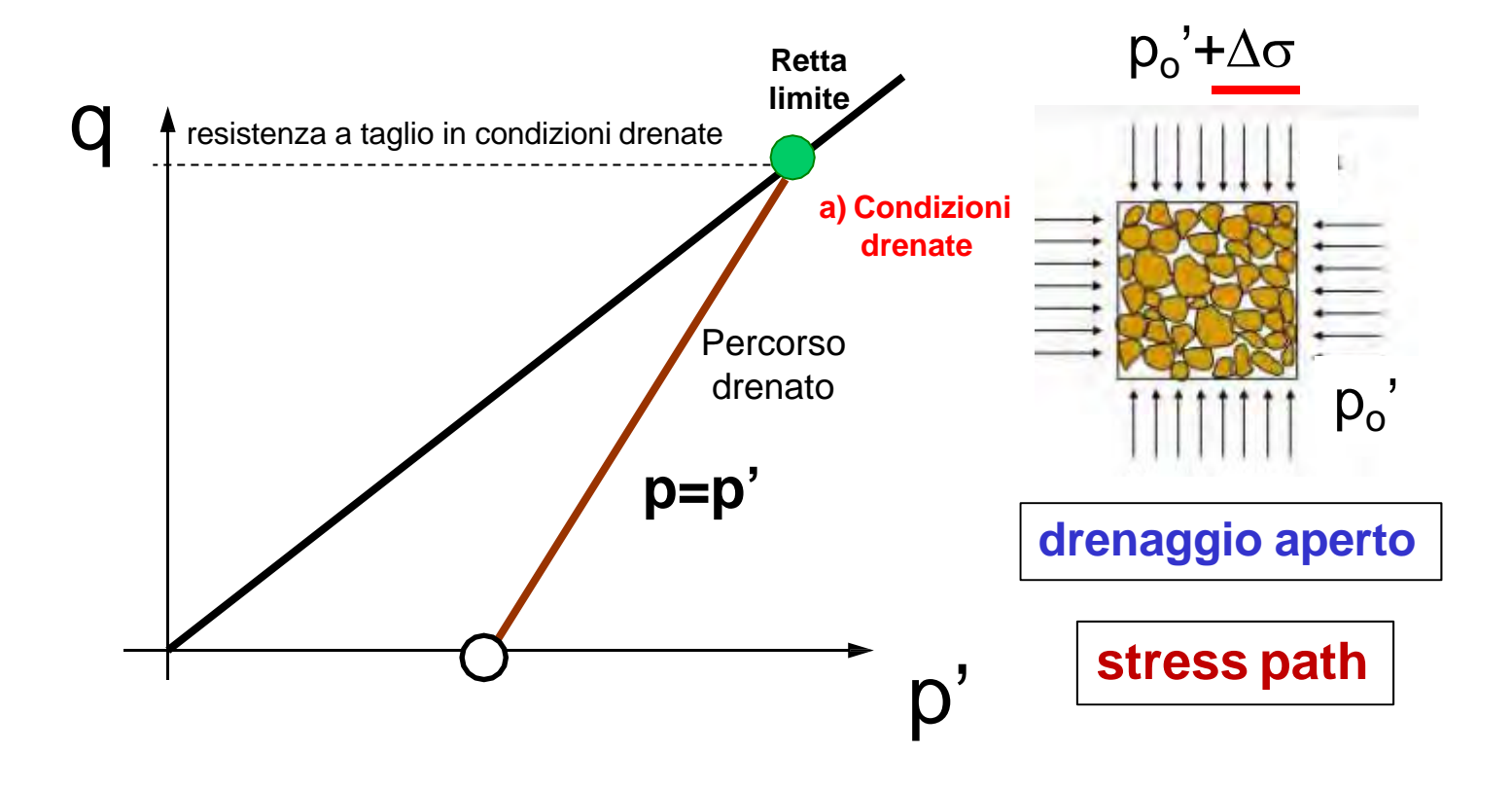
Confronto tra resistenza drenata e non drenata



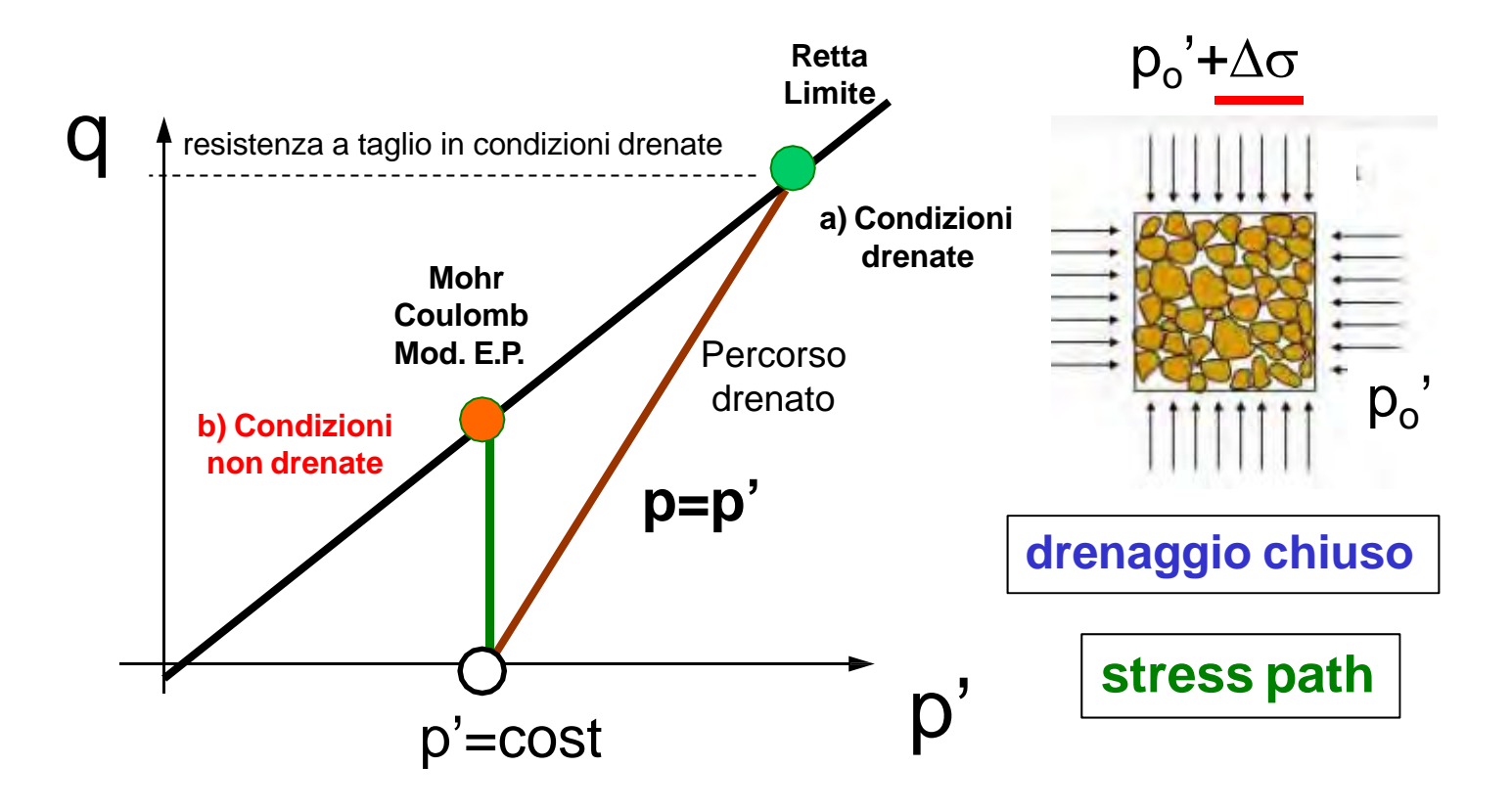
Fase di consolidazione isotropa iniziale



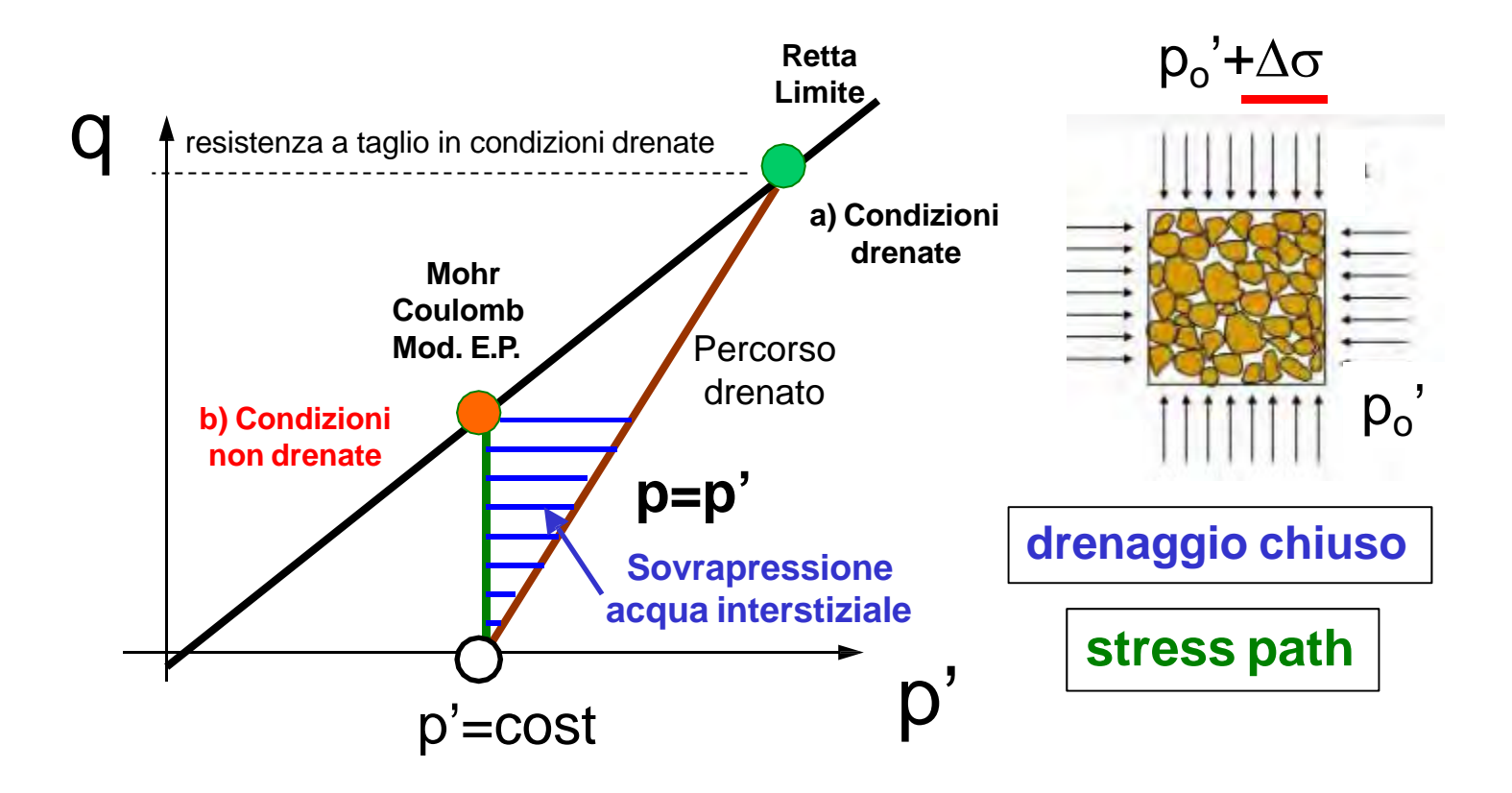
1) Prova drenata



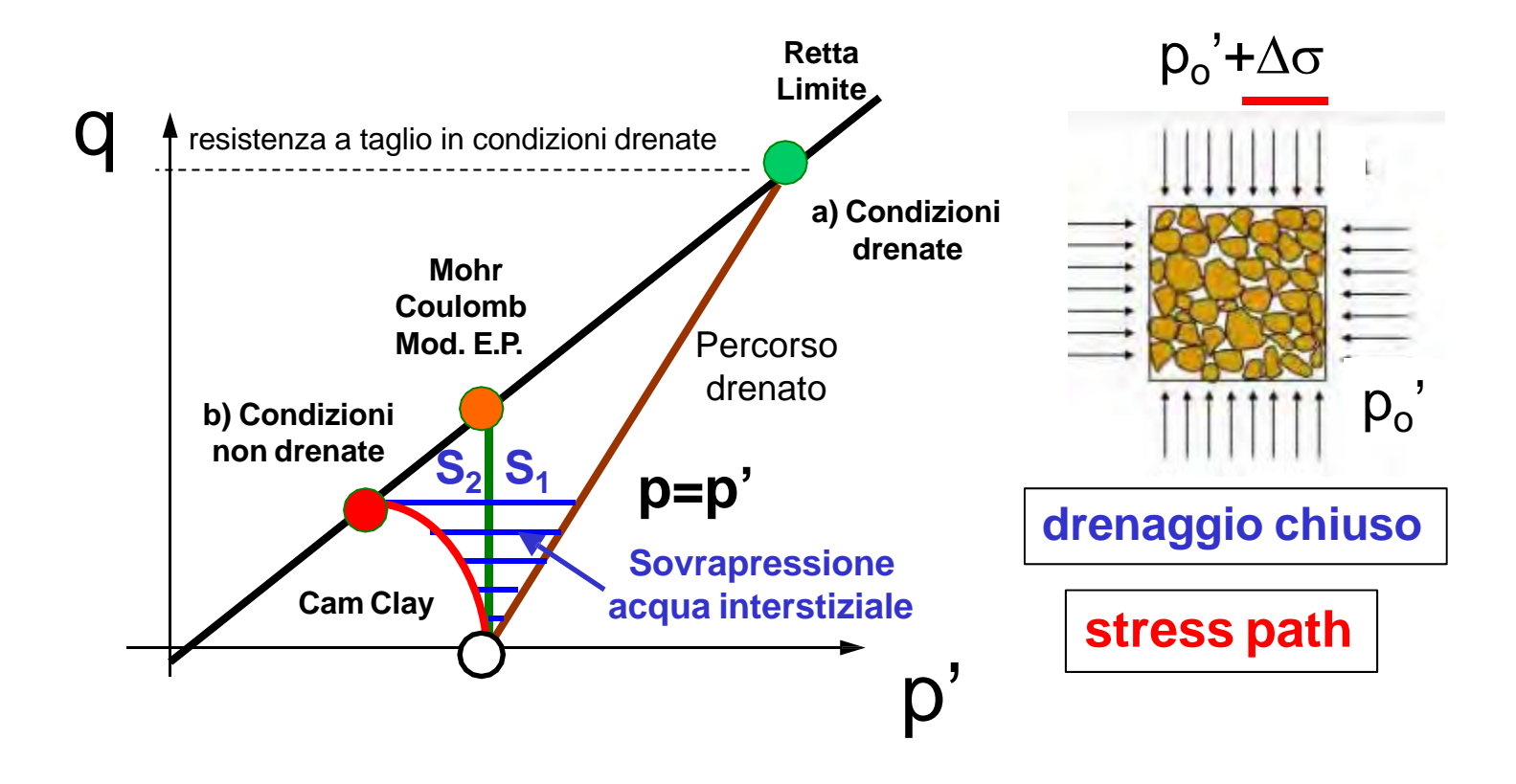
2) Prova non drenata – Modello E.P. Mohr-Coulomb



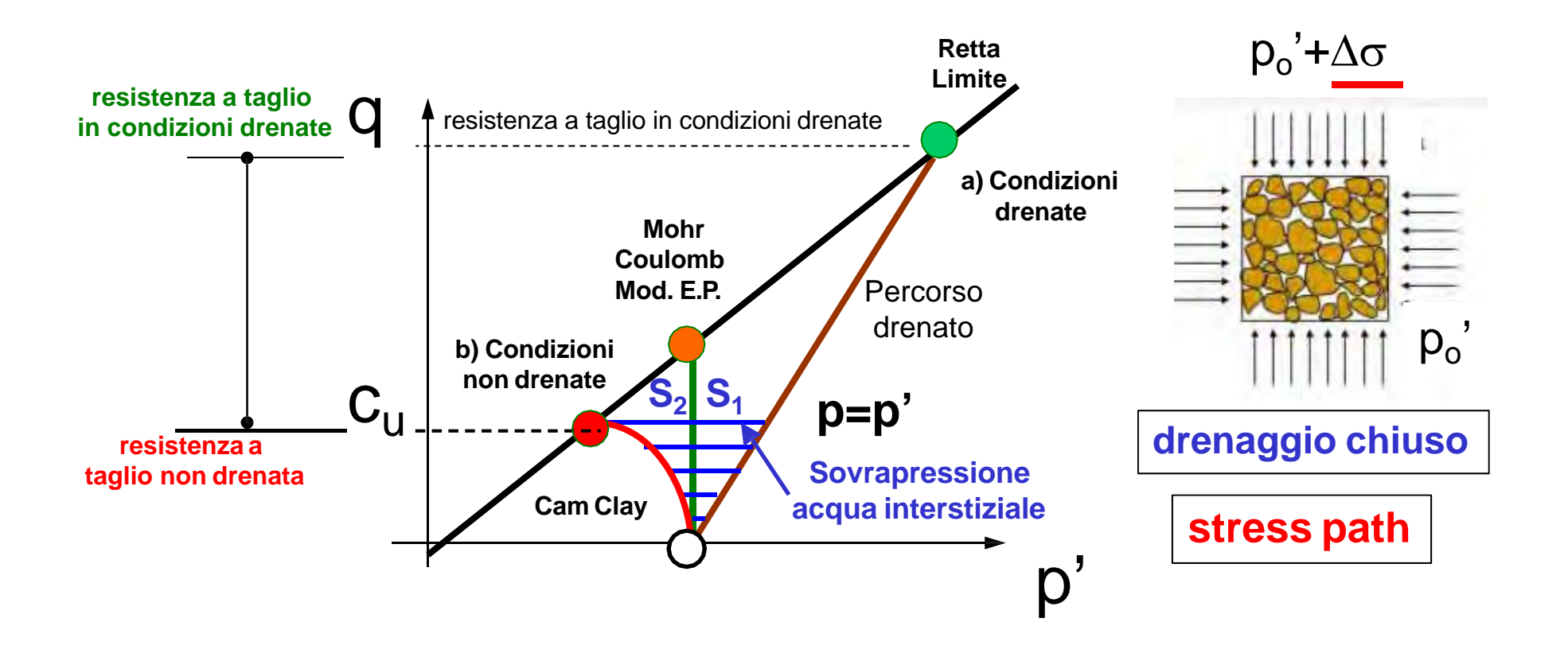
2) Prova non drenata – Modello E.P. Mohr-Coulomb



Prova non drenata – Modello Non Lineare Cam Clay



Prova non drenata – Modello Non Lineare Cam Clay

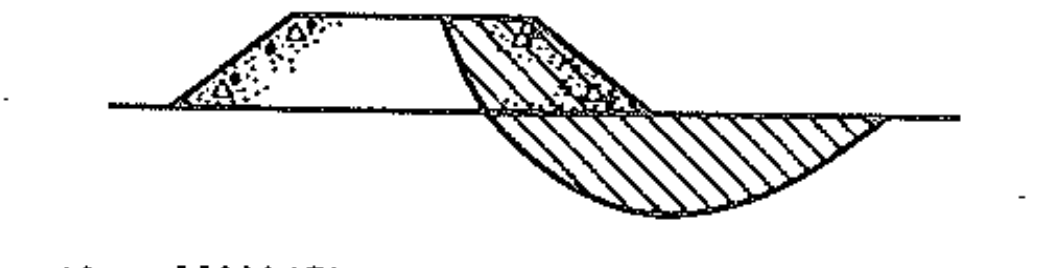


Mile Stone

La resistenza non drenata c_u non è una caratteristica intrinseca del terreno ma bensì è un parametro di stato che dipende dall'indice dei vuoti (ossia dall'addensamento) e dalle condizioni idrauliche al contorno.

La resistenza a taglio non drenata continua a dipendere dalle pressioni efficaci esistenti in sito, (ossia dal grado di addensamento, esso stesso parametro di stato) ed é attivata tramite un meccanismo per attrito anche in condizioni non drenate.

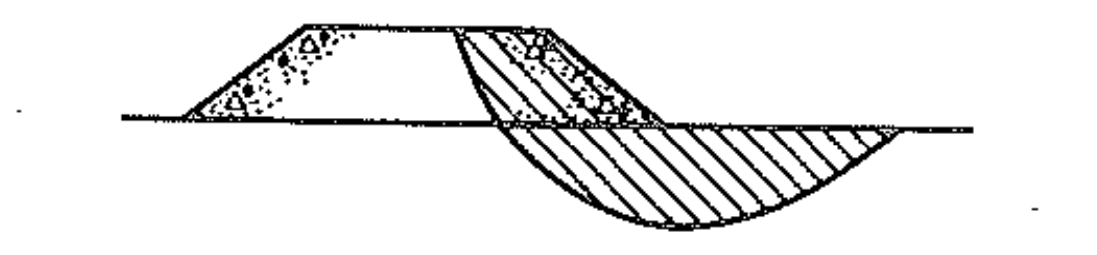
Condizioni di sicurezza - Fase di Costruzione



a) ANALISI IN CONDIZIONI NON DRENATE

• Durante la **fase di costruzione** la condizione di verifica più gravosa nei terreni a **grana fine** si è quella a **breve termine**, quando si è già manifestato l'incremento di tensioni tangenziali indotte dai carichi esterni mentre la **resistenza a taglio** (**non drenata**) del terreno è ancora pari a quella **antecedente** alla costruzione.

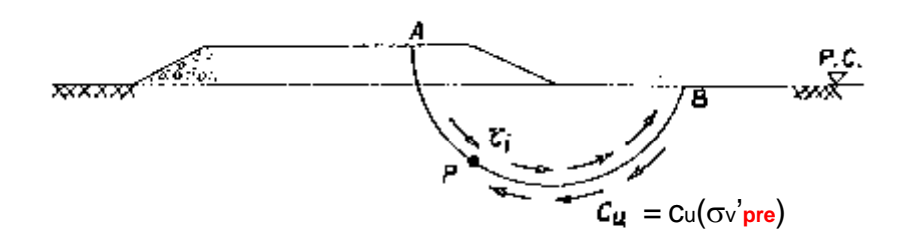
Condizioni di sicurezza - Fase di Costruzione



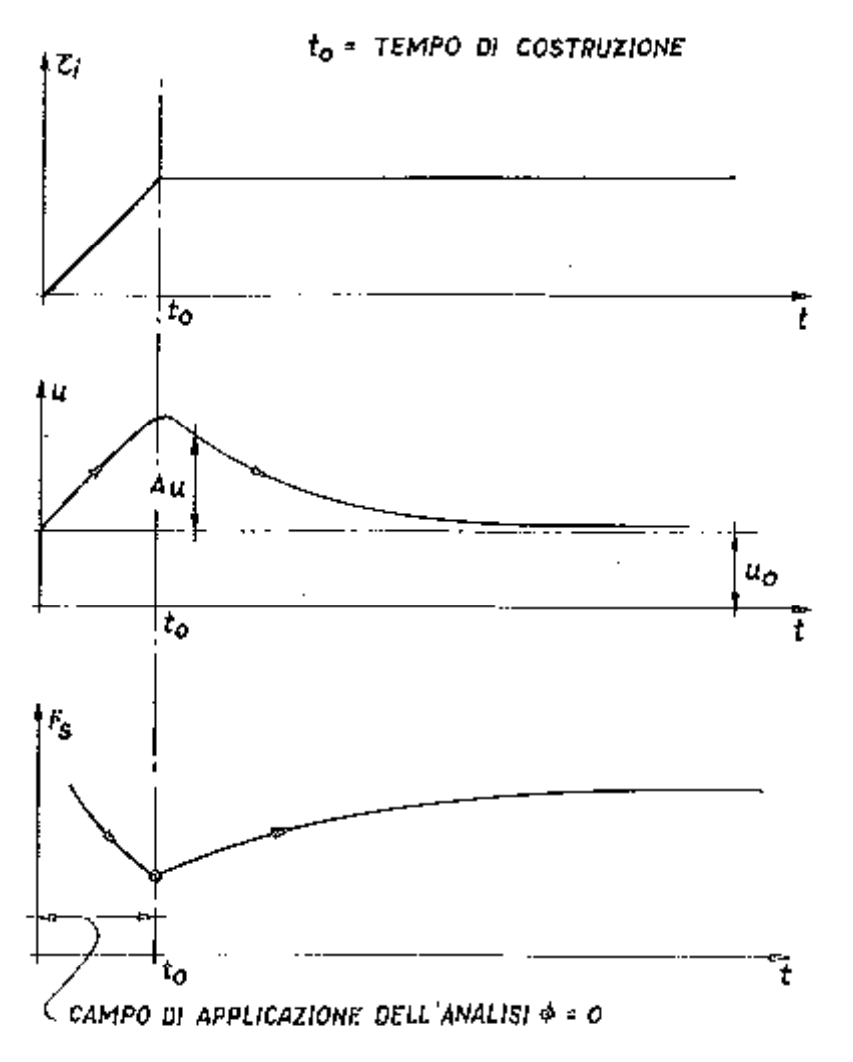
- a) ANALISI IN CONDIZIONI NON DRENATE
- Nel breve termine si verifica un incremento di pressioni neutre ma variazioni di pressioni efficaci (σ'v) trascurabili.

$$\tau_{res} = c_u = 0.25 \, \sigma'_{v \, (pre)} \, OCR^{0.8}$$

La resistenza a taglio non può pertanto cambiare non essendo variate le tensioni efficaci i grani.



Rilevato

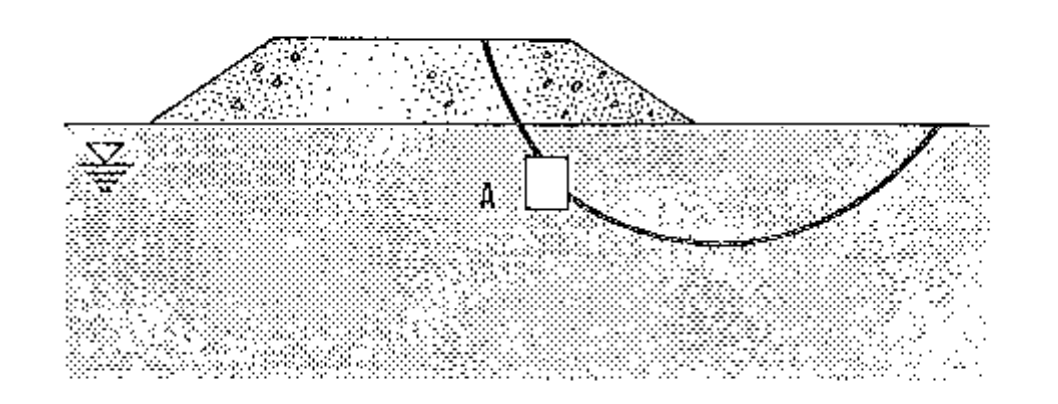


Sollecitazioni tangenziali lungo la superficie di scorrimento (ver. stabilità)

Sovrappressione nell'acqua interstiziale

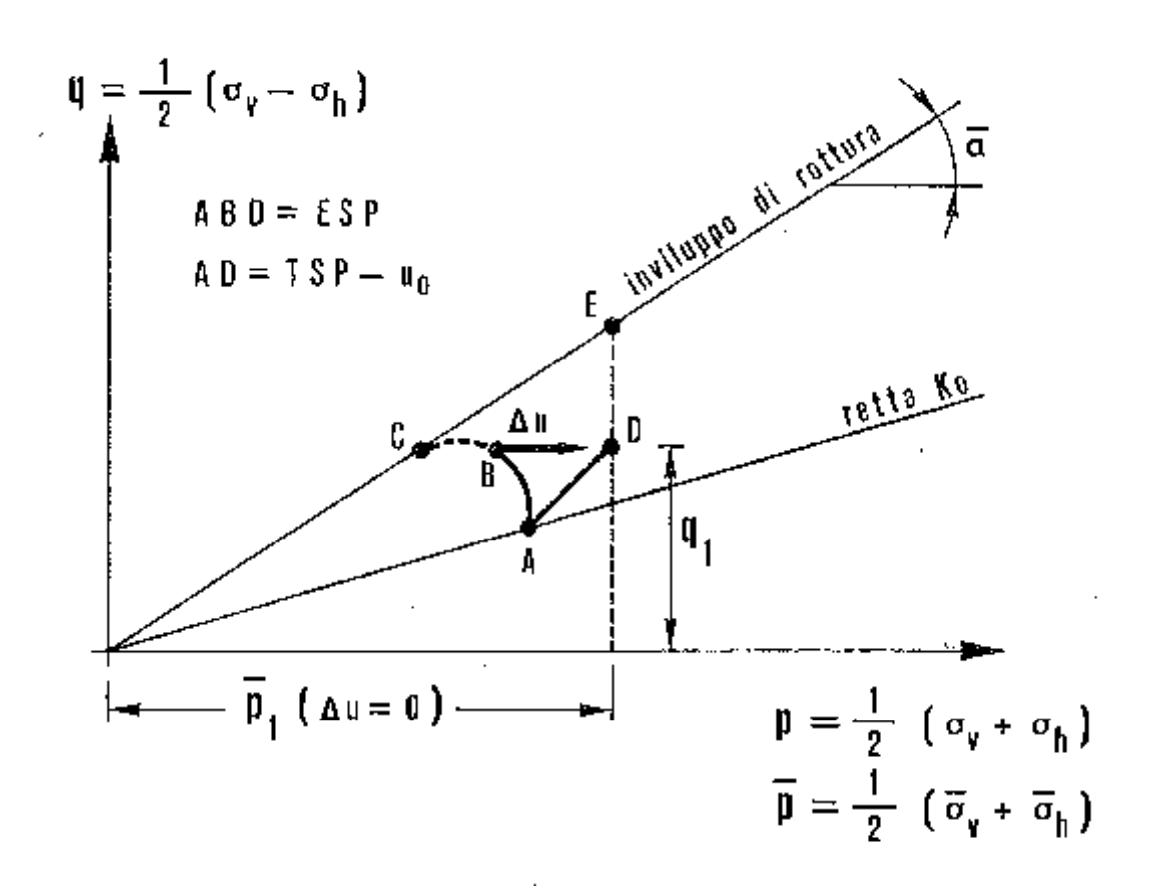
Coefficiente di sicurezza

Fig. 6.5.5 (Bishop-Bjercum, 1960)



Stress path

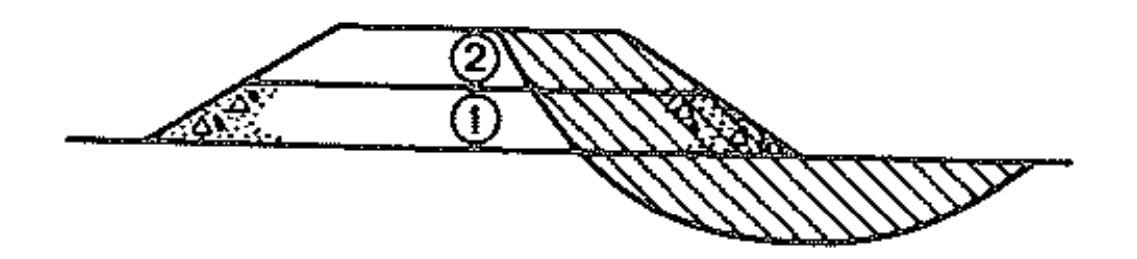
Costruzione di un rilevato



q = tensione deviatorica

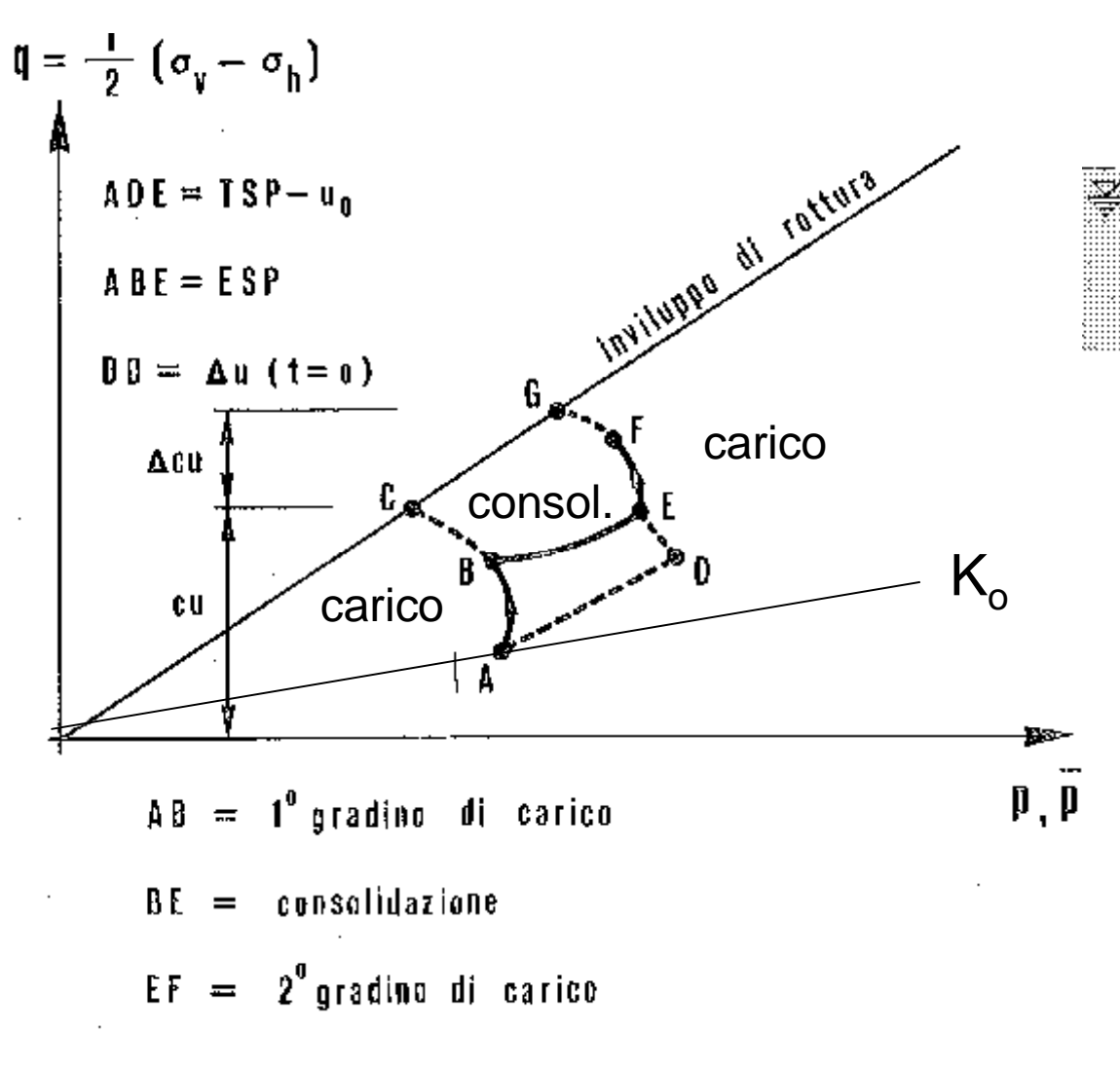
p = pressionelsotropa totale

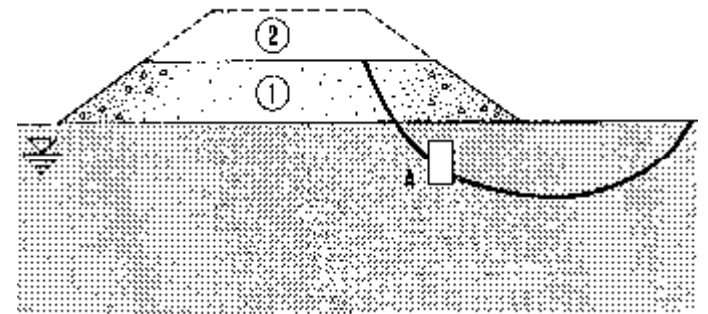
p' = pressione Isotropa efficace



C) ANALISI IN CONDIZIONI PARZIALMENTE DRENATE

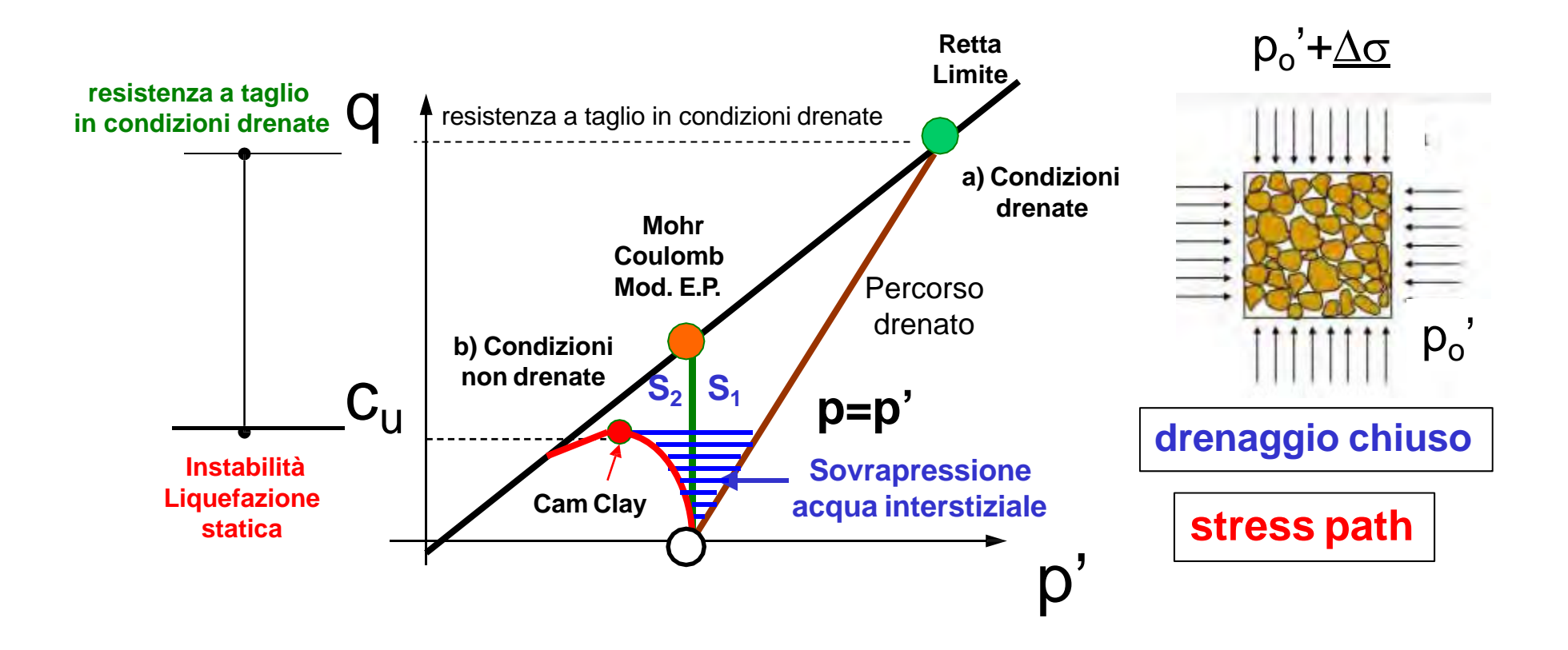
In presenza di terreni con modesta resistenza a taglio si può procedere alla costruzioni in più fasi, migliorare il terreno con vibroflottazione (sabbie) o vibrocompattazione (argille) oppure accelerare il processo di consolidazione con un precarico e l'utilizzo di dreni verticali.





Costruzione di un rilevato in più fasi

Prova non drenata – Liquefazione statica



Liquefazione statica - Instabilità del terreno

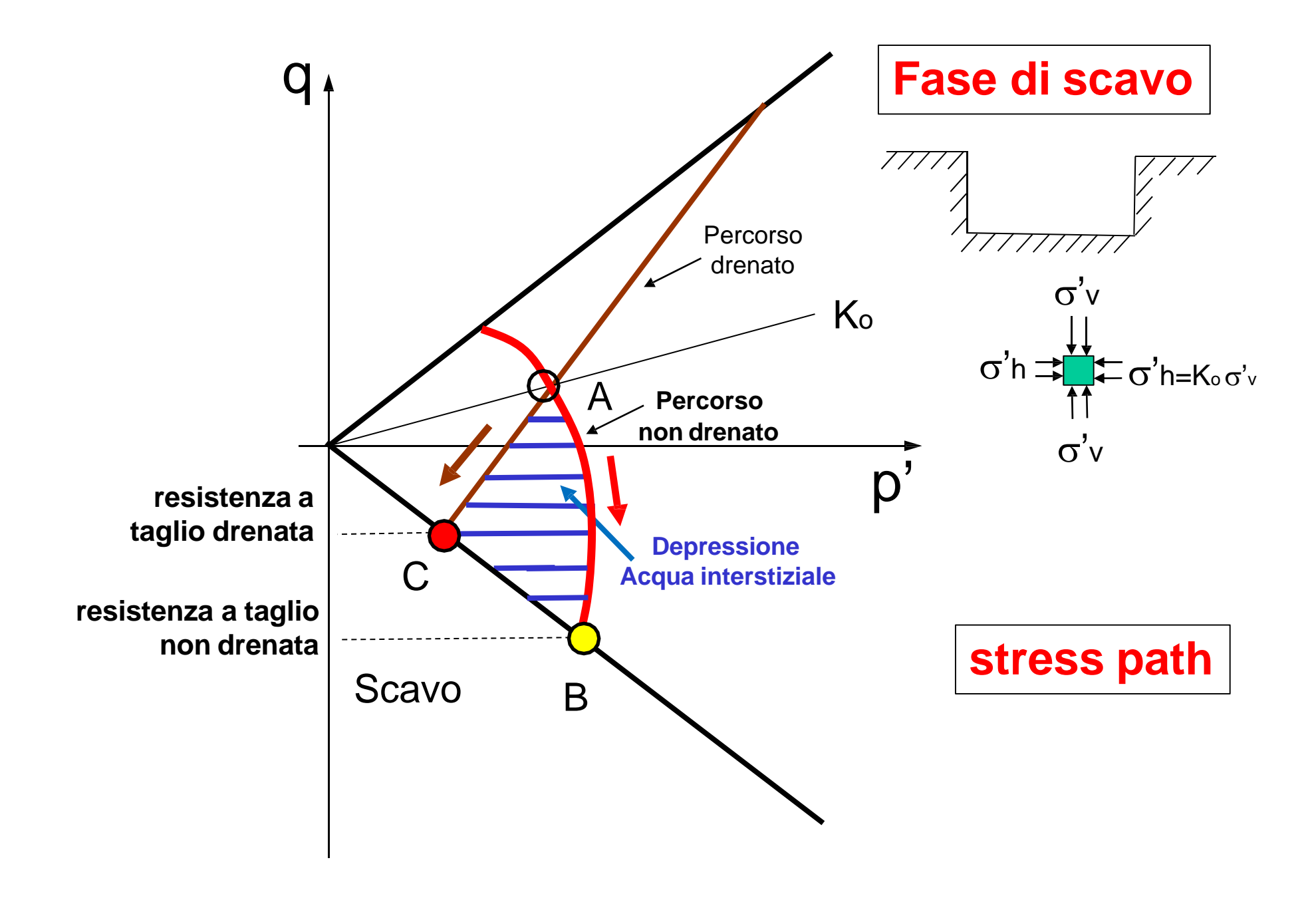


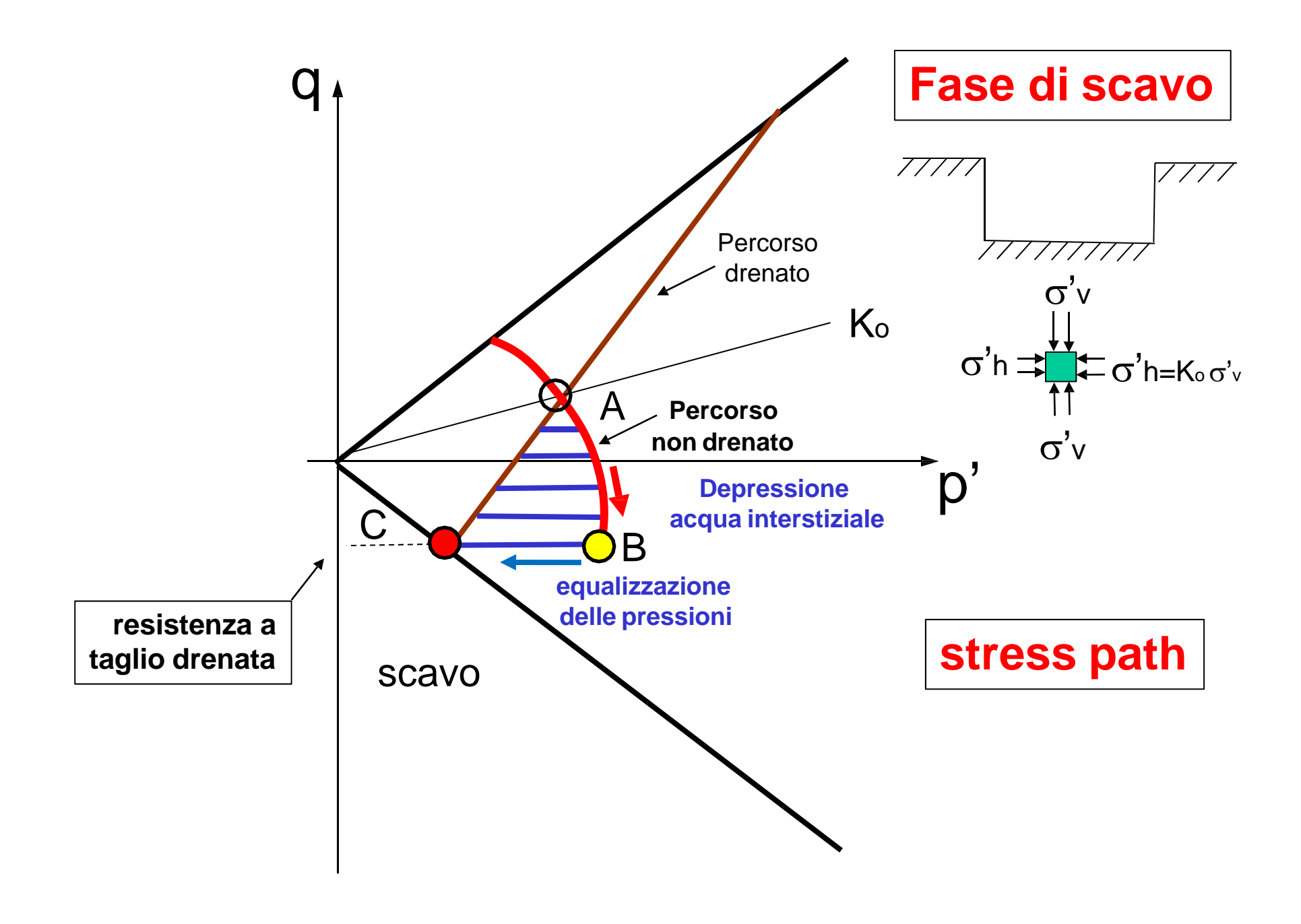
Terreno saturo imbevuto d'acqua sino in superficie

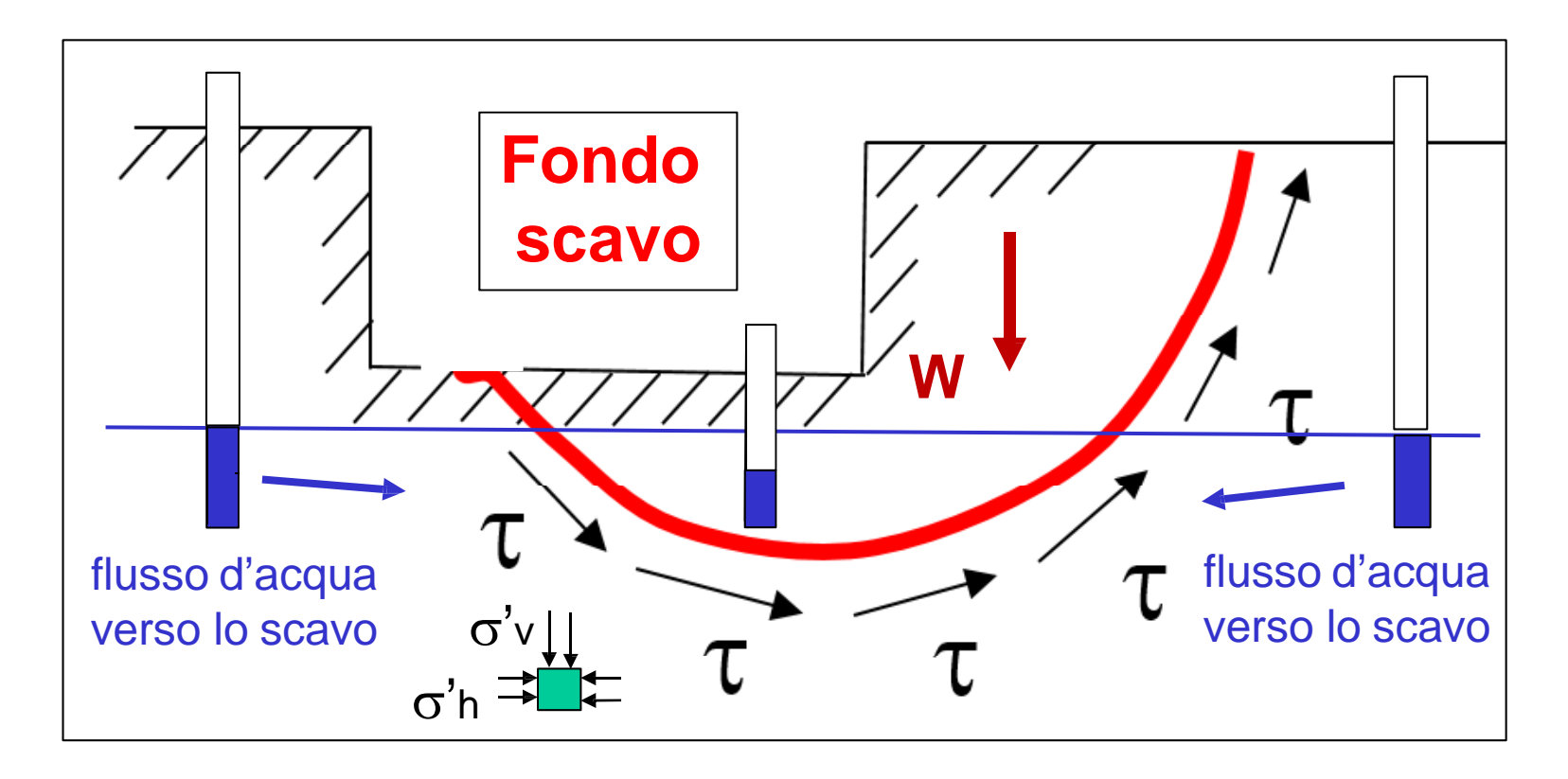


Fronti di scavo









Cond. non drenata t=0 $\tau_R=\max$ F.S. = \max $\tau_R=F[\sigma'v(\text{ante scavo})]$ Condizione drenata $t=\inf$ $\tau_R=\min$ F.S. = \min $\tau_R=F[\sigma'v(\text{post scavo})]$

Nella fase di scavo è l'acqua interstiziale che si scarica mentre le pressioni efficaci tra i grani rimangono quelle ante scavo, ossia massime cosi come la resistenza a taglio. Nel tempo le pressioni neutre si equalizzano con l'afflusso d'acqua verso lo scavo, le pressioni efficaci si riducono essendo quelle totali costanti riducendosi anche *la resistenza a taglio* a fondo scavo.



Stabilità degli scavi

 h_{scavo} = altezza massima dello scavo

$$h_{scavo} - \frac{2c_u}{\gamma_t} \qquad \begin{array}{c} + \\ h_{stavo} \\ \hline \\ c_u \\ \phi = 0 \end{array}$$

C_u = resistenza a tagina del terreno

in rase di scarico in condizioni

NON DRENATE

$$c_u = 50 \text{ KPa}$$
, $\gamma_t = 18.0 \text{ KN/m3}$, $h_s = 5.55 \text{ m}$



Stabilità degli scavi a lungo termine

h_{scavo} = altezza massima dello scavo

$$h_{scavo} = \frac{2c'}{\gamma_t} \cdot \tan(45 + \phi/2) \quad \frac{h_{scavo}}{c', \phi'}$$

 $c', \phi' = parametri di resistenza a taglio del terreno a lungo termine in condizioni DRENATE$

c' = 20 KPa,
$$\phi$$
=24°, γ_t = 18.0 KN/m3, h_s = 3.35 m

Condizioni di sicurezza

• Durante la **fase di scavo** le condizioni di sicurezza più gravose nei terreni a **grana fine** si verificano a **lungo termine**, a seguito di una possibile modifica delle condizioni di saturazione che riducono la pressione tra i grani efficace in condizioni non drenate presente subito dopo lo scavo.

CARATTERIZZAZIONE DEL TERRENO (Cenni)

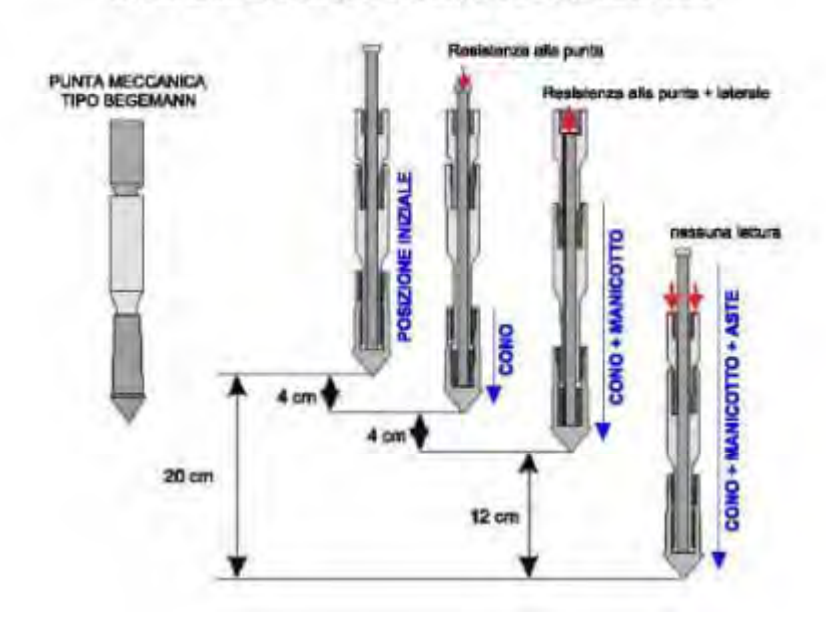
PROVE IN SITO

Prove CPT - CPTU

Sondaggi

Indagini in sito

Scema di avanzamento di una Prova Penetrometrica CPT

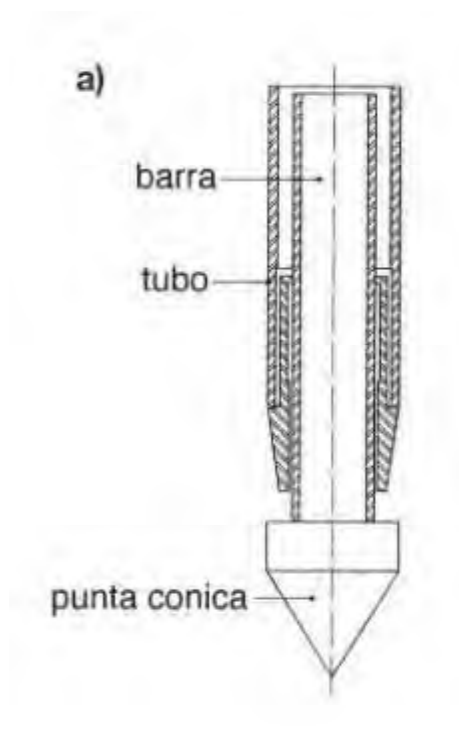




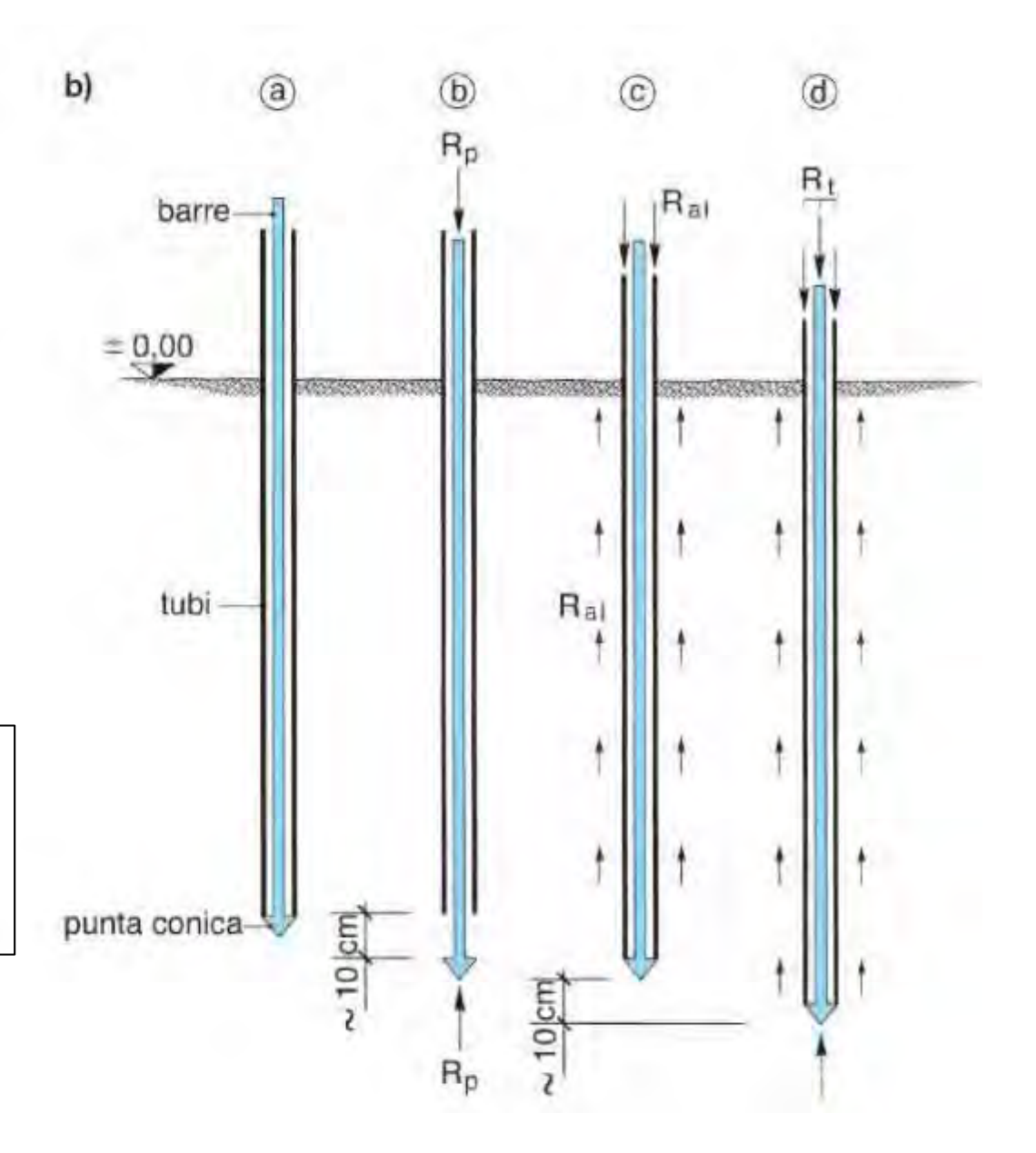
Prove Penetrometriche

CPT, CPTU, SPT

PENETROMETRO STATICO



Prova con misura della Resistenza alla punta (qc) Resistenza laterale (fs)



INDAGINI IN SITO Prova

Penetrometrica CPT, CPTU

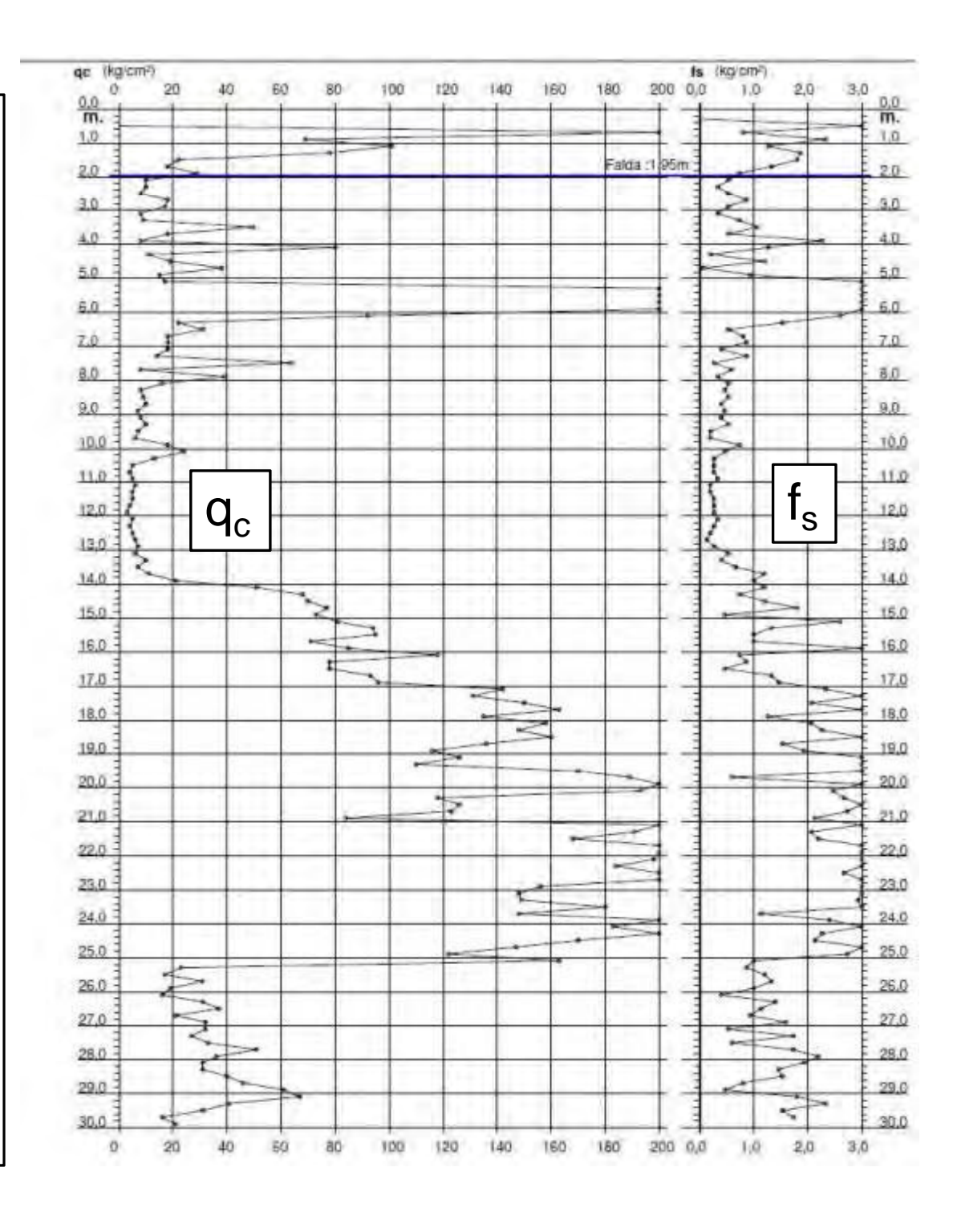
Resistenza alla punta (q_c)

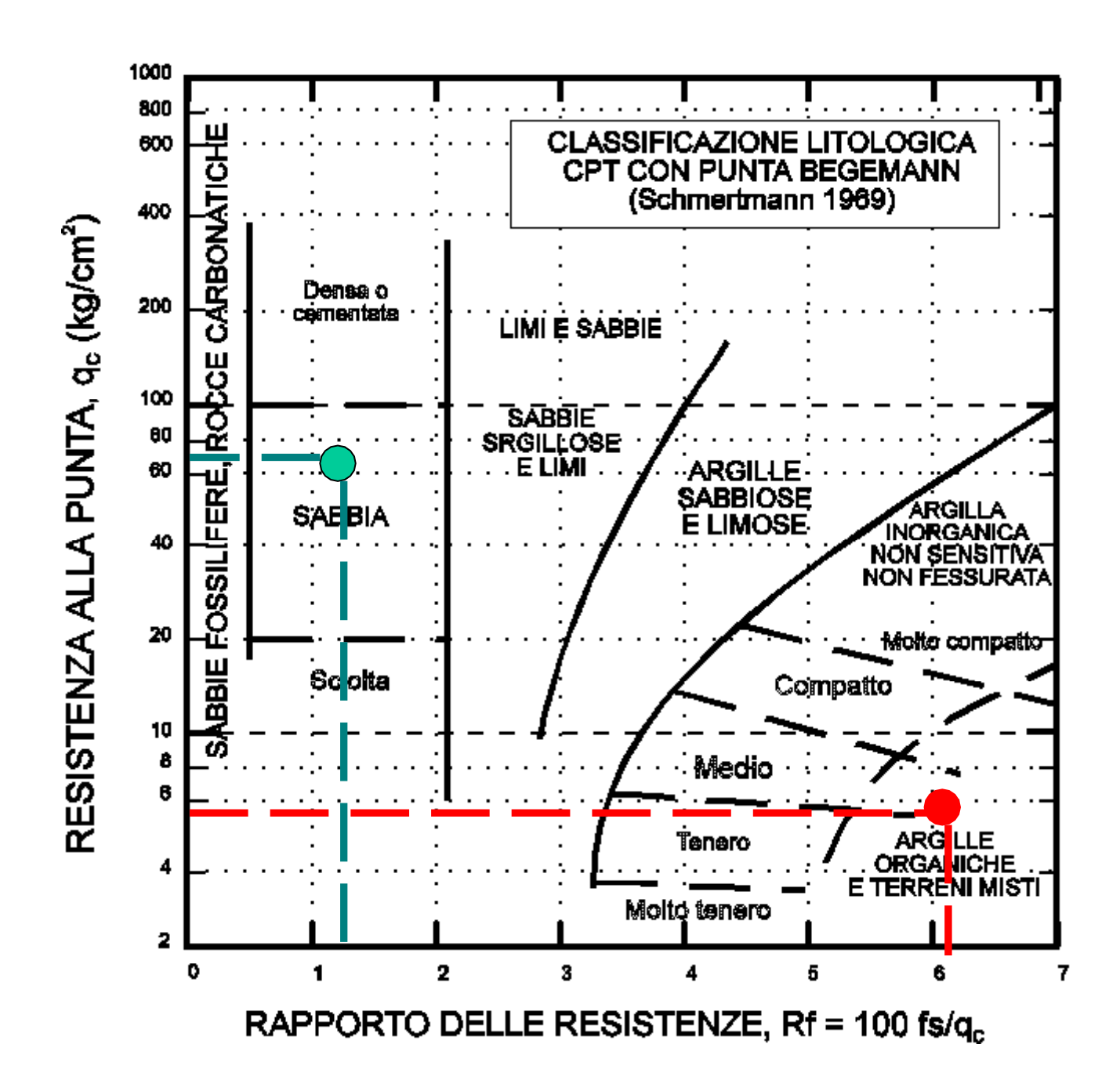
e

Resist. Laterale (f_s)

VS

Profondità





INDAGINI IN SITO

Prova

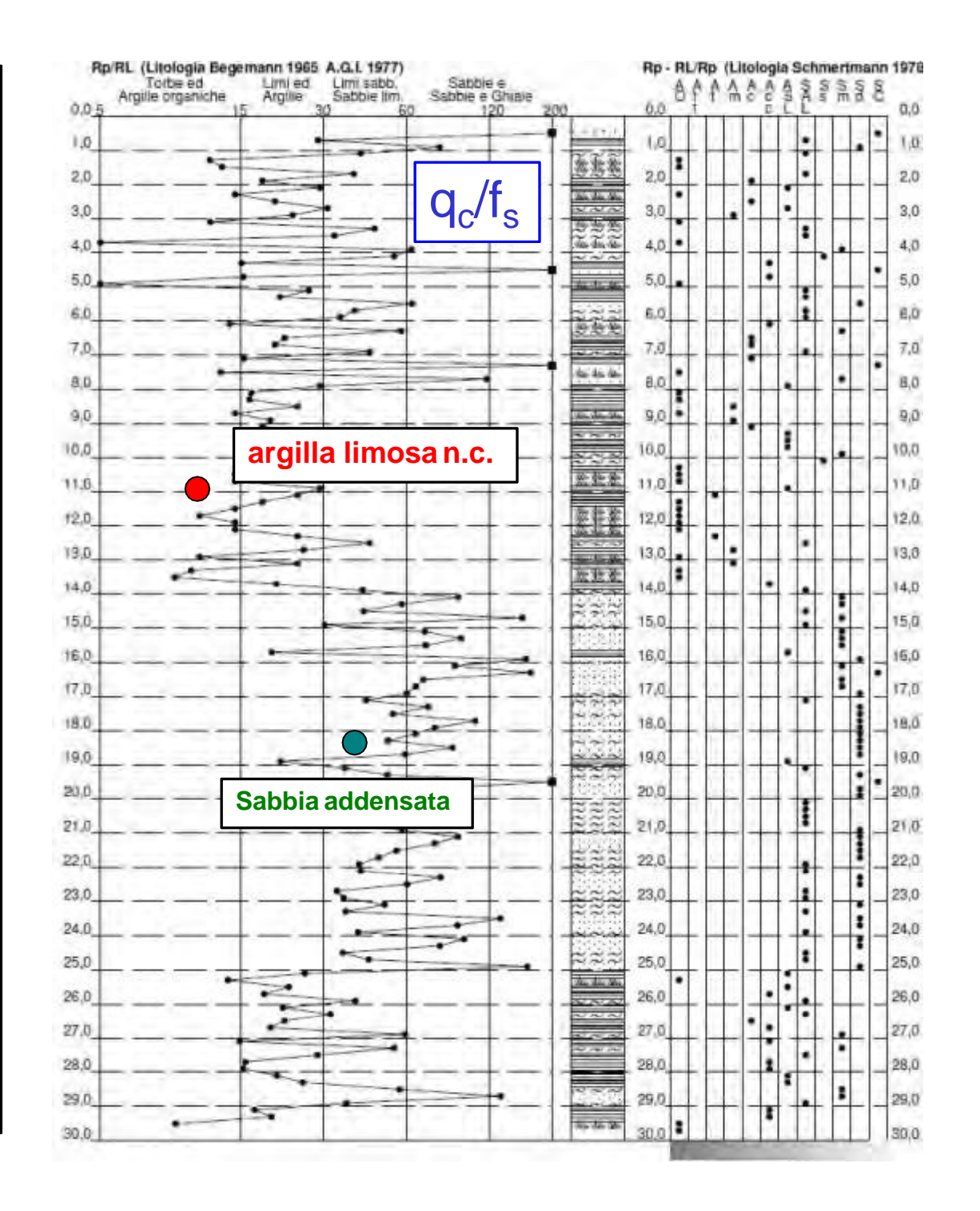
Penetrometrica

CPT

Rapporto tra
Resistenza alla Punta
e

Resistenza Laterale vs

Profondità



INDAGINI IN SITO Prova

Penetrometrica CPT, CPTU

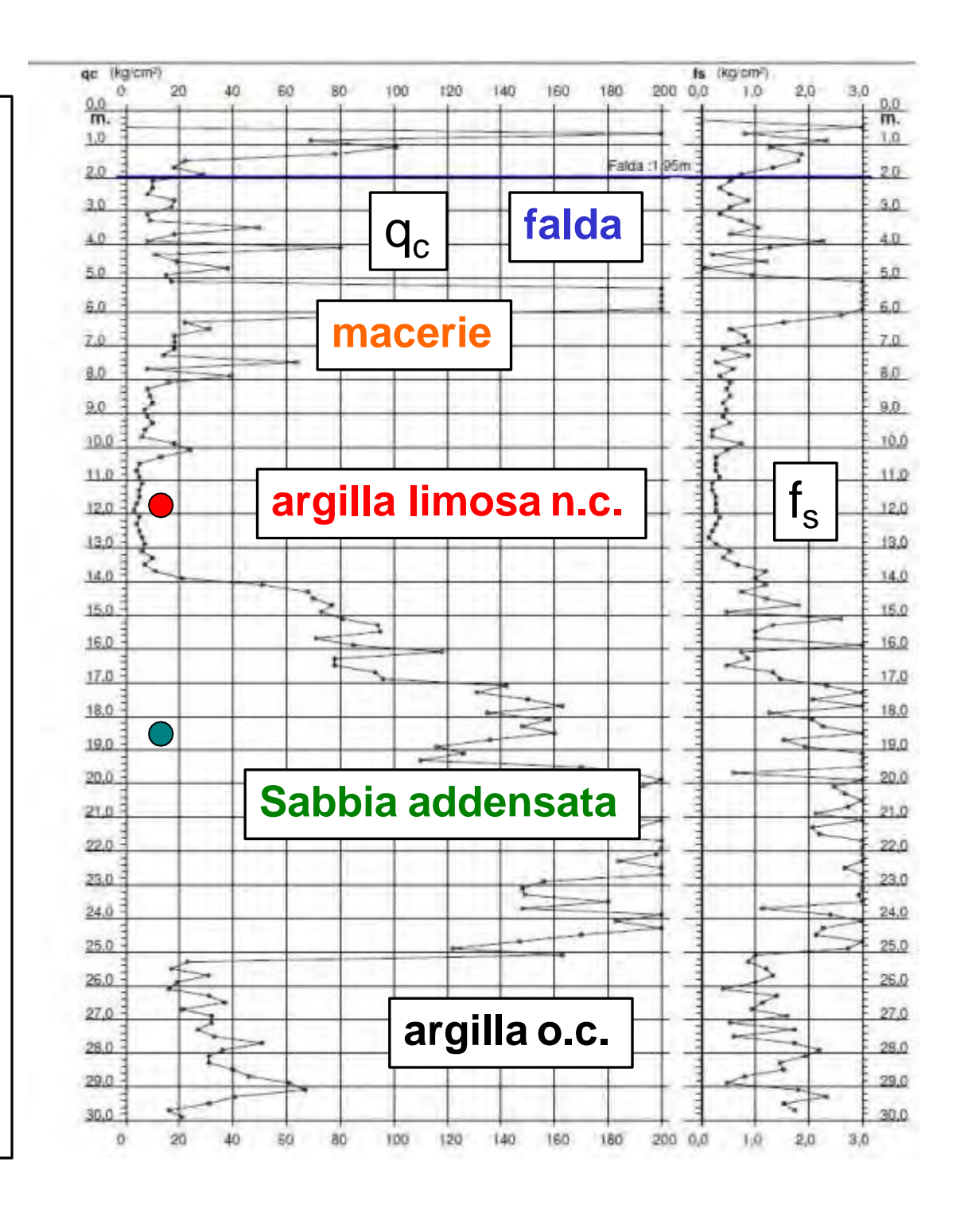
Resistenza alla punta (q_c)

e

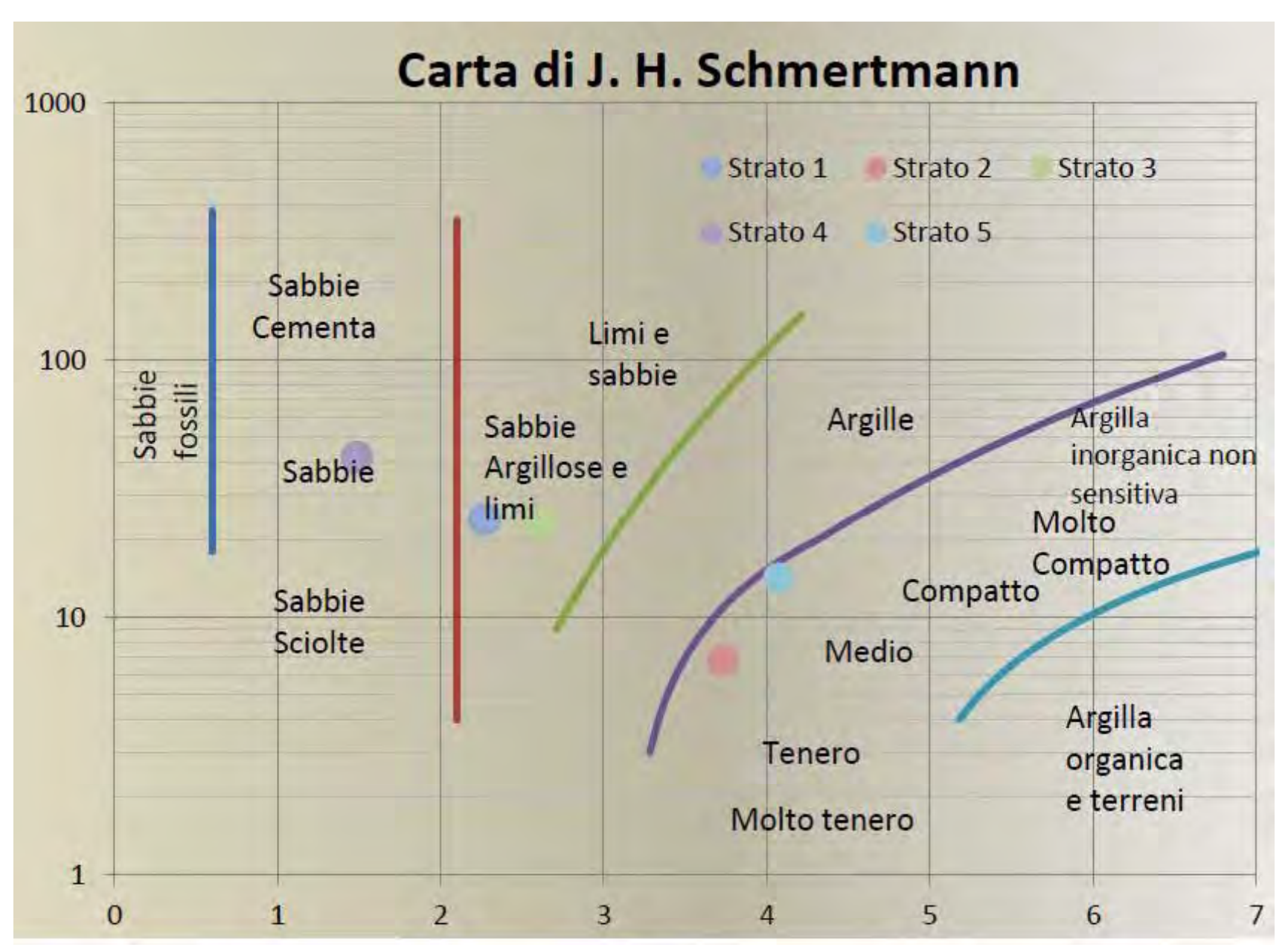
Resist. Laterale (f_s)

VS

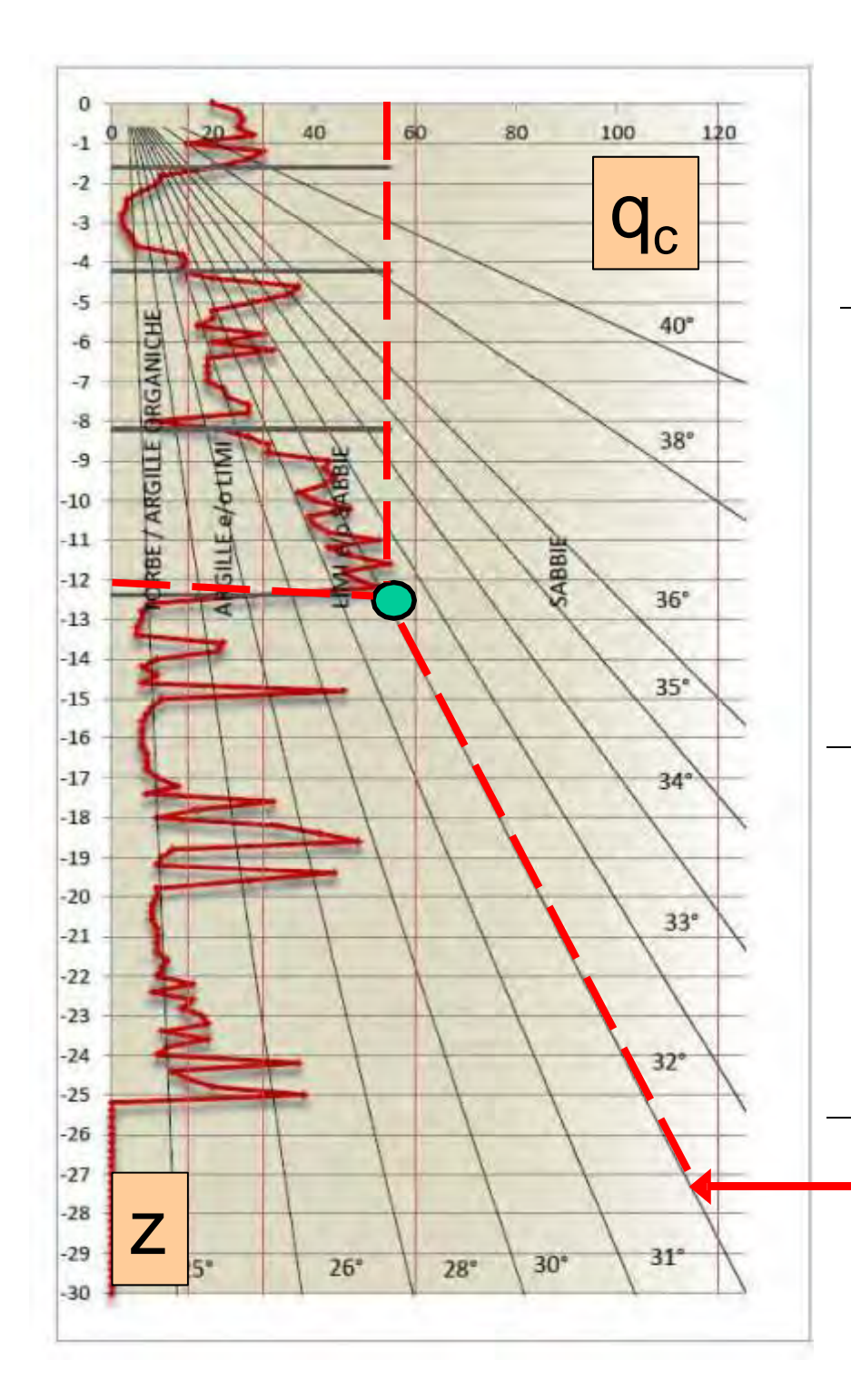
Profondità



Correlazione tra resistenza alla punta e parametri meccanici del terreno



Identificazione della litologia



Correlazioni tra i parametri di resistenza a taglio e di rigidezza con la resistenza penetrometrica

Modulo edometrico

$$E_d = \alpha \cdot q_c$$

$$\alpha = 2 \div 3$$
 per sabbie

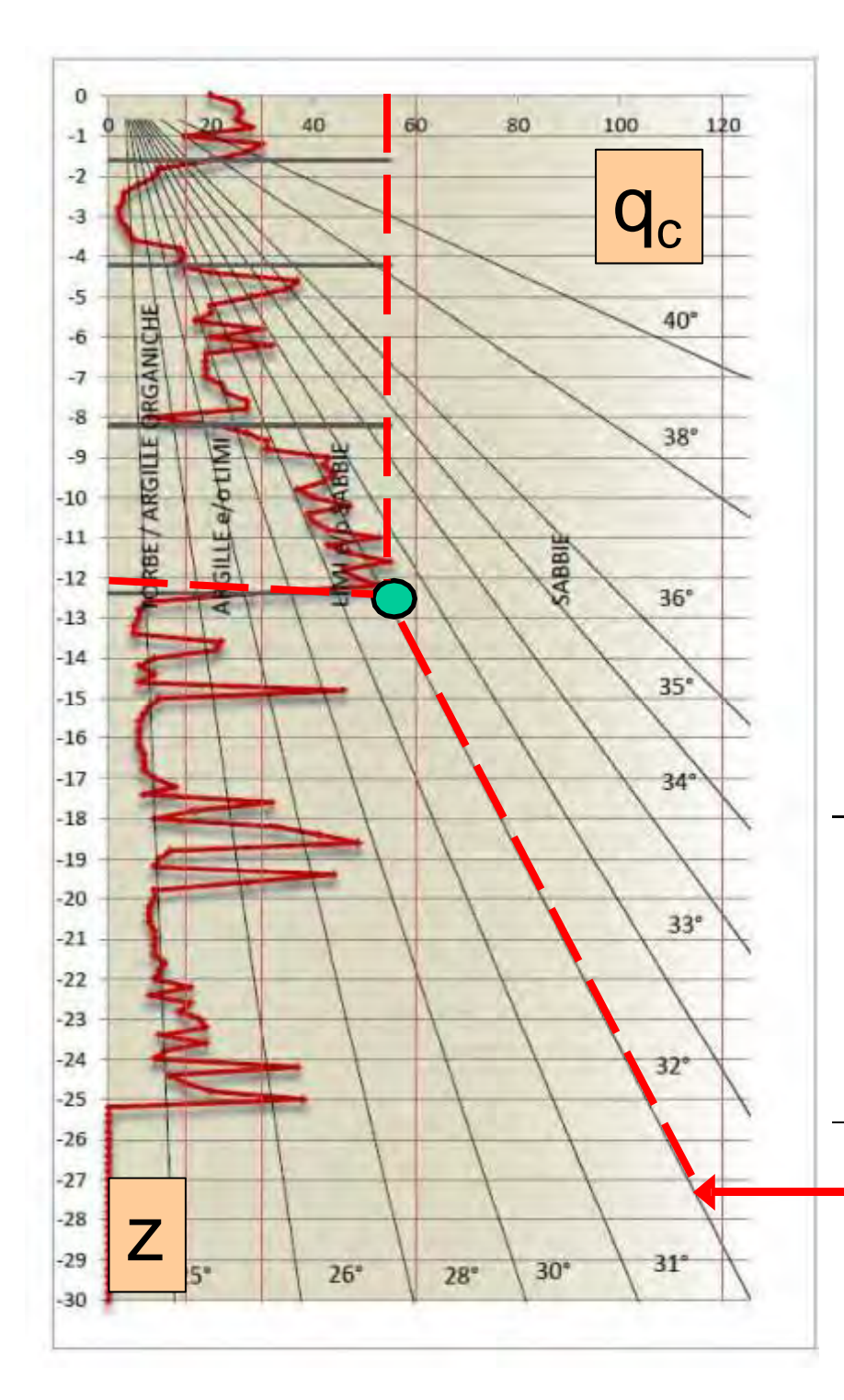
$$\alpha = 4 \div 5$$
 per argille NC

Coesione non drenata

$$c_u = \frac{q_c - \sigma_{vo}}{14}$$

Angolo di attrito

$$\phi = f(\sigma'_{V}q_{c})$$



Correlazioni tra i parametri di resistenza a taglio e di rigidezza con la resistenza penetrometrica

Modulo edometrico

$$E_d = \alpha \cdot q_c$$

Argille di bassa plasticità (CL)	$q_c < 0.7 \text{ MPa}$	3 < a < 8
	$0.7 < q_c < 2.0 \text{ MPa}$	2 < a < 5
	$q_c > 2,0 \text{ MPa}$	$1 < \alpha < 2.5$
Limi di bassa plasticità (ML)	$q_c < 2.0 \text{ MPa}$	3< \a< 6
	$q_c > 2.0 \text{ MPa}$	$1 \le \alpha \le 3$
Argille e limi di elevata plasticità (CH, MH)	$q_c \le 2.0 \text{ MPa}$	2 < α < 6
Limi organici (OL)	$q_c \le 1.2 \text{ MPa}$	2<α<8
Torbe e argille organiche (P _b , OH)	$q_c < 0.7 \text{ MPa}$ 50 < w < 100	1.5 < α < 4
	100 < w < 200	$1 < \alpha < 1.5$
	w > 200	$0.4 < \alpha < 1$

^{*}w = contenuto in acqua (%)

Coesione non drenata

$$c_u = \frac{q_c - \sigma_{vo}}{14 \div 20}$$

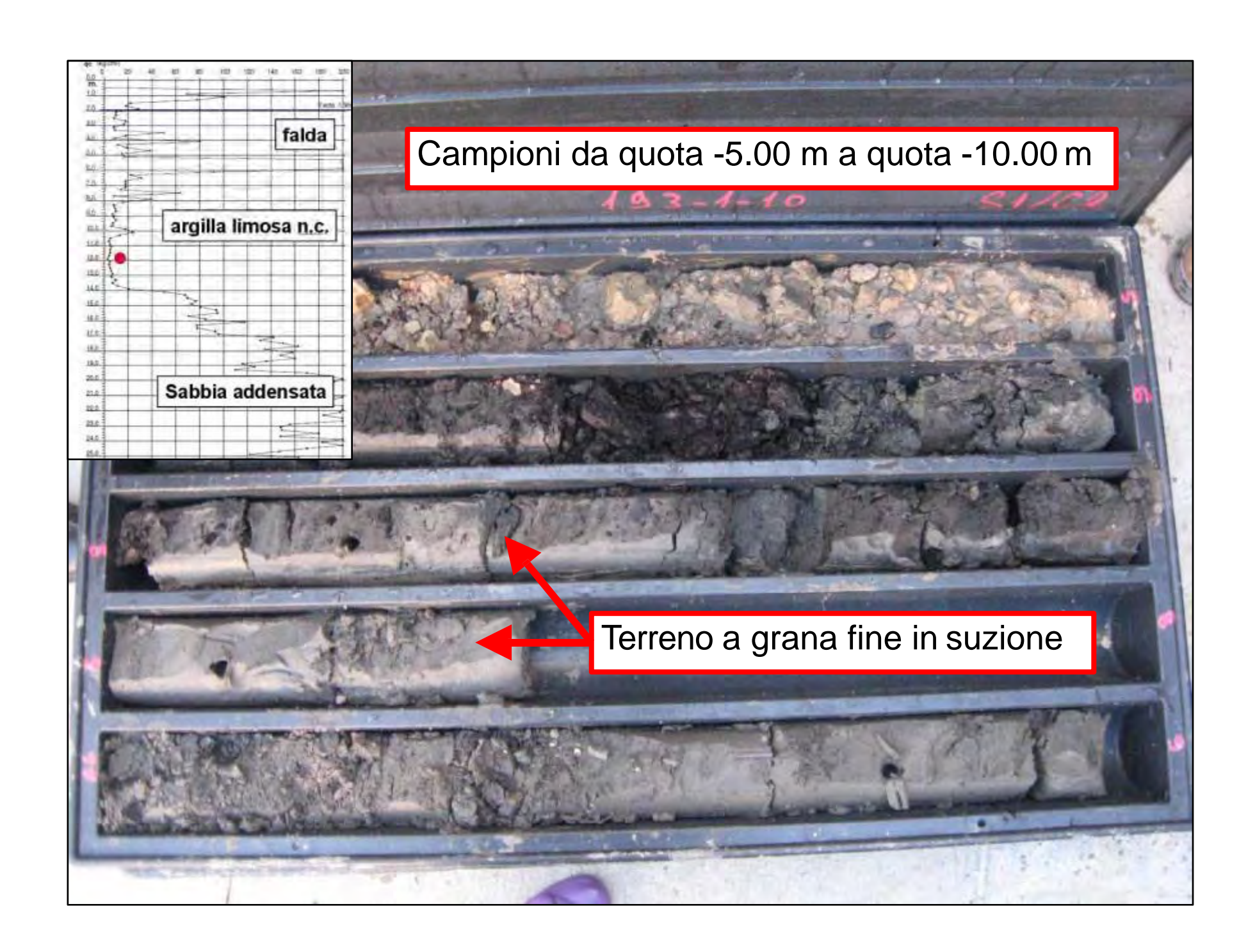
Angolo di attrito

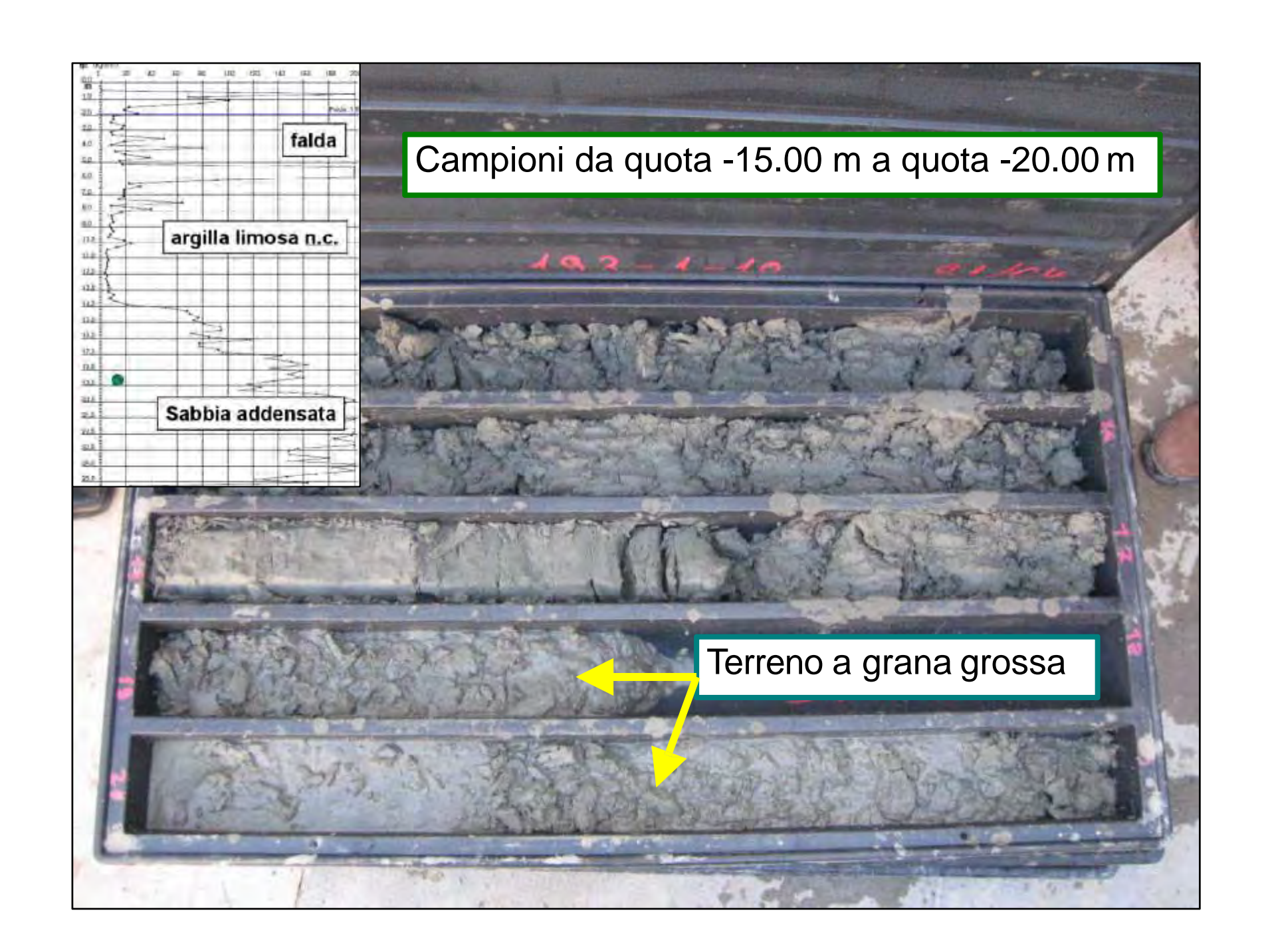
$$\phi = f(\sigma'_{V}q_{c})$$

Indagini in sito

• Sondaggi

• Prelievo di campioni per analisi e prove di laboratorio





Qualità Campioni e Prove di Laboratorio

Caratteristiche geotecniche determinabili	Grado di qualità					
	Q1	Q2	Q3	Q4	Q5	
a) Profilo stratigrafico	X	X	X	X	X	
b) Composizione granulometrica		X	X	X	X	
c) Contenuto d'acqua naturale			X	X	X	
d) Peso dell'unità di volume				X	X	
e) Caratteristiche meccaniche					X	
Classificazione geotecnica del campione	Disturbati o rimaneggiati			A disturbo limitato	Indisturbati	

Tabella 1.1. Classi di qualità del campioni

Analisi Granulometrica Porosità, Contenuto d'acqua, Pesi specifici, Limiti

Prove di taglio diretto
Prove triassiali (dreante e non drenate)
Prove con espansione laterale libera
Prove edometriche con espansione impedita

PROVE DI LABORATORIO

VALUTAZIONE DELLA RESISTENZA

VALUTAZIONE DELLA RIGIDEZZA

VALUTAZIONE DELLA RESISTENZA

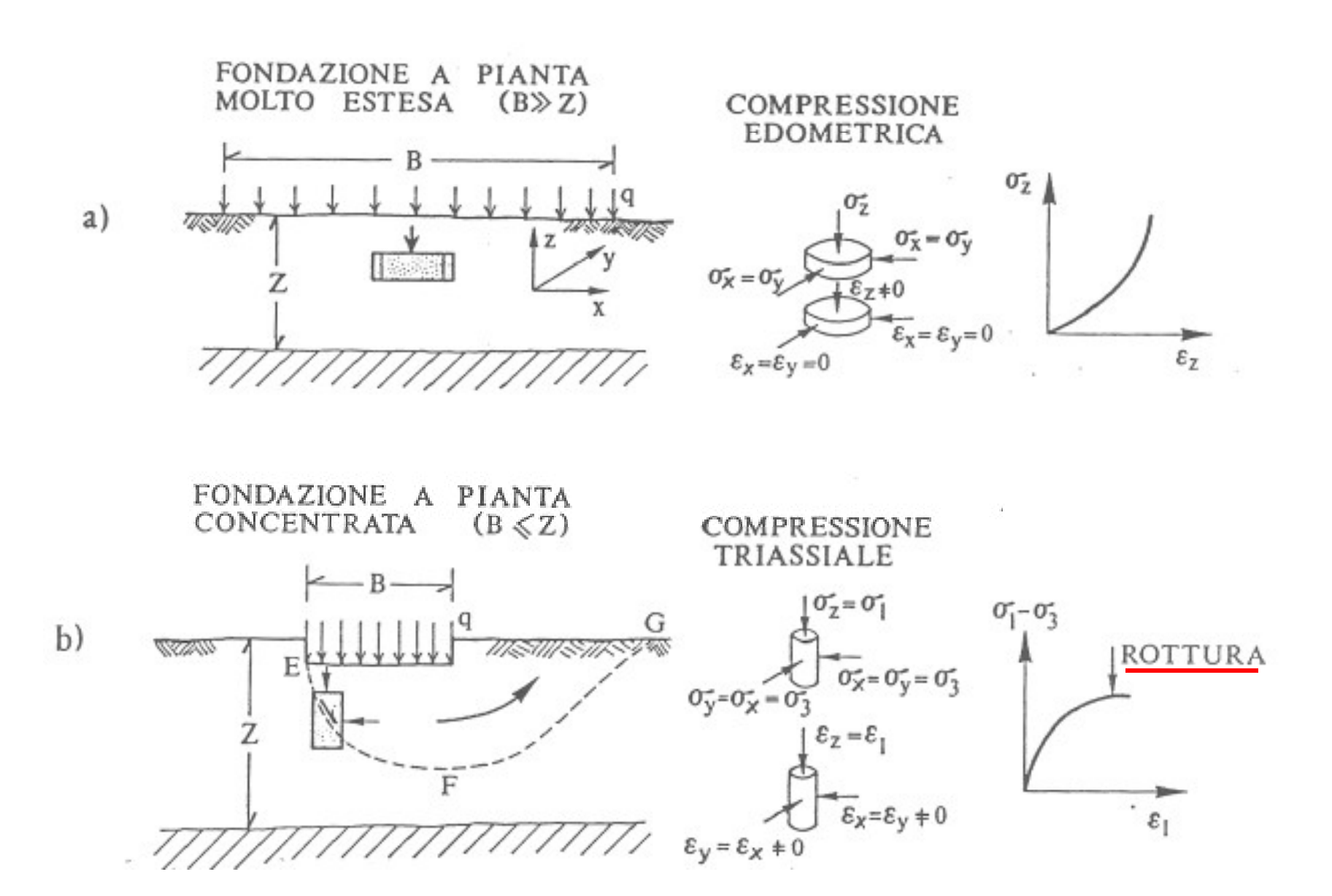
ESPANSIONE LATERALE LIBERA (NON DRENATA)

PROVE DI TAGLIO DIRETTO (DRENATA E NON DRENATA)

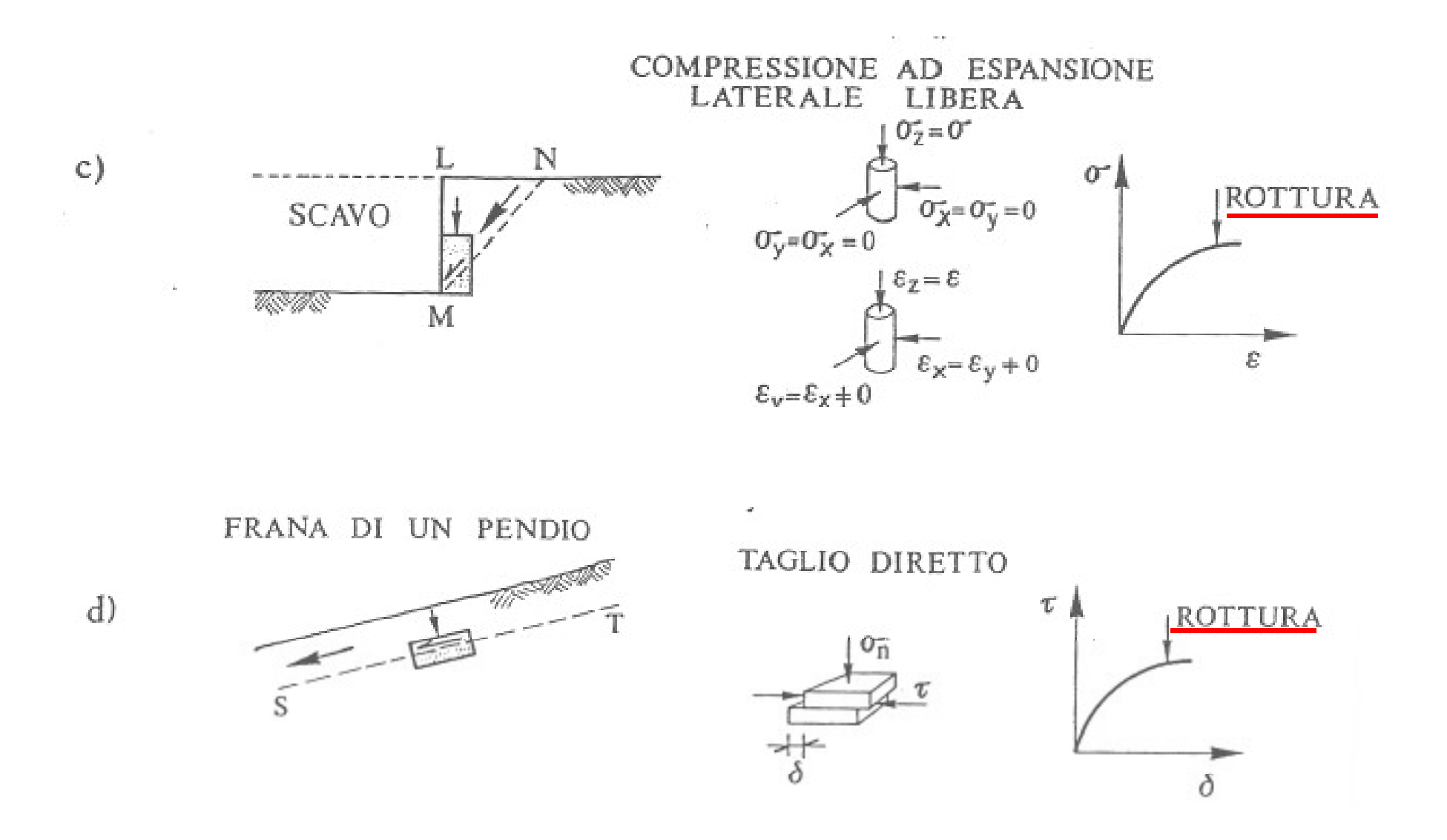
PROVE TRIASSIALI (DRENATE E NON DRENATE)

VALUTAZIONE DELLA RIGIDEZZA

PROVE EDOMETRICHE (DRENATE)



Riproduzione in laboratorio delle condizioni di sollecitazione in sito

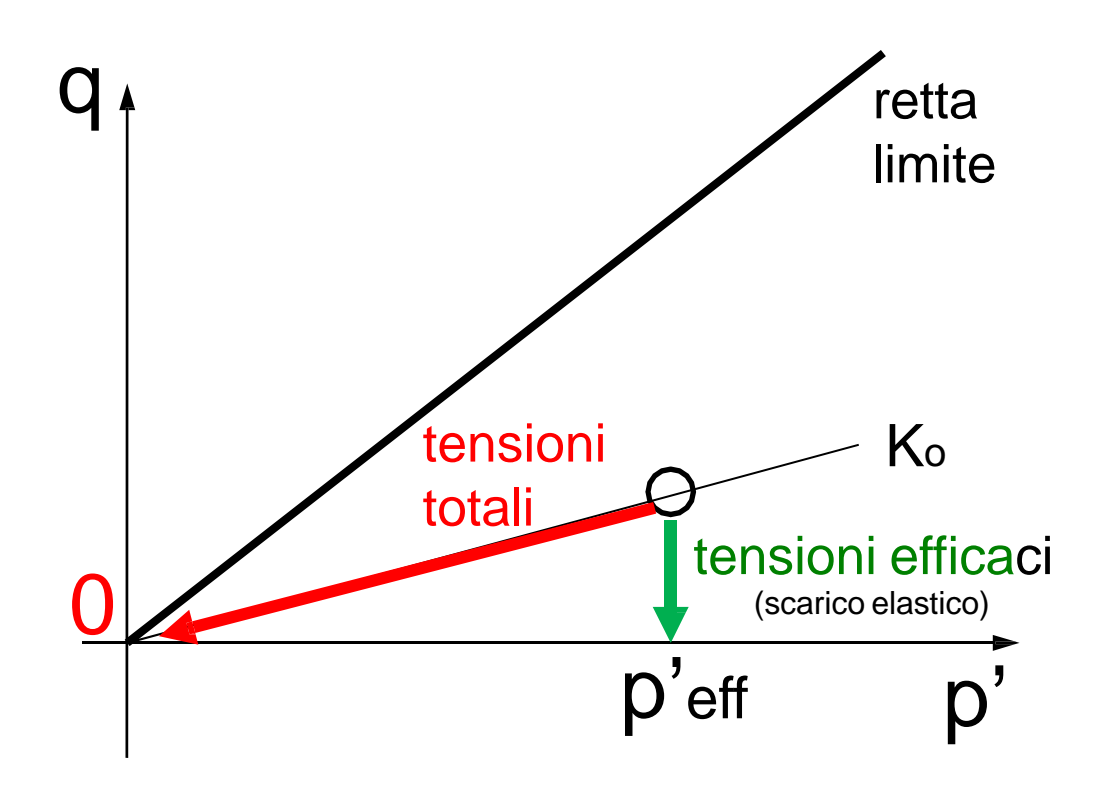


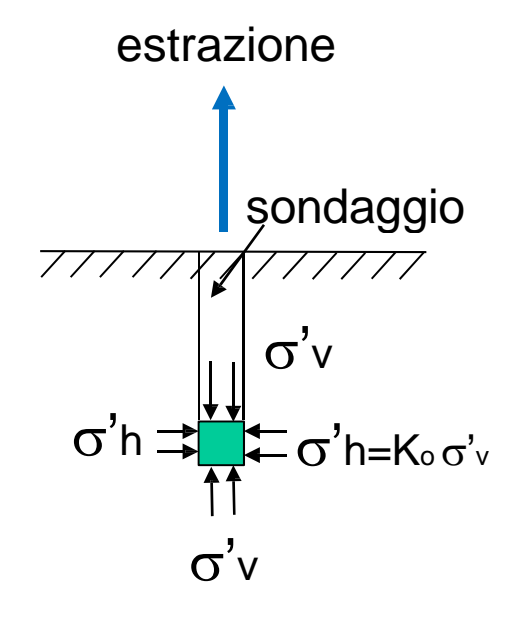
Riproduzione in laboratorio delle condizioni di sollecitazione in sito

Campionamento

Il prelievo ideale del campione avviene senza variazione del contenuto d'acqua con scarico tensionale elastico. La pressione efficace rimane pertanto invariata ($\Delta V-0$; p'-cost) anche dopo il campionamento e pari al valore in sito. Essendo la pressione totale nulla dopo il prelievo ed azzerandosi anchelo sfrozo deviatorico, il campione è soggetto ad solo una pressione isotropa pari a quella in sito che conente di matenere la forma mentre la pressione interstizale è negativa

Campionamento



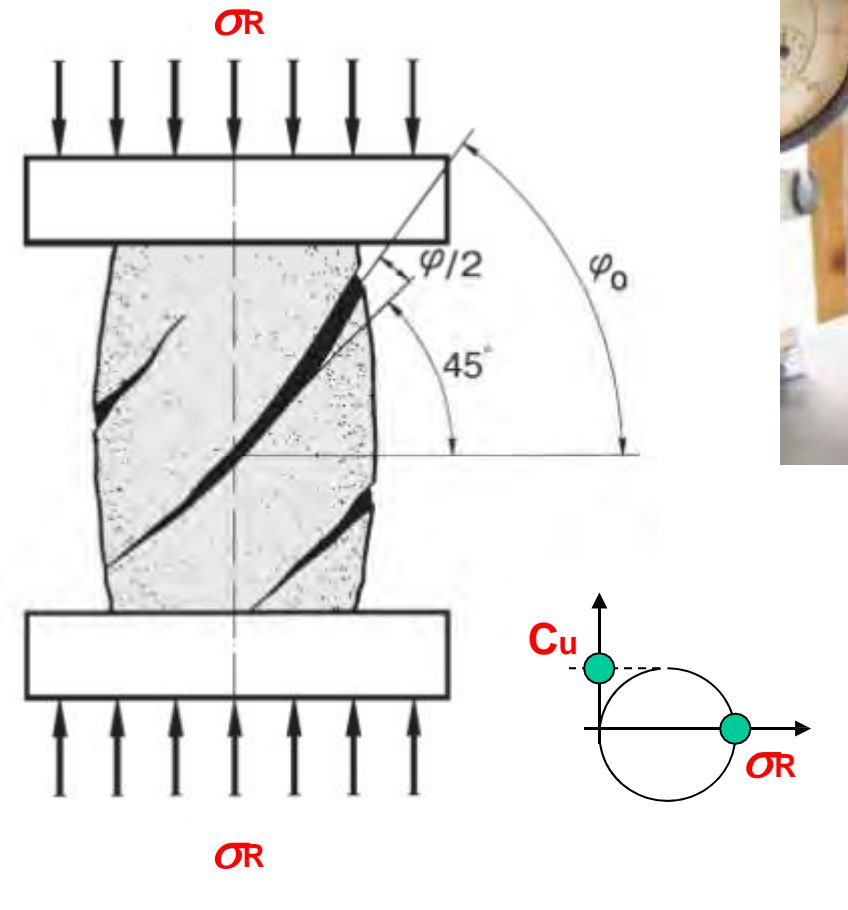


$$P'$$
eff, sito = $\sigma'v(1+2K_0)/3 = P'$ post,camp

$$p_{post,camp} = 0$$



Prova con espansione laterale libera ($\sigma_3=0$)



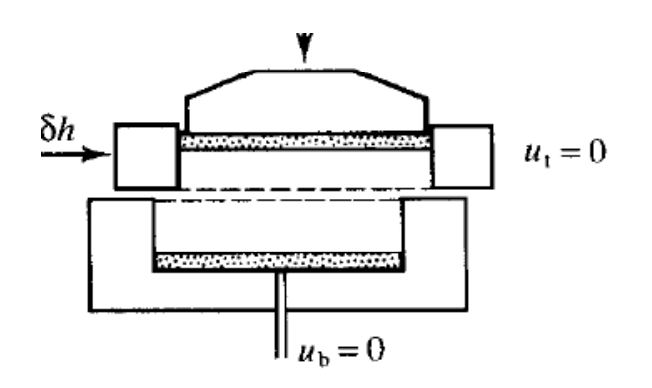


$$C_U = \sigma_R/2$$

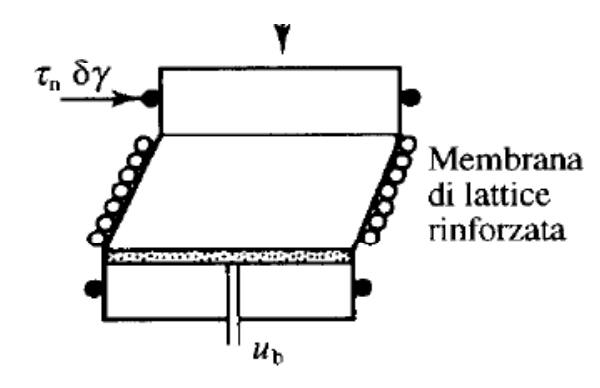




PROVA A TAGLIO DIRETTO



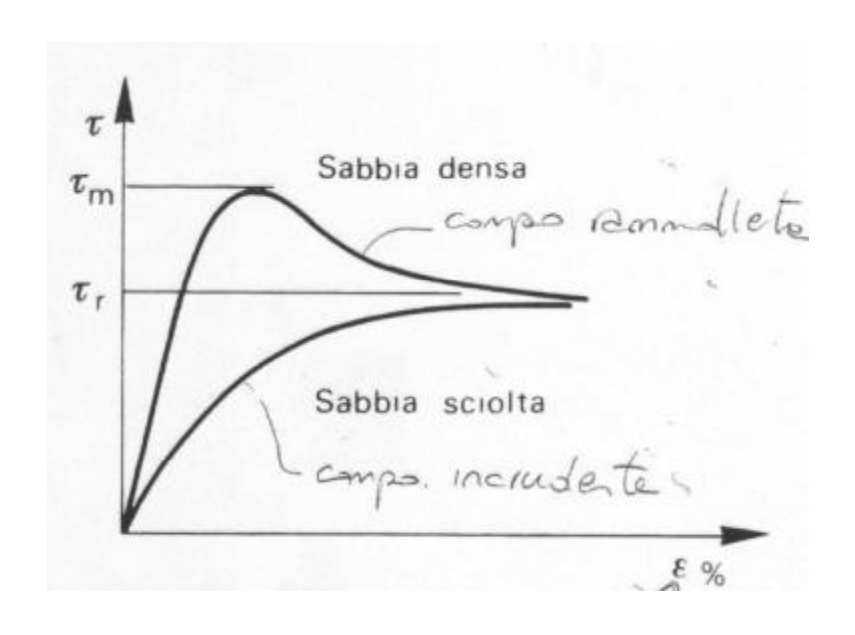
(a) Prova di taglio diretto



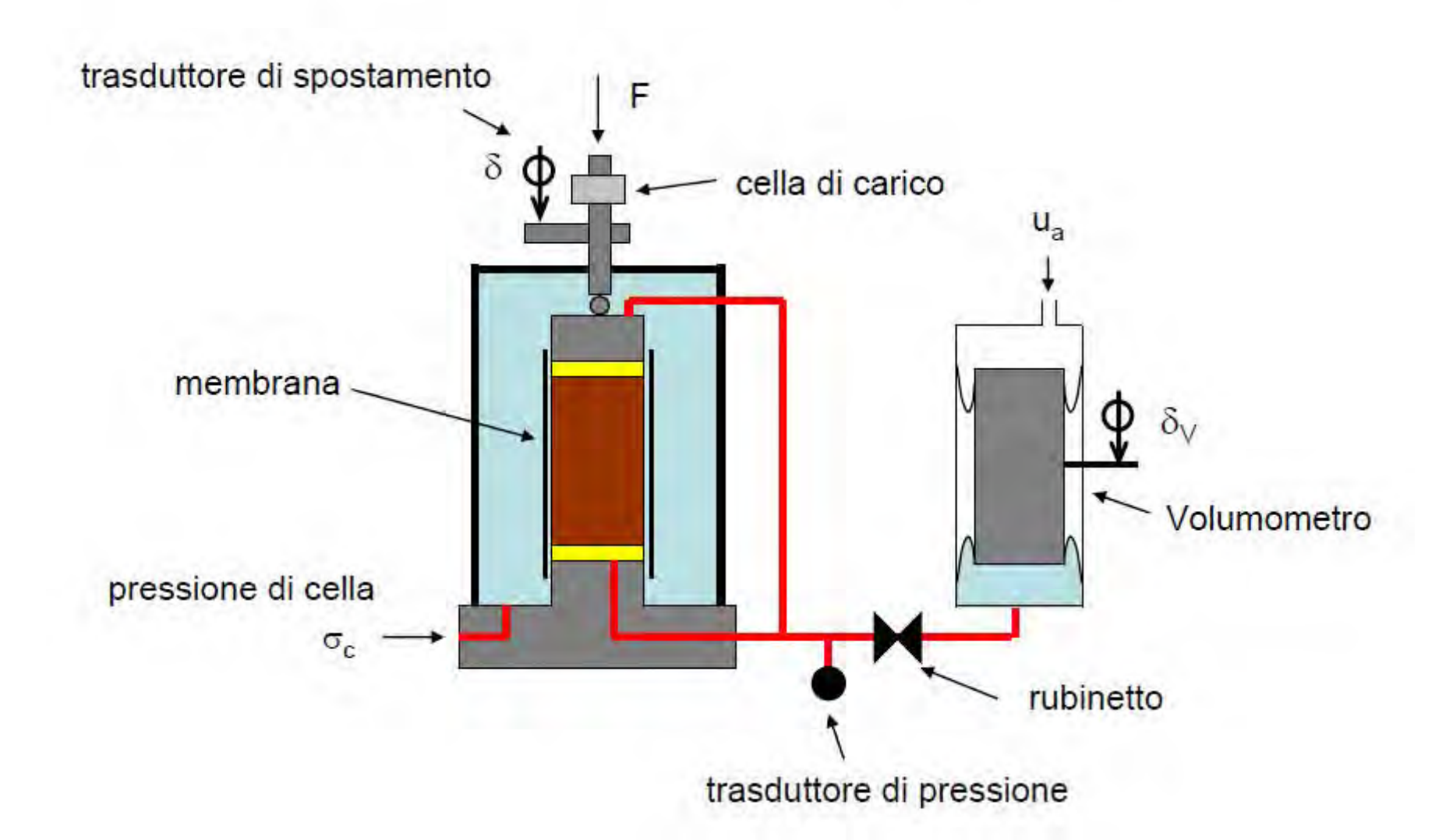
(b) Prova di taglio semplice

Prova a taglio diretto Rottura

(drenata e non drenata)

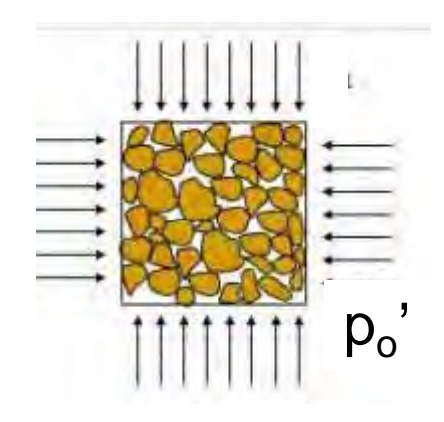


L'apparecchiatura triassiale



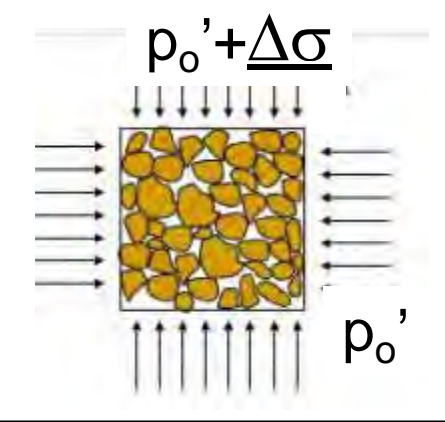
PROVA TRIASSIALE

p_o'



Drenaggio aperto

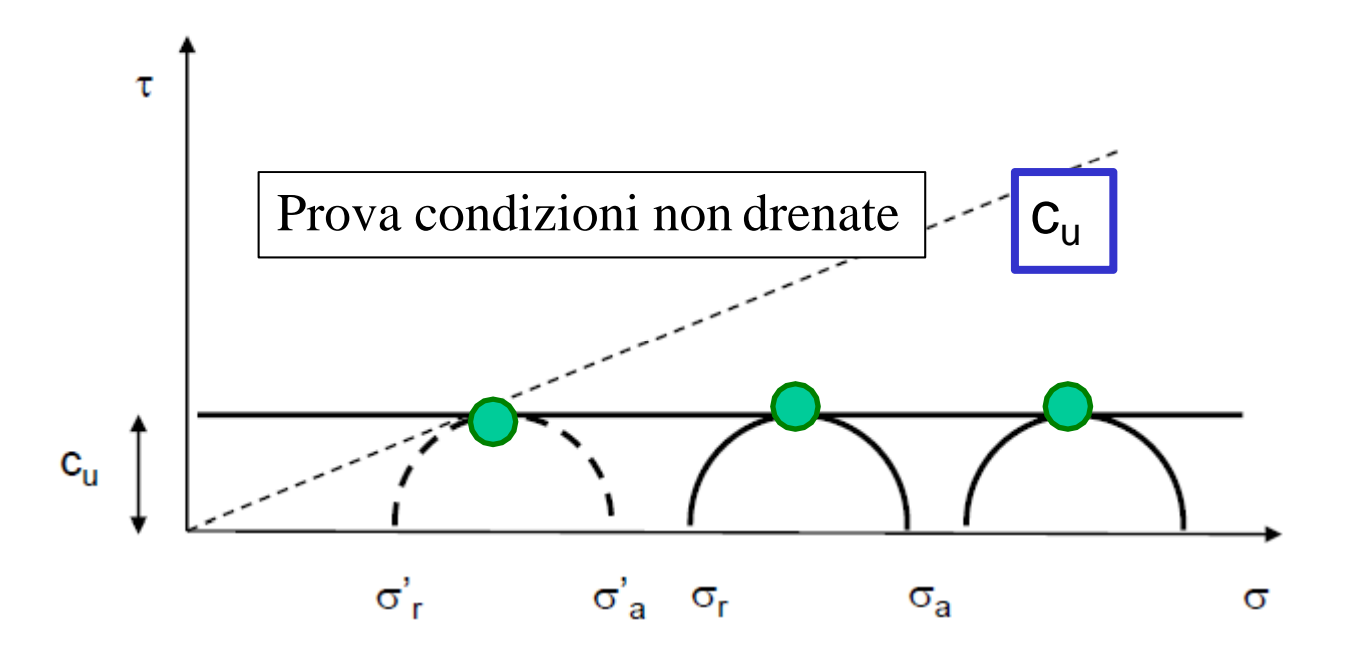
TCU TCD

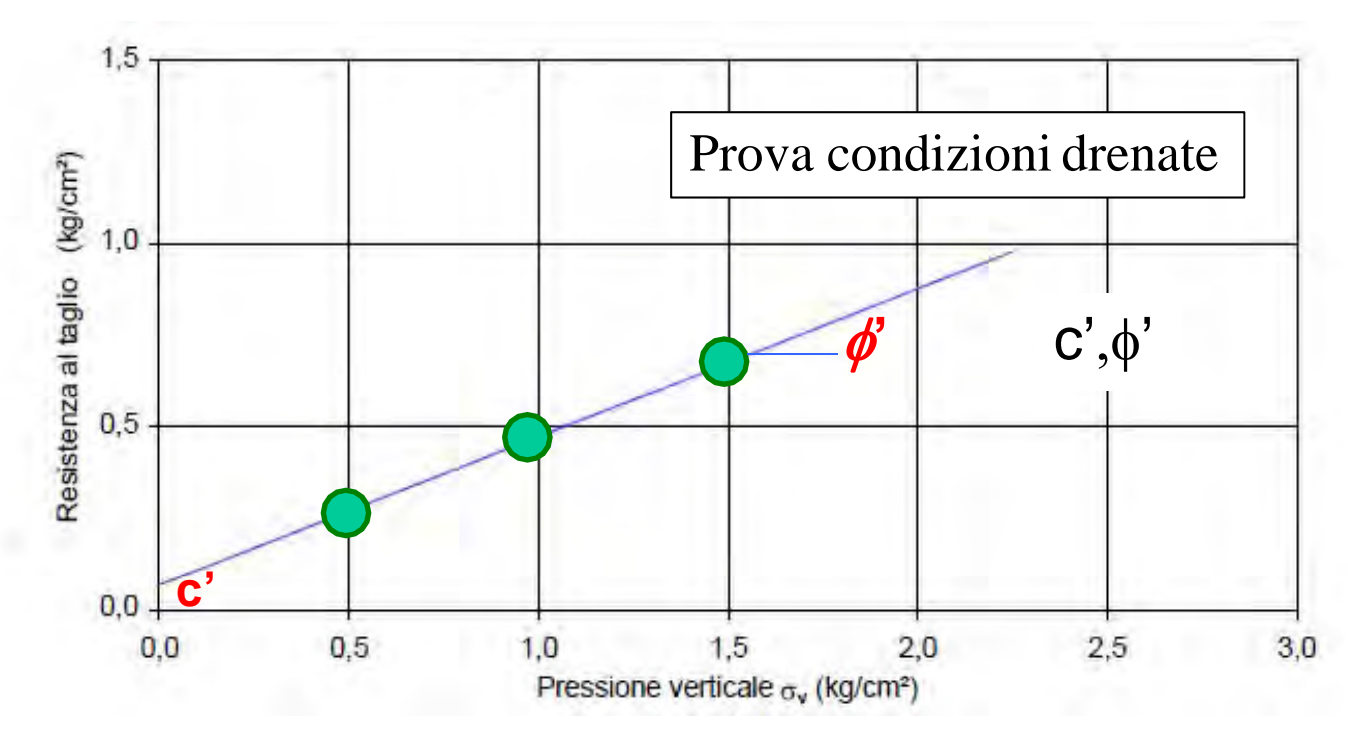


Drenaggio chiuso – prova non drenata Drenaggio aperto – prova drenata

1° fase consolidazione isotropa p_o'

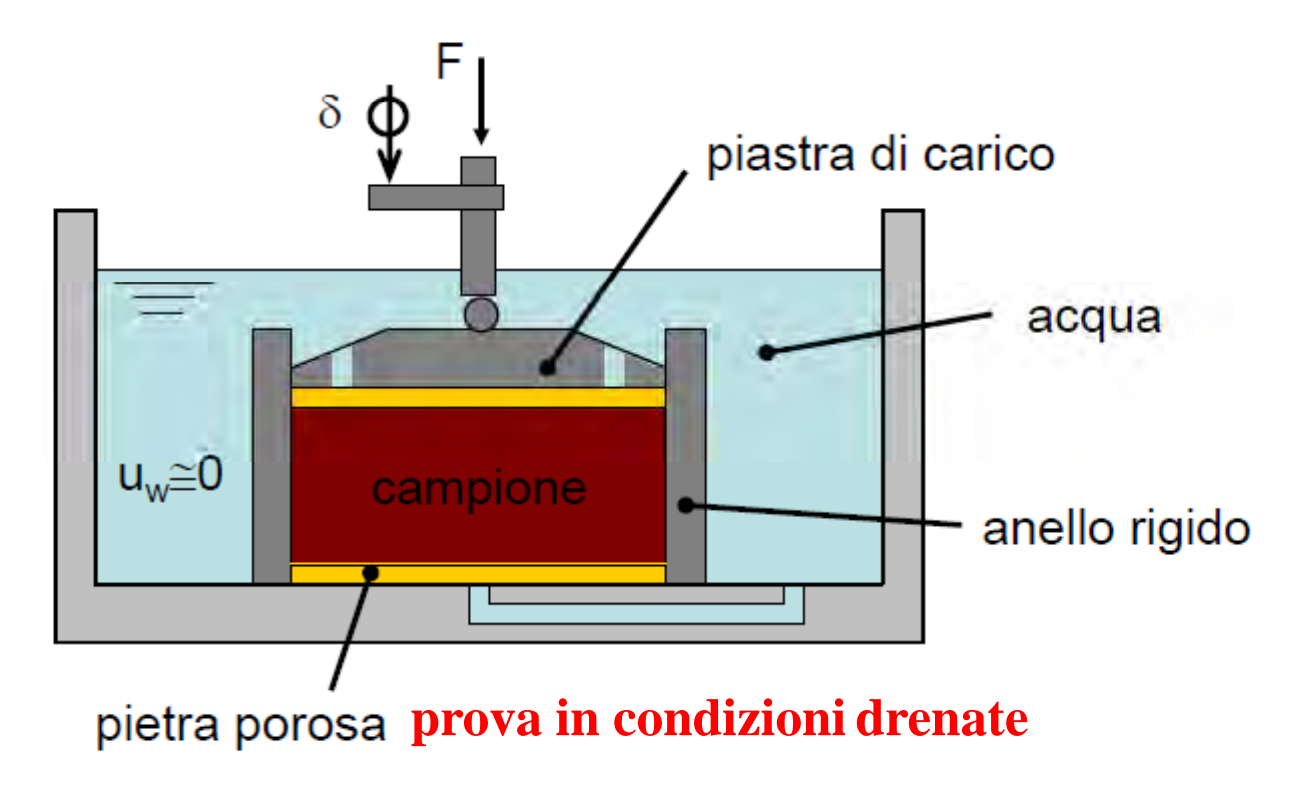
2° fase Incremento del carico assiale $\Delta\sigma$





Apparecchiatura edometrica

Compressione monodimensionale (dilatazione trasversale impedita)



L'apparecchiatura edometrica consente di investigare la compressibilità dei terreni ed il decorso dei cedimenti nel tempo

Curva edometrica pressione-cedimenti

(scala semi logaritmica)

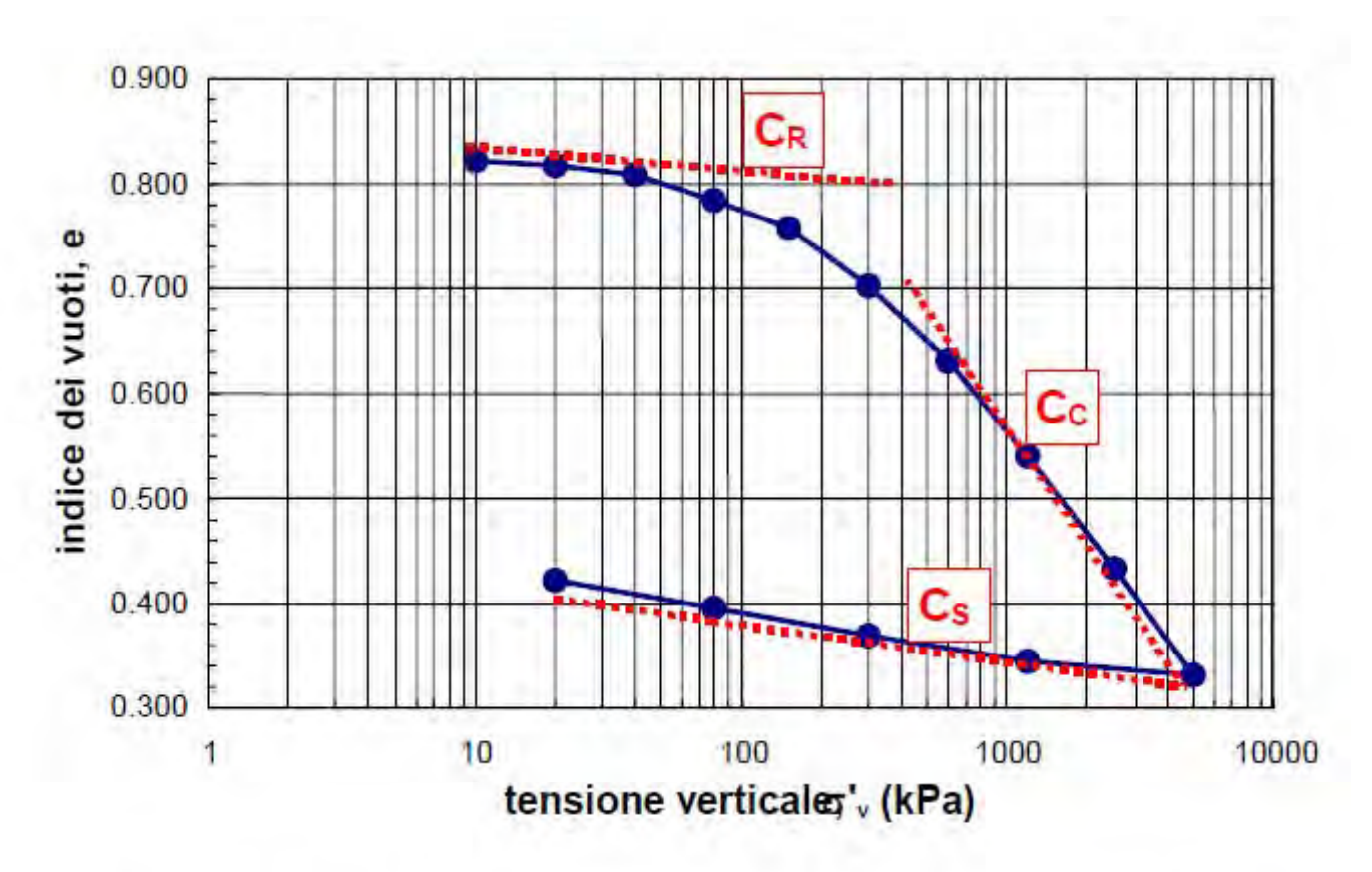
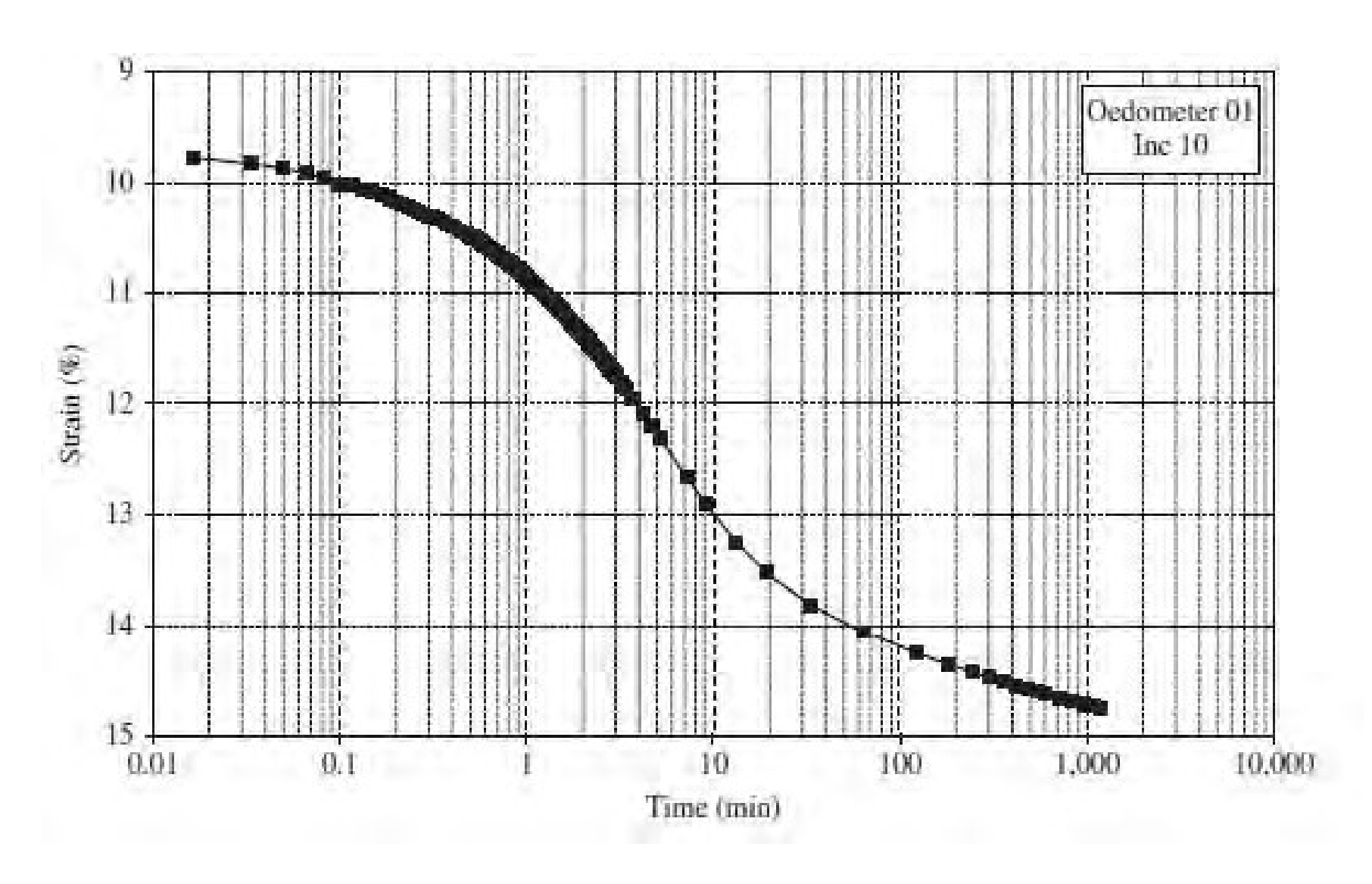


Figura 4.5. Curva di compressibilità e definizione degli indici C_R , C_C , C_S .

Curva di consolidazione



PARAMETRI DELLA PROVAEDOMETRICA

Coefficienti di compressibilità C_R,Cc,Cs

(calcolo dei cedimenti - scala logaritmica)

Modulo edometrico $E_d-\Delta p/\Delta \epsilon$ (calcolo dei cedimenti - scala naturale)

$$\Delta w = \frac{\Delta p \cdot H}{E_d}$$

Coeff. di consolidazione Cv (calcolo dei tempi di consolidazione)

$$t = T_{V}h^{2} / c_{v}$$

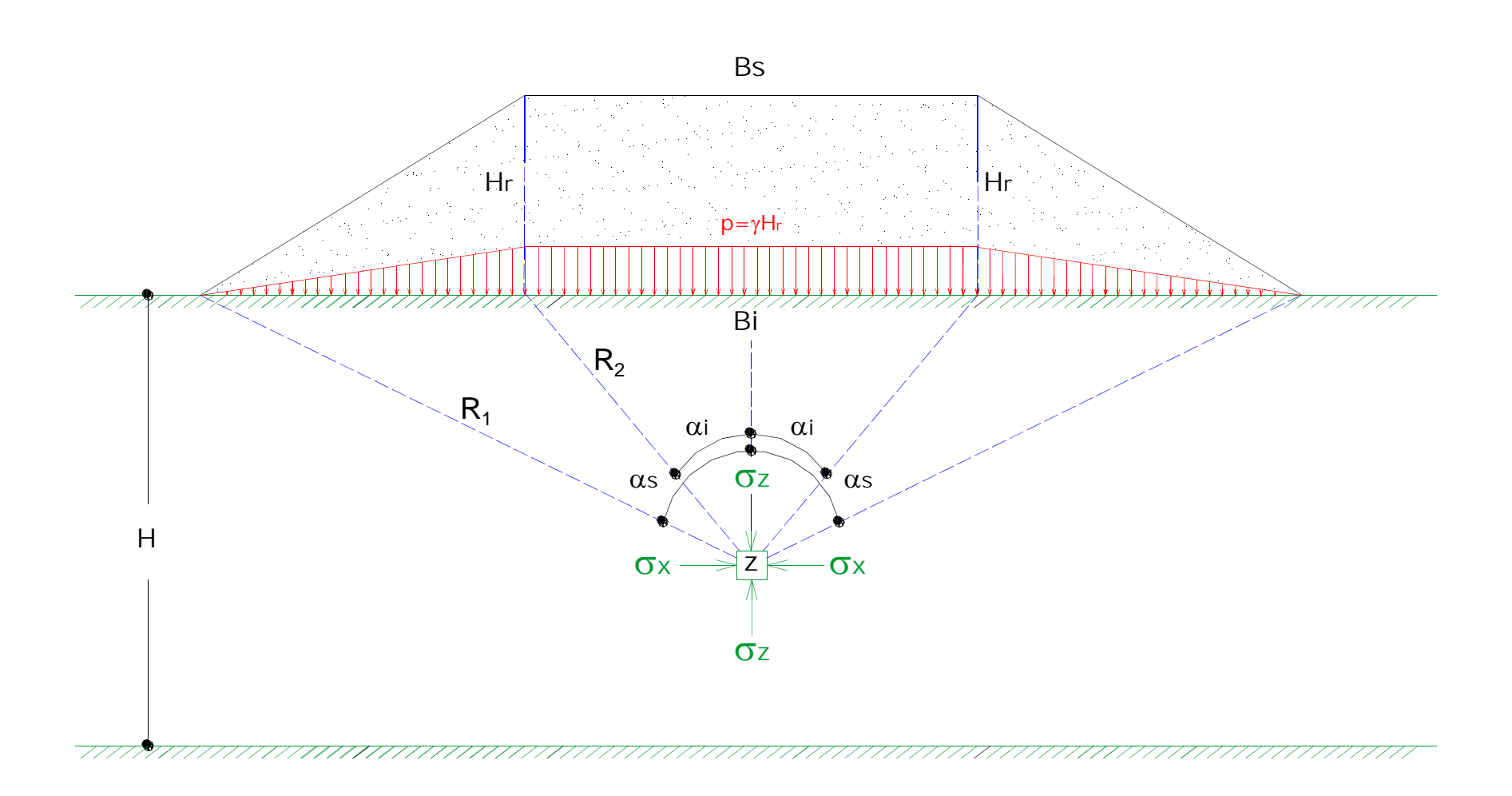
Rilevato Stradale

Stato tensionale

Cedimenti immediati

Cedimenti per consolidazione

Stato tensionale sotto il rilevato



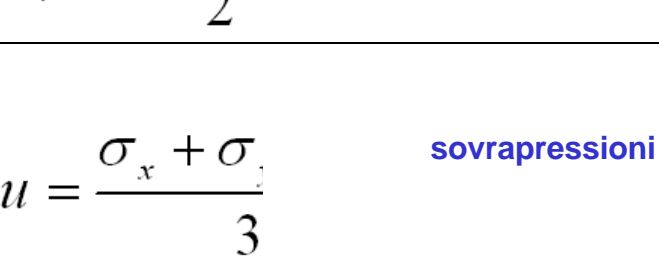
Stato t

$$\sigma_z = \frac{2p}{\pi} \cdot \frac{\sigma}{\sigma}$$

$$\sigma_x = \sigma_z - \frac{8}{3}$$

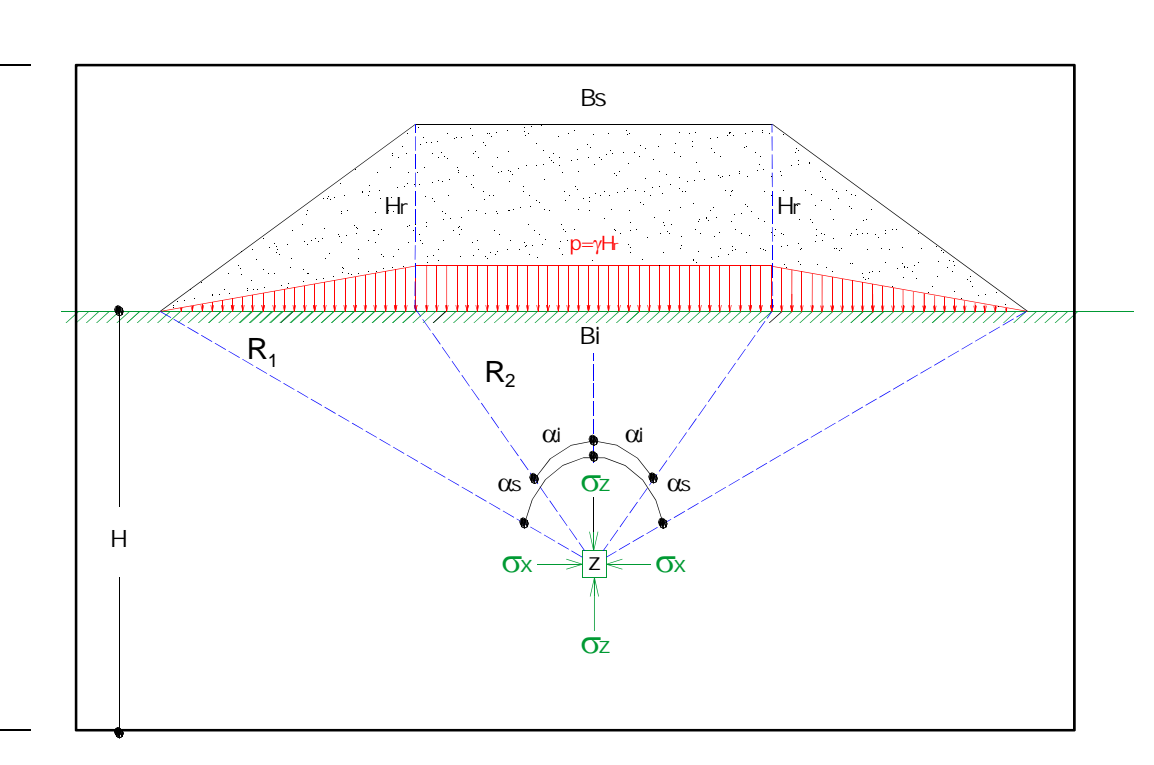
$$\sigma_y = \frac{\sigma_z + \epsilon}{2}$$

Tensioni totali



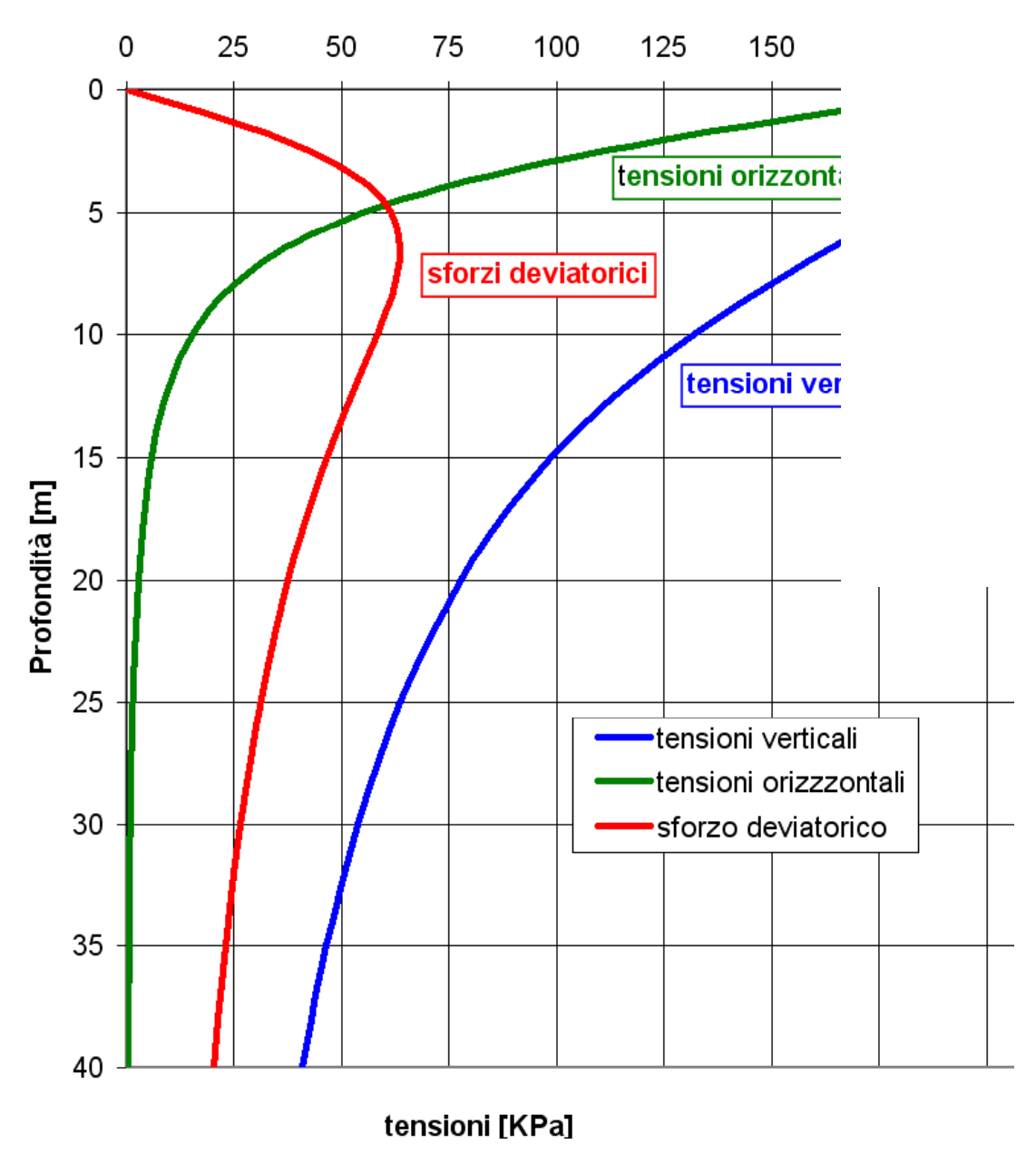
$$\sigma' = \sigma - u$$

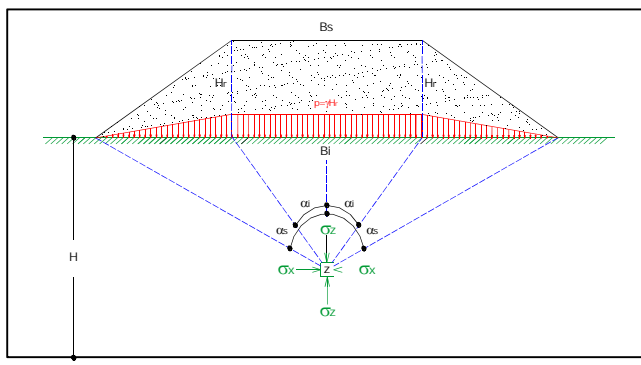
Tensioni efficaci



Sezione tipica

Pressioni sotto rilevato





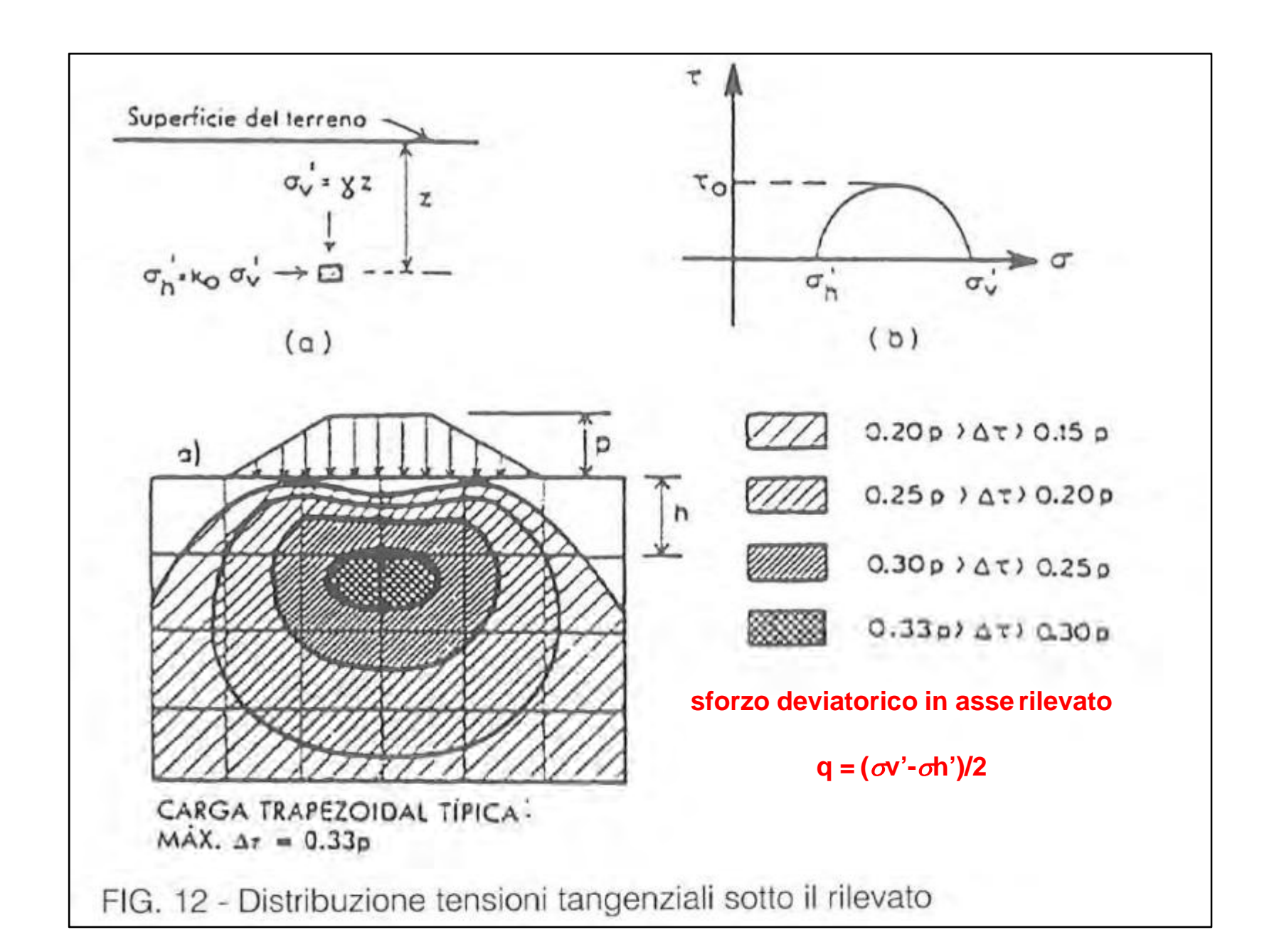
La condizione di carico in asse al rilevato non è edometrica

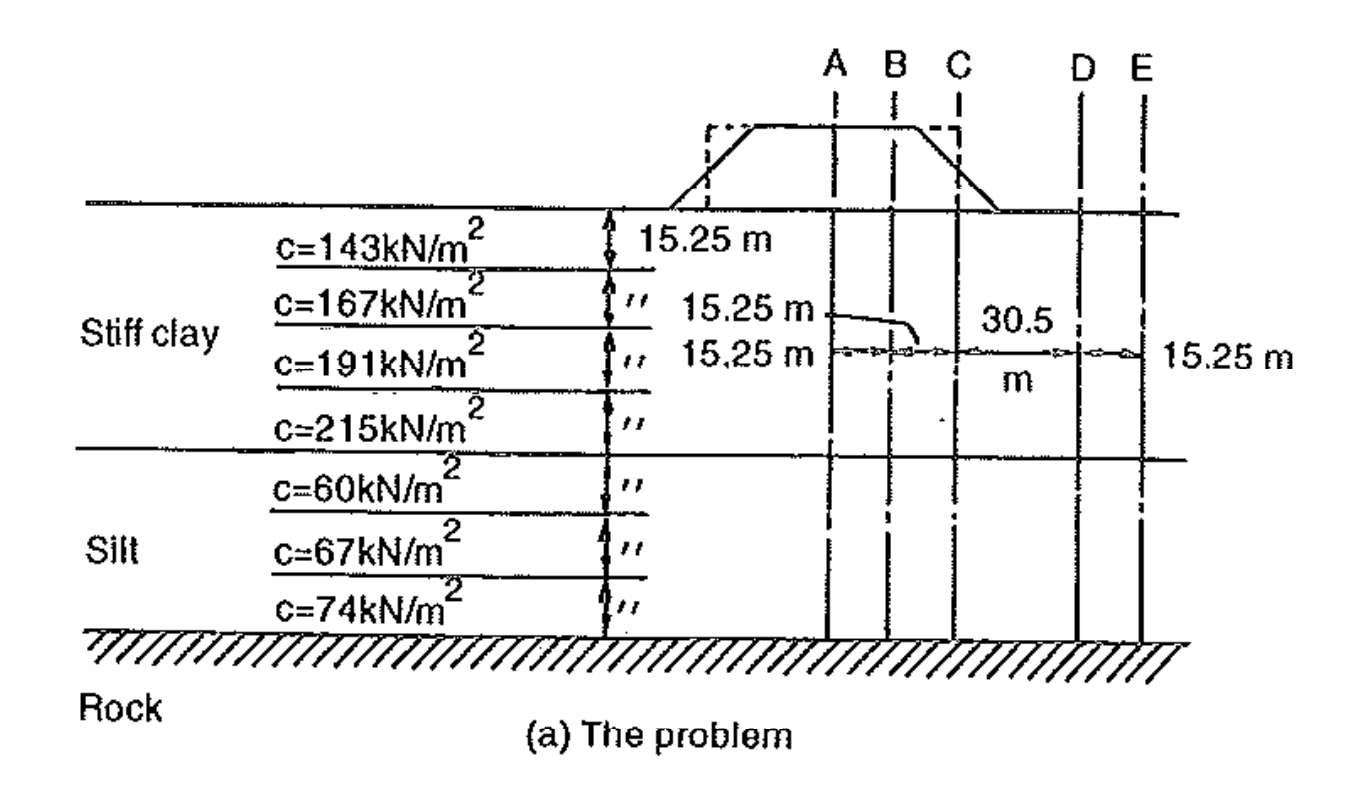
$$(\underline{\epsilon}_{\underline{v}} = 0 ; \underline{\epsilon}_{\underline{v}} = 0; \underline{\epsilon}_{\underline{z}} = -\underline{\epsilon}_{\underline{z}})$$

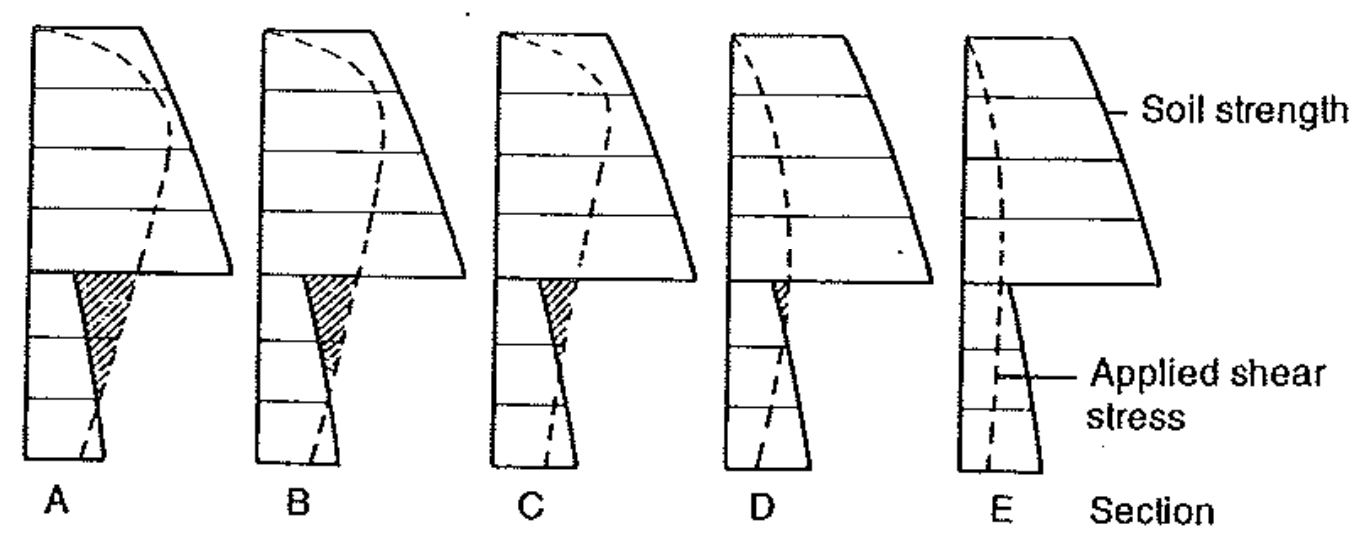
Condiz. non drenata;;Modello piano

Sforzo deviatorico

$$q = (\sigma_z - \sigma_x)/2$$







(b) Plot of strength and applied stress variations with depth

Stato tensionale totale ed efficace in asse rilevato

$$\sigma_z = \frac{2p}{\pi} \cdot \frac{\alpha_i B_i - \alpha_s B_s}{D}$$

$$\sigma_{x} = \sigma_{z} -$$

$$\sigma_{y} = \frac{\sigma_{z} + \frac{1}{2}}{2}$$
 Tensioni totali

$$u = \frac{\sigma_x + \sigma_x}{\sigma_x + \sigma_x}$$

sovrapressioni

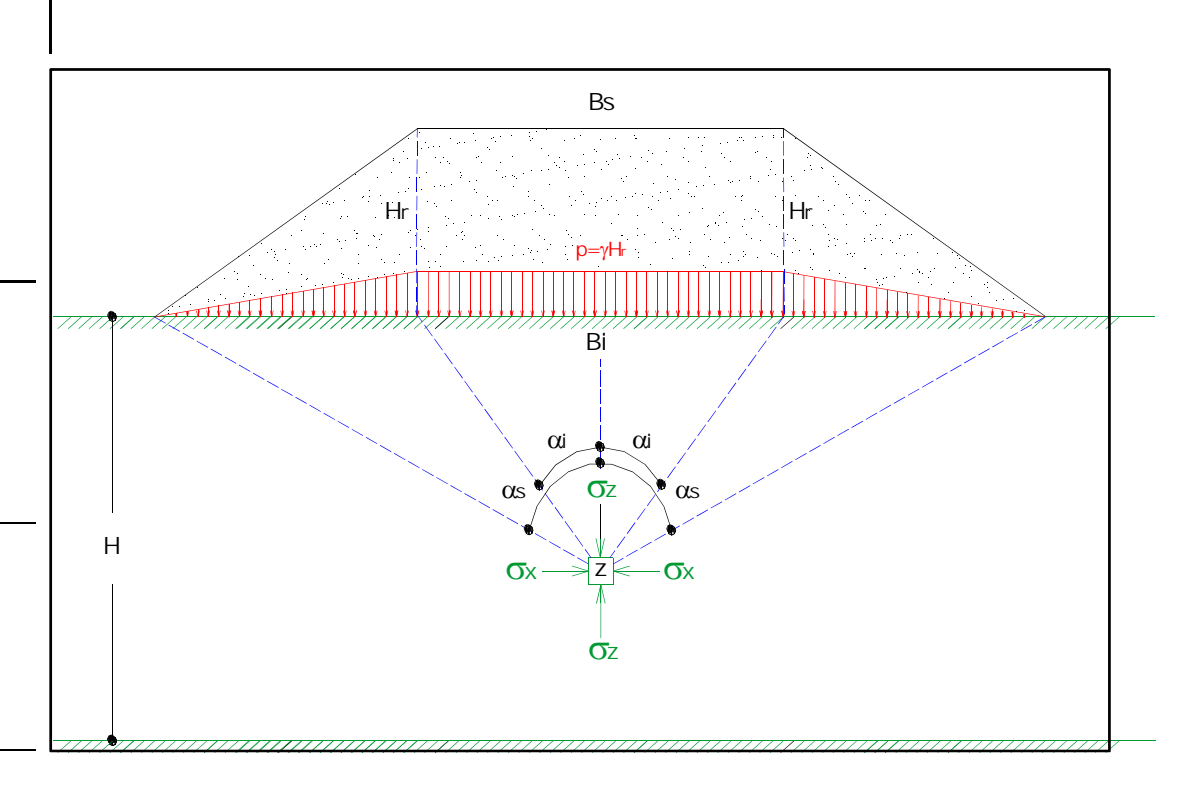
$$\sigma' = \sigma - u$$

Tensioni efficaci

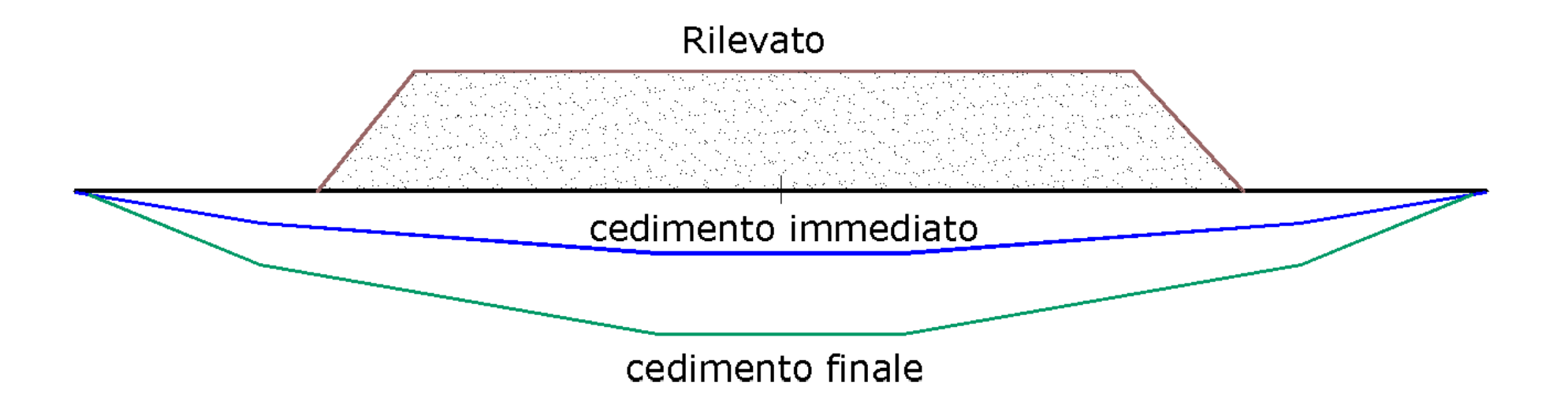
Cedimenti in asse rilevato Stato tensionale efficace

$$\varepsilon_{z} = \frac{1}{E} \left[\sigma_{z} - \upsilon' \cdot (\sigma_{x} + \sigma_{y}) \right]$$

$$w = \int_{0}^{\infty} \varepsilon_z dz$$



CEDIMENTI IMMEDIATI E DIFFERITI



 w_i = cedimento immediato (u=p; modulo non drenato)

 w_c = cedimento per consolidazione = w_f - w_i (modulo edometrico)

 w_f = cedimento finale (u=0)

Coefficiente di Consolidazione

La consolidazione idraulica consiste nella dissipazione della sovrappressione interstiziale che nasce all'applicazione del carico a causa del drenaggio impedito e che contrasta la riduzione di volume dello scheletro solido. In assenza di acqua interstiziale la variazione dell'indice dei vuoti è tanto minore quanto maggiore è il modulo edometrico del terreno (Ed). D'altro lato la dissipazione sarà tanto più rapida quanto più facile è la possibilità di filtrazione ossia quanto maggiore è la permeabilità del terreno (K).

Si intuisce pertanto che il decorso dei cedimenti sarà funzione della grandezza denominata Coefficiente di Consolidazione:

$$c_{v} = \frac{K_{v} E_{d}}{\gamma_{w}}$$

Filtrazione verticale

$$c_h = \frac{K_h E_d}{\gamma}$$

Filtrazione orizzontale

Tempi di Consolidazione

Il decorso nel tempo del cedimento dipende inoltre dal quadrato della lunghezza di filtrazione che l'acqua percorre verso zone a pressione neutra in equilibrio idrostatico. In particolare:

$$t = \frac{T_{v}h^{2}}{c_{v}}$$

Filtrazione verticale

$$Tv = Tv(Uv)$$

$$t = \frac{T_r d_e^2}{c_h}$$

Filtrazione orizzontale

$$Th = Th(Uh)$$

Grado di Consolidazione

$$U = w(t) / w_{\infty}$$

$$w(t) = U(t) \cdot w_{\infty}$$

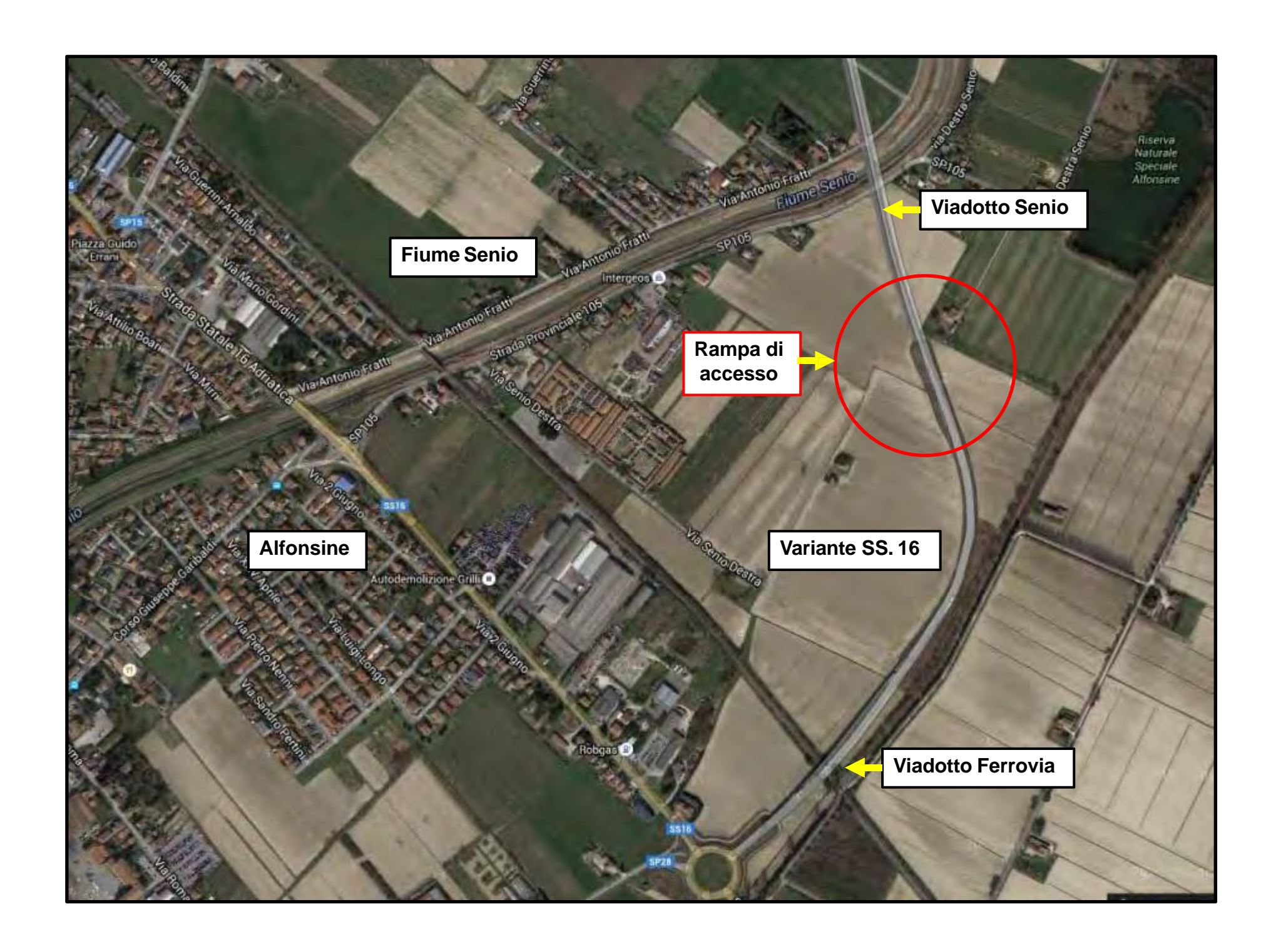
Si definisce Grado di Consolidazione U(t) il rapporto tra il cedimento corrente w(t) ed il cedimento finale a tempo infinito w_{∞} che si manifesta in condizioni drenate (0 < U < 1).

CONSOLIDAZIONE DEI TERRENI CON DRENI VERTICALI

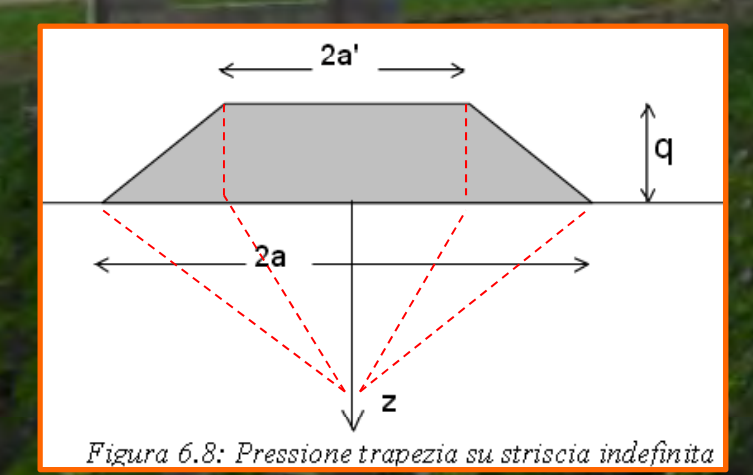
Caso di Studio

Rilevato Stradale Viadotto Senio

Variante SS 16 Alfonsine (RA)



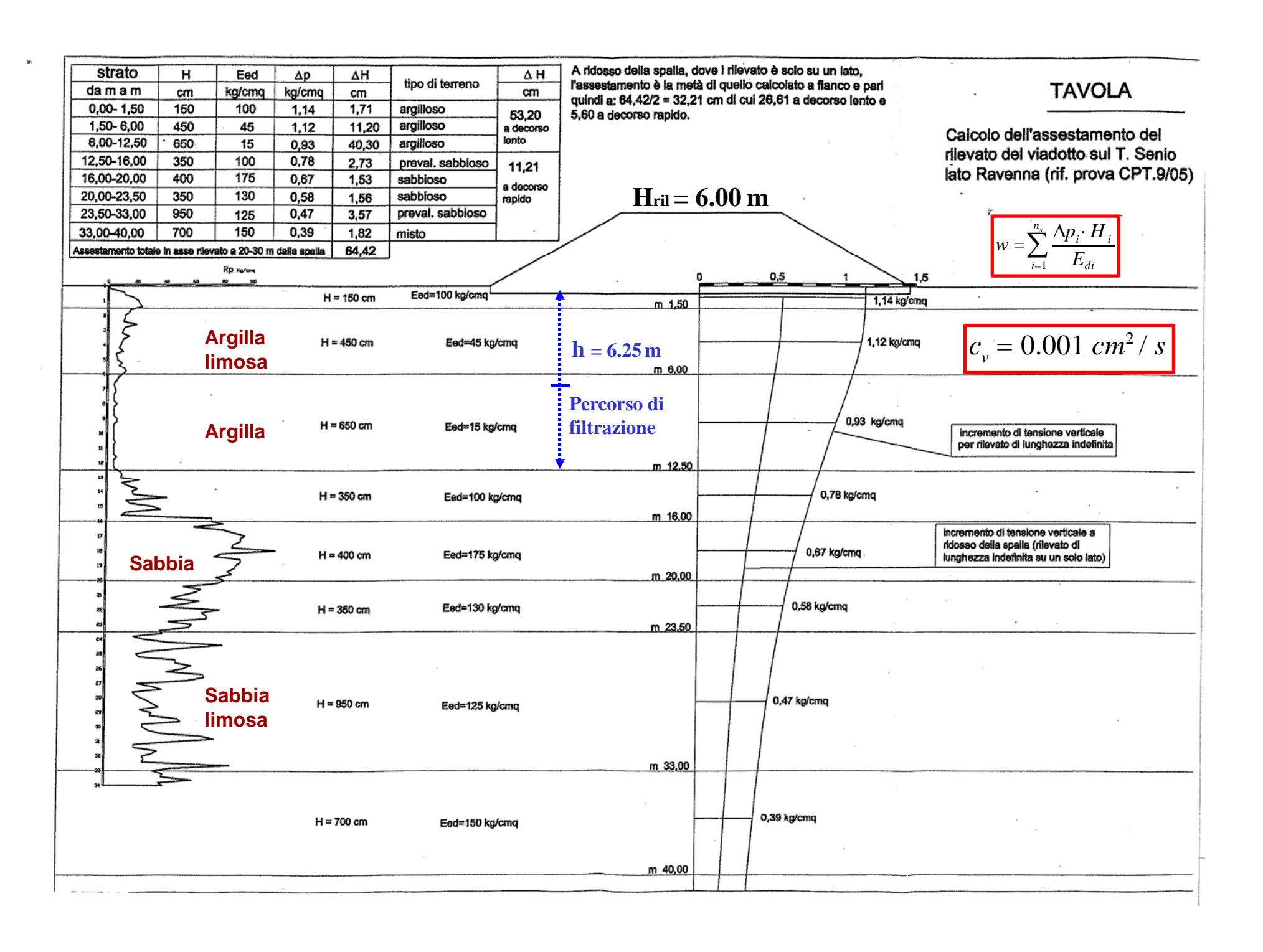
Rampa di Accesso e Viadotto Fiume Senio



Rampa di accesso

Incremento di pressione in asse rilevato

$$\sigma_{z(x=0)} = \frac{2 \cdot q}{(a-a') \cdot \pi} \left[a \cdot \arctan\left(\frac{a}{z}\right) - a' \cdot \arctan\left(\frac{a'}{z}\right) \right]$$



Pressioni rilevanti su terreni di scadenti caratteristiche meccaniche



- 1) Problemi di portanza a breve termine
- 2) Problemi di stabilità a breve termine
- 3) Cedimenti elevati
- 4) Lunghi tempi di consolidazione

Cedimenti

$$w = \sum_{i=1}^{n_s} \frac{\Delta p_i \cdot H_i}{E_{di}}$$

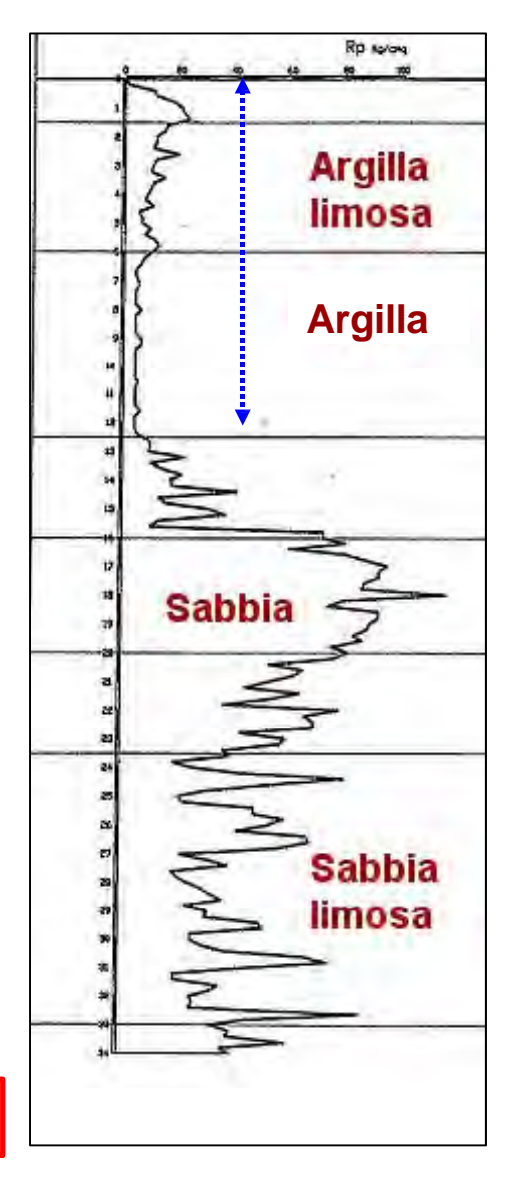
strato	Н	Eed	Δр	ΔΗ
damam	cm	kg/cmq	kg/cmq	cm
0,00-1,50	150	100	1,14	1,71
1,50-6,00	450	45	1,12	11,20
6,00-12,50	650	15	0,93	40,30
12,50-16,00	350	100	0,78	2,73
16,00-20,00	400	175	0,67	1,53
20,00-23,50	350	130	0,58	1,56
23,50-33,00	950	125	0,47	3,57
33,00-40,00	700	150	0,39	1,82
Assestamento totale in asse rilevato a 20-30 m dalla spalla				

ΔН	4	ΔΗ
cm	tipo di terreno	cm
1,71	argilloso	53,20
11,20	argilloso	a decorso
40,30	argilloso	lento
2,73	preval. sabbloso	11,21
1,53	sabbioso	a decorso
1,56	sabbioso	rapido
3,57	preval. sabbioso	
1,82	misto	
64,42		

$$c_v = 0.001 \ cm^2 / s$$
 $c_h = 0.003 \ cm^2 / s$

$$c_h = 0.003 \ cm^2 / s$$

Stratigrafia



Pressioni rilevato

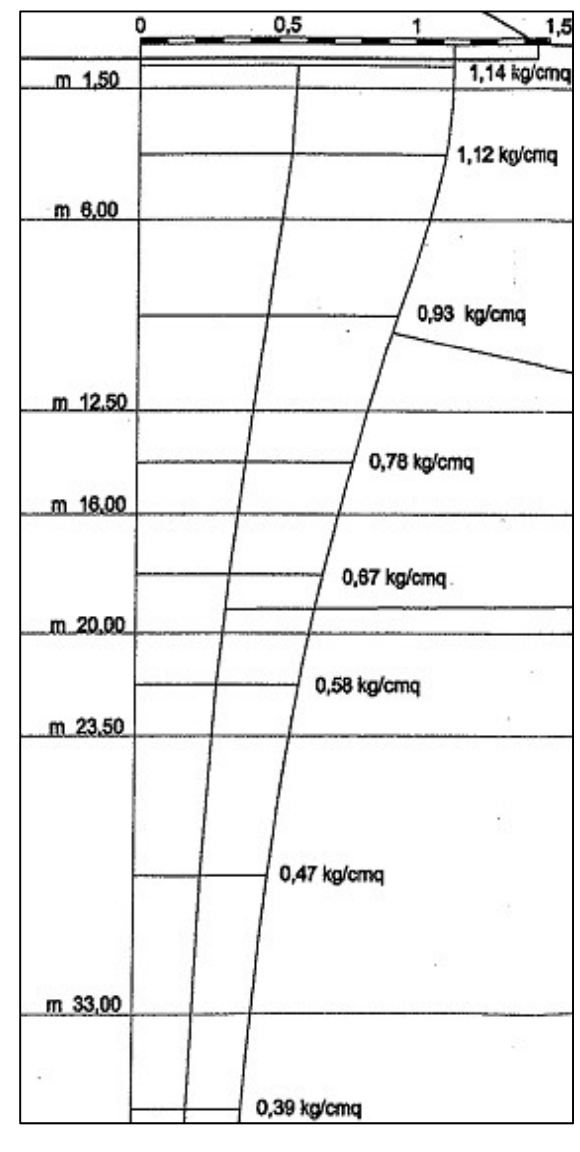


DIAGRAMMA DI FLUSSO PER LA VALUTAZIONE DEL DECORSO DEI CEDIMENTI PER CONSOLIDAZIONE

1) Si fissa il grado di consolidazione Uv

$$U_{\scriptscriptstyle V}$$

2) Si calcola il parametro Tv

$$T_V = \frac{\pi}{4 (1 - U^2)}$$

3) Si determina il tempo t

$$t = T_{V}h^{2}/c_{v}$$

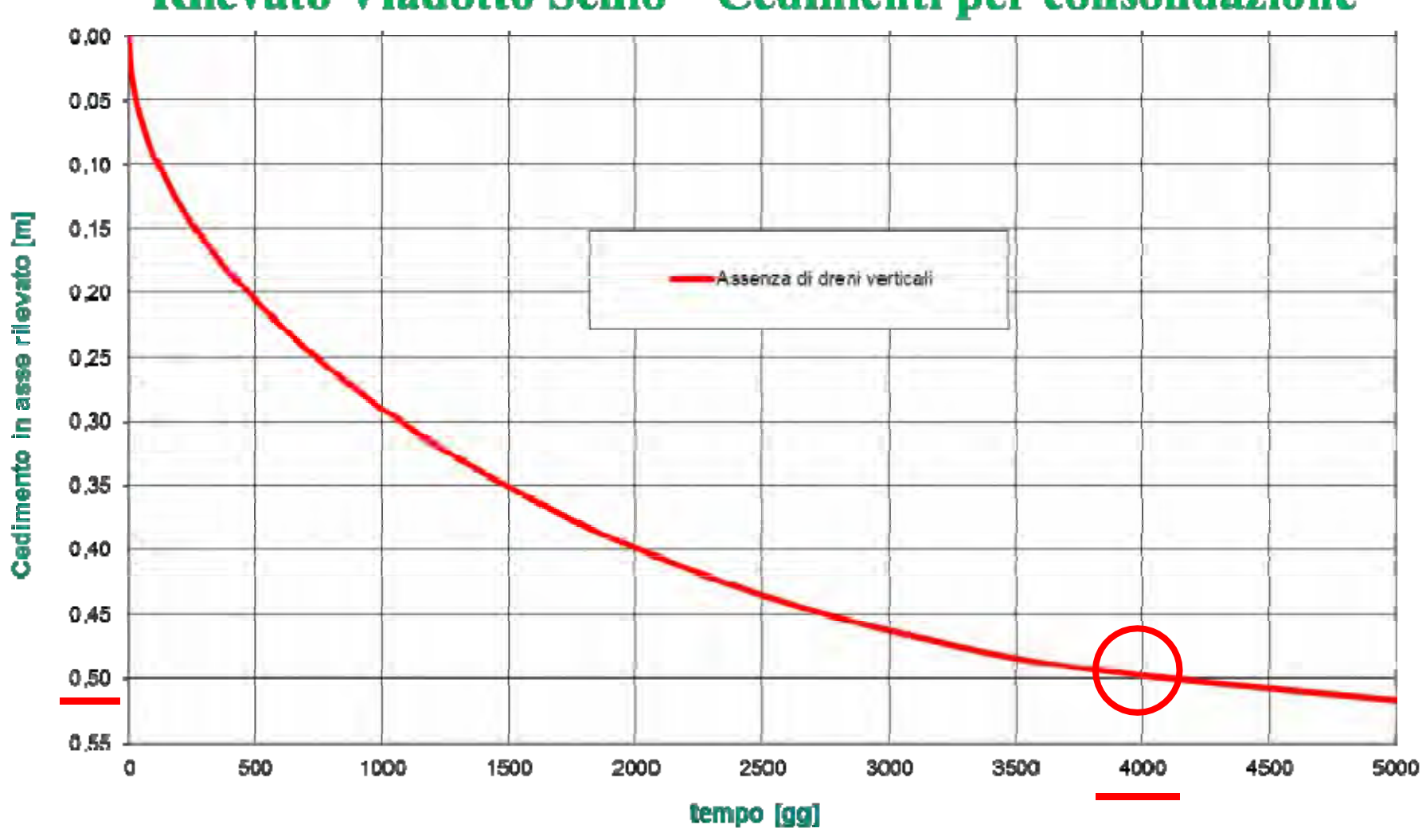
4) Si determina il cedimento corrente **w**(**t**)

$$w(t) = U_{v} \cdot w_{\infty}$$

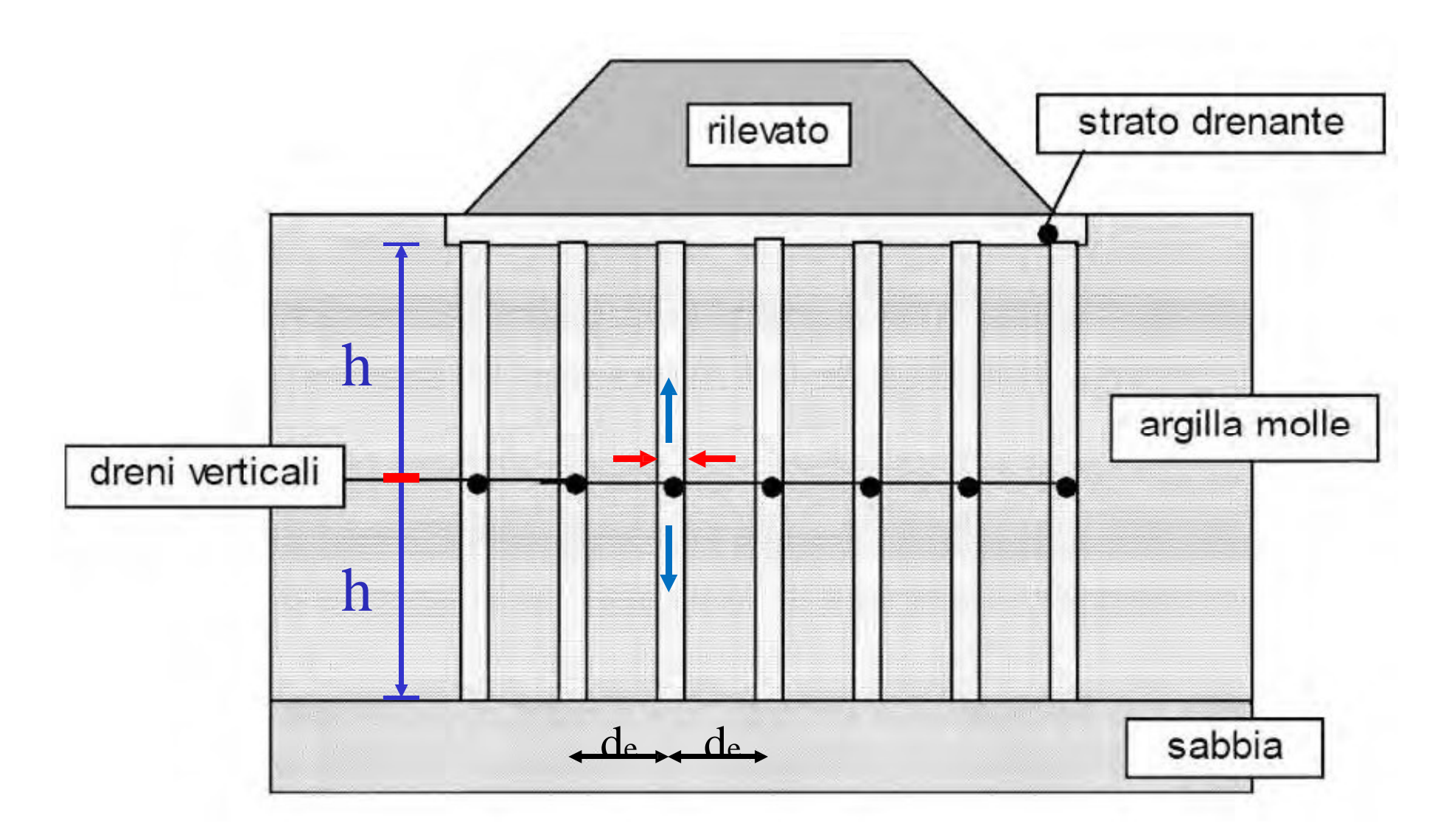
Cedimenti per consolidazione

U	Tv	t	t	t	ΔΗ
(-)	(-)	(gg)	(mesi)	(anni)	(m)
0,00	0,000	0	0	0,00	0,000
0,05	0,002	9	0,3	0,02	0,027
0,10	0,008	36	1,2	0,10	0,055
0,15	0,018	80	2,7	0,22	0,082
0,20	0,031	142	4,7	0,39	0,110
0,25	0,049	222	7,4	0,61	0,137
0,30	0,071	320	10,7	0,88	0,165
0,35	0,096	435	14,5	1,19	0,192
0,40	0,126	569	19,0	1,56	0,220
0,45	0,160	722	24,1	1,98	0,247
0,50	0,198	894	29,8	2,45	0,275
0,55	0,241	1088	36,3	2,98	0,302
0,60	0,289	1305	43,5	3,58	0,329
0,65	0,343	1551	51,7	4,25	0,357
0,70	0,405	1833	61,1	5,02	0,384
0,75	0,478	2163	72,1	5,93	0,412
0,80	0,567	2564	85,5	7,02	0,439
0,85	0,682	3083	102,8	8,45	0,467
0,90	0,849	3838	127,9	10,52	0,494
0,95	1,163	5259	175,3	14,4	0,522
0,99	2,172	9819	327,3	26,9	0,544

Rilevato Viadotto Senio – Cedimenti per consolidazione

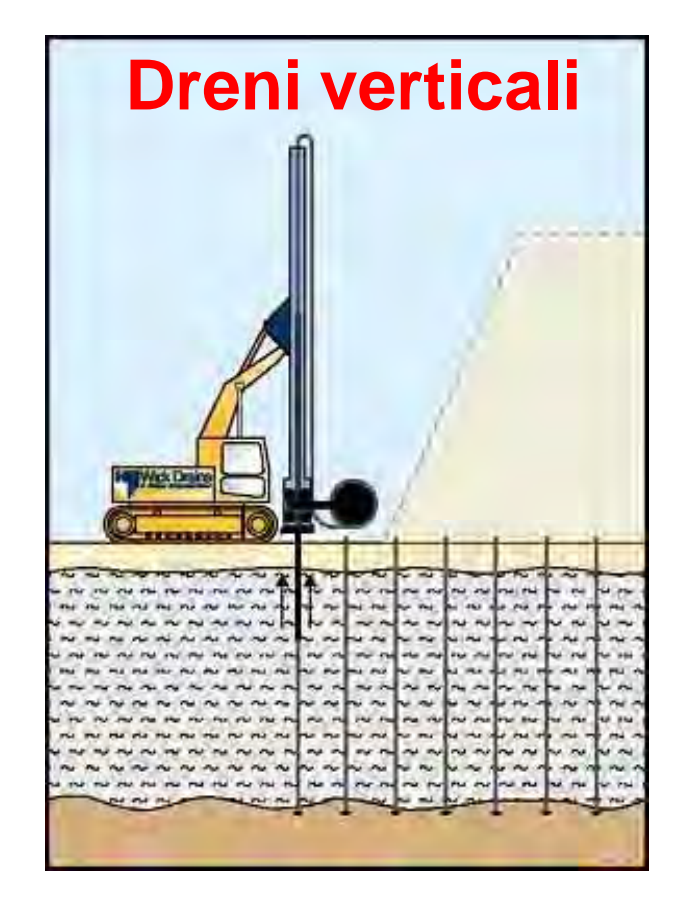


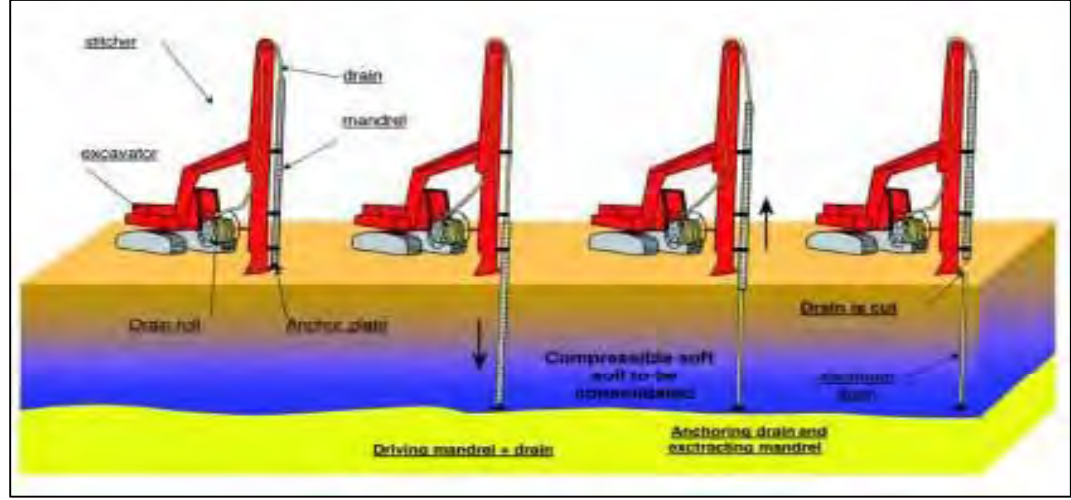
DRENI VERTICALI ANASTRO



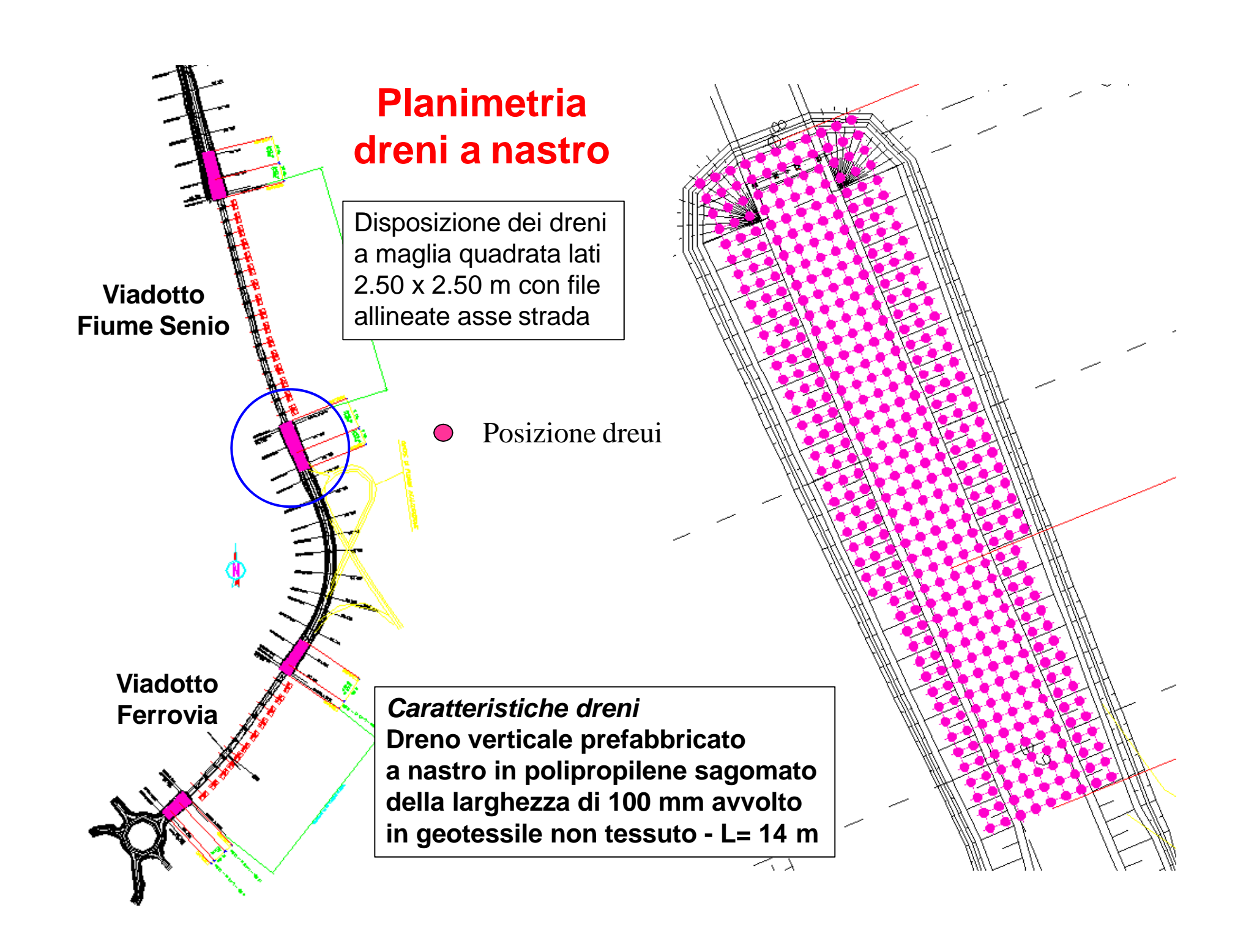
Consolidazione con flusso idrico orizzontale



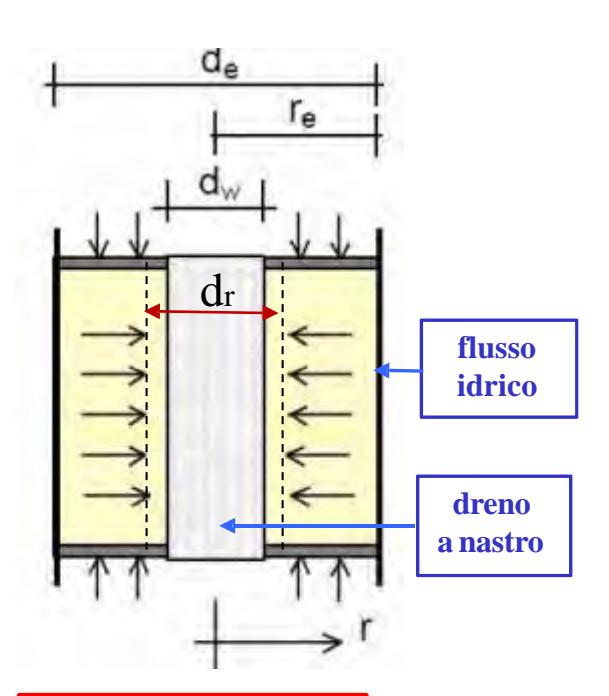








Dreni verticali



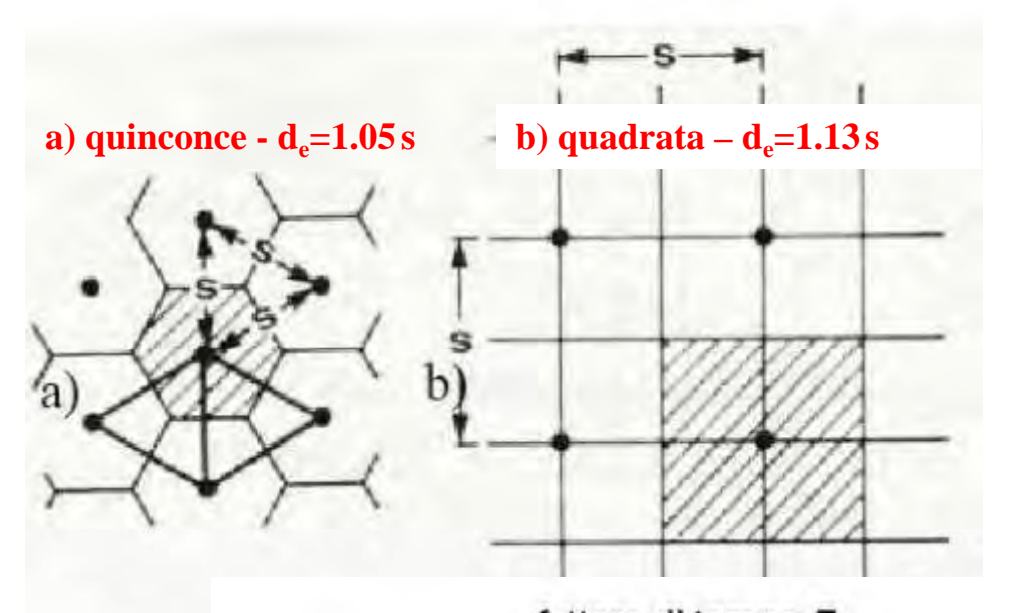
$$d_{w} = \frac{2 \cdot (a+b)}{\pi}$$

diametro equivalente del dreno r – zona rimaneggiata (dr, Kr)

$$n = d_e / d_w$$

$$s_m = d_r/d_w$$

$$F = Ln(n) + \frac{K_h}{K_r} \cdot Ln(s_m) - 0.75$$



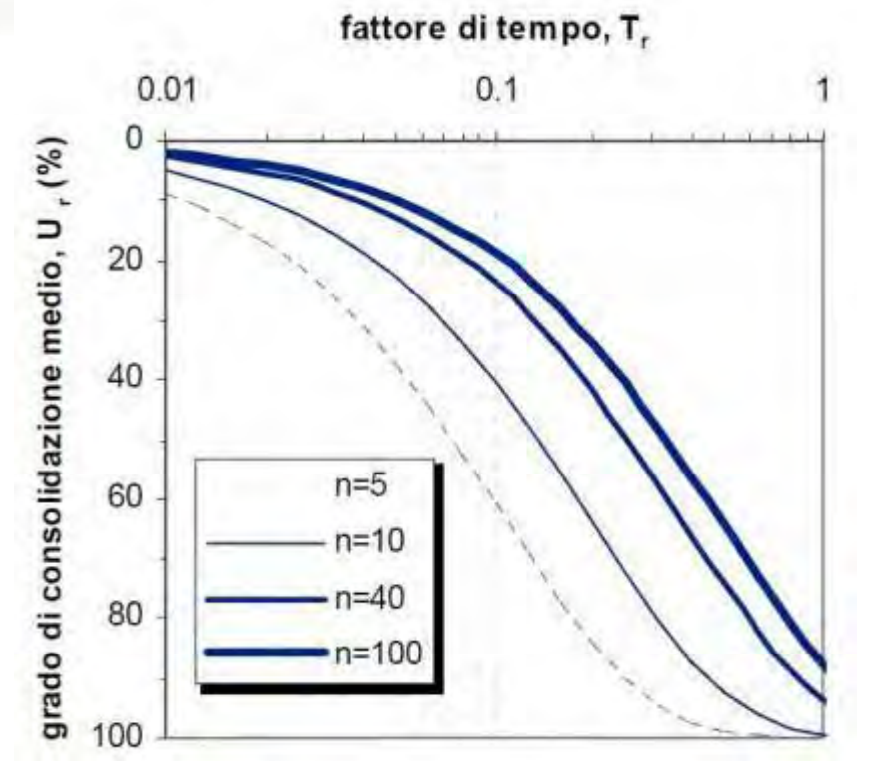


DIAGRAMMA DI FLUSSO PER LA VALUTAZIONE DEL DECORSO DEI CEDIMENTI PER CONSOLIDAZIONE

1) Si fissa il grado di consolidazione Uh

$$U_{\scriptscriptstyle h}$$

2) Si calcola il parametro T_h

$$T_h = \frac{F}{8} Ln \left(\frac{1}{1 - U_h} \right)$$

3) Si determina il tempo t

$$t = T_h d_e^2 / c_h$$

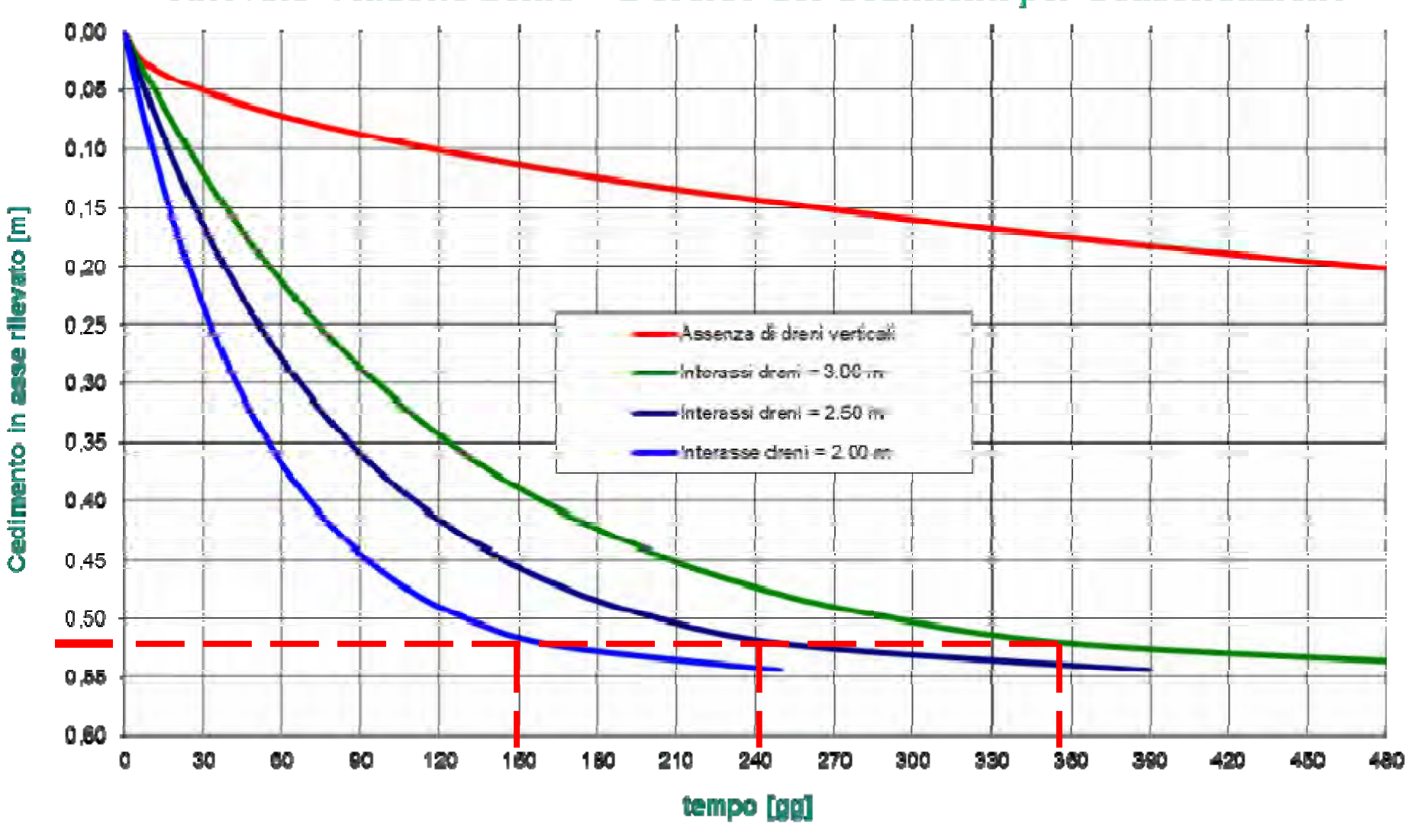
4) Si determina il cedimento corrente **w**(**t**)

$$w(t) = U_h \cdot w_{\infty}$$

Consolidazione con dreni

-						
		Inte				
U	Th	2,00	2,50	3,00	ΔΗ	
(-)	(-)	(gg)	(gg)	(gg)	(m)	
0,00	0,000	0	0	0	0,000	
0,05	0,018	3	4	6	0,027	
0,10	0,037	6	9	13	0,055	
0,15	0,057	9	14	20	0,082	
0,20	0,078	12	19	27	0,110	
0,25	0,101	16	24	35	0,137	
0,30	0,125	19	30	43	0,165	
0,35	0,151	23	36	52	0,192	
0,40	0,179	28	43	62	0,220	
0,45	0,210	32	51	73	0,247	
0,50	0,243	38	59	84	0,275	
0,55	0,280	43	68	97	0,302	
0,60	0,321	50	77	112	0,329	
0,65	0,368	57	89	128	0,357	
0,70	0,422	65	102	147	0,384	
0,75	0,486	75	117	169	0,412	
0,80	0,564	87	136	196	0,439	
0,85	0,665	103	160	231	0,467	
0,90	0,807	125	195	280	0,494	
0,95	1,051	162	253	365	0,522	
0,99	1,615	249	389	561	0,544	

Rilevato Viadotto Senio - Decorso dei Cedimenti per Consolidazione



Consolidazione con filtrazione bidirezionale

1-U=(1-Uv)(1-Uh)

	T	116.	TL	1.05		.11
t	Tv	Uv	Th	Uh	U	ΔΗ
(g)	(-)	(-)	(-)	(-)	(-)	(m)
1	0,000	0,017	0,004	0,012	0,028	0,016
3	0,001	0,029	0,012	0,035	0,063	0,036
7	0,002	0,044	0,029	0,079	0,120	0,070
15	0,003	0,065	0,062	0,163	0,217	0,125
30	0,007	0,092	0,124	0,299	0,363	0,210
60	0,013	0,130	0,249	0,508	0,572	0,331
90	0,020	0,159	0,373	0,655	0,710	0,410
120	0,027	0,184	0,498	0,758	0,803	0,464
150	0,033	0,206	0,622	0,830	0,865	0,500
180	0,040	0,225	0,746	0,881	0,908	0,525
210	0,046	0,243	0,871	0,917	0,937	0,541
240	0,053	0,260	0,995	0,941	0,957	0,553
360	0,080	0,318	1,493	0,986	0,990	0,572
720	0,159	0,449	2,986	1,000	1,000	0,578
1080	0,239	0,548	4,479	1,000	1,000	0,578
1800	0,398	0,692	7,465	1,000	1,000	0,578

Metodo di Carillo

$$T_{v} = \frac{t \cdot c_{v}}{h^2}$$

Consolidazione verticale

$$U_{v} = \frac{\sqrt{4T_{v}/\pi}}{1 + (4T_{v}/\pi)^{2.8}}$$
 D.179

$$T_h = \frac{t \cdot c_h}{d_e^2}$$

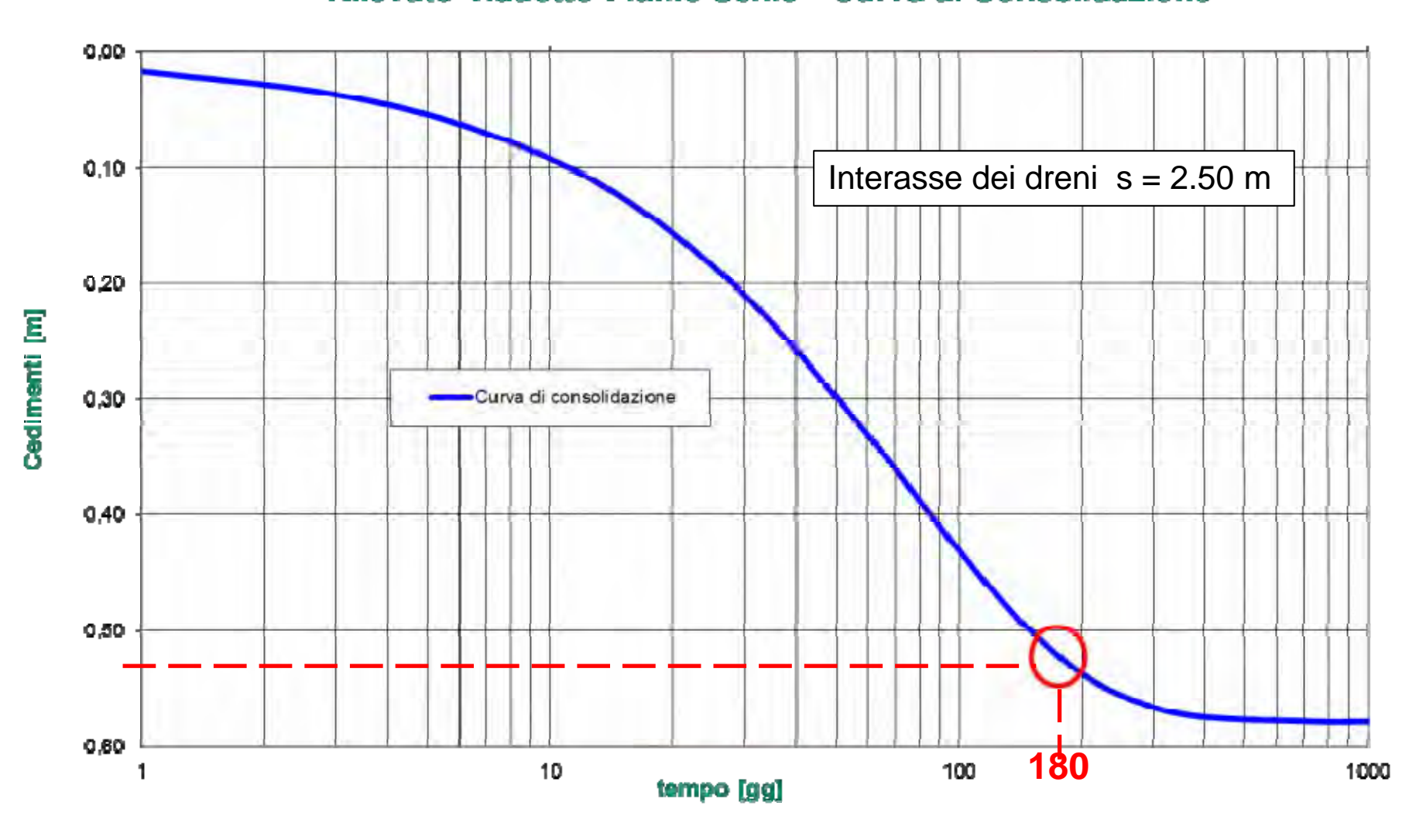
Consolidazione orizzontale

$$U_h = 1 - e^{(-8T_h/F)}$$

$$U = 1 - (1 - U_{v})(1 - U_{h})$$

$$w(t) = U(t) \cdot w_{\infty}$$

Rilevato Viadotto Fiume Senio - Curva di Consolidazione



Monitoraggio della consolidazione

Piezometri elettrici

celle per la misura della pressione interstiziale

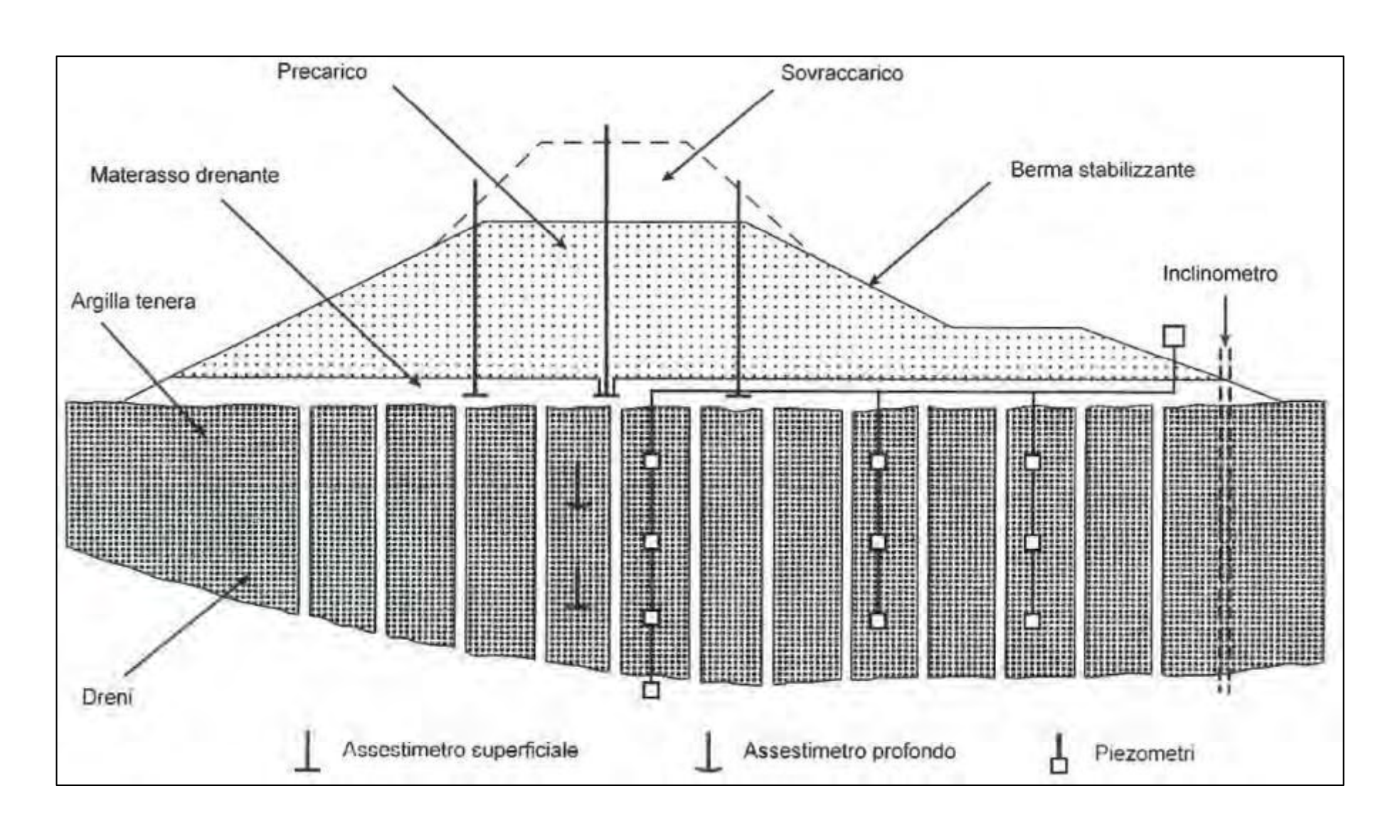
Assestimetri a piastra

misura dei cedimenti del p.c.

Assestimetri magnetici

misura dei cedimenti dei vari strati

Monitoraggio pressioni interstiziali e cedimenti



Sovrappasso Standiana – E45 - Ravenna



Ponte a tre campate

Sovrappasso E45 – SP101

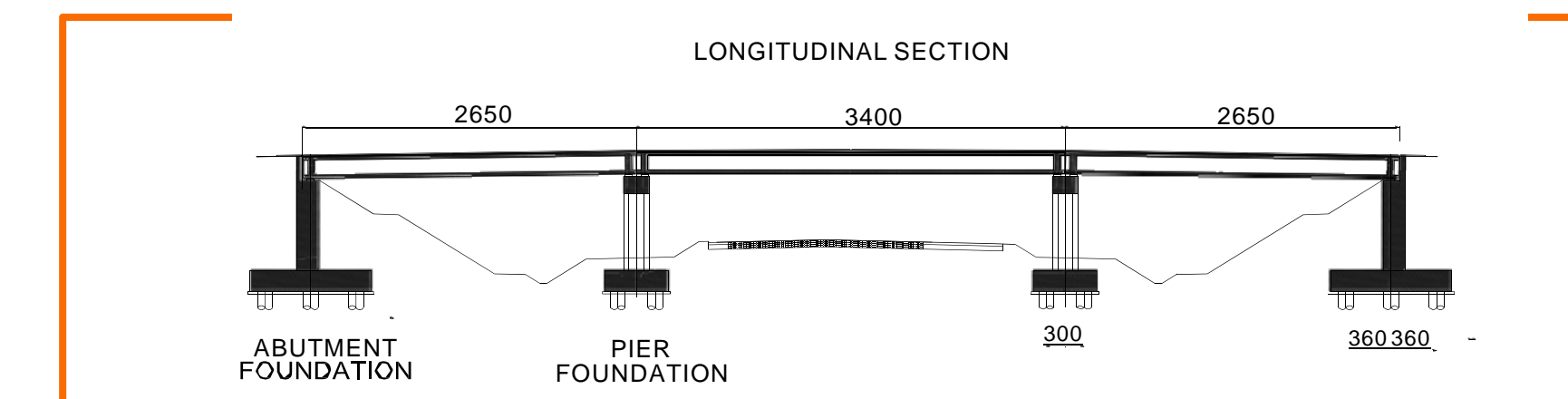
> Standiana Ravenna

Dreni Verticali a nastro

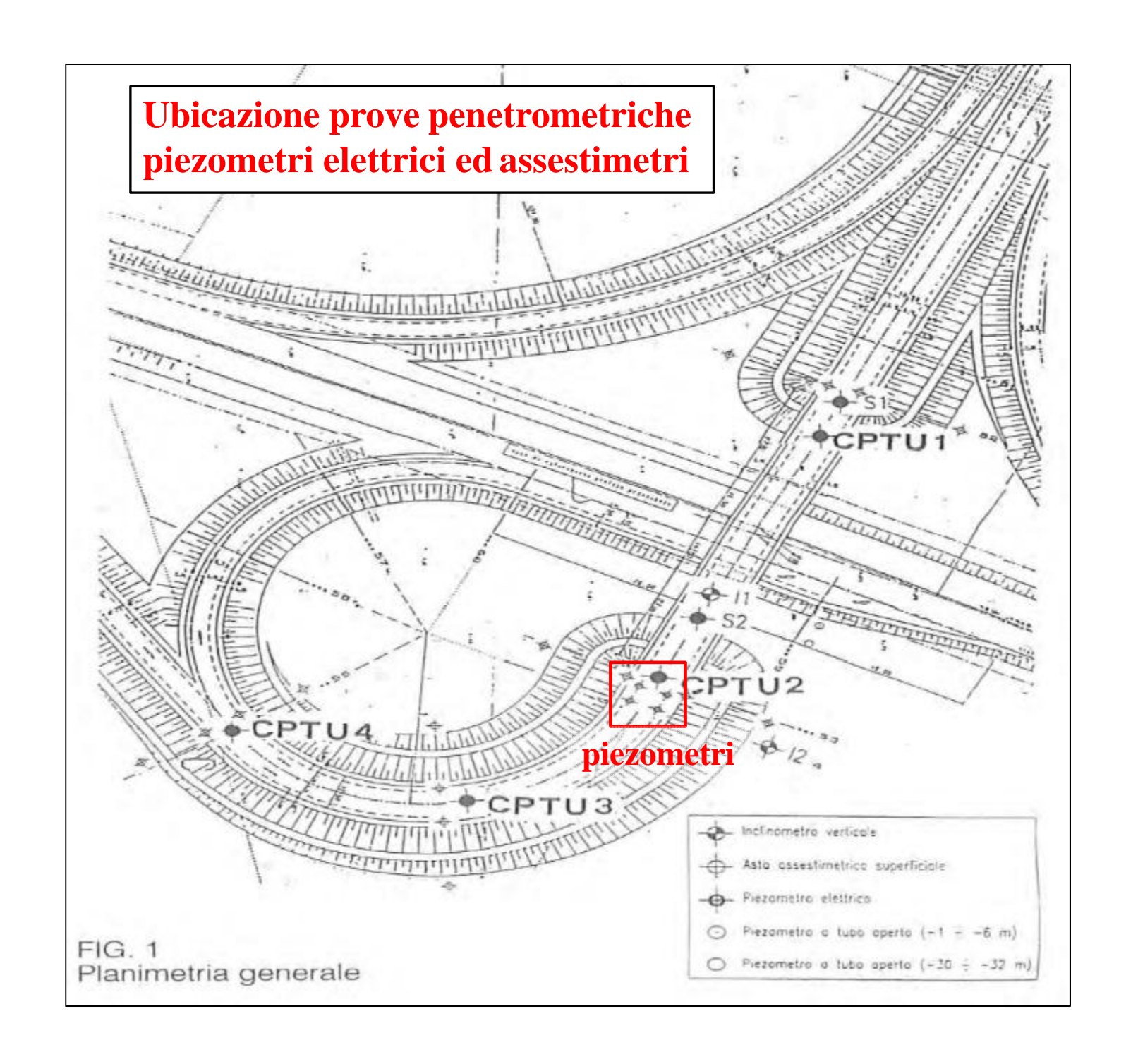
L=25m

i = 1.80 m

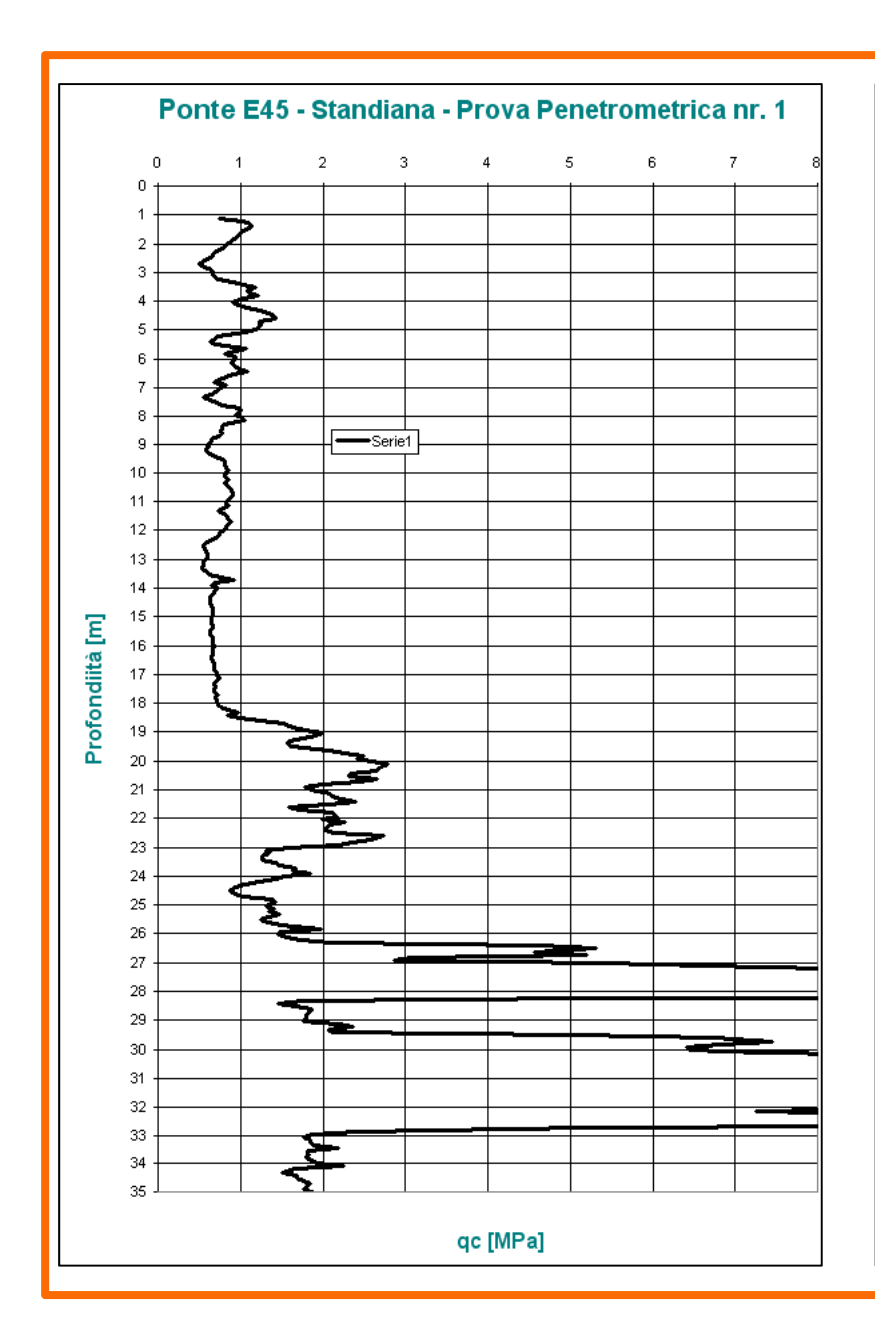
Sovrap passo Standiana – E45 - Ravenna







Sovrappasso Standiana – E45 - Ravenna



Quota [re]			[ldt/m ³]	[kPe]	[*].	[NPa]	[MPo]	[MPo]	[cm/sec	[cm/sec]	[-]
-454-1.0 f -5.54-7.5		Anglia lissos e lima orgidos localinente pessado el orgido limene abbleso, con lesti di nableso fere grigo escoleti di colen traco-reccista, consistente, sorrorima- lidato per annocemente, con l'acce di fredati regolati e colostetti.	19.0	50+70	25+27	10	38.0	8.0	0.65 10*	20 10**	0.3%
2		Anglia e livo orgiliato, di calmo: gidiga con ventiglare di calmo nocciole, de legarennole consistente prolis, leggramole, es menticonspecto	19.0	50+60	25+27	5	25.0	3.5	0.55 10*	2.0 10*	0.3%
3	1	Argilis limojus a lime argilisas guigo acum arelle, o Ireilii detelimente achinisa e con sendias amendra. Remediconodidote.	0.81	20+40	25+25	0	10.0+13	3.0	0.65 10*	Z.0 10°	0.3%
4	24-11-7 1-1-1-1-1-1-1-1-1-1-1-1-1-1-1-1-1-	Applic prior competts can colored, remoters or cases recolor 1 co solit, rest of fire a of cathing line	19.5	99+120	25+28	15	45.0	12.0	0.65 10-4	2.0 10-4	0,09%
5 -11.3+-38.5	1	Sabble fine grigio o Ind.b debelmente fersoo e con- quelche livella di lina	19.5	-	33+34	0		30.0	= ,	2	-
4 -20.75-30.1	Capital Capita Capita Capita C	Anglia grapia compatiza can colcinelli, vendiare di colore nocciola e con settili vene di linni a di settitia fine:	19.5	90+120	25+28	15	45.0	12.0	0.65 10*	7,0 10-1	0.09%
5 -32-34.7	**************************************	Subbic fine gripio e Inditi debolmento finesso e con- gualche (vella di fino)	19.5	1	33+34	0		50.0	-	-	-
6 an -35-347		personalités	19.5	100+13	0.25+28	15	50.0	12,0	0.80 10	Z0 10**	0.273

Sovrappasso Standiana – E45 - Ravenna

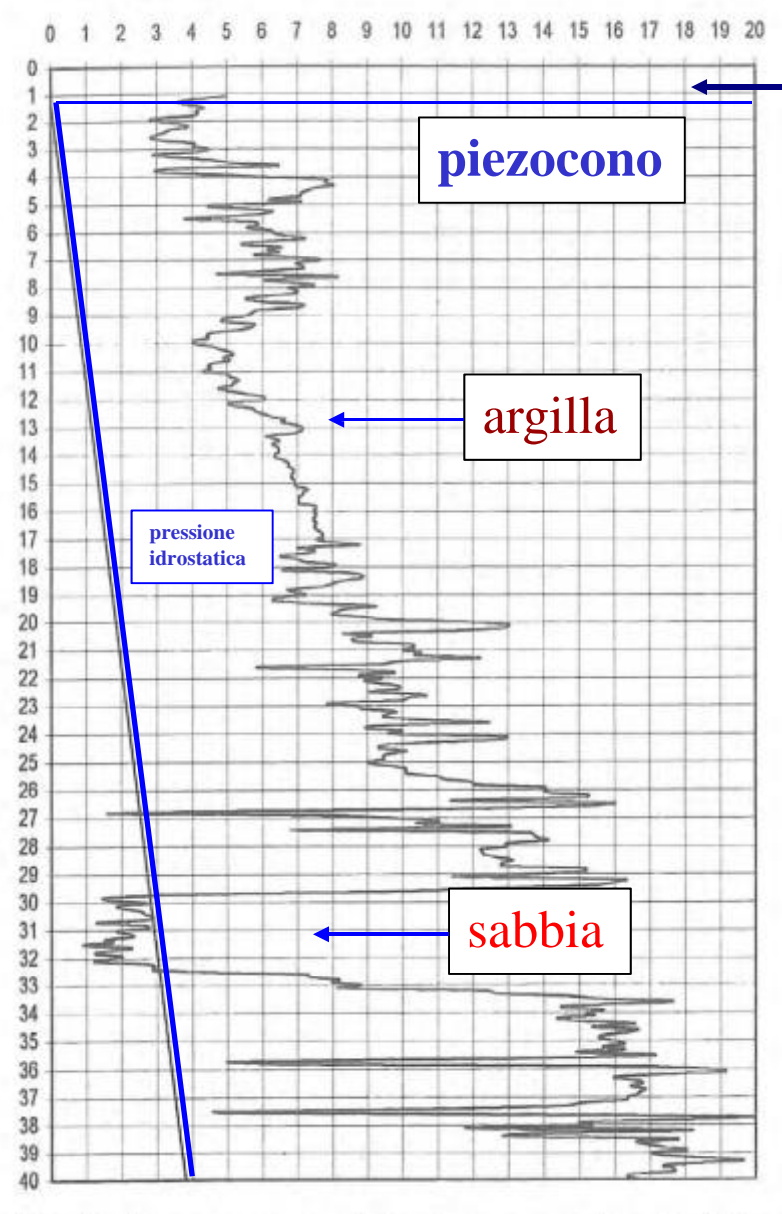
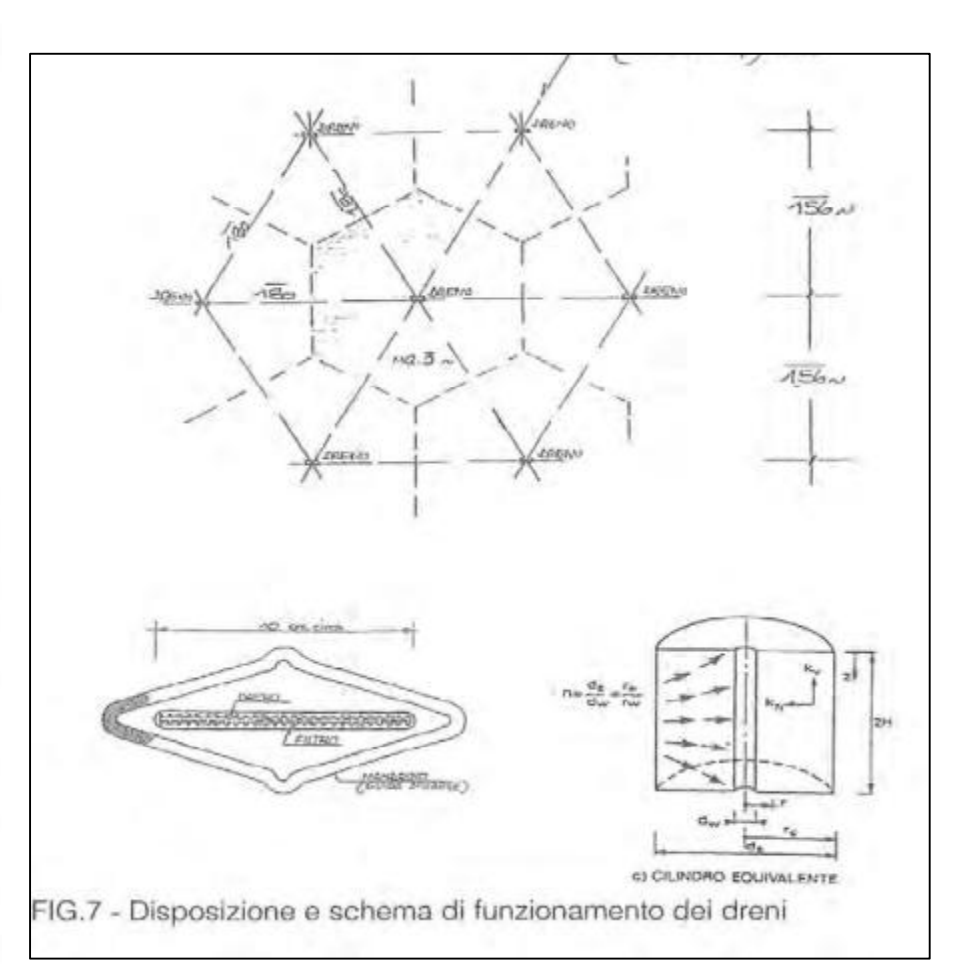
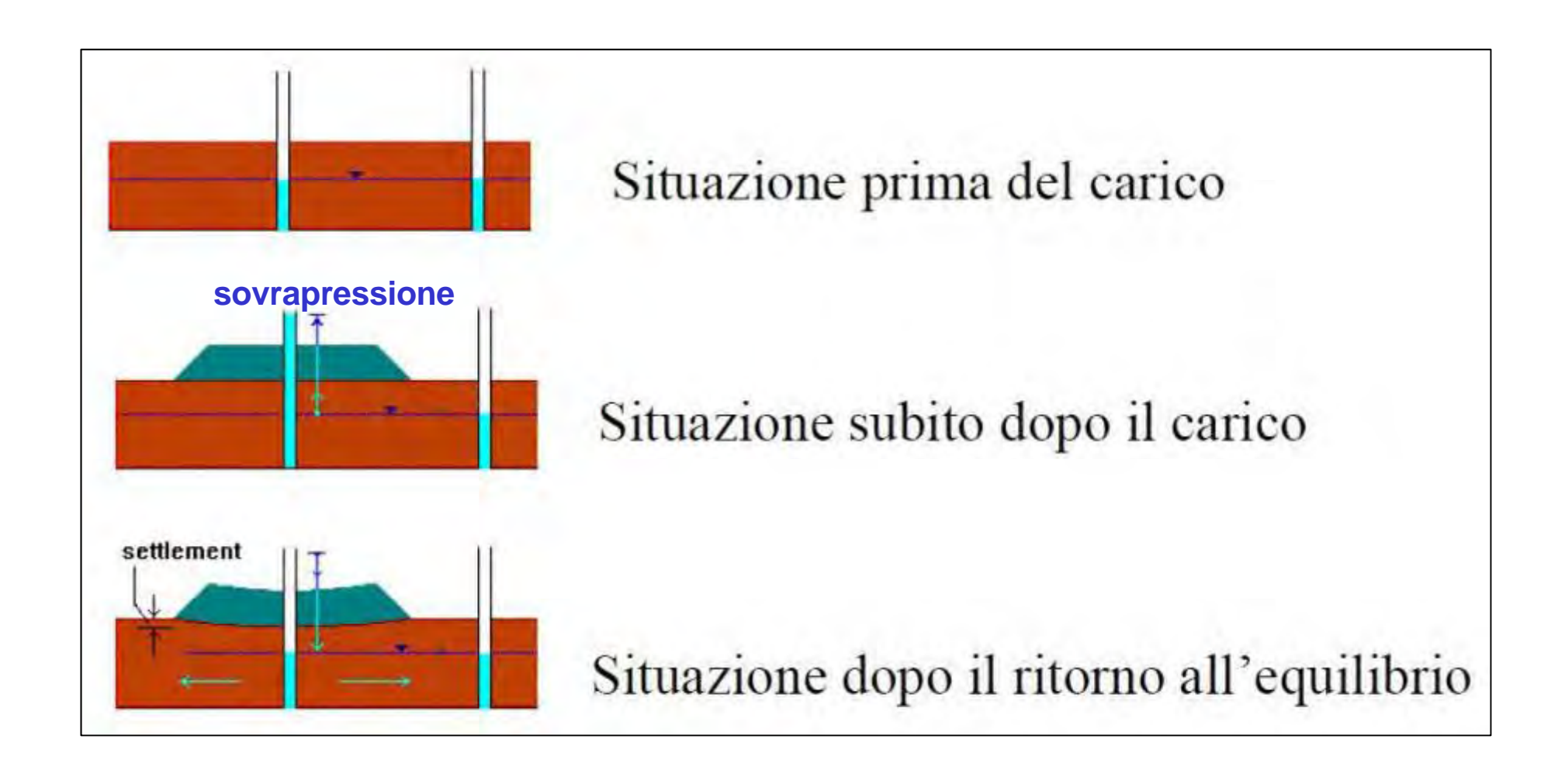


FIG. 13 - Sovrappressione nel piezocono e pressione idrostatica (Kg/cmg)

Sovrappressioni piezocono Schema dreni a nastro



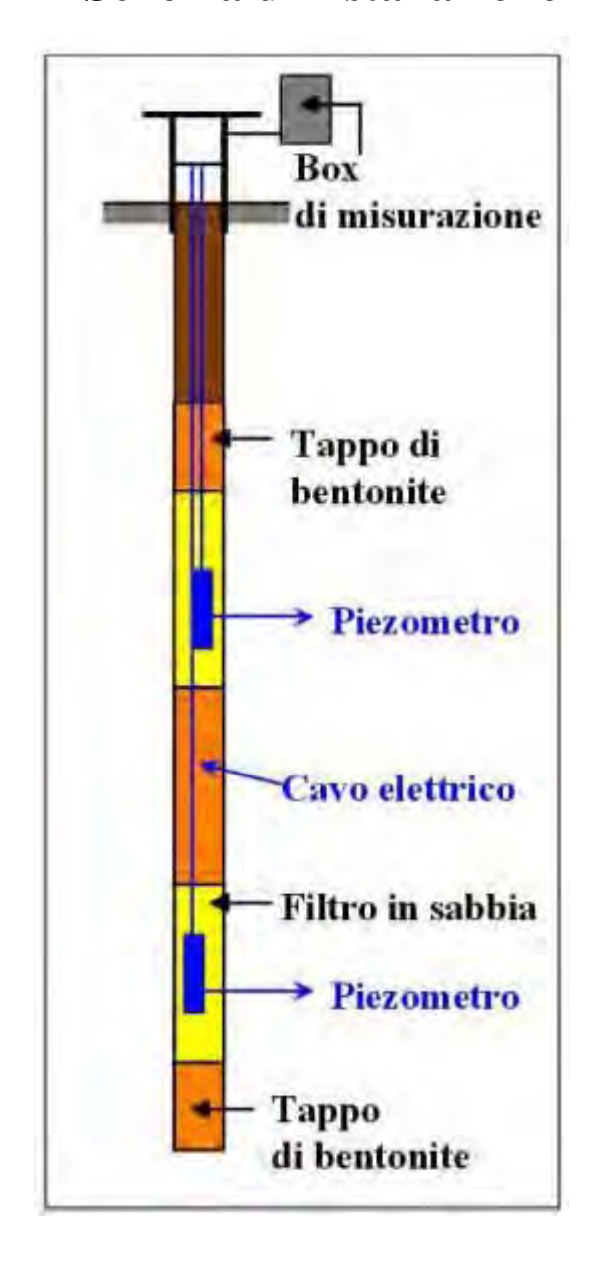
Installazione di Piezometri



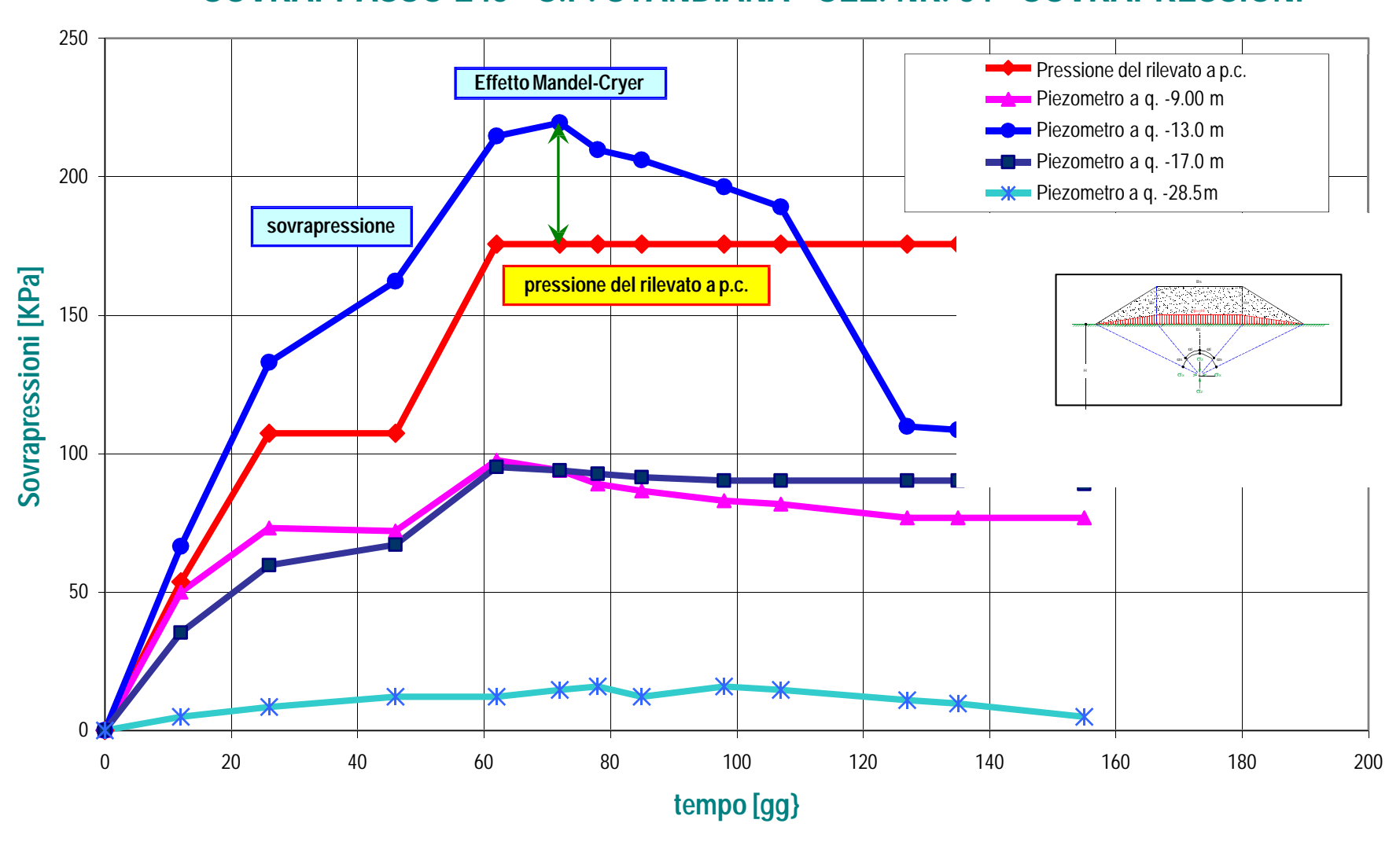
Posizione piezometri elettrici

Ponte E45 - Standiana - Prova Penetrometrica nr. 1 Profondiità [m] qc [MPa]

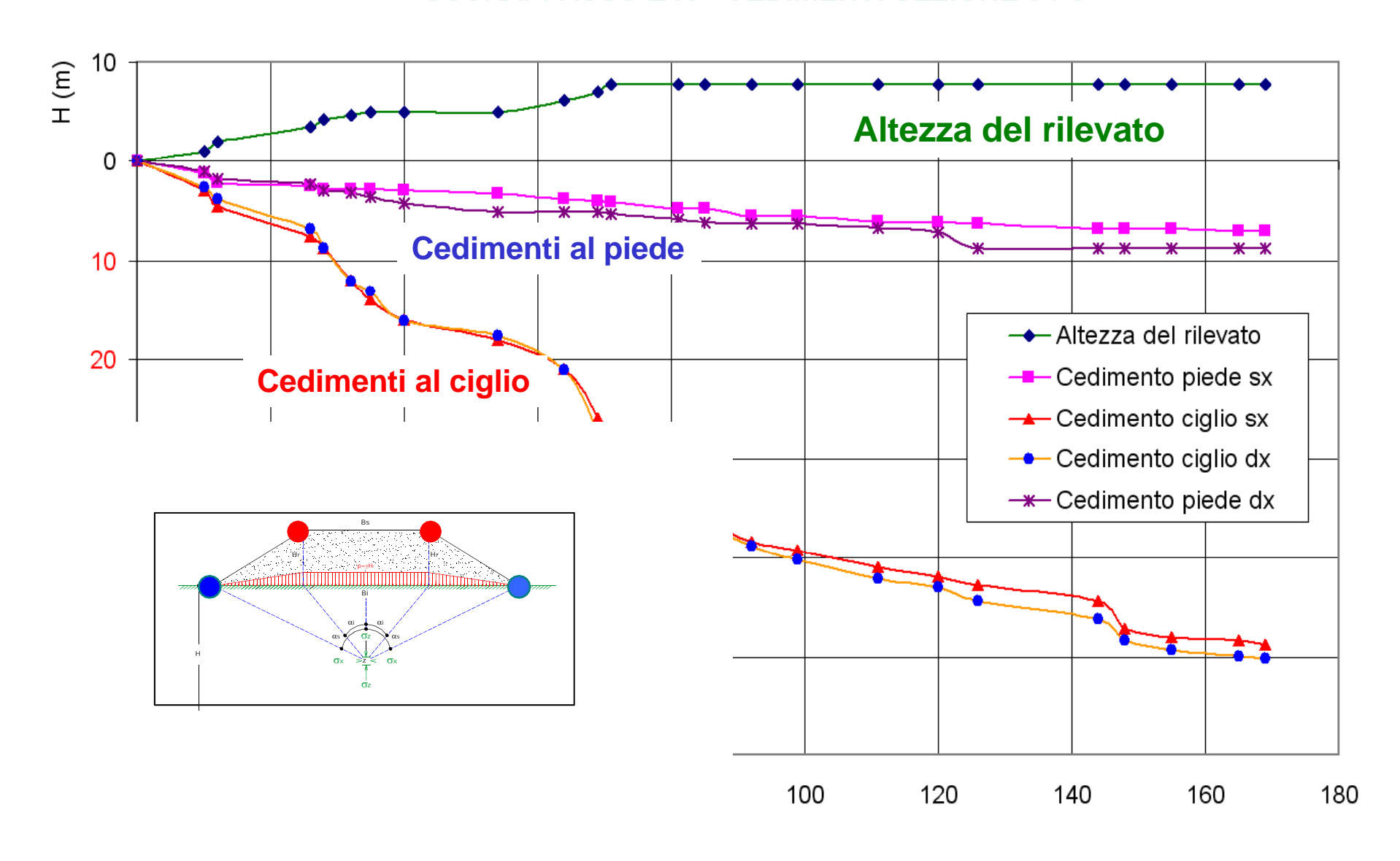
Schema di installazione



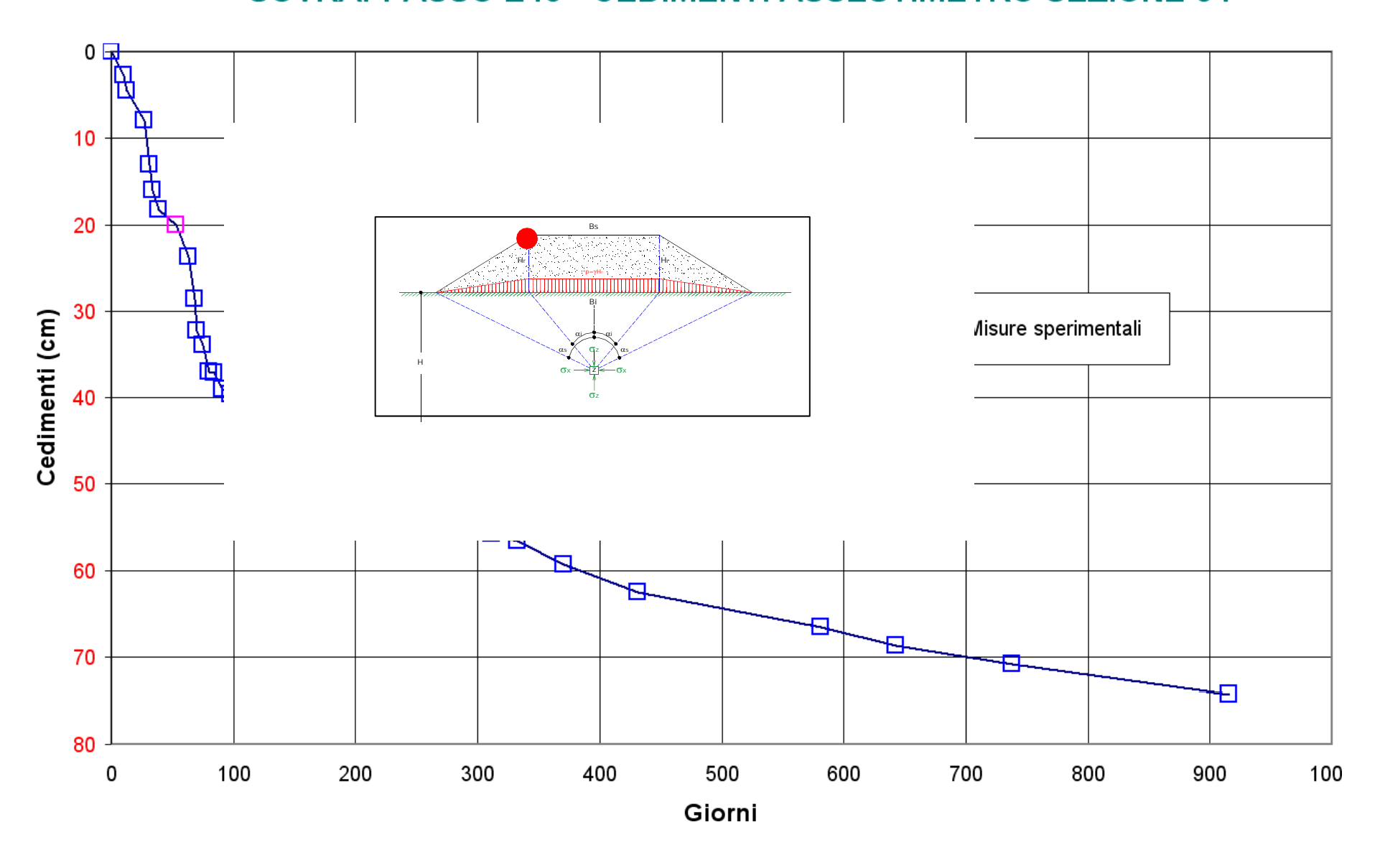
SOVRAPPASSO E45 - S.P. STANDIANA - SEZ. NR. 54 - SOVRAPRESSIONI



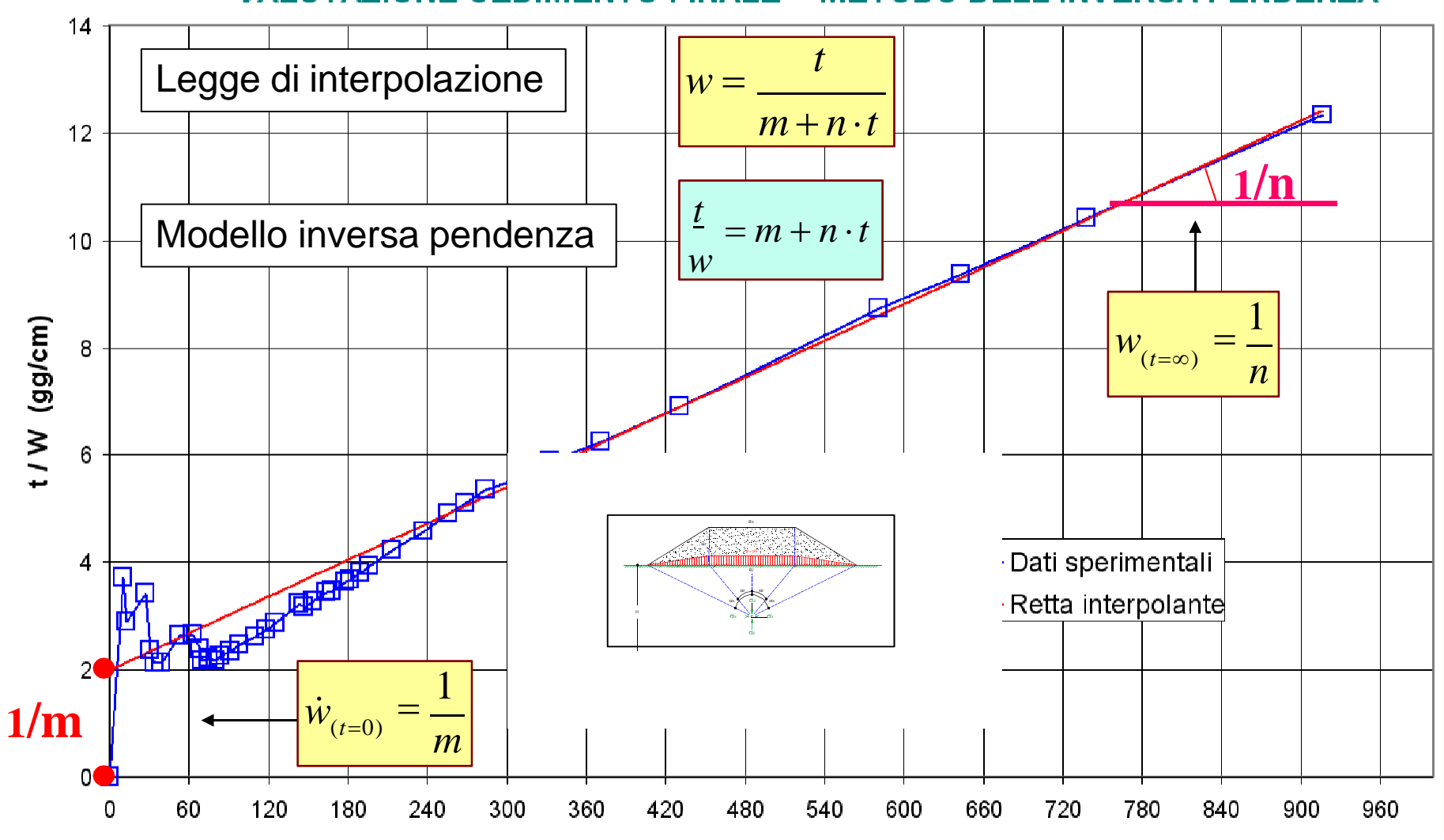
SOVRAPPASSO E45 - CEDIMENTI SEZIONE 54 C



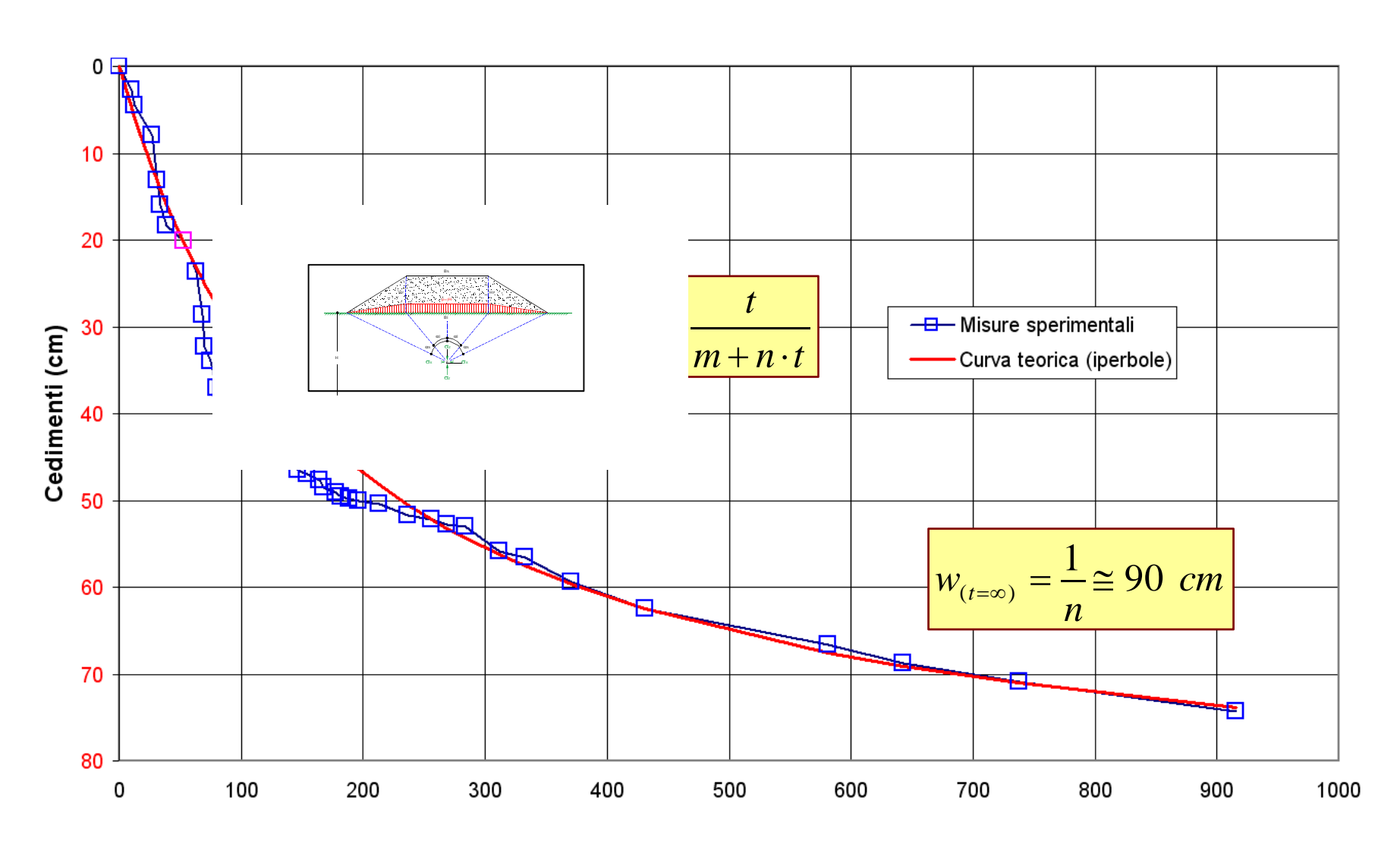
SOVRAPPASSO E45 - CEDIMENTI ASSESTIMETRO SEZIONE 54



SOVRAPPASSO E45 - SEZIONE 54 - ASSESTIMETRO A PIASTRA VALUTAZIONE CEDIMENTO FINALE - METODO DELL'INVERSA PENDENZA



SOVRAPPASSO E45 - ASSESTIMETRO SEZIONE 54

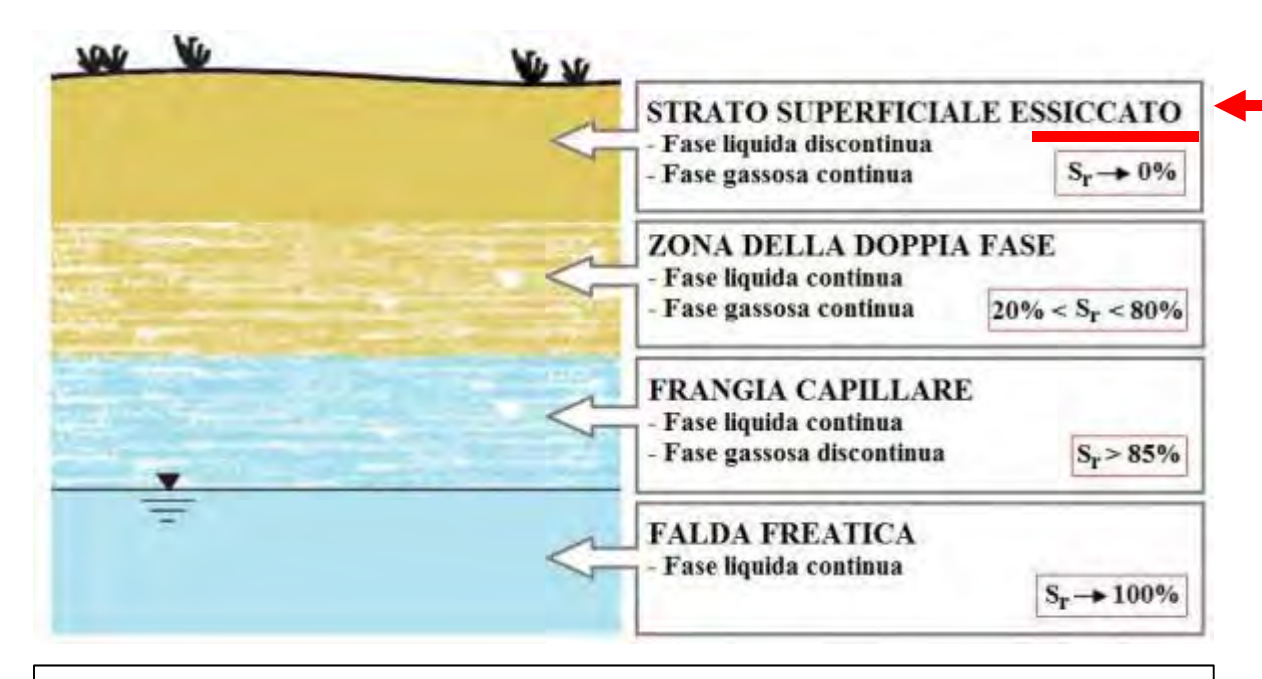


Meccanica dei Terreni

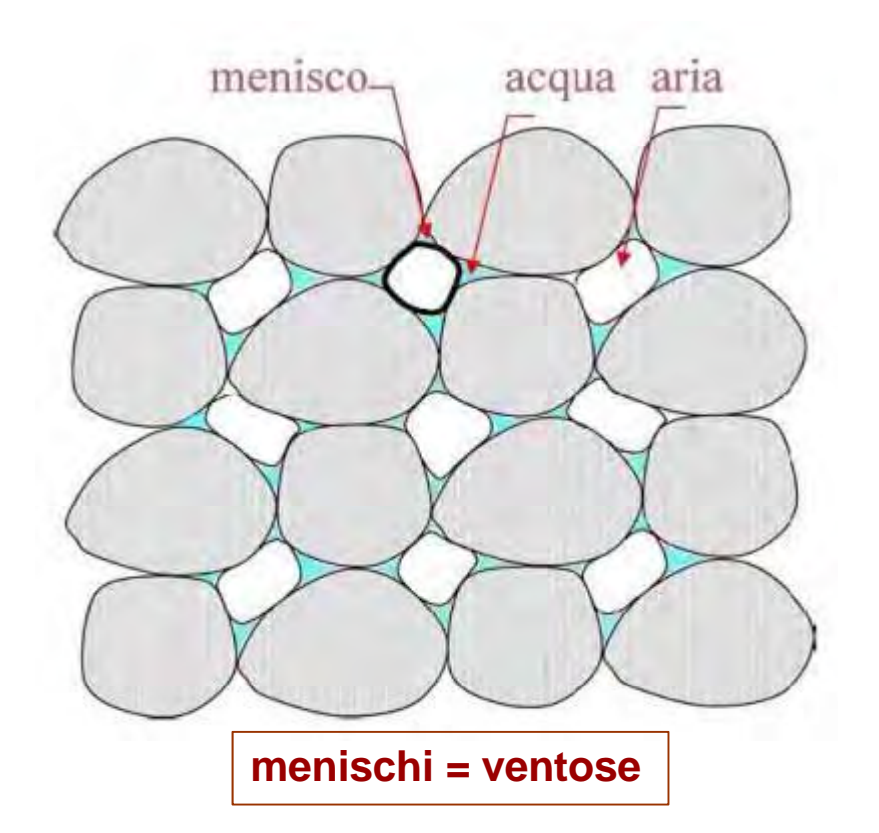
Parzialmente Saturi

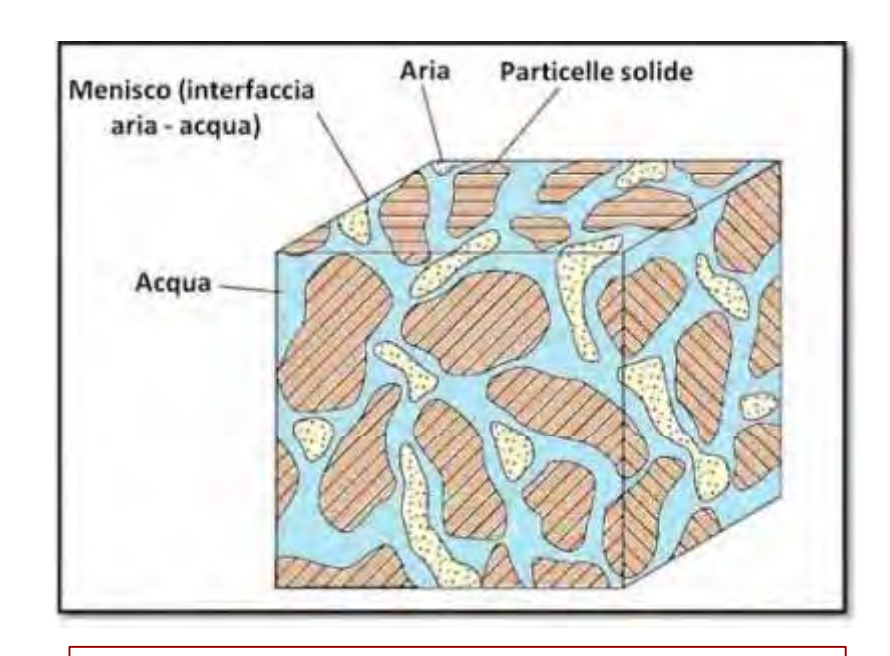
Ruolo della Acqua sulla Resistenza e Rigidezza del Terreno

Meccanica dei Terreni Parzialmente Saturi



Durante i mesi estivi l'aria calda è parzialmente satura di vapore acqueo e tende a sottrarlo al terreno quando lambisce il piano campagna facendo evaporare l'acqua interstiziale.
Gli strati più superficiali del terreno si essicano riducendo il proprio grado di saturazione sino a quando la fase liquida non è più continua.
L'acqua interstiziale residua si lega ai grani dando così origine al fenomeno della suzione.

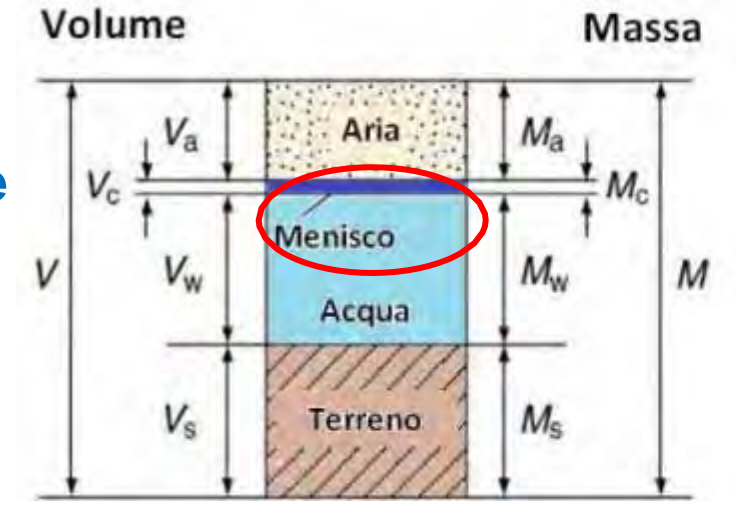


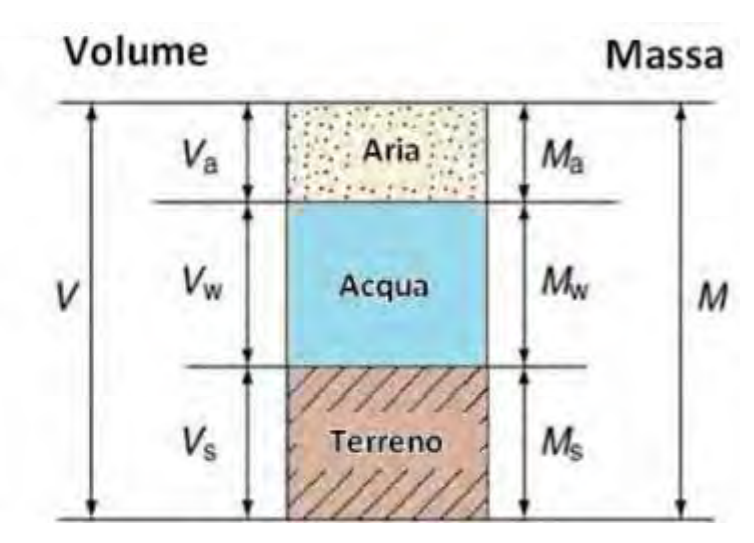


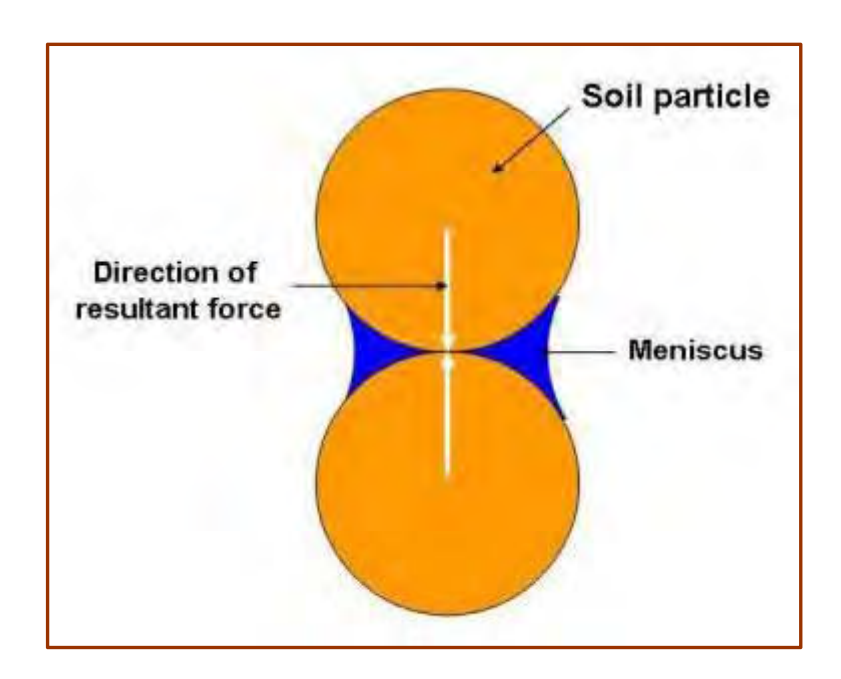
Pressione interstiziale negativa

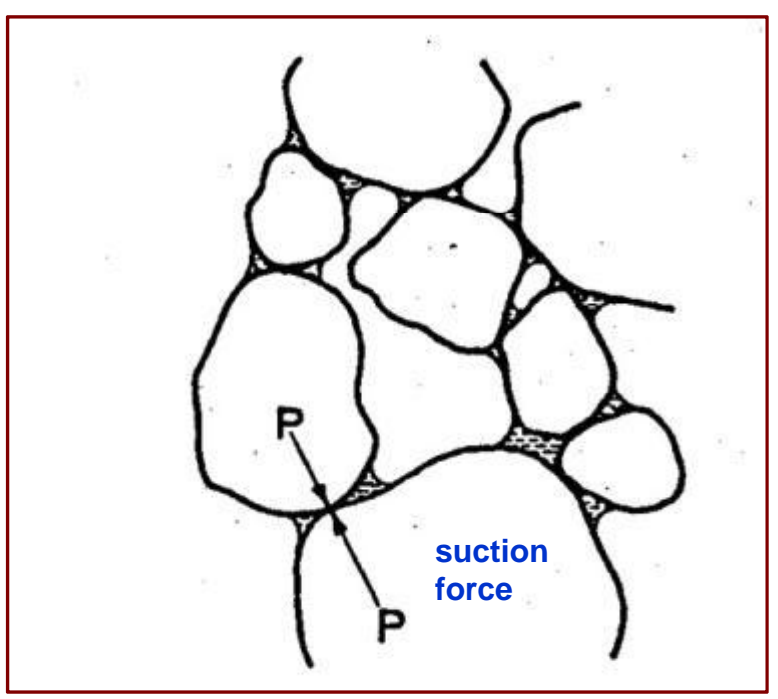
Terreni parzialmente saturi

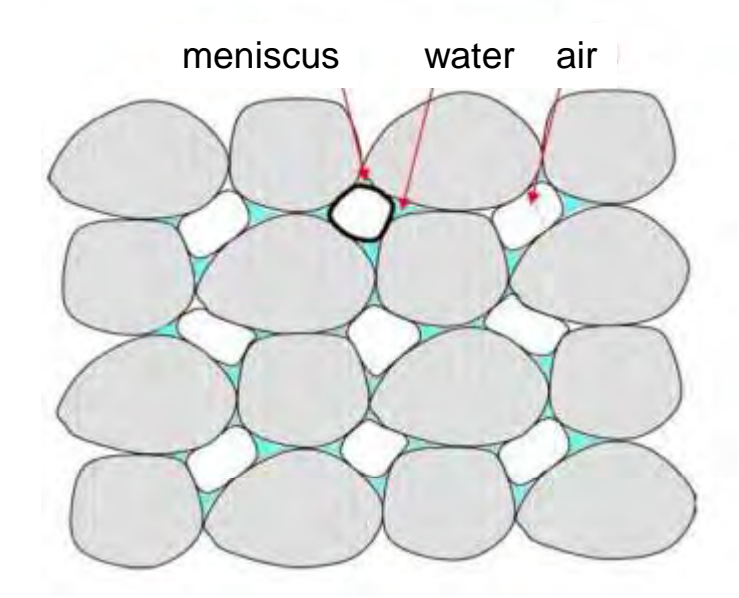
"4 fasi"











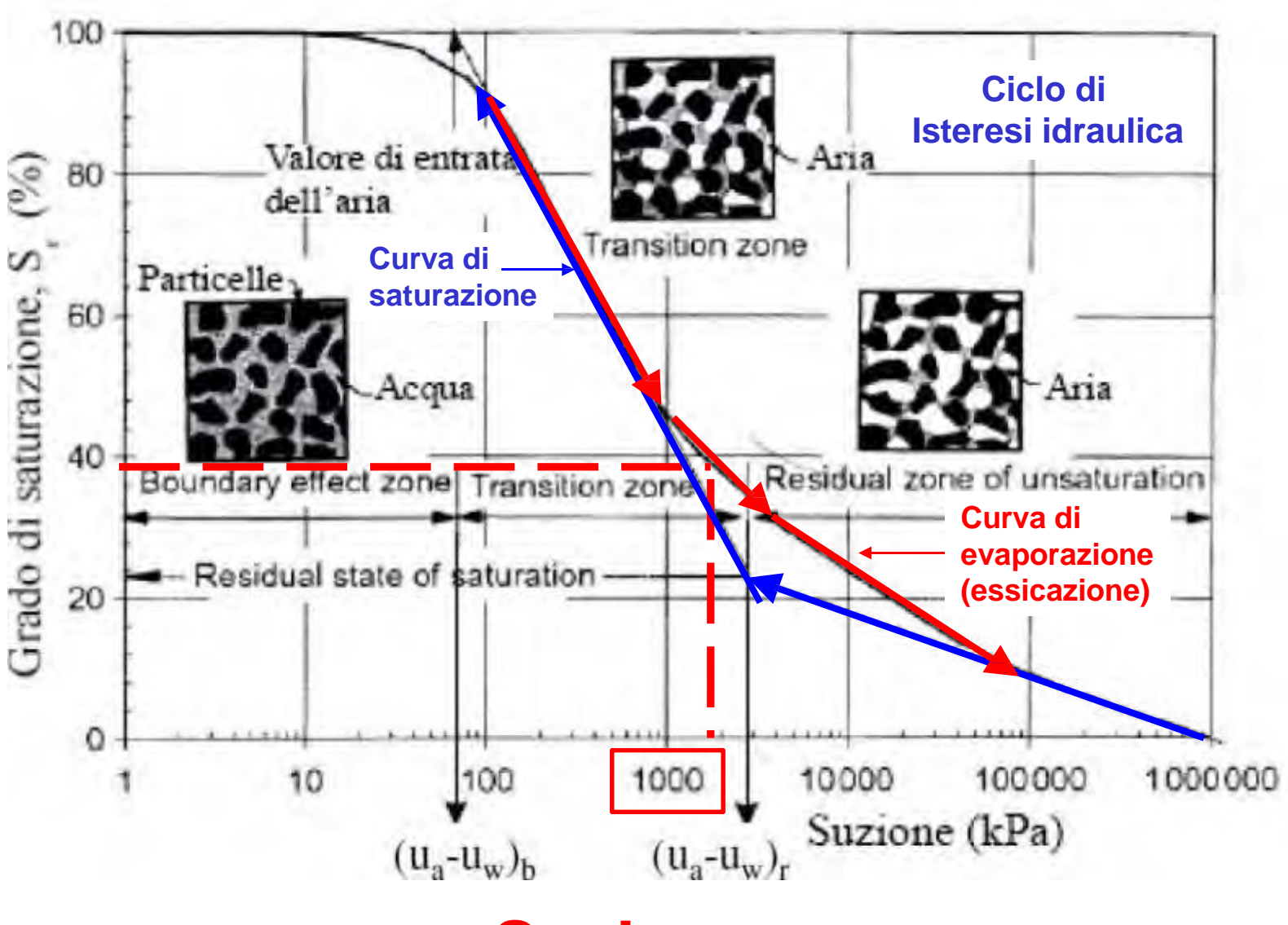
SUCTION

Suction is an additional pressure that tighten the grains together. It is induced by links between water particles and solid grains It is actived in the soil when it is in partially satured conditions

- Increase of strength & stiffness
- Reduction of voids & permeability



Proprietà del terreno - Suzione



terreno saturo

Suzione →

terreno secco



Materiale
Incoerente
a grana grossa

ANGOLO DI NATURAL DECLIVIO



Materiale
Incoerente
Parzialmente
Saturo
(SUZIONE)





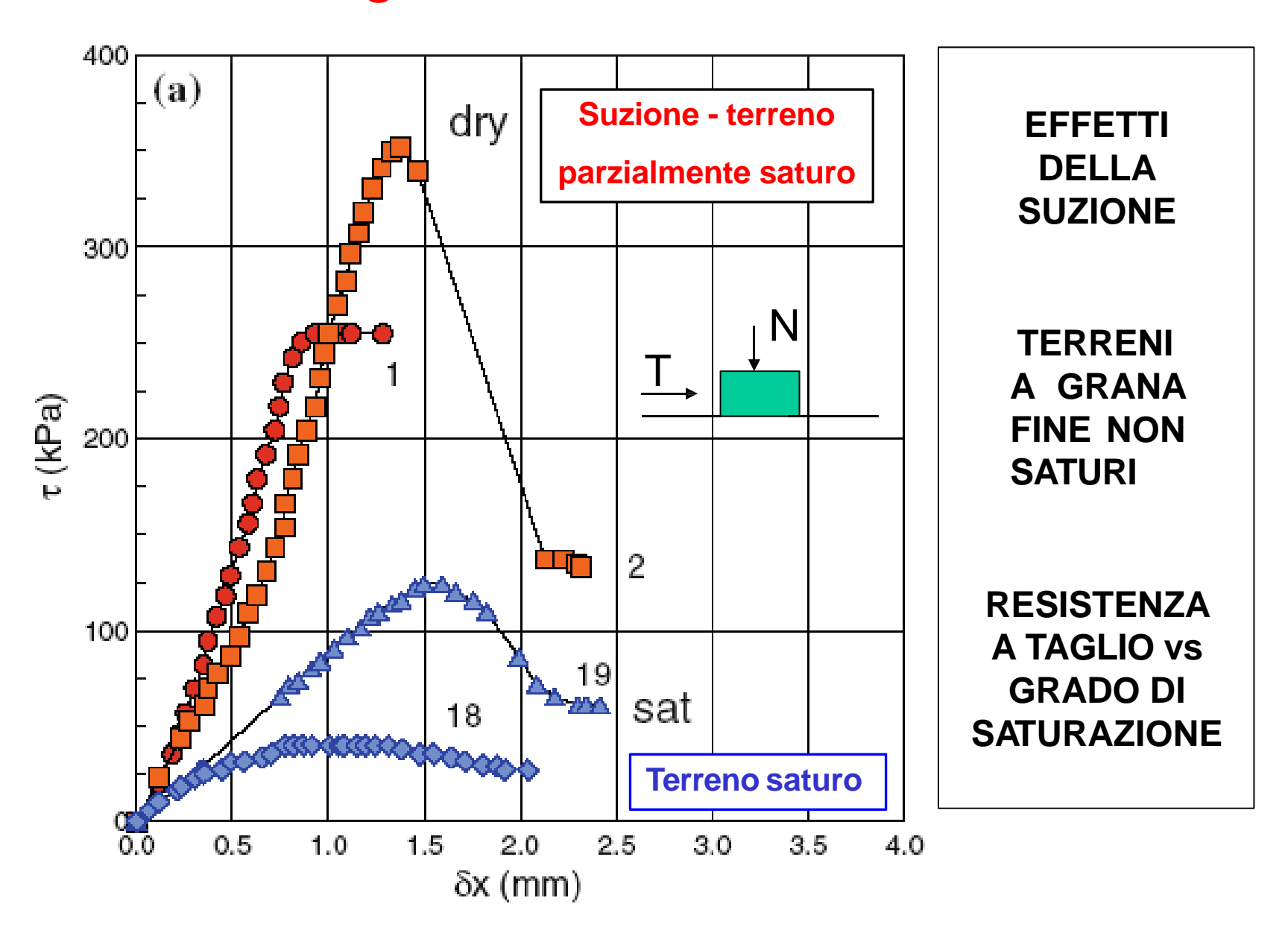
Proprietà del terreno parzialmente saturo

La suzione nei terreni a grana fine fornisce una resistenza a taglio aggiuntiva spesso denominata coesione apparente in condizioni di parziale saturazione. Si manifesta in una azione attrattiva che serra tra loro i grani inducendo un incremento di pressione efficace e quindi di resistenza a taglio.

Ne consegue, per la maggiore resistenza a taglio, che i pendii possano sostenersi anche su inclinazioni maggiori dell'angolo di natural declivio sinatnto che permangono le condizioni di parziale saturazione. La successiva saturazione fà perdere completamente la suzione



Prove a taglio diretto - terreno secco o saturo



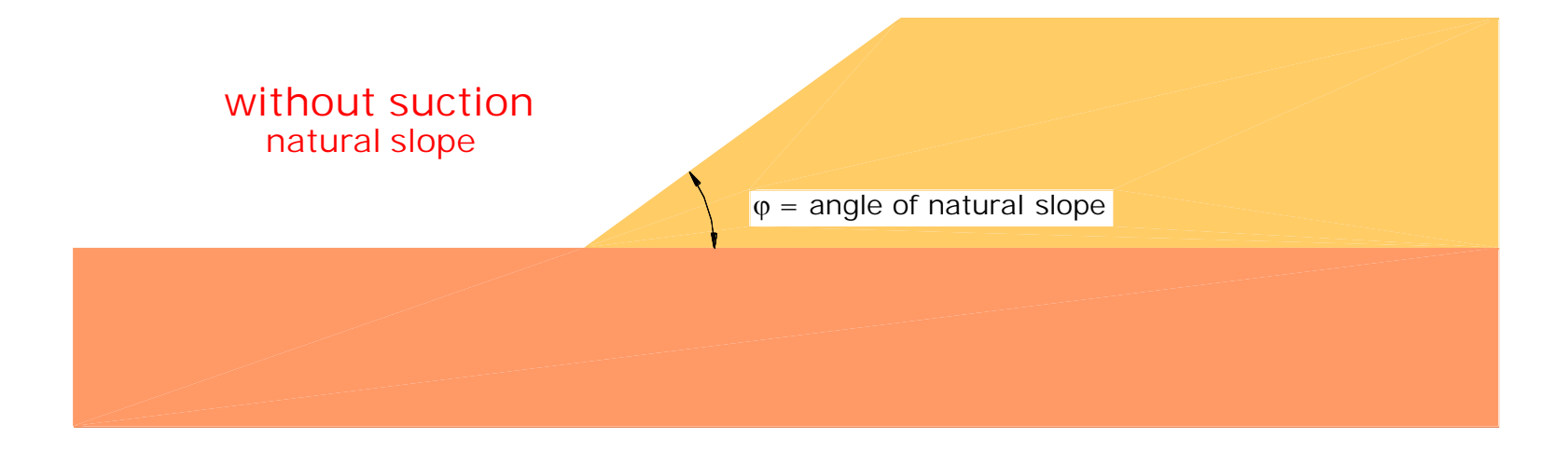


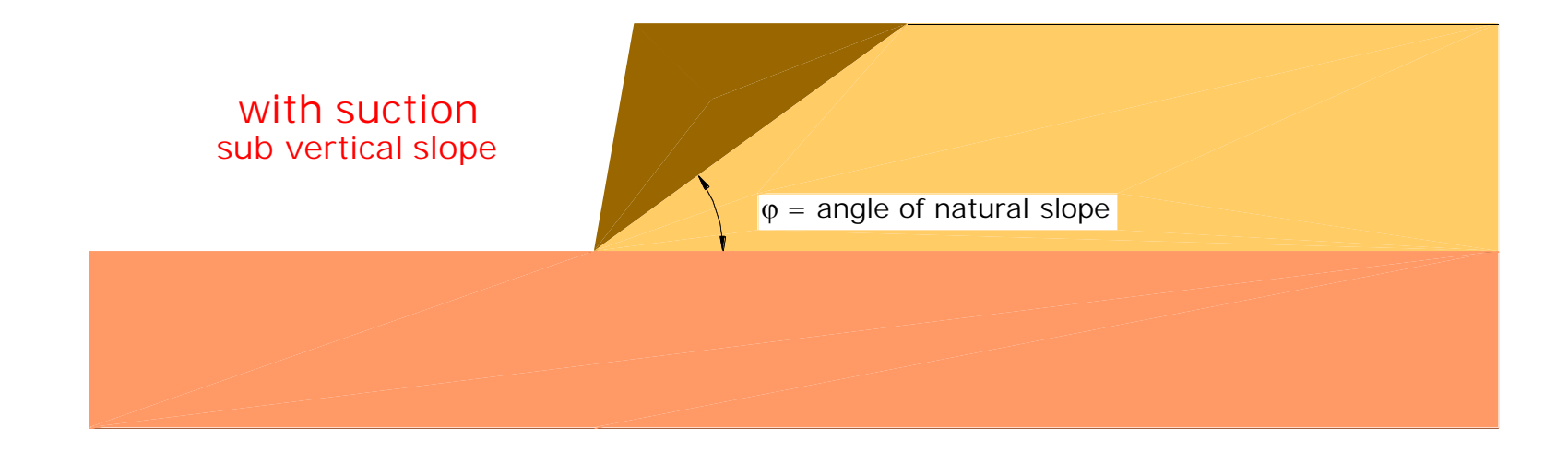
Stabilità dei pendii e degli scavi

La stabilità degli scavi per inclinazioni superiori all'angolo di natural declivio è possibile solo in presenza di coesione. In condizioni di parziale saturazione, l'acqua interstiziale non si comporta più un mezzo continuo e tende a formare nei pori dei legami equivalenti a minuscole e numerose ventose, dette menischi, che forniscono una coesione apparente al terreno (suzione). Il pendio può pertanto sostenersi sino a quando la condizione di saturazione viene ripristinata. Quando l'acqua <u>interstiziale raggiunge un grado di saturazione per il guale si</u> comporta di nuovo come un mezzo fluido la suzione svanisce e con essa la forza che teneva saldati tra loro i grani di terreno.



SLOPE OF THE EXCAVATION













Stabilità degli scavi

 h_{scavo} = altezza massima dello scavo

$$h_{scavo} = \frac{2c}{\gamma_t} + \frac{1}{\rho = 0}$$

$$h_{scavo} c_u c_u \rho = 0$$

C_{app} = resistenza a taglio del terreno per coesione apparenta indotta da SUZIONE

 $c_{app} = 60 \text{ KPa}$, $\gamma_t = 18.0 \text{ KN/m3}$, $h_s = 6.65 \text{ m}$



Stabilità degli scavi a lungo termine

h_{scavo} = altezza massima dello scavo

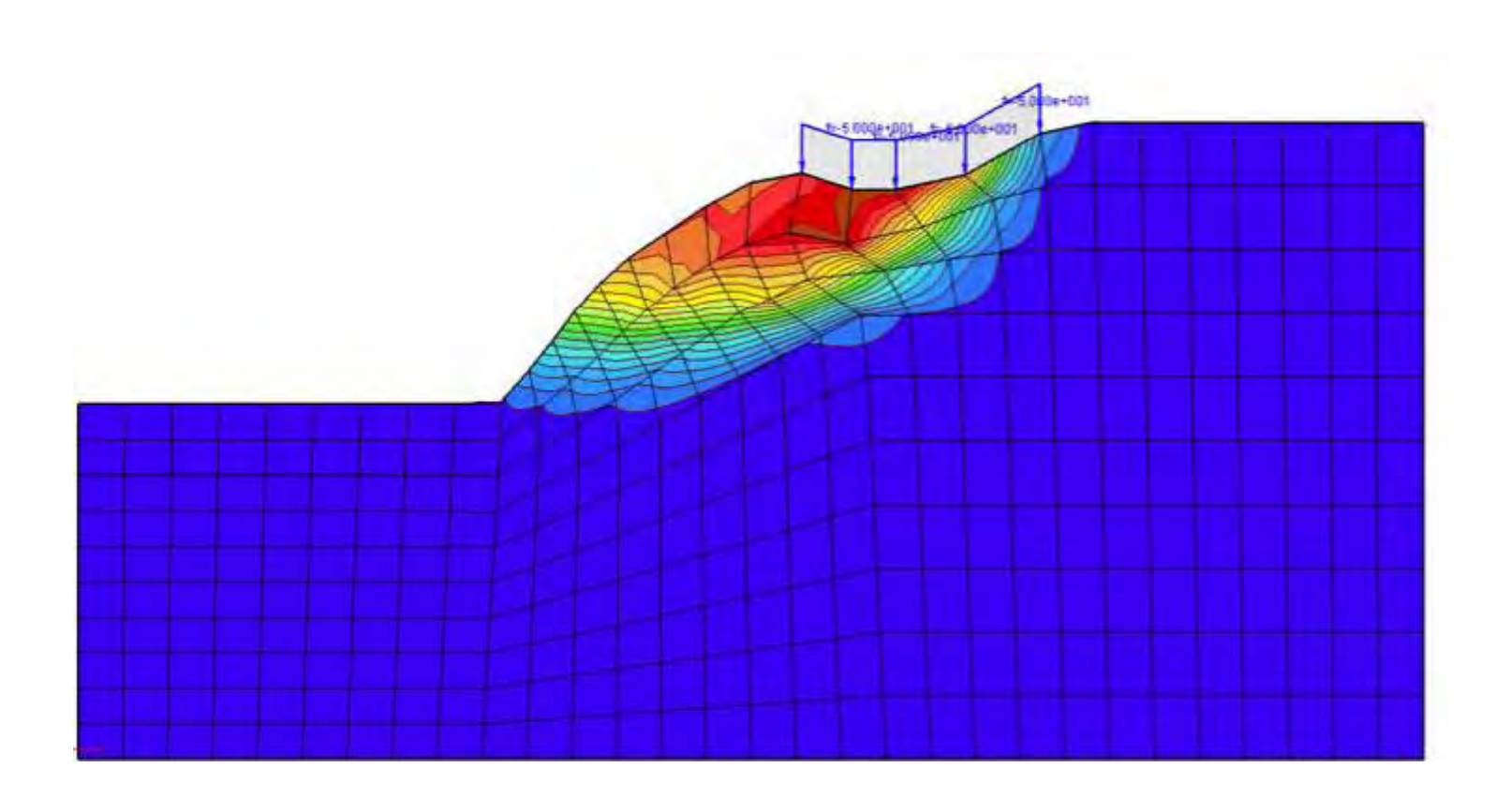
$$h_{scavo} = \frac{2c'}{\gamma_t} \cdot \tan(45 + \phi/2) \quad \frac{h_{scavo}}{c', \phi'}$$

 $c', \phi' = parametri di resistenza a taglio del terreno a lungo termine in condizioni DRENATE$

c' = 20 KPa,
$$\phi$$
=24°, γ_t = 18.0 KN/m3, h_s = 3.35 m



Peridta di stabilità a lungo termine per riduzione della suzione





Proprietà del terreno - Suzione

In presenza di terreni coesivi (limi ed argille) le condizioni di stabilità degli scavi più gravose sono quelle a lungo termine quando la saturazione successiva all'esecuzione dello scavo può far perdere la coesione apparente indotta dalla suzione



Condizioni di sicurezza

• Durante la **fase di scavo** le condizioni di sicurezza più gravose nei terreni a **grana fine** si verificano a **lungo termine**, a seguito di una possibile modifica delle condizioni di saturazione che riducono e/o eliminano la **coesione apparente** indotta dalla **suzione** nel terreno e la pressione efficace in condizioni non drenate.



Proprietà del terreno parzialmente saturo

La suzione nei terreni a grana fine fornisce una coesione apparente in condizioni di parziale saturazione. Si manifesta in una azione attrattiva che serra tra loro i grani inducendo un incremento di pressione efficace e quindi di resistenza a taglio.

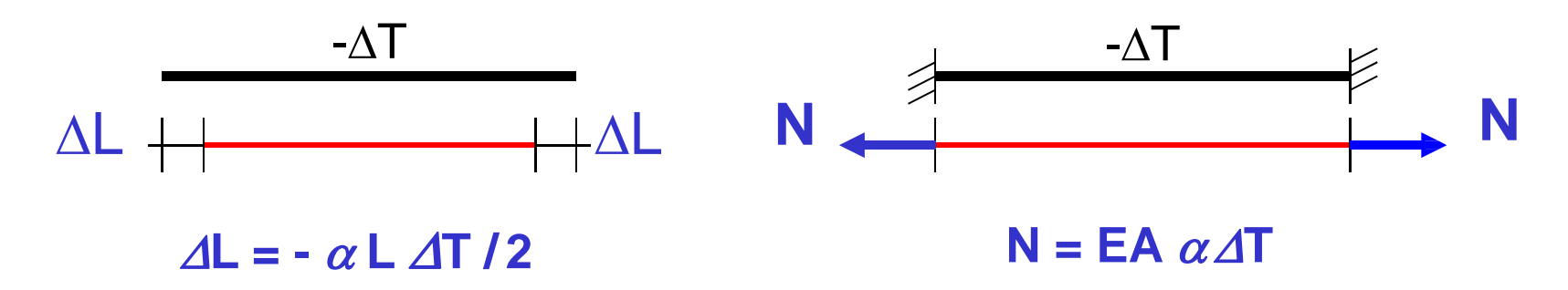
L'effetto sui grani della **suzione** consiste in una **riduzione** di **volume** del terreno, che si manifesta sotto forma di **ritiro**

Se la variazione volumetrica è impedita durante l'essicamento insorgono per congruenza interna tensioni di trazione nel terreno

Se il grado di saturazione è ridotto le sollecitazioni possono superare la resistenza a trazione del terreno (fessurazione.)

Modello Meccanico Equivalente Terreno parzialmente saturo

(riduzione di volume del terreno)



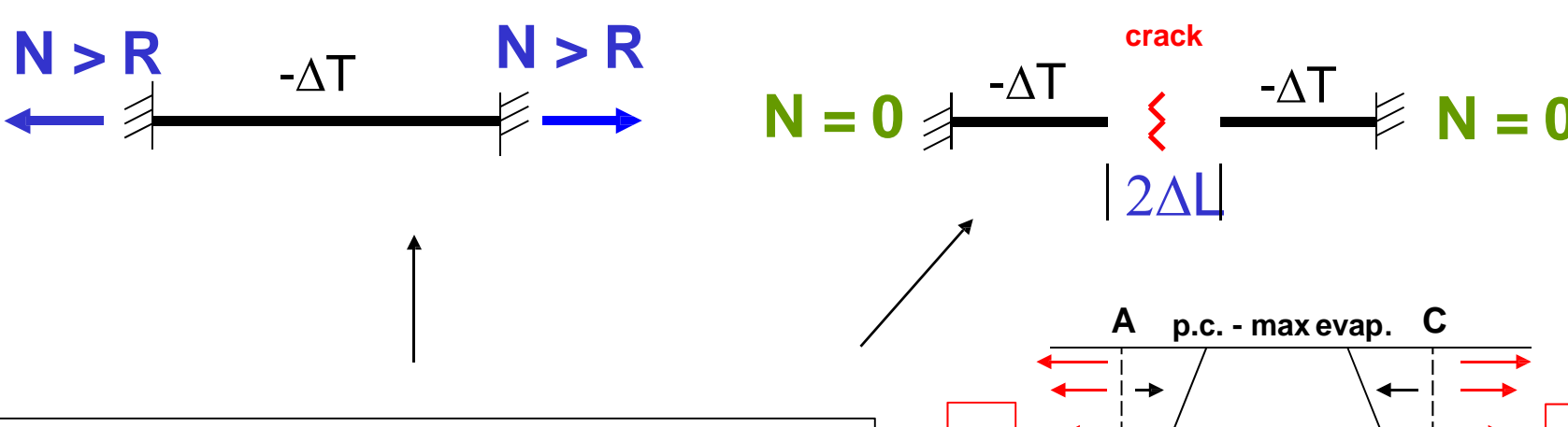
Asta libera soggetta ad una variazione termica<0 (riduzione di lunghezza)

Asta non sollecitata Accorciamento max Asta vincolata soggetta ad una variazione termica<0 (riduz. lungh. impedita)

Asta in trazione Accorciamento nullo

Modello Meccanico Equivalente

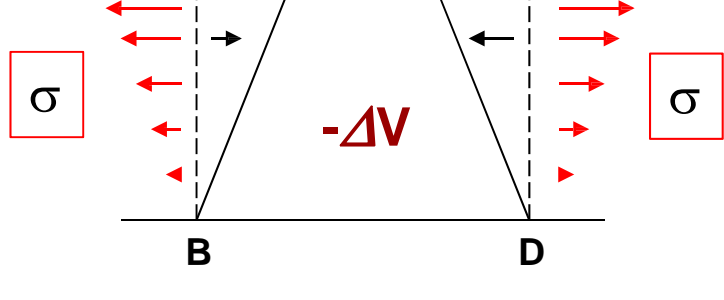
(riduzione di volume del terreno)



Quando la contrazione è impedita insorge uno sforzo di trazione (N).

Se esso supera la resistenza (R) del materiale si produce la fessurazione

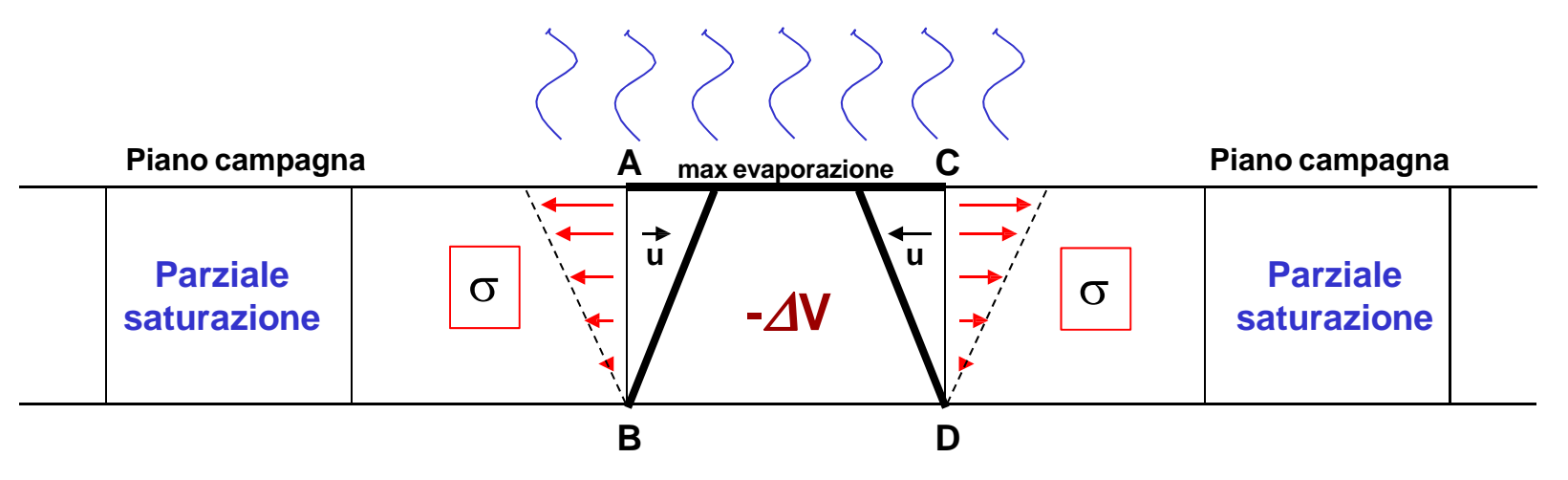
Si verifica poi lo scarico tensionale ed il libero accorciamento dell'asta



Elemento di terreno soggetto a trazione indotta da suzione (A-B; C-D piani di simmetria e di fessurazione)

Modello Meccanico Equivalente

(riduzione di volume del terreno)



Elemento di terreno soggetto a trazione indotta da suzione

Piani di traccia A-B e C-D

Stato iniziale: piani di simmetria Stato finale: piani di di fessurazione

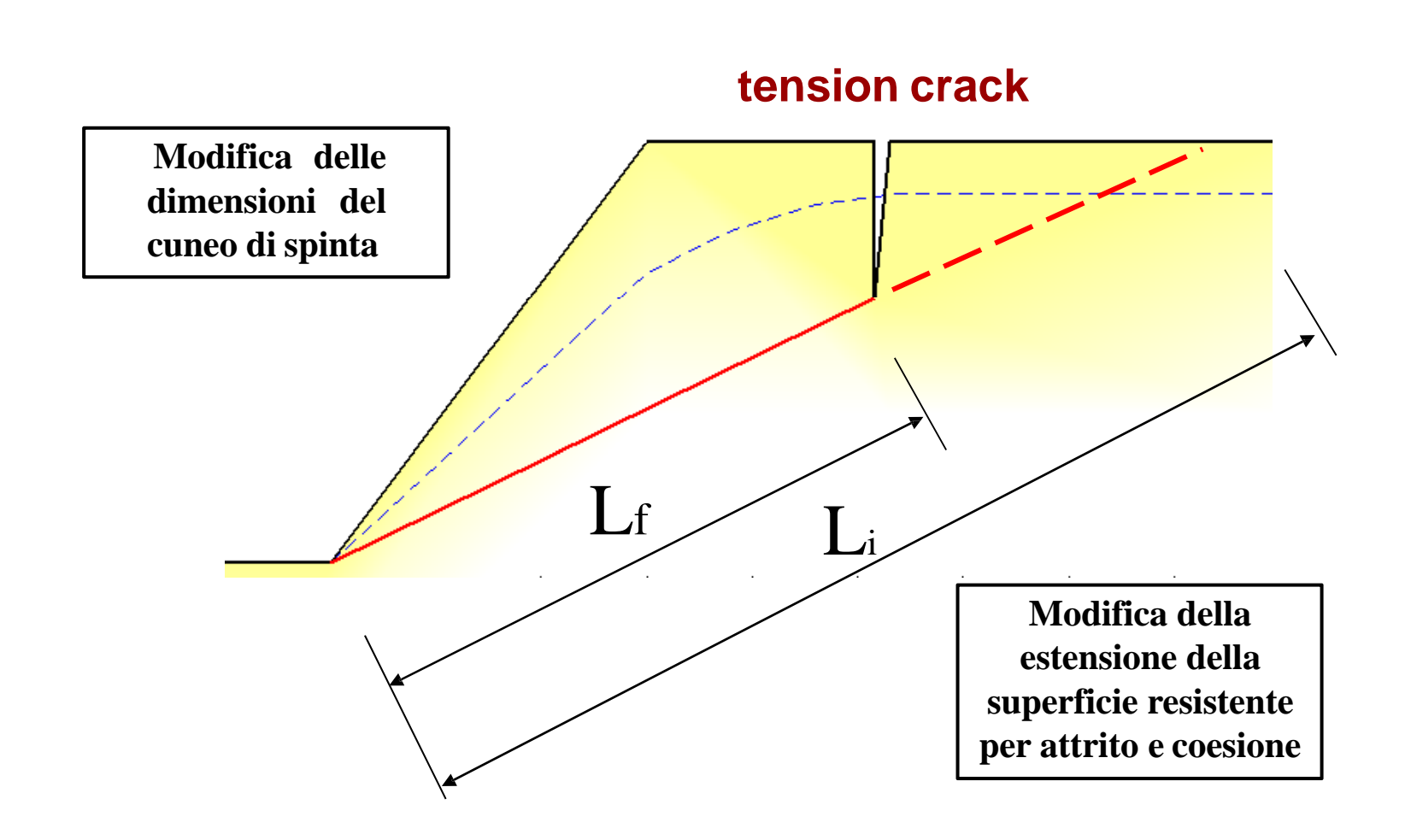




Se la variazione volumetrica è impedita insorgono tensioni di trazione che quando superano la resistenza del terreno ne producono la fessurazione (tension cracks)



Effetto della fessurazione sulla stabilità dei fronti di scavo



LIQUEFAZIONE IN

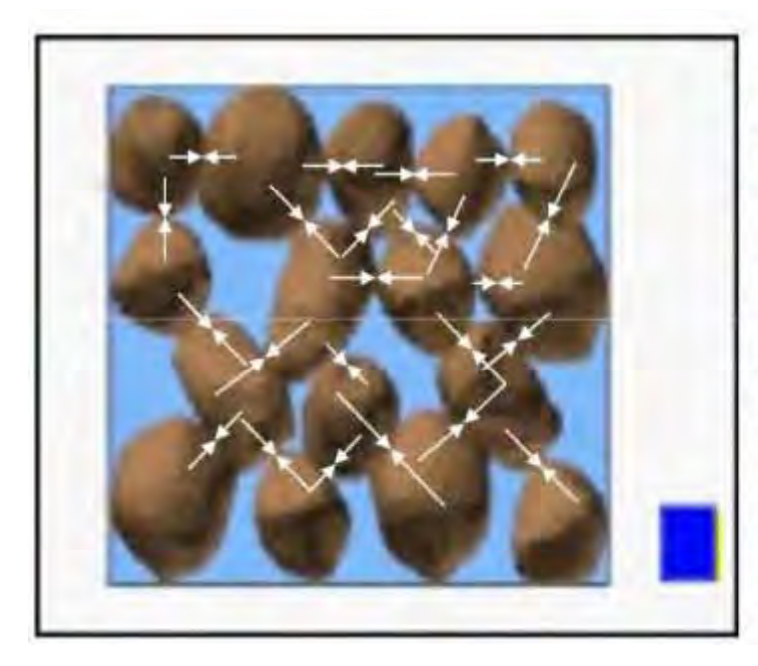
CONDIZIONI SISMICHE

INTERAZIONE TRATERRENO E ACQUA INTERSTIZIALE IN CONDIZIONI SISMICHE

LIQUEFAZIONE DEI TERRENI SOTTO FALDA

Risposta dei terreni alle azioni impulsive

Mecccanismo resistente - Pressioni efficaci



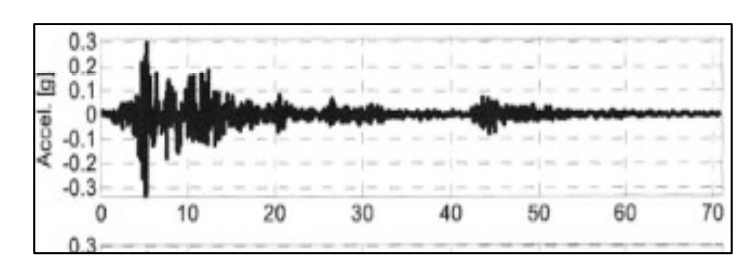
Un terreno granulare saturo è costituito da un insieme di grani a contatto tra loro e da acqua interstiziale

La resistenza è di tipo frizionale, dipende solo dalla tensione media di contatto (σ') e può essere espressa ad es. dalla relazione di Mohr-Coulomb:

$$\tau = \sigma' \operatorname{tg} \varphi' = (\sigma - u) \operatorname{tg} \varphi'$$

(σ: tensione totale; u: pressione interstiziale)

Risposta dei terreni alle azioni impulsive



Liquefazione dei terreni



condizioni non drenate

⇒ l'acqua rimane intrappolata nei vuoti e la pressione interstiziale varia di ∆u con conseguente variazione della resistenza al taglio:

$$\tau = \sigma' \operatorname{tg} \varphi' = (\sigma - \mathbf{u} - \Delta \mathbf{u}) \operatorname{tg} \varphi'$$

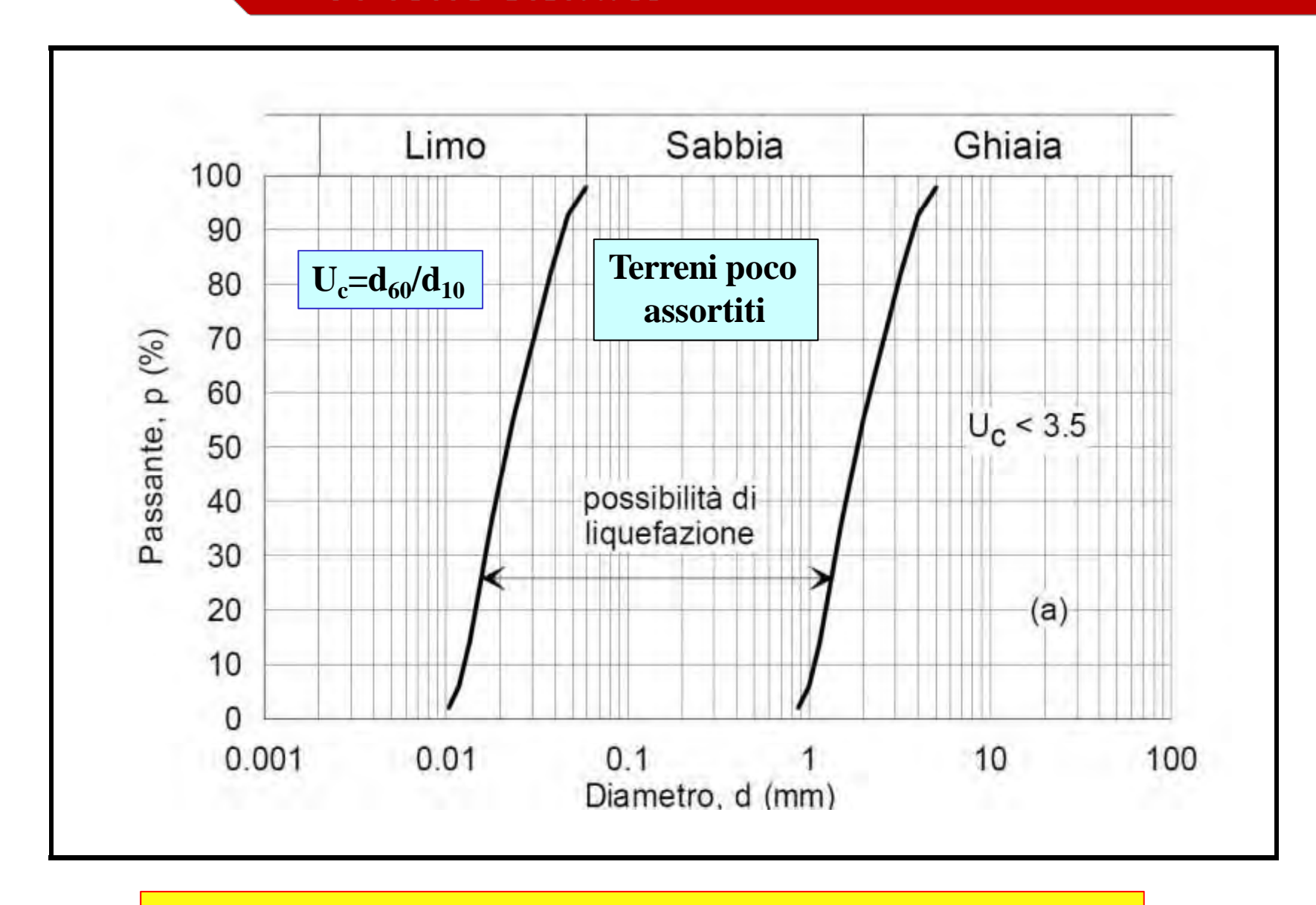
Se la deformazione di taglio γ indotta dalla sollecitazione è maggiore di γ_{vv} la Δu media è progressivamente crescente \Rightarrow la **resistenza al taglio può ridursi** drasticamente fino ad annullarsi (per $\Delta u = \sigma'_{iniziale}$) e il terreno tende a comportarsi come un fluido viscoso

Risposta dei terreni alle azioni impulsive

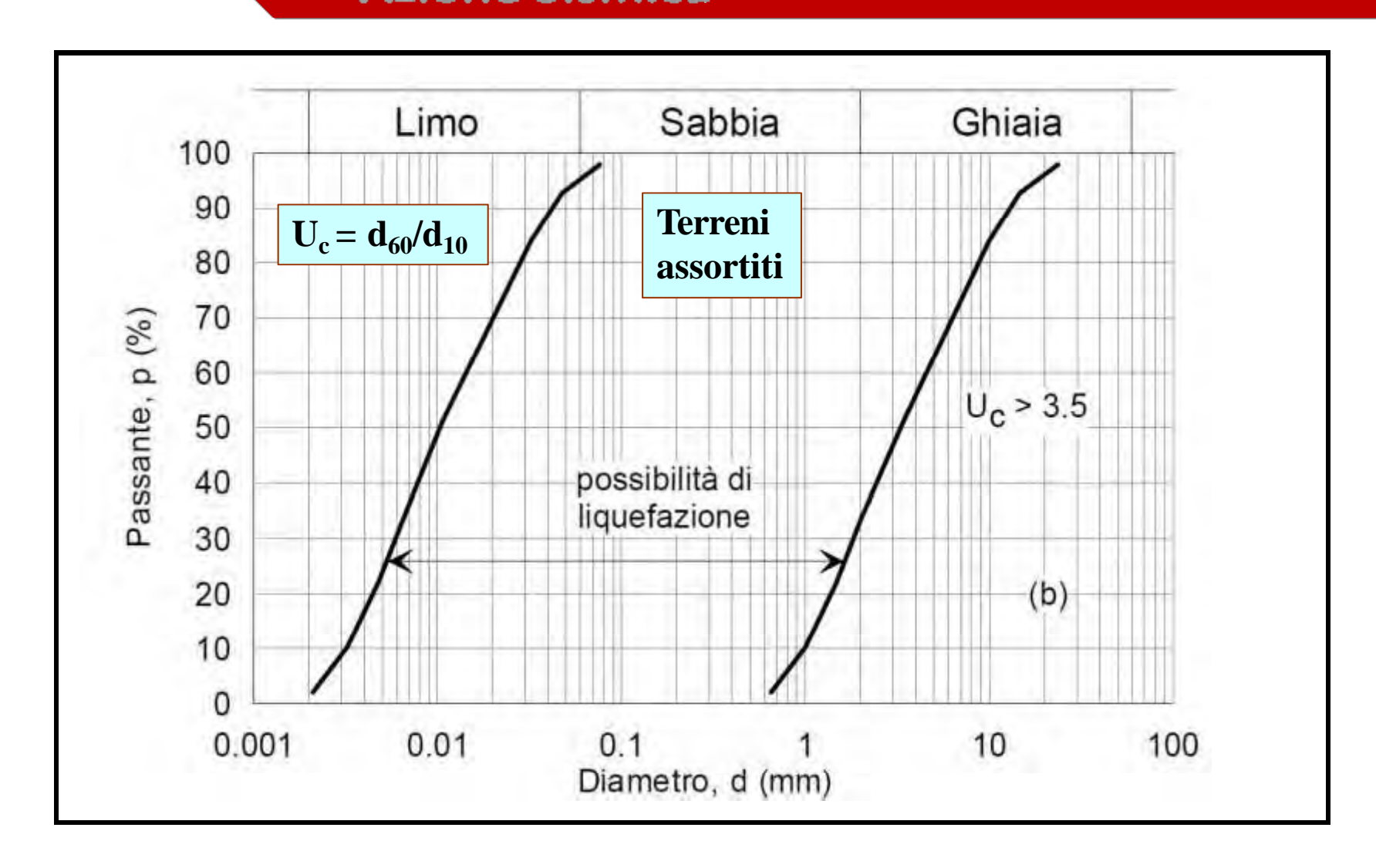
A fronte della azione sismica solo la **ghiaia** mantiene un **comportamento** che si può ritenere **drenato** essendo i tempi di dissipazione delle sovrapressioni molto bassi.

Le sabbie manifestano un comportamento non drenato dato che il periodo delle oscillazioni sismiche, dell'ordine di 0.2-0.5 sec, è molto più breve dell'intervallo di tempo necessario per il drenaggio delle sovrapressioni.

Limi e argille sono invece escluse dal fenomeno della liquefazione in quanto la coesione tra i grani tende ad contrastarne il distacco, condizione che si manifesta a seguito dell'annullarsi delle tensioni efficaci.



Fusi granulometrici di terreni suscettibili di liquefazione – Uc < 3.5



Fusi granulometrici di terreni suscettibili di liquefazione – Uc>3.5





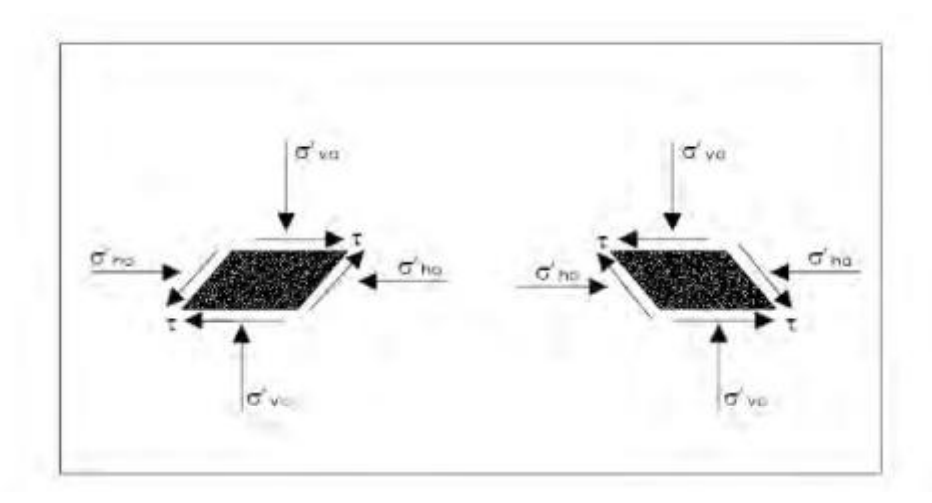


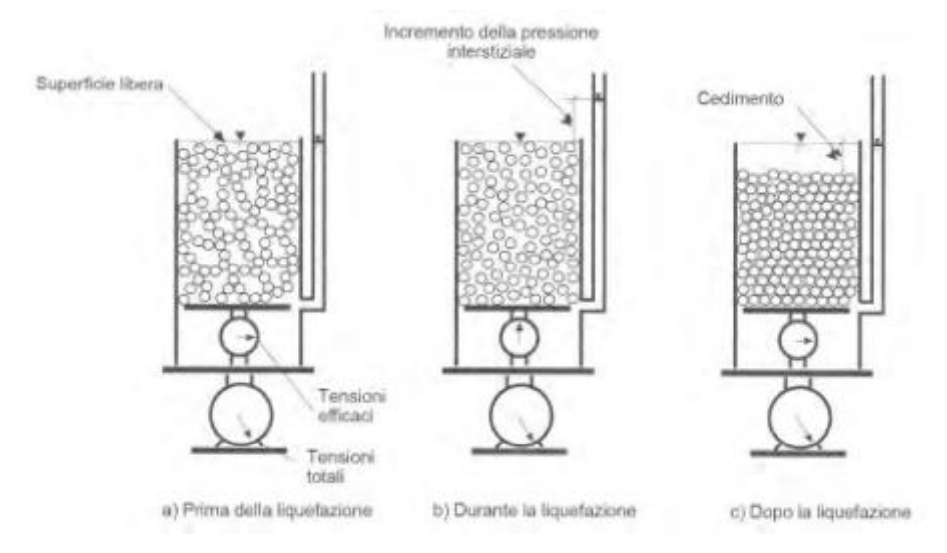


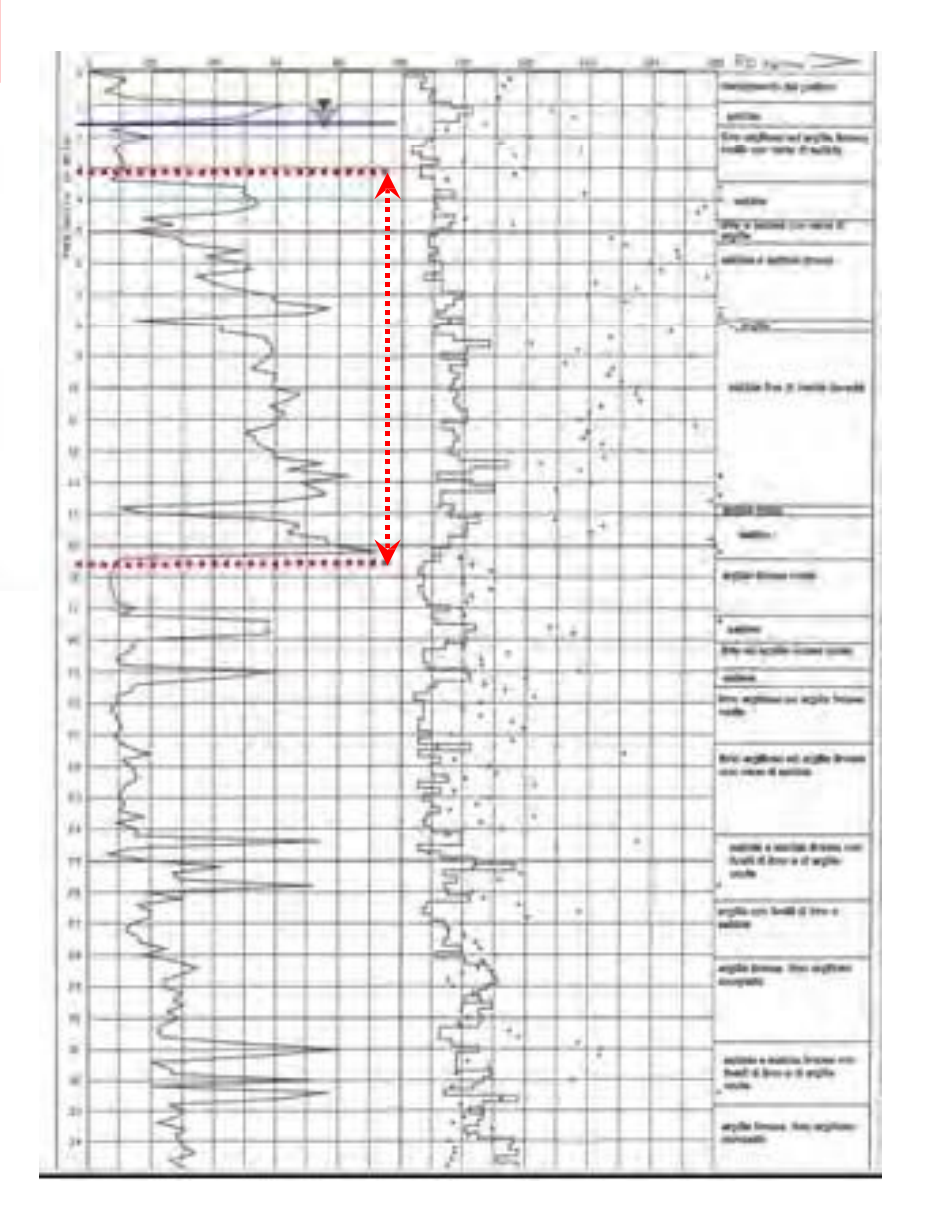


Percuotendo un secchio pieno di sabbia immersa in acqua si produce la liquefazione del terreno

Liquefazione dei terreni sotto falda



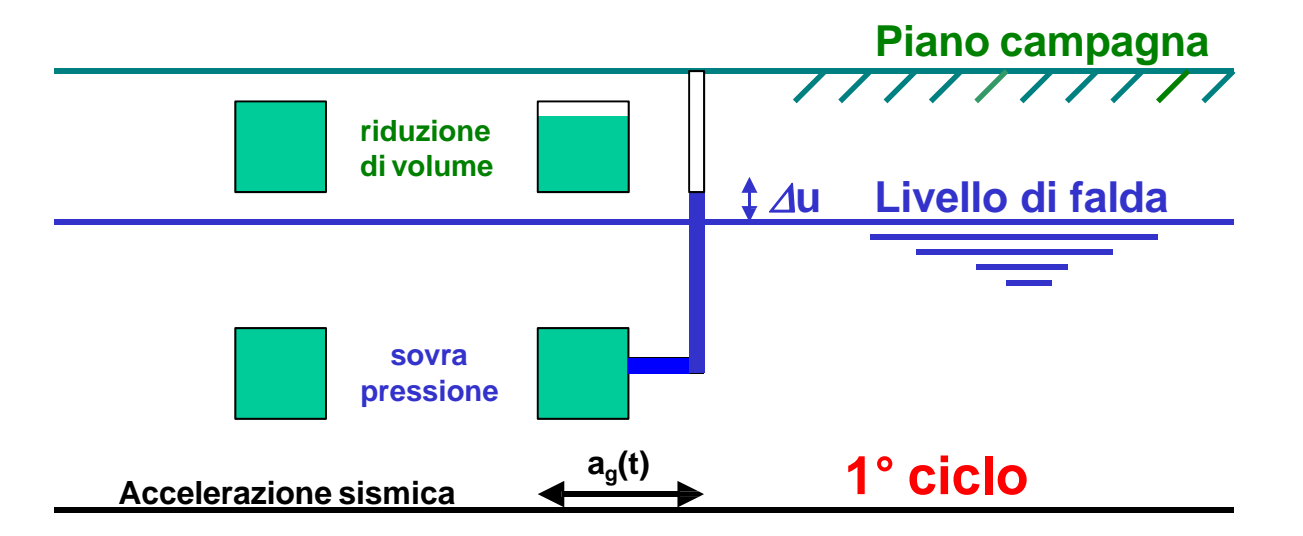


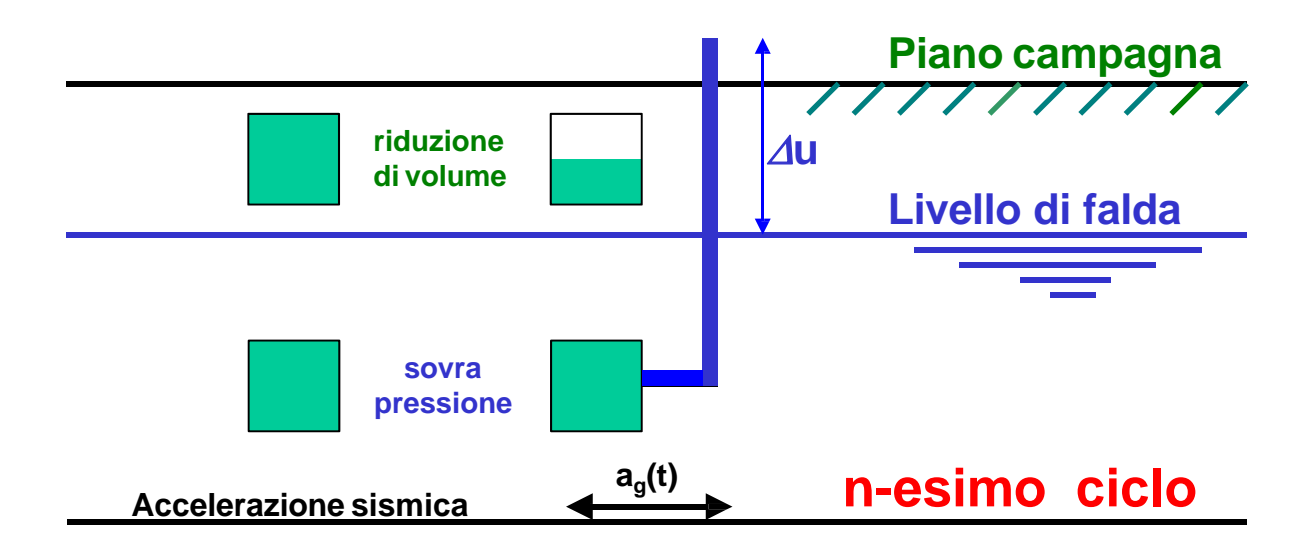


Per effetto del sisma la sabbia posta sopra la quota di falda si addensa andando ad occupare un volume via via minore al crescere del numero dei cicli sismici impressi al terreno. (effetto bustina di zucchero)

Sotto falda invece questa riduzione di volume non é libera di avvenire in quanto l'acqua non può fluire in virtù delle condizioni al contorno (vincolo cinematico). Nasce perciò una sovrapressione interstiziale cui intensità aumenta al crescere del numero di cicli (v. prova triassiale cicilica).

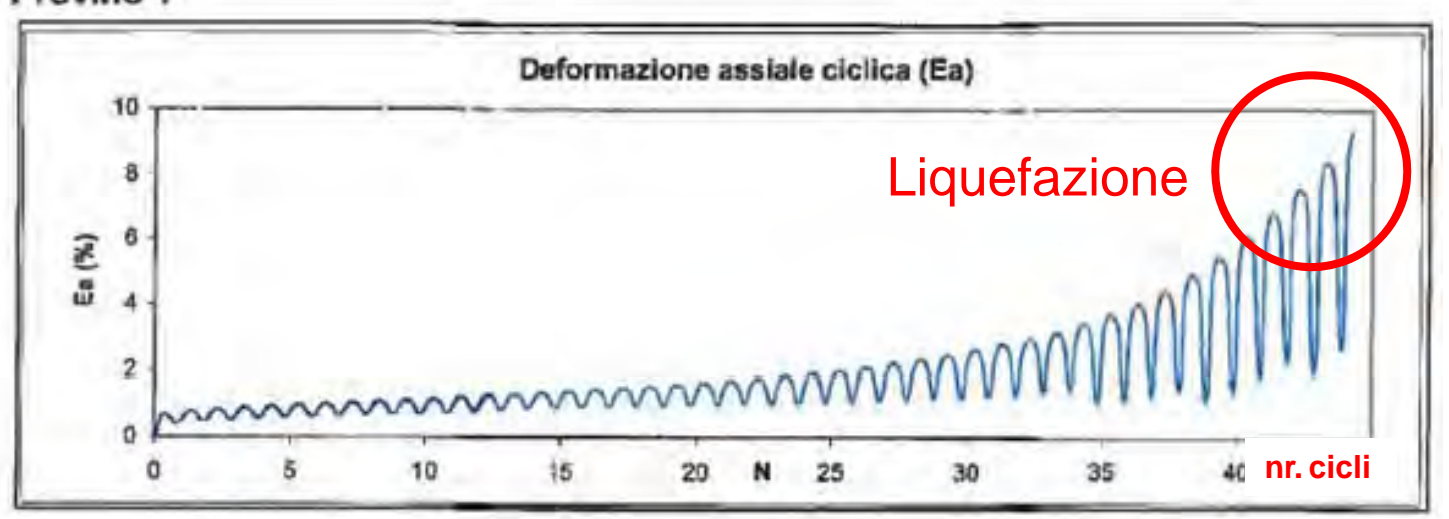
Se la sovrapressione du così generata eguaglia la pressione efficace pre-esistente in sito, la resistenza a taglio del terreno si azzera completamente, trasformandosi in una sabbia mobile.

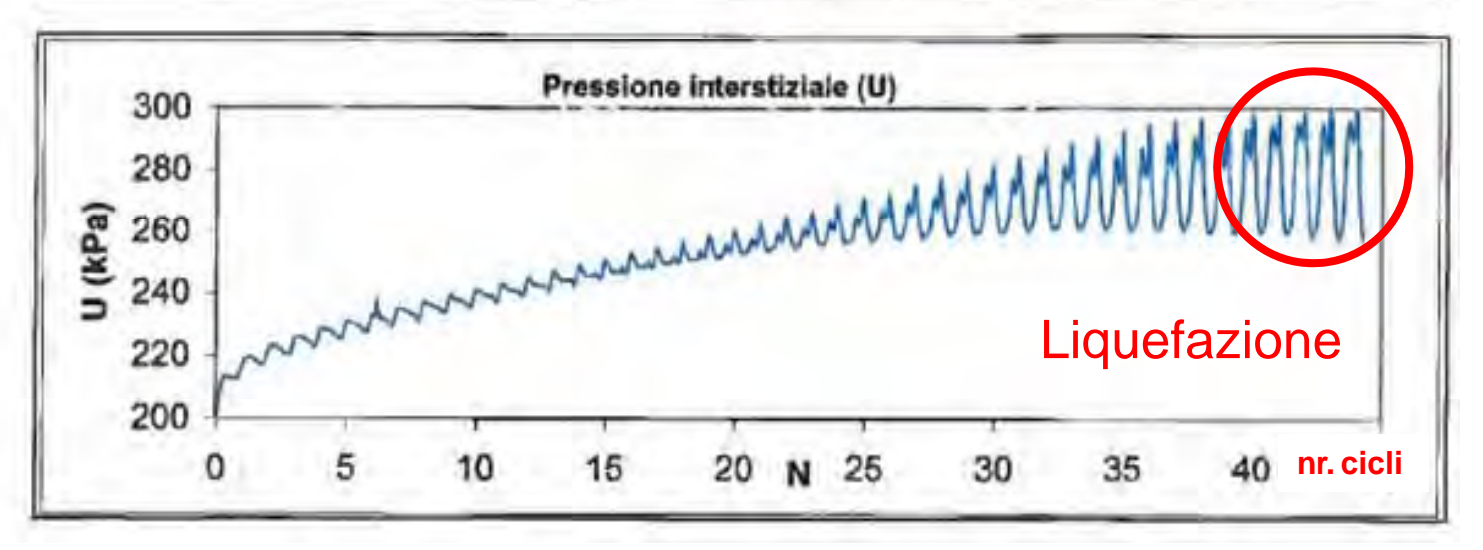




PROVA TRIASSIALE CICLICA A CARICO CONTROLLATO (ASTM D5311)

Provino 1





Liquefazione dei terreni

Sotto l'effetto dell'azione sismica si genera nei terreni sotto falda una sovra pressione indotta dalla accelerazione sismica impressa alla fase fluida.

La tensione efficace agente in condizioni statiche tra i grani si riduce di una analoga quantità cosicché la resistenza a taglio nei terreni a grana grossa diviene:

$$\tau = (\sigma'_{v,st} - \Delta u) \cdot tan\varphi$$

Quando la sovra pressione Δu eguaglia la tensione efficace pre-esistente ($\sigma'_{v,st}$) il terreno perde la sua resistenza a taglio (τ =0) e con essa qualsiasi capacità portante comportandosi alla stregua di una sabbia mobile.

Liquefazione dei terreni sotto falda



Perdita di capacità portante per liquefazione

Liquefazione dei terreni

7.11.3.4.2 Esclusione della verifica a liquefazione

La verifica a liquefazione può essere omessa quando si manifesti almeno una delle seguenti circostanze:

- 1. eventi sismici attesi di magnitudo M inferiore a 5;
- accelerazioni massime attese al piano campagna in assenza di manufatti (condizioni di campo libero) minori di 0,1g;
- profondità media stagionale della falda superiore a 15 m dal piano campagna, per piano campagna sub-orizzontale e strutture con fondazioni superficiali;
- 4. depositi costituiti da sabbie pulite con resistenza penetrometrica normalizzata (N₁)₆₀ > 30 oppure q_{c1N} > 180 dove (N₁)₆₀ è il valore della resistenza determinata in prove penetrometriche dinamiche (Standard Penetration Test) normalizzata ad una tensione efficace verticale di 100 kPa e q_{c1N} è il valore della resistenza determinata in prove penetrometriche statiche (Cone Penetration Test) normalizzata ad una tensione efficace verticale di 100 kPa;
- distribuzione granulometrica esterna alle zone indicate nella Figura 7.11.1(a) nel caso di terreni con coefficiente di uniformità U_c < 3,5 ed in Figura 7.11.1(b) nel caso di terreni con coefficiente di uniformità U_c > 3,5.

Resistenza ciclica alla Liquefazione

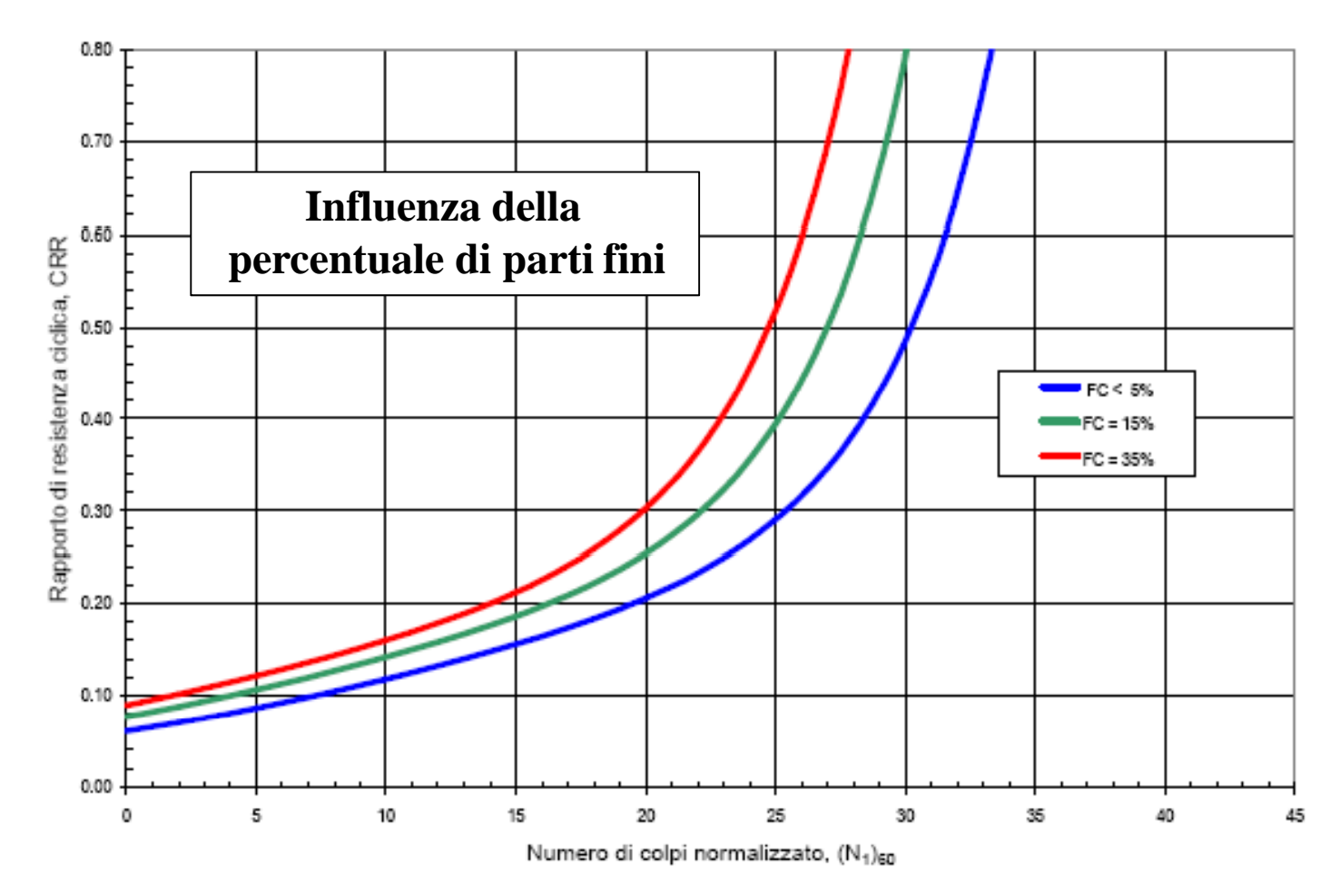


Fig. 31 – Resistenza a taglio ciclica in funzione della resistenza alla punta normalizzata Fig. 31 – Cycle Soil shear resistance vs normalized number of blow.

Verifica alla Liquefazione

$$CRR = \frac{\tau_{ult}}{\sigma'_{v0}} > CSR = \frac{\tau_{media}}{\sigma'_{v0}} = 0.65 \frac{Sa_g}{g} \frac{\sigma_v}{\sigma'_{v0}} r_d$$

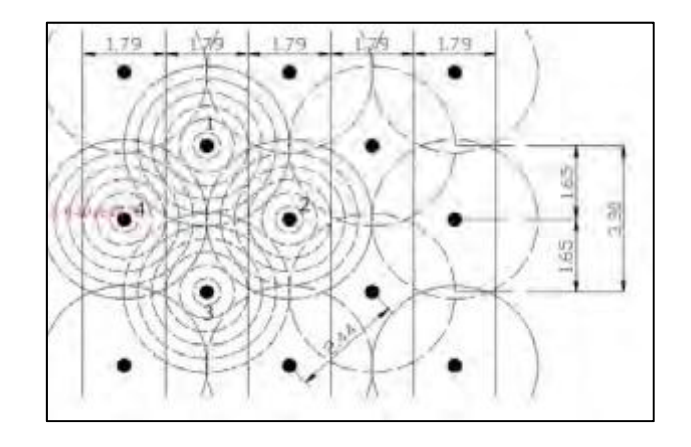
Resistenza Ciclica > Sollecitazione Ciclica

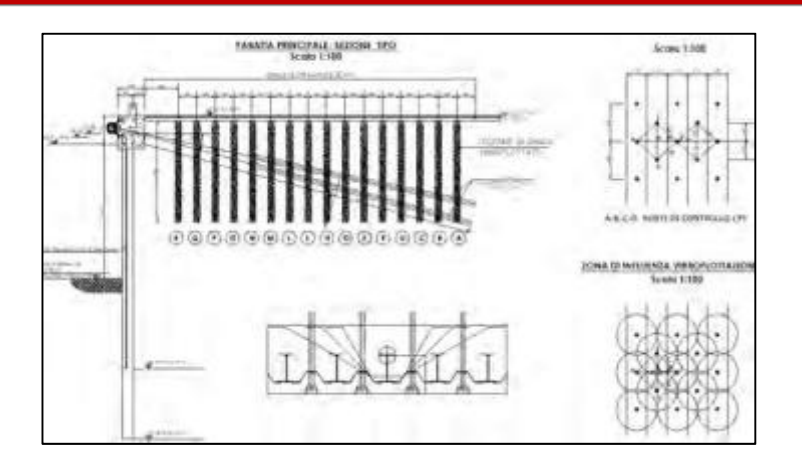
$$\mathbf{F_S} = \mathbf{CRR/CSR}$$
 $\mathbf{F_L} = \mathbf{1} - \mathbf{F_S}$ per $\mathbf{F_S} < \mathbf{1}$ $\mathbf{F_L} = \mathbf{0}$ per $\mathbf{F_S} > \mathbf{1}$

Indice del Potenziale di Liquefazione

Tab. II – Correlazione tra Indice I_L e Rischio di liquefazione Tab. II – Correlation between I_L Index and Risk of Liquefaction

Indice di liquefazione	iquefazione Rischio di liquefazione	
$0 < I_L < 5$	Basso	
5 < I _L < 15	Elevato	
$I_L > 15$	Molto elevato	





INTERVENTI DI MIGLIORAMENTO DEL TERRENO

VIBROFLOTTAZIONE – Compattazione profonda

COLONNE DI GHIAIA – Dissipazione sovra pressioni

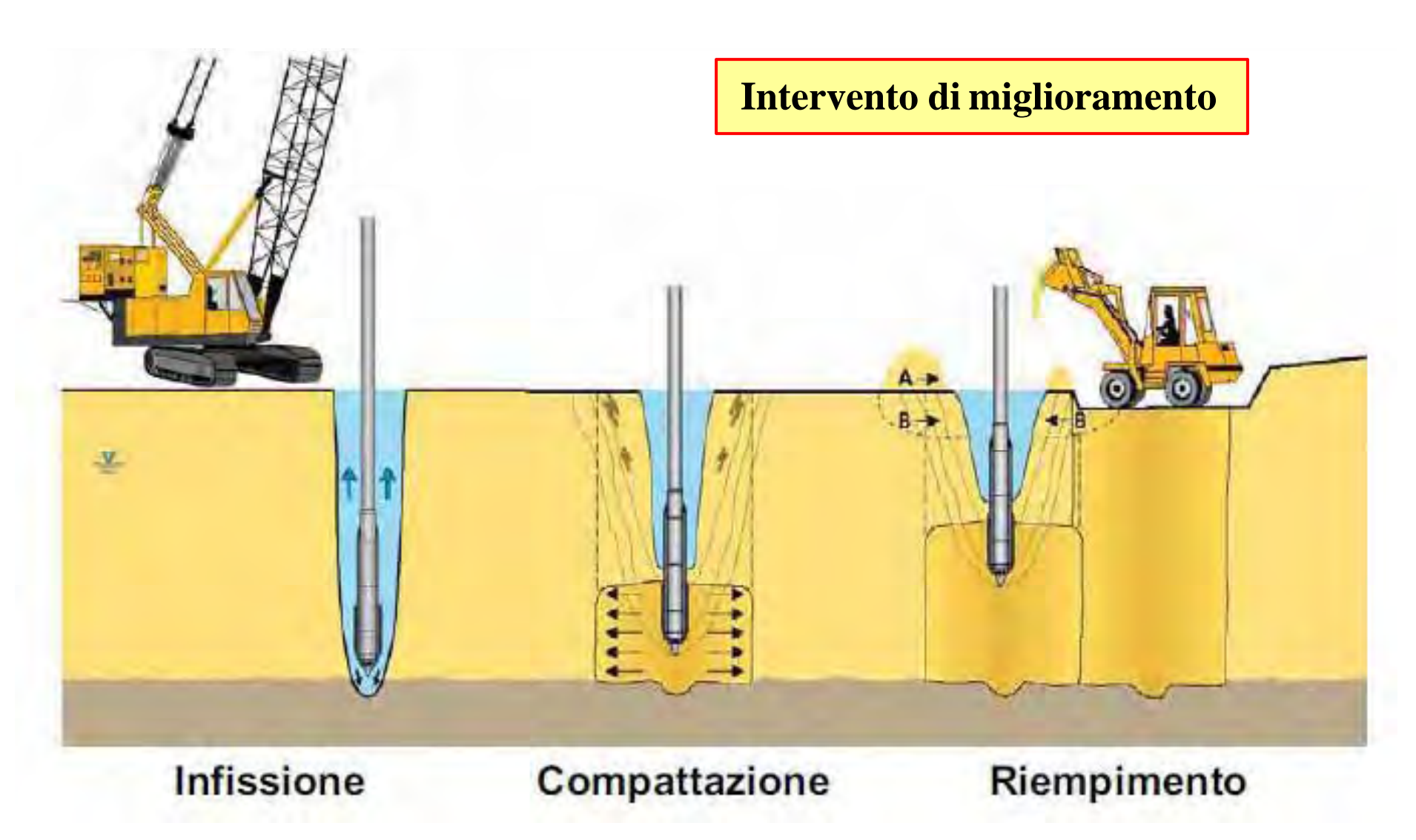
s = interasse dei dreni

d = diametro dei dreni

e_o= indice dei vuoti iniziale

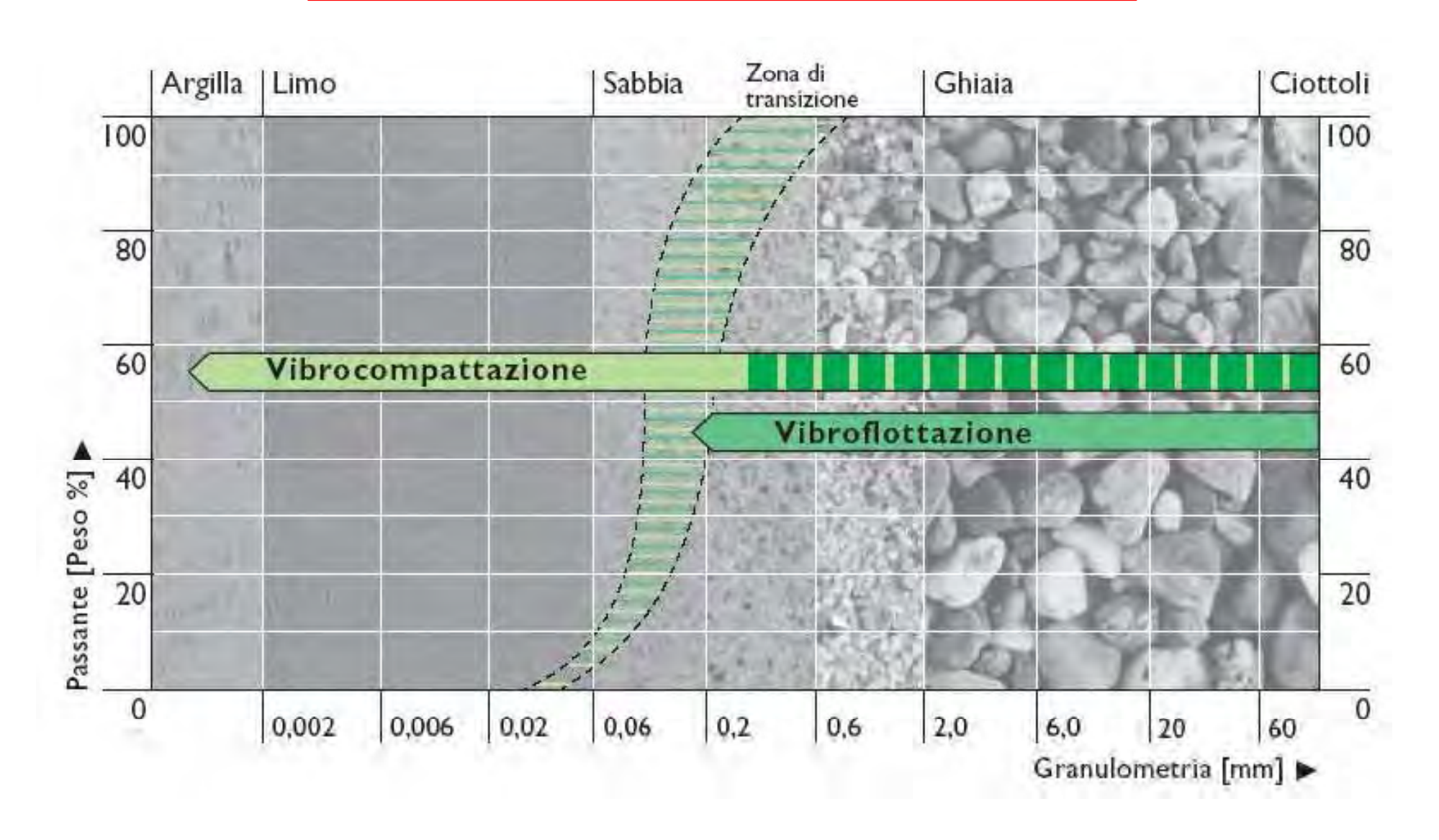
e = indice dei vuoti finale

$$s = \frac{d}{2} \sqrt{\frac{\pi (1+e_o)}{(e_o - e)}}$$



Vibroflottazione = Compattazione profonda

Compattazione profonda del terreno



Vibroflottazione



VIBROFLOTTAZIONE



Caso di studio

Vibroflottazione dei terreni

a tergo di una banchina

Pialassa Piomboni

Porto di Ravenna



Fig. 1 – Vista area del sito Fig. 1 – Arial view of the site

Banchina SAIPEM - COLACEM





Vista da terra del palancolato

Fasi di infissione del palancolato

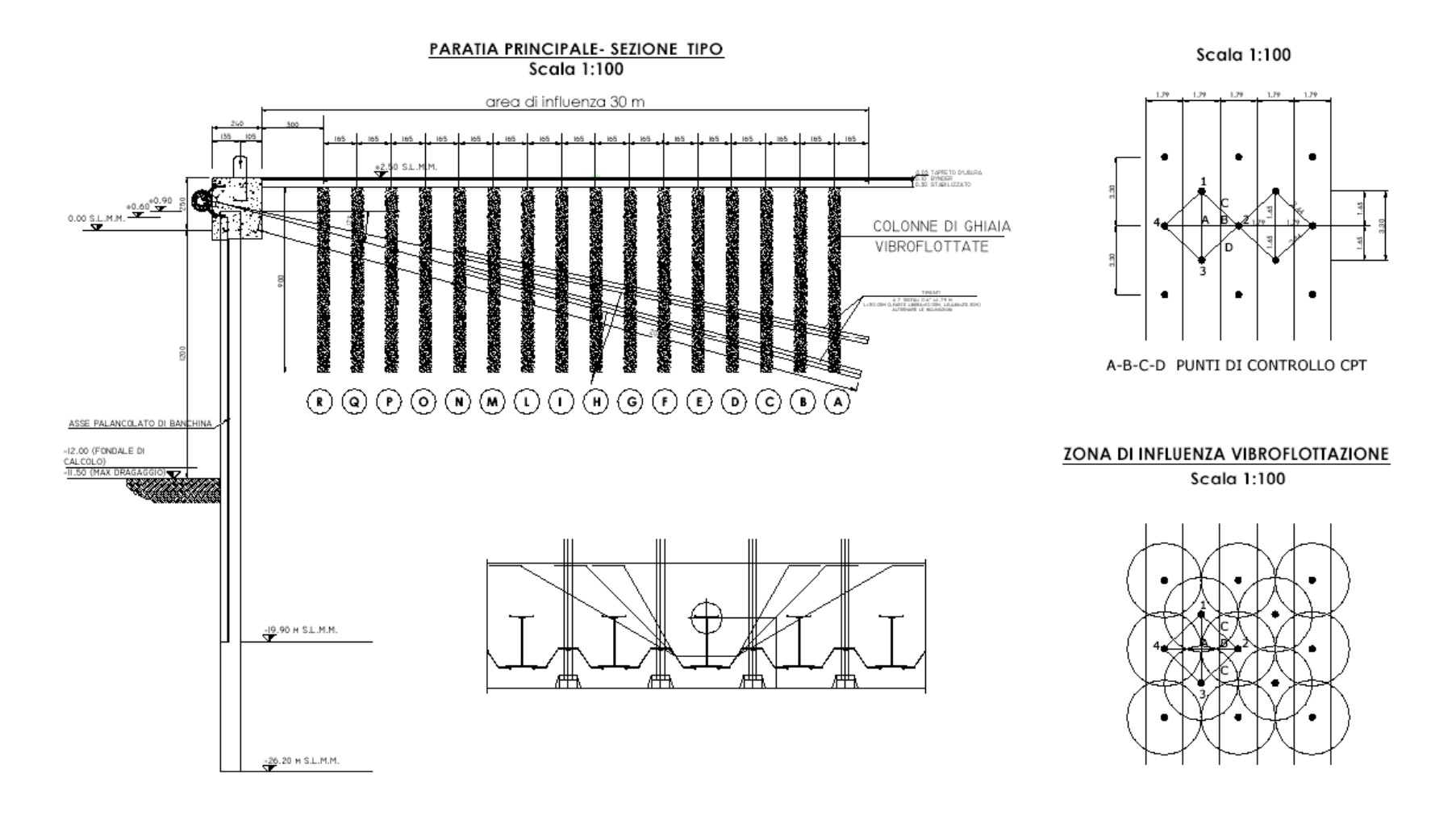
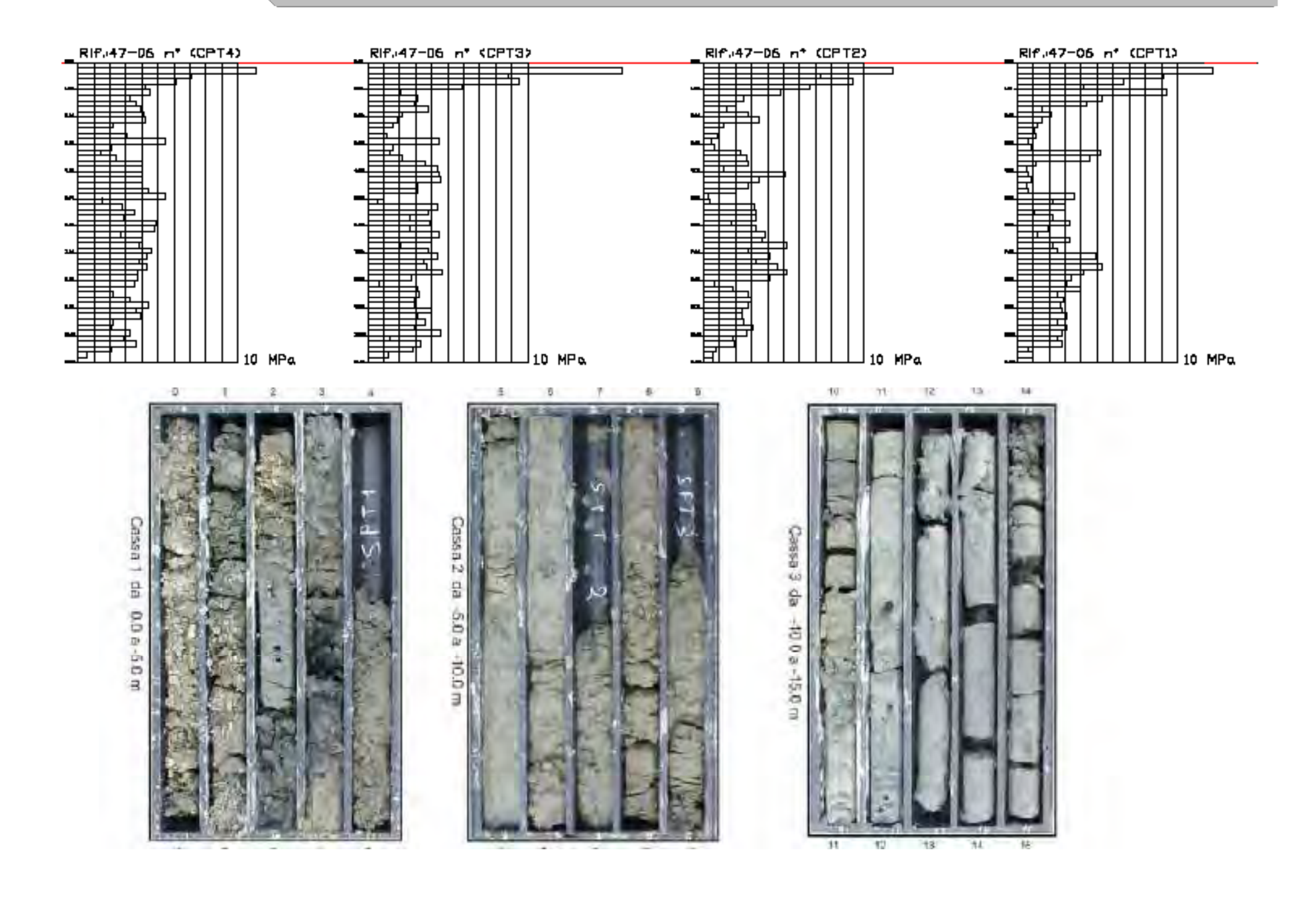


Fig.2 – Sezione tipica della banchina con indicazione della posizione delle colonne di ghiaia Fig. 2 – Cross section of the bulkhead with locations of the stone columns



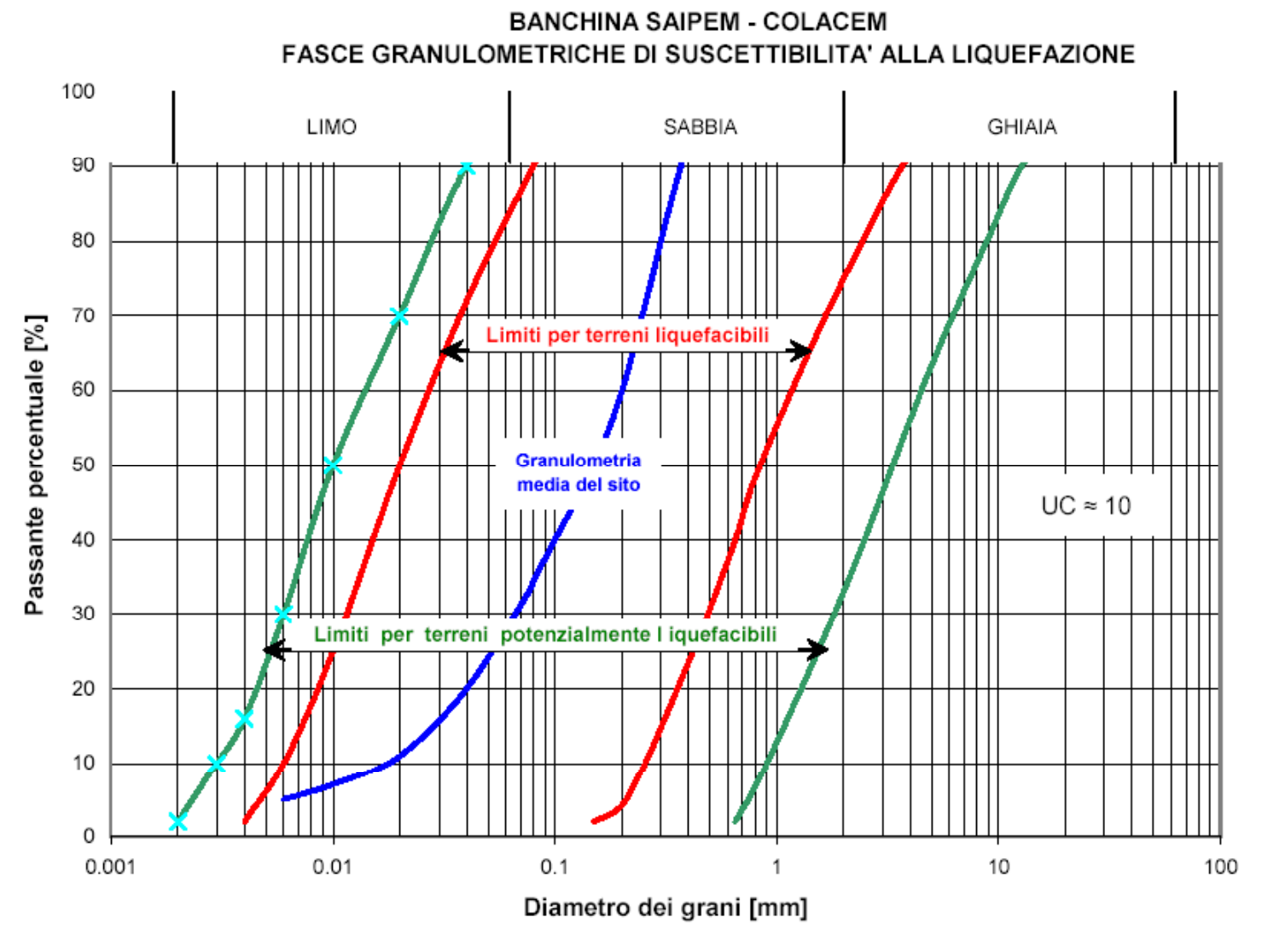
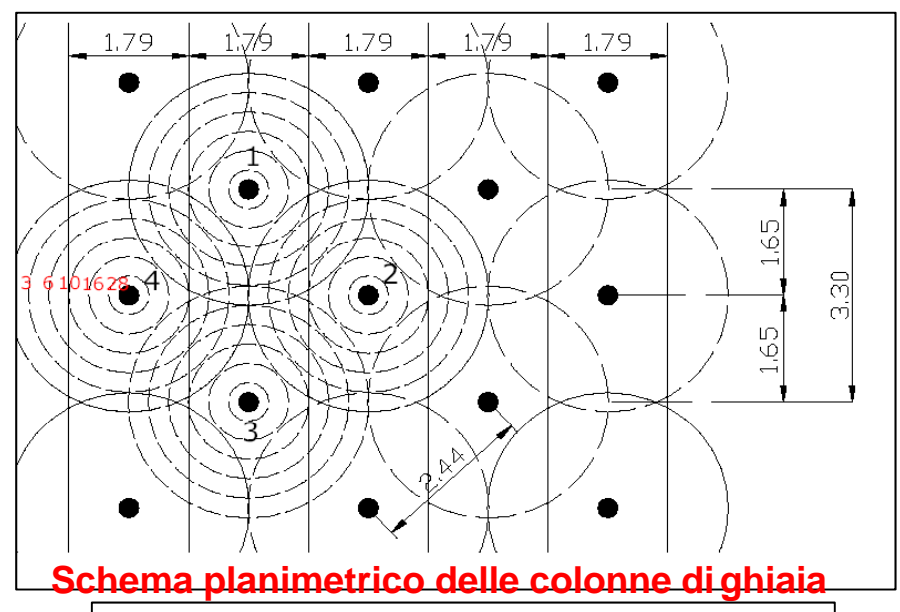
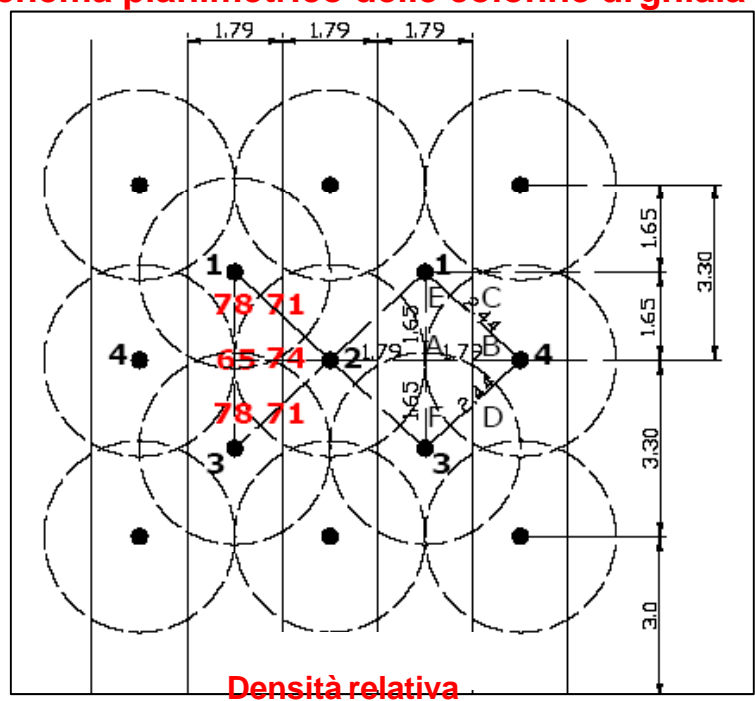


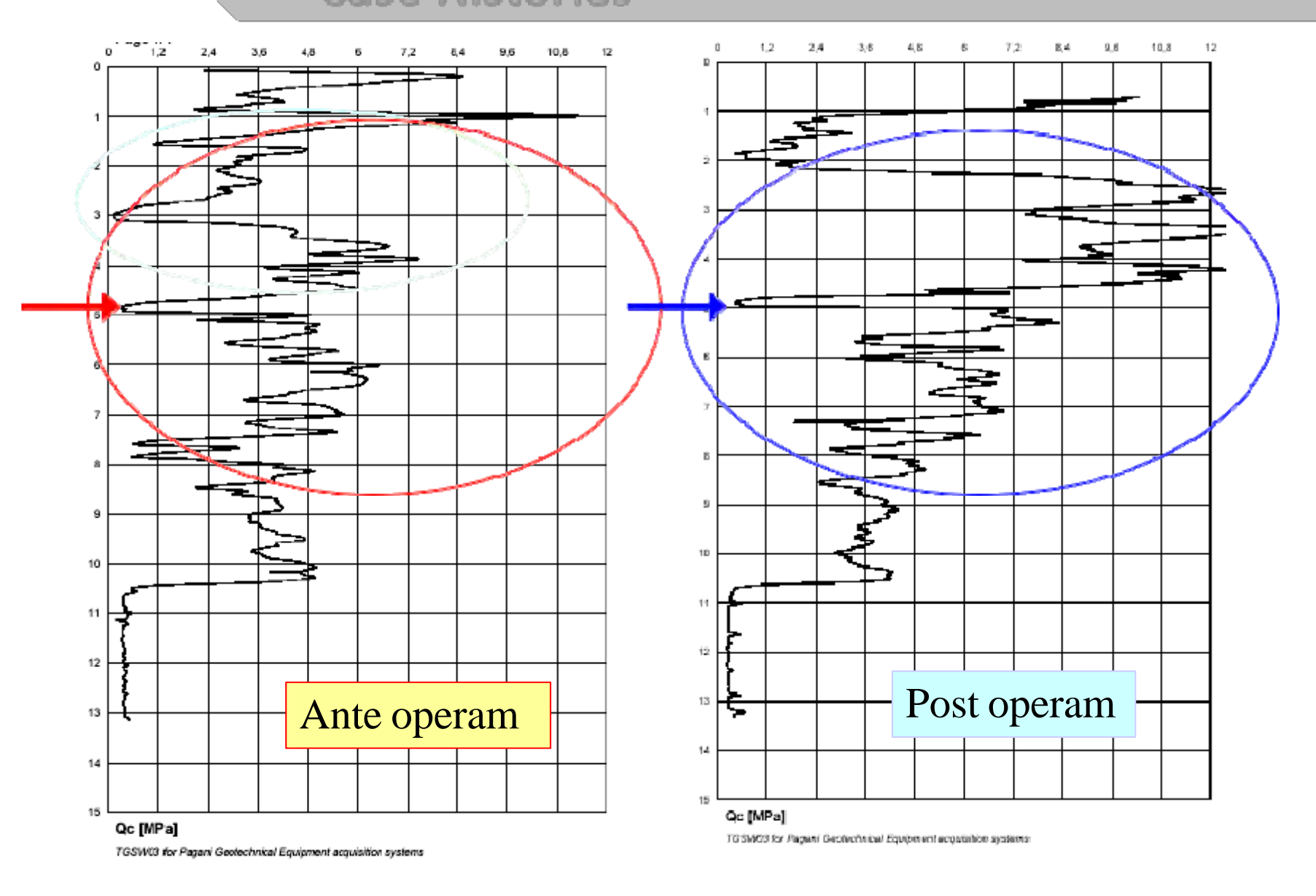
Fig. 30 – Fasce granulometriche suscettibili alla liquefazione e granulometria del sito Fig. 30 – Liquefaction limit curves and size distribution curves of the site











RESISTENZE PENETROMICHE ANTE E POST OPERAM

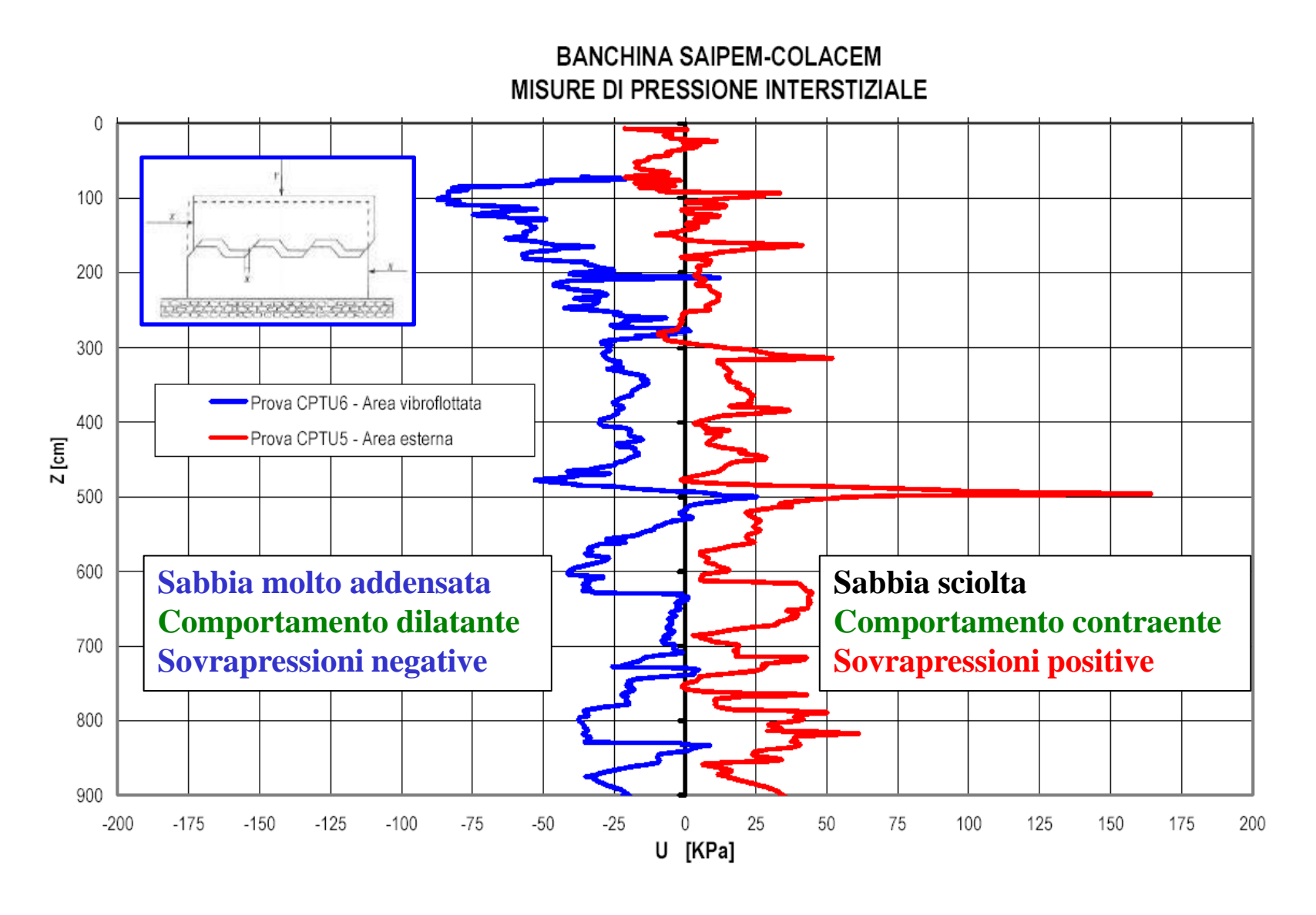
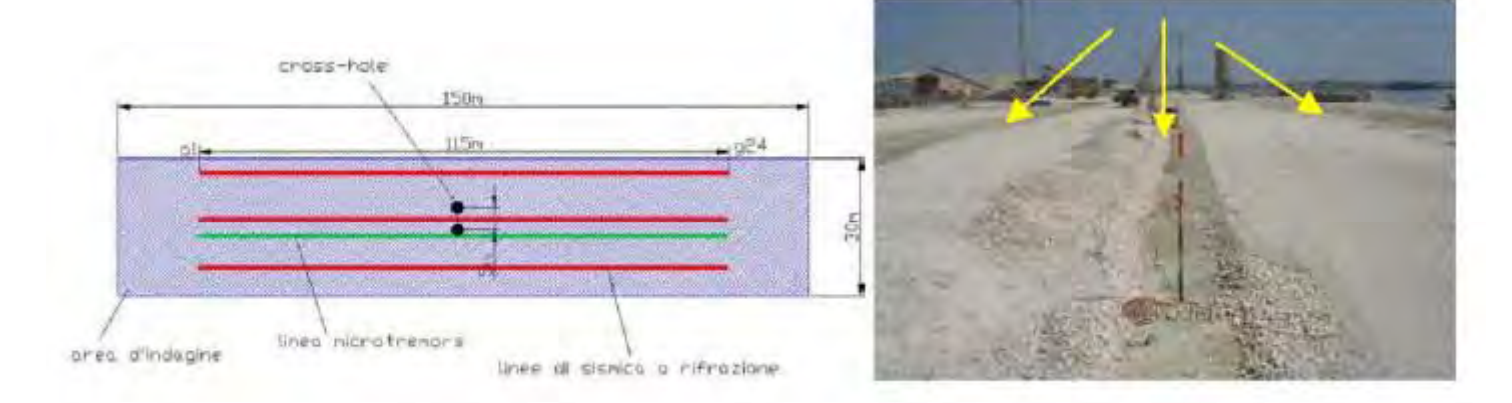


Fig. 18 – Misure di pressione interstiziale nell'area vibroflottata (CPTU6) e nell'area esterna non trattata (CPU5) *Fig. 18 – Pore pressure measures in the compacted zone (CPTU6) and out of the compacted zone (CPU5)*

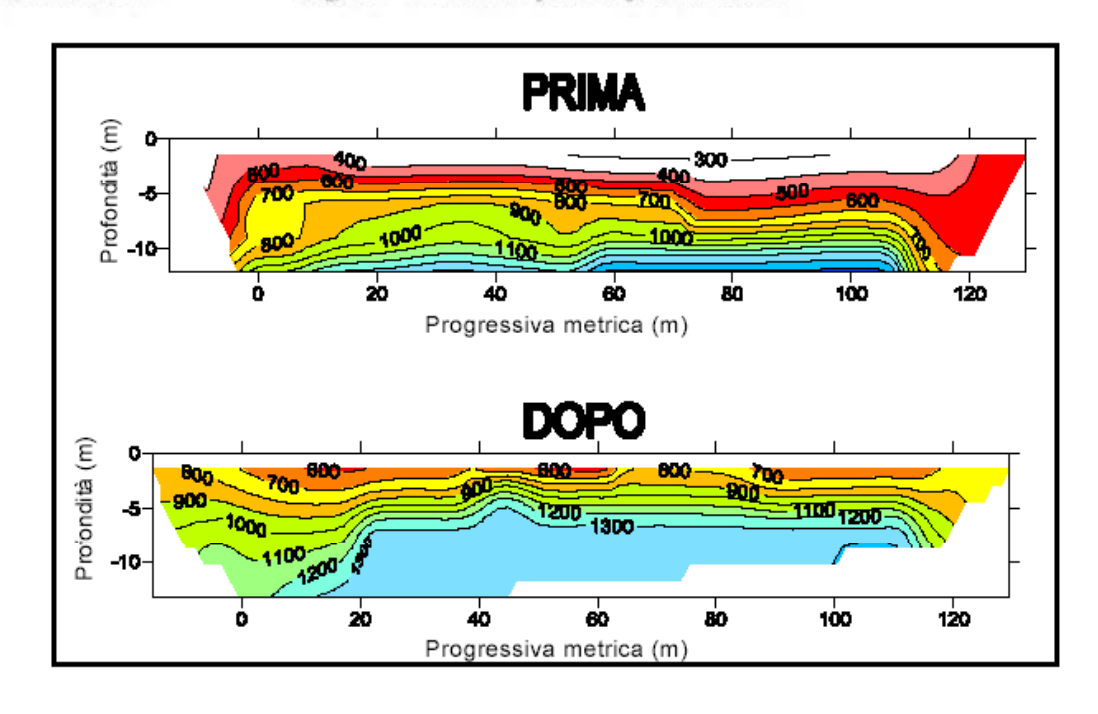


LATO MARE

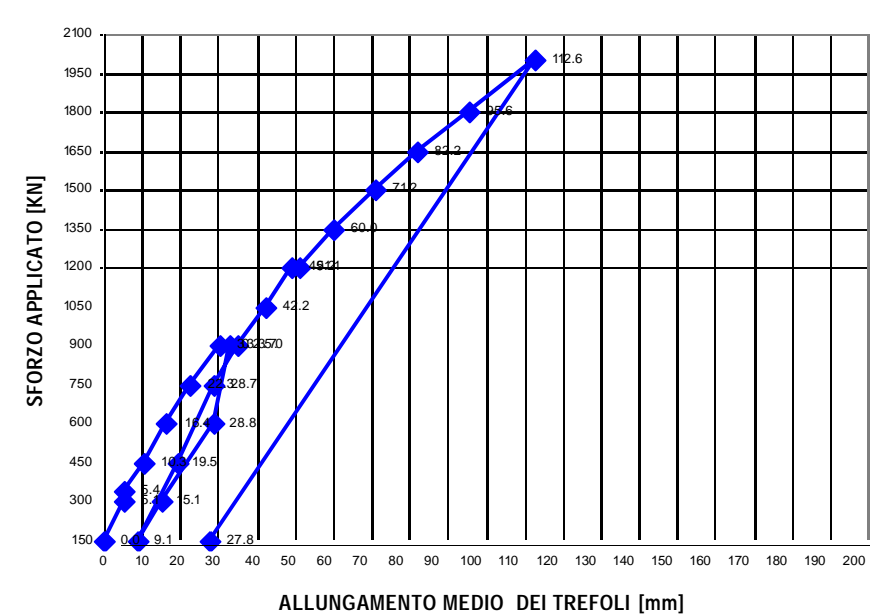
Fig. 23. Planimetria stendimenti sismici Fig. 23. Location of the refraction lines

Fig.24 – Ubicazione stendimenti sismici Fig.24 – Position of the refraction lines

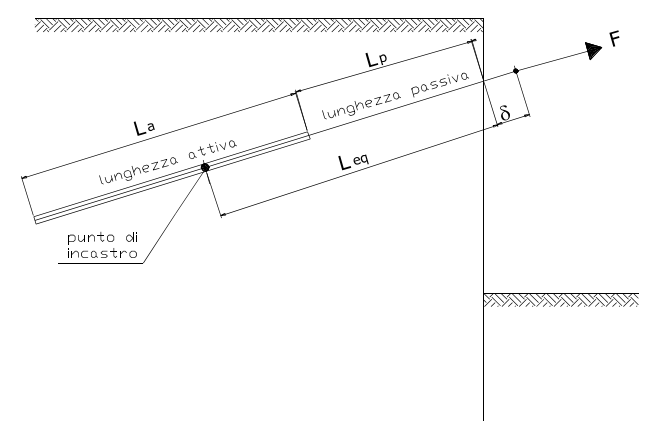




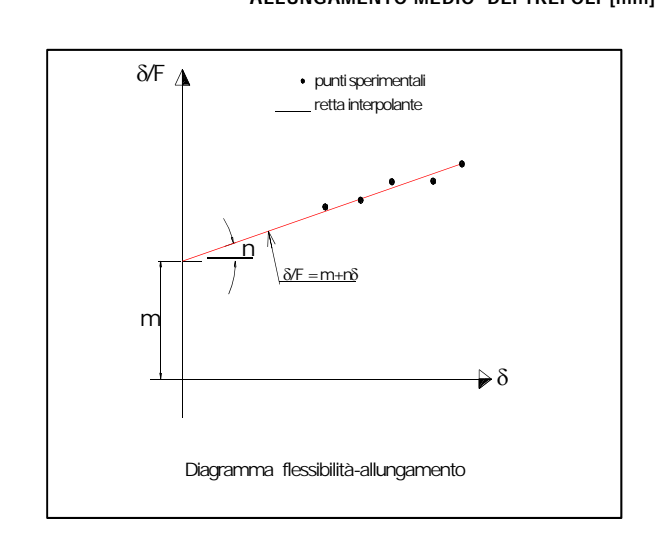
BANCHINA SAIREM-COLACEM - TIRANTE DI PROVA NR. 1 OFFICS



Prove a trazione dei tiranti



BANCHINA SAIPEM - COLACEM. TIRANTE DI PROVA NR. 2 METODO DELL'INVERSA PENDENZA



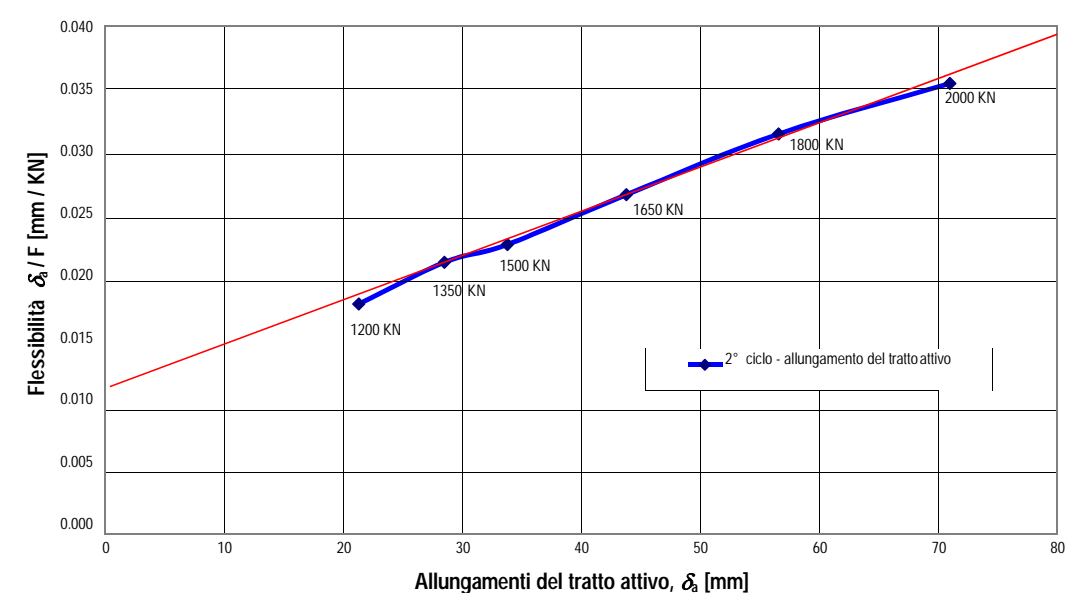




Fig. 33 Fase di tesatura di un tirante diprova *Fig. 33 Load Test Operations*

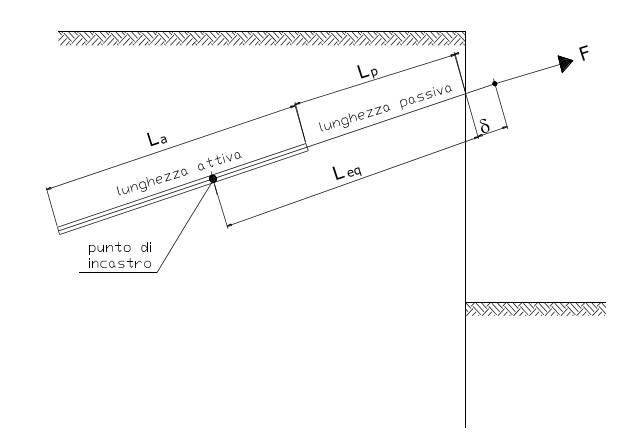


Fig .34 Lunghezza libera equivalente del tirante Fig .34 Equivalent free length of theanchor.

Tab. IV Stima della capacit◊ portante dei tiranti di prova con il metodo dell□inversa pendenza Tab. IV Evaluation of the ultimate load of the test anchors by means of the Inverse Slope Method

Tirante	Carico max di prova [KN]	Carico asintotico F _u [KN]	Carico limite [2δ] [KN]	Nota
1	2000	2717	2445	Terreno vibroflottato
2	2000	2681	2413	Terreno vibroflottato
3	1350	1350	1215	Terreno non trattato

CONCLUSIONI

VALIDAZIONE E SPERIMENTAZIONE

Nello studio dei problemi riguardanti i terreni l'ingegnere, trovandosi al cospetto dello sterminato numero di stati che la natura presenta, spesso complessi e per di più mutevoli nel tempo a causa di fenomeni viscosi e di variabile presenza di acqua, trae grande aiuto dai confronti con casi simili, dalle prove sul posto e in laboratorio, e soprattutto dal senso che è possibile acquisire soltanto attraverso l'esperienza.

Piero Pozzati. "Teoria e Tecnica delle Strutture", Vol. 1, Cap. III – "Azioni dovute al terreno" - Ed. UTET - Torino

GRAZIE PER L'ATTENZIONE